

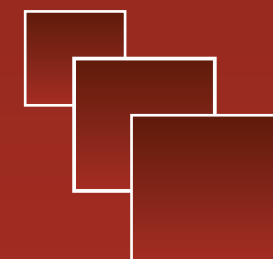
Вестник

Уральского
государственного
университета
путей сообщения

Научно-технический журнал



№ 3–4
Декабрь, 2009





80-летний юбилей отметил

Семен Макеевич Скоробогатов,

член-корреспондент Российской академии
архитектурных и строительных наук,
заслуженный деятель науки
Российской Федерации,
доктор технических наук, профессор.

Семен Макеевич Скоробогатов широко известен в научных кругах как выдающийся ученый, беззаветно преданный своему делу. Его трудовая деятельность всегда основывалась на грамотном подходе при решении поставленных целей и задач, умении точно и правильно распределять приоритеты, изумительном логическом мышлении и высокой профессиональной культуре.

Профессор Скоробогатов не раз удивлял своих коллег и студентов творческим началом, заложенным в его научных работах, поразительной работоспособностью и незаурядным талантом. Семен Макеевич — человек необычайного склада ума и непревзойденных способностей.

Семен Макеевич Скоробогатов родился 19 февраля 1930 года. В 1954 году окончил Уральский политехнический институт им. С. М. Кирова по специальности «промышленное и гражданское строительство». Он не ошибся с выбором профессии, скорее, это профессия выбрала его. Тогда будущий ученый не подозревал, какими значимыми

открытиями и научными работами он обогатит мир науки в области железобетонных конструкций. Но он уже осознал, что его место там, где разрабатываются новые методы и теории, там, где готовят молодых специалистов для дальнейшей работы в строительной промышленности. Семен Макеевич начал свою блестящую карьеру на кафедре «Строительные конструкции» в УПИ в должности ассистента. Двадцатилетний опыт работы на кафедре дал Скоробогатову основательную профессиональную подготовку и обеспечил стремительное восхождение по карьерной лестнице. В 1960 году С. М. Скоробогатов защитил кандидатскую диссертацию, в 1972 — докторскую. В 1974 году он стал профессором.

Спустя четыре года Семена Макеевича пригласили в УЭМИИТ на должность заведующего выпускающей кафедрой «Строительные конструкции». И здесь профессор Скоробогатов проявил себя не только как замечательный ученый, но и как умелый организатор и грамотный руководитель. Ведь талантливый человек талантлив во всем. За сравнительно небольшой срок кафедра под руководством юбиляра была укомплектована высококвалифицированными работниками, на ней создана учебно-методическая и материальная база для проведения учебного процесса и научных исследований.

Неординарные умственные способности Семена Макеевича, а также такие черты характера, как доброжелательность, уверенность, стойкость и ярко выраженный волевой внутренний потенциал делали его незаменимым и востребованным на любой должности, на любом месте работы. Всегда и везде профессора Скоробогатова ценили по достоинству за его высочайшую квалификацию, профессиональную компетентность, широчайшую эрудицию и отзывчивость.

Плодотворная и блестящая научная деятельность Семена Макеевича Скоробогатова характеризуется двумя научными направлениями. Одно из них связано с постановкой проблемы напряженного состояния и выносливости стержневой арматуры для железобетонных конструкций. Разработанные им расчетный аппарат и принципы проектирования периодического профиля стержневой арматуры составили основу докторской диссертации. В постановке этого научного направления он считается признанным авторитетом в нашей стране и за границей.

Второе научное направление, разрабатываемое юбиляром, является наиболее плодотворным в его фундаментальных исследованиях. Он не побоялся отойти от традиционных направлений в теории катастроф. Его направление связано с моделированием процесса разрушения крупно-

размерных железобетонных сооружений и созданием методики расчета для определения живучести железобетонных конструкций.

Семена Макеевича можно по праву назвать успешнейшим новатором в области изучений железобетонных конструкций. Благодаря его пытливому уму и непреодолимому желанию развить отрасль строительной науки сегодняшние специалисты-строители и студенты строительных специальностей имеют возможность изучать и применять на практике теорию периодического профиля стержневой арматуры железобетонных конструкций. Кроме того, юбиляр является автором еще одной теории, которая также весьма важна для российских технических наук, — теории катастроф и живучести крупноразмерных железобетонных сооружений и конструкций.

При сотрудничестве с Институтом горного дела УрО РАН С. М. Скоробогатов внедрил новый сейсмологический метод сплошного прозвучивания массивных и протяженных сооружений и конструкций, не имеющий аналога в стране.

Среди главных заслуг профессора в научно-исследовательской деятельности следует отметить также создание научной школы в области основ механики разрушения твердых пористых тел.

Как высокообразованный человек, осознающий значимость интеллектуального труда для развития науки и промышленности в целом, Скоробогатов на протяжении всей своей научной и трудовой деятельности пишет статьи и монографии, посвященные разработке или постановке тех или иных вопросов, касающихся строительной тематики. На счету Семена Макеевича шесть монографий, более двухсот сорока научных работ, часть из которых он написал на английском языке.

Юбиляр никогда не останавливается на достигнутом. Кажется, жажда знаний и умений не оставляет его ни на минуту. Семен Макеевич стремится повышать свои профессиональные качества и углублять теоретические знания. Он не раз принимал участие в работе международных конференций по железобетонным конструкциям в Англии и Индии. А в 2008 году профессор прославился за границей: вклад в науку российского ученого оценили в Кембридже. Расположенный там Международный библиографический центр внес имя профессора С. М. Скоробогатова в «Справочник выдающихся ученых мира за 2008–2009 гг.» как одного из ученых среди ста крупных научных деятелей мира и наградил медалью.

Научные интересы Семена Макеевича всегда неразрывно связаны с развитием университета. Его мудрость, огромный опыт, здоровый прагматизм и умение грамотно управ-

лять людьми стали тем самым «ингредиентом» в жизни университета, который сделал ее интенсивней и более эффективной. Под чутким руководством и пристальным вниманием талантливого преподавателя Семена Макеевича вышла не одна плеяда технически грамотных, компетентных и умелых специалистов-железнодорожников. Профессор Скоробогатов — это яркий пример того, как нужно сочетать интенсивную научную и организаторскую работу с плодотворной педагогической деятельностью. Недаром благодаря стараниям С. М. Скоробогатова подготовлены десятки кандидатов наук.

Каждый день Семена Макеевича расписан строго по минутам. Разнообразную научную деятельность он совмещает с преподаванием. Просто удивительно, как он успевает решить множество научных и организационных вопросов при таком бешеном ритме жизни! Но в этом и заключается особая неординарность, стойкость и выдержка характера Семена Макеевича Скоробогатова.

Профессор Скоробогатов — ученый и преподаватель, чье имя навсегда войдет в анналы российской и зарубежной науки. Он — один из тех научных деятелей, которые благодаря своим недюжинным знаниям, ясности мысли и умению решать сложнейшие задачи, могут справиться с проблемами, возникающими при развитии российских железных дорог и строительстве зданий и сооружений.

Научно-технический журнал
«Вестник Уральского государственного
университета путей сообщения»
№3-4, декабрь, 2009 год

**Главный редактор,
научный редактор**
Василий Михайлович Сай

**Литературное редактирование
и корректура**
Людмила Станиславовна Барышникова

**Техническое редактирование
и верстка**
Андрей Викторович Трубин

Дизайн обложки
Ольга Петровна Игнатьева

Учредитель и издатель:
Уральский государственный
университет путей сообщения

**Адрес редакции,
учредителя и издателя:**
620034, Екатеринбург,
ул. Колмогорова, 66, УрГУПС

Адрес для корреспонденции:
620034, Екатеринбург,
ул. Колмогорова, 66, УрГУПС,
редакция журнала
«Вестник УрГУПС»

Телефон редакции: (342) 367-41-11.
Веб-сайт: www.vestnik.usurt.ru;
e-mail: VSay@usurt.ru,
lsb@nis.usurt.ru

Журнал издается по решению
ученого совета университета
©УрГУПС

Свидетельство о регистрации
средства массовой информации
Роскомнадзора ПИ № ФС77-38188
от 30 ноября 2009 г.

Отпечатано в издательстве
Уральского государственного
университета путей сообщения,
620034, Екатеринбург,
ул. Колмогорова, 66.

Подписано в печать 21.12.2009.

Тираж 300. 1-й з-д.: 1–100.
Формат 70×100/16.
Заказ № 262.

Редакционная коллегия

Бушуев Сергей Валентинович,
канд. тех. наук, доцент, УрГУПС, Екатеринбург

Вовк Алексей Александрович,
д-р эконом. наук, профессор, МГУПС, Москва

Воскресенская Тамара Петровна,
д-р техн. наук, профессор, СибГИУ, Новокузнецк

Воробьев Александр Алексеевич,
д-р техн. наук, профессор, МГУПС, Москва

Ефимов Александр Васильевич,
канд. техн. наук, профессор, УрГУПС, Екатеринбург

Ильясов Олег Рашидович,
д-р биол. наук, профессор, УрГУПС, Екатеринбург

Корнилов Сергей Николаевич,
д-р техн. наук, профессор, МГТУ, Магнитогорск

Нестеров Валерий Леонидович,
д-р техн. наук, профессор, УрГУПС, Екатеринбург

Паршина Валентина Сергеевна,
д-р эконом. наук, профессор, УрГУПС, Екатеринбург

Радченко Валерий Иванович,
д-р физ.-мат. наук, профессор, УрГУПС, Екатеринбург

Сапожников Валерий Владимирович,
д-р техн. наук, профессор, ПГУПС, С-Петербург

Цыганов Владимир Викторович,
д-р техн. наук, профессор, ИПУ РАН, Москва

Щурин Константин Владимирович,
д-р техн. наук, профессор, ОГУ, Оренбург

Содержание

8 Колонка редактора

УПРАВЛЕНИЕ. ЭКОНОМИКА

12 М. Б. Петров. Приоритеты развития в условиях кризиса и после него

18 В. М. Сай. Организация сотрудничества вузов железнодорожного транспорта и компании «РЖД»

23 В. Л. Нестеров, В. И. Радченко, Е. А. Русакова. Методика оценки рисков чрезвычайных происшествий на транспорте

33 С. В. Сизый, В. К. Фомин. Оценки экономической привлекательности предприятий с использованием линейных форм

ОРГАНИЗАЦИЯ. ЛОГИСТИКА

42 И. П. Владимирская. Метод оптимизации подвода грузов потребителю

48 С. А. Плахотич. Пропускная способность двухпутных участков в условиях обращения грузовых поездов различной массы и длины

АВТОМАТИКА, ТЕЛЕМЕХАНИКА, СВЯЗЬ

56 А. Л. Гаврилюк, С. С. Титов, И. Г. Тильк, А. Ю. Рожнёв. Исследование точечного канала связи с локомотивом (ТКС-Л)

64 А. В. Волынская. Результаты математического моделирования процесса поиска кодовых последовательностей с заданными корреляционными свойствами

ЭЛЕКТРОСНАБЖЕНИЕ

72 А. В. Бунзя, А. В. Ефимов, А. Г. Галкин. О сокращении времени удаления гололеда с двойных контактных проводов импульсно-резонансным методом

МЕХАНИКА МАШИН И РОБОТОВ

77 А. П. Буйносов. Влияние шероховатости посадочных поверхностей на надёжность соединения «бандаж–обод» и ресурс колесных пар тягового подвижного состава

МАТЕМАТИЧЕСКИЕ МОДЕЛИ ТЕХНОЛОГИЧЕСКИХ ПРОЦЕССОВ

87 С. А. Румянцев, Г. В. Васильева, О. Н. Алексеева. Численное моделирование динамики двухмассных вибро-транспортирующих машин с расположением вибровозбудителей на нижней массе

92 С. В. Сизый, Н. А. Афанасьева. Равновесные состояния в организационных сетях. Критерий стабилизации взаимодействия

99 С. А. Румянцев, Д. Ю. Тарасов. Условия разрешимости системы дифферен-

циальных уравнений движения од-
номассной вибротранспортирующей
машины относительно старших про-
изводных

- 109 А. В. Вохмянина.** Математическая мо-
дель экономического обоснования
уровня сервиса логистических центров

ИССЛЕДОВАНИЯ МОЛОДЫХ УЧЕНЫХ

- 118 А. А. Цариков.** Развитие методов рас-
чета регулируемых узлов на улично-
дорожной сети

- 124 О. А. Пыталева.** Определение опти-
мального количества транспортных
средств городского пассажирского
транспорта

В ДИССЕРТАЦИОННЫХ СОВЕТАХ

- 127** Отзыв М. Б. Петрова на диссертацию
«Методологические основы форми-
рования адаптивных механизмов ор-
ганизации вагоноремонтного ком-
плекса»

- 131** Отзыв С. Н. Корнилова на диссертаци-
ю «Формирование интегрирующих
транспортно-технологических ком-
плексов и оптимизация их структуры»

138 ИНТЕЛЛЕКТУАЛЬНАЯ СОБСТВЕННОСТЬ

Отчет о НИР «Разработка методик
управления информационными ри-
сками предприятия»

- 139** Отчет о НИР «Автоматизированная
система прогноза поездообразования
на сортировочной станции»

- 140** Отчет о НИР «Моделирование меха-
тронных систем методами искусствен-
ного интеллекта»

- 141** Отчет о НИР «Совершенствование
методов теплового контроля буксо-
вых узлов»

- 142** Патент «Устройство для автоматиче-
ского торможения подвижного соста-
ва при сходе с рельсов»

- 143** Патент «Способ управления движе-
нием поездов и система для его осу-
ществления»

145 АННОТАЦИИ

153 НАУЧНЫЕ ИЗДАНИЯ УРГУПС

155 ТРЕБОВАНИЯ К АВТОРАМ

Колонка редактора

Российский индекс научного цитирования

(По материалам сайта <http://www.elibrary.ru/>)

Индекс цитирования (Российский индекс научного цитирования, РИНЦ) — это специализированная электронная база данных, в которой собирается и обрабатывается библиографическая информация о журнальных статьях, их аннотациях и списках цитируемой литературы.

Такая база позволяет находить и научные материалы, цитируемые в отдельно взятой статье, и публикации, ссылающиеся на эту статью. Читатель может проводить эффективный масштабный поиск библиографии, охватывающей весь спектр публикаций по интересующей его теме.

Помимо библиографической и цитатной информации, в РИНЦ включаются сведения об авторах публикаций и организациях, в которых они работают. Другими словами, можно одновременно отслеживать публикационные и цитатные показатели по всей вертикали социального института науки: от автора, научного (научно-исследовательского, образовательного) учреждения, где он работает, до соответствующих министерств и ведомств или административно-географических регионов. Такого рода статистические сведения, в свою очередь, помогут объективно оценить деятельность различных научно-образовательных организаций, научных коллективов и отдельных ученых, а совокупные данные по цитированию журналов — импакт-факторы позволяют выстраивать рейтинги периодических изданий.

РИНЦ — это:

- многоцелевая поисковая система по публикациям российских ученых;
- надежный инструмент для статистического анализа отечественной науки;
- формирование и постоянное пополнение Единого реестра публикаций российских ученых (достоверная информация о всех публикациях российских ученых, независимо от источника, времени, места и типа публикации);
- удобная и эффективная навигация в массиве научной информации и обеспечение доступа российских пользователей к полным текстам публикаций через механизмы системы унифицированного доступа.

За рубежом такие индексы цитирования существуют не один год. Поэтому возникает вопрос: может быть, использовать их и не создавать отечественный? Но:

- 1) российские научные журналы в таких базах представлены до обидного мало — не более 5 %. В основном, это переводные журналы;
- 2) зарубежные базы данных не предназначены для интересующего нас статистического анализа;

3) глобальной поисковой системы по российским научным журналам, включающей хотя бы оглавления журналов, не говоря уже о полных текстах, нет;

4) необходимо стимулировать отечественные научные издательства, повышать научный уровень отечественных журналов, их конкурентоспособность. Российский индекс научного цитирования предоставляет возможность объективного сравнения наших журналов с лучшими мировыми, а включение периодического научного издания в РИНЦ будет способствовать его распространению в мире и, соответственно, повышению цитируемости публикуемых в нем статей.

5) стоимость зарубежных систем — 10–20 тыс. долл. в год, что для большинства российских организаций просто неприемлемо (на сегодня, пожалуй, это одно из самых важных «но»).

Итак, индекс научного цитирования представляет собой часть общей информационной инфраструктуры науки и образования в нашей стране. Он объективно отражает уровень развития научной культуры России, ее информационно-технологические возможности и интеллектуальный потенциал.

Российский индекс научного цитирования выдает первые результаты. Уже можно подвести некоторые итоги и по интеллектуальному потенциалу нашего университета.

По итогам 2009 г. импакт-фактор журнала «Транспорт Урала» составил 0,069. За четыре года в журнале опубликованы 338 статей, на 47 из них ссылались (цитировали).

Много это или мало? Сравним с некоторыми другими известными нам изданиями (таблица 1).

Пока РИНЦ не выдает индекс цитирования по конкретным университетам и научным коллективам — идет накопление информации.

Таблица 1

Издание	Опубликованные статьи, кол-во	Цитирование, кол-во	Импакт-фактор
«Транспорт Урала»	338	47	0,069
«Мир транспорта»	633	110	0,070
«Наука и техника транспорта»	337	27	0,053
«Вестник ВНИИЖТ»	231	314	–
«Транспорт: наука, техника, управление»	497	113	–
«Транспортное строительство»	316	106	–
.....			
«Вестник Московского авиационного института»	272	66	0,124
«Мир России: социология, этнология» (Государственный университет — Высшая школа экономики)	118	559	0,623

Новый показатель в рейтинге вузов (и ученых) объективен — он основывается на результатах цитирования научных трудов ученых, то есть на информации о его научной деятельности.

Сегодня РИНЦ уже выдает количество публикаций конкретного ученого в периодических рецензируемых журналах и количество ссылок на эти публикации.

Вот несколько примеров публикаций трудов ученых нашего университета в периодических рецензируемых журналах и ссылки на них на конец года (таблица 2).

Таблица 2

Автор	Статьи, зарегистрированные в РИНЦ, кол-во	Ссылки, кол-во
Нестеров В. Л.	20	22
Баутин С. П.	19	45
Радченко В. И.	15	22
Сай В. М.	14	14
Туранов Х. Т.	12	14
Скоробогатов С. М.	11	12
Першин В. К.	9	22
Румянцев С. А.	9	18
Галкин А. Г.	9	11
Тимофеева Г. А.	6	13

Для сравнения приведу результаты цитирования на труды двух ученых — из разных областей науки (таблица 3).

Таблица 3

Автор (организация)	Статьи, зарегистрированные в РИНЦ, кол-во	Ссылки, кол-во
Петров Б. А. (Санкт-Петербургский государственный университет)	93	378
Розенберг Б. А. (Институт проблем химической физики РАН, Черноголовка)	116	602

Еще два очень важных и необходимых для ученого аспекта. Во-первых, на сайте научной электронной библиотеки elibrary доступна услуга — «Обсуждение статьи». Авторы и читатели могут вступить в диалог.

Во-вторых, основные элементы статей, размещенные на платформе библиотеки elibrary, индексируются в крупнейшей поисковой системе Интернета — Google.

Традиционно многие научно-педагогические работники вузов (и УрГУПС в том числе) публикуют результаты своих исследований в кафедральных и межкафедральных сборниках трудов. Но та-

кие сборники не являются периодическими изданиями, а значит, и не регистрируются в электронных научных базах данных. Да и труды, напечатанные в кафедральных сборниках, научная общественность страны читает крайне редко. Мы же по-прежнему продолжаем быть замкнутыми только на себя. Мы обращаемся к авторитетным изданиям, зарегистрированным в ВАК (а значит, и в РИНЦ), но вот публиковаться продолжаем в заведомо не читаемых.

Ученые нашего университета только несколько лет назад получили возможность публиковать результаты своих исследований в периодическом рецензируемом журнале «Транспорт Урала».

С уверенностью можно предположить, что в ближайшей перспективе пресловутый общий список трудов отпадет за ненадобностью. При избрании на должность, представлении к ученому званию, разрешении кандидатам наук вести аспирантов и т. д. будет, да и должен учитываться другой документ, по-настоящему объективный — количество публикаций в рецензируемых журналах и ссылки на них. Сведения о таких публикациях легко проверяемы по электронной библиотеке РИНЦ.

Начало издания в университете периодического рецензируемого журнала «Вестник УрГУПС» расширяет возможности ученых публиковать результаты своих исследований в издании, зарегистрированном в электронной базе данных РИНЦ.

В 2009 году вышли два номера журнала. Все статьи рецензируемые. По требованию редакции некоторые статьи рецензировались дважды — рецензия, предоставленная автором, и внешняя анонимная рецензия. По результатам рецензирования пяти авторам было отказано в публикации.

«Вестник УрГУПС» — университетское научное издание — журнал, в котором публикуются научные результаты работ ученых по всему спектру исследований, проводимых в университете. В связи с этим требования к публикациям высоки и, по мнению многих наших авторов, могут только повышаться.

Редакция разделяет мнение ученых университета и приглашает научных работников публиковать результаты своих исследований в журнале «Вестник УрГУПС». ■

*Главный редактор
В. М. Сай*

УПРАВЛЕНИЕ. ЭКОНОМИКА

М. Б. Петров

Приоритеты развития в условиях кризиса и после него

Второй год экономика страны живет в условиях мирового кризиса, в ходе которого впервые Россия оказалась остро зависимой от цикличности конъюнктуры мирового капитализма. Стала явной непрочность набранной в предшествующие годы положительной экономической динамики, во многом построенной на благоприятном для экспорта сырья и энергоносителей ценовом всплеске. А теперь необходимы антикризисные меры с их неизбежной корректировкой всех расходов.

Однако кризисы проходят, а мир возвращается к экономическому росту обновленным, с новыми лидирующими центрами, с перераспределенными ресурсами развития.

Именно этот аспект должен получить в нашем обществе приоритет, внимание и ресурсы. Речь идет об антикризисных мерах стратегического среднесрочного и долгосрочного характера. Суть их в том, что системные проблемы развития страны и ее регионов нужно решать без перерывов на кризис конъюнктурный, поскольку от этого зависит возрожде-

ние после кризиса системного, в котором была и продолжает быть постсоветская Россия.

Остановимся только на обеспечении посткризисного развития больших систем инфраструктурных отраслей — транспорта и энергетики, в том числе в связи с их обеспечивающей ролью в территориальном обустройстве региона. Испытывая жесткое недоинвестирование на протяжении более пятнадцати лет, они выдержали рост нагрузки в период оживления конъюнктуры предкризисного периода 2000-х годов, получив в 2008-м и 2009-м гг. маленькую паузу, отодвинувшую в будущее проблему истощенности их производственных возможностей.

К моменту начала мирового кризиса в транспортной и энергетической системах страны и Уральского региона уже наблюдались признаки ограничения по энергетическим мощностям, пропускным способностям на многих территориях и участках сетей.

Так, в электроэнергетике Урала рост нагрузок привел к истощению избытка мощности Свердловской

Сведения об авторе: **Михаил Борисович Петров** — д-р техн. наук, руководитель Центра развития и размещения производительных сил Института экономики УрО РАН.

Тел.: 961–775–35–15, 371–04–11. E-mail: michpetrov@mail.ru.

Статья подготовлена в рамках и при финансовой поддержке целевой программы Уральского отделения Российской академии наук поддержки междисциплинарных проектов («Программа № 76»).

и Пермской энергосистем, усилению дефицитности на Южном Урале. Дальнейший рост мог существенно обострить балансовую ситуацию — стали бы неизбежными ограничения потребления электроэнергии. Резко обострилась проблема надежности, поскольку балансирование объединенной энергосистемы (ОЭС) в отчетные годы достигалось при сниженном фактическом резерве мощности. Особенности развития электрических сетей и острая дефицитность смежных со Свердловской областью энергорайонов делает проблему энергонадежности еще более острой.

К настоящему моменту в энергетике Урала накоплены проблемы, требующие времени и вложений: по генерирующим мощностям — почти полное отсутствие вводов генерирующих мощностей в течение последних пятнадцати лет и критический уровень физического износа оборудования на действующих электростанциях и, как следствие, рост числа аварийных простоев энергоблоков, исчерпавших парковый ресурс работы; недостаточность проектных и строительных заделов по строительству электростанций. По электрическим сетям — слабая связь ряда промышленных узлов с основной сетью 220–500 кВ, где как раз и проявился интенсивный рост нагрузок. Это характерно для Серово-Богословского, Березниковско-Соликамского, да и других энергорайонов. При этом электростанции Урала практически не имеют собственной топливной базы и работают почти полностью на дальнепривозном топливе — природном газе и экибастузском угле (Казахстан). Так, в структуре топливного баланса электростанций Свердловской области газ составляет 49 %, уголь — 50,5 %, из них дальнепривозной — 48 %.

Удовлетворение растущих потребностей энергообеспечения экономи-

ки Урала возможно по следующим направлениям:

- развитие действующих или сооружение новых энергоисточников с привлечением средств потребителей;

- усиление магистральных и распределительных электрических сетей для получения дополнительных объемов электроэнергии из соседних регионов;

- интенсивное снижение энергоемкости валового регионального продукта за счет изменения структуры экономики и промышленности в сторону отраслей с большей добавленной стоимостью и меньшей энергоемкостью, освоения инновационных и энергосберегающих технологий;

- включение в энергобаланс местных возобновляемых и нетрадиционных энергоносителей, прежде всего торфа и отходов лесной промышленности на основе новых технологий их подготовки и сжигания.

На железнодорожном транспорте за период экономического роста 2000–2008 гг. обострились проблемы провозной и пропускной способности. За последние пятнадцать лет грузооборот колебался в 2,5-кратном диапазоне. Наиболее напряженное практически в масштабах всей сети сечение — это выходы с Урала на Запад. Большая часть потокообразования страны происходит на Урале и в Сибири. Более 70 % грузовой базы страны формируется восточней Волги. В условиях экспортно-ресурсного типа экономического роста роль транзита через Урал особенно велика. Перед началом кризиса темпы роста погрузки на самом Урале — наивысшие по РФ. Если бы темп роста сохранился, то пропускные способности всех трех выходов Транссиба с Урала на запад — Пермский, Дружининский, Кропачёвский — к 2015 году были бы полностью исчерпанными. По Сверд-

ловской области наиболее исчерпанным по пропускным способностям является участок Свердловск — Богданович. Нужен сплошной второй путь линии Каменск-Уральский — Челябинск, позволяющей перебрасывать потоки между Свердловским и Челябинским ходами Транссиба. Это записано в «Стратегии развития железнодорожного транспорта». В более отдаленной перспективе необходимо радикальное решение по разгрузке Транссиба, в первую очередь, за счет развития северо-сибирского направления. Этому, в частности, могут послужить объекты, рассматриваемые в составе мегапроекта «Урал промышленный — Урал Полярный».

Спад производства, начавшийся в 2008 г., существенно разгрузил и железнодорожный транспорт, и электроэнергетическую систему. Последний зимний максимум электрической нагрузки Свердловской энергосистемы ниже максимума 2007 г. почти на 15 %. Резко упали суммарные объемы угля, принимаемые на Серовскую и Верхнетагильскую ГРЭС из Экибастуза, а это характерный пример снижения нагрузки на транспортную сеть. Все это временно смягчает напряженность в обеспечении экономики услугами инфраструктур.

Однако именно энергетика и транспорт могут и должны стать важнейшим приоритетом в проведении антикризисной политики. Однако этому угрожает полный развал прежней и несформированность новой системы управления развитием в электроэнергетике. В основу прогноза развития генерирующих мощностей легли планы генерирующих компаний. Кризисный спад производства и ожидание дальнейшего обострения кризиса заставил их пересматривать свои инвестиционные программы. Сейчас продолжают работы только по строительству ПГУ-410 на СУГРЭС и БН-880 Белоярской АЭС.

Государственная политика в сфере основных производственных инфраструктур на федеральном и региональном уровнях должна быть направлена на обеспечение их развития, в том числе в условиях неблагоприятной экономической конъюнктуры. Это станет фундаментом позитивного разрешения кризиса, то есть обеспечит последующее развитие экономики, позволит отладить новые механизмы управления, будет стимулировать внутренний спрос и прогрессивные сдвиги в структуре последующего экономического роста.

Чтобы преодолеть накопившееся за предыдущие 15–20 лет отставание в развитии инфраструктур, потребуются повышенные темпы их развития в ближайшем и последующем периодах. Их придется обеспечивать в условиях децентрализации — при согласовании интересов инфраструктурных и промышленных корпораций с интересами регионов. Поэтому будут востребованными инициативы в сфере развития со стороны региональных властей. Крупные инфраструктурные объекты транспорта и энергетики имеют межрегиональное значение, их обоснование связано с макрорегиональной системой отсчета, их функционирование затрагивает, по крайней мере, несколько субъектов РФ. Поэтому объективно существует многовариантность их размещения в сопредельных субъектах Федерации. Территория, на которой они фактически будут размещены, в конечном счете, экономически только выигрывает — регион повышает свою конкурентоспособность на длительный период последующего развития. Это касается крупных электростанций, транспортных узлов, систем логистики и др.

Другими словами, целесообразно формировать в каждом регионе собственную систему мер по долгосрочному развитию энергетики и транс-

порта. В Свердловской области уже есть ценный опыт их разработки — «Схема развития и размещения производительных сил области на период до 2015 г.», «Концепция развития логистики в Свердловской области на период до 2020 г.» [1] и «Программа развития кооперации на территории Свердловской области до 2020 г.». Но подобные документы необходимо оперативно корректировать, конкретизировать, доводить до обоснования пакетов из проектов. Только так можно восстановить и сделать замкнутым цикл управления развитием приоритетных макросистемных производственных инфраструктур. Такой цикл управления должен включать: анализ, концептуирование, стратегирование, программирование и мониторинг.

Анализ определяет степень использования ресурсного, производственно-технического, производственно-экономического, кадрового, внешнеэкономического, инвестиционного и других потенциалов.

Концептуирование, в данном случае, состоит в транслировании общенациональных приоритетов, ценностей и целей на региональный уровень. Это также вписывание региона в них, определение целесообразного масштаба выделения регионально-го уровня подсистем для целей регионального и макрорегионального управления развитием. Концепция развития больших систем на региональном уровне должна, в частности, сформировать и оценить сценарии развития, обосновать целевой и наиболее вероятный сценарии, поскольку потребности в деятельности больших систем инфраструктуры задаются характером фактически осуществляемого социально-экономического и технологического сценария. Так, для транспортных систем сценарии технологической модернизации, связанный с развитием специализированных производств

и внутренней кооперации, означает потребность в таком типе организации транспортной системы, который выравнивает транспортную доступность узлов и сочетает концентрацию грузопотоков на магистральных ходах с интенсивным индивидуальным транспортным обслуживанием на ответвлениях и местных районах тяготения. С другой стороны, сценарий, в котором превалирует экспорт сырья и энергоносителей и, соответственно, импорт наукоемкой потребительской и инвестиционной продукции, предполагает перераспределение транспортных ресурсов для усиления международных транзитных коридоров и глубоких транспортных вводов, усиливающих связи ресурсных регионов страны с морскими портами и сухопутными границами.

Посткризисный экономический рост, по какому бы сценарию он ни пошел, очень быстро выявит острые инфраструктурные ограничения, а вот развитие самих систем инфраструктуры очень инерционно. Особенно это касается отраслей с системной технологией и организацией, в первую очередь, энергетики и транспорта. Им необходимо обеспечить опережающее развитие, решая одновременно накопившиеся в этих отраслях проблемы. Роль этих отраслей в условиях возобновления развития ключевая: требуются вложения стратегического, многоцелевого характера, и сравнительно медленно окупаемые, которые, во-первых, должны снимать инфраструктурные ограничения экономического роста, во-вторых, способны обеспечить сопряженный системный эффект для социально-экономического развития страны и регионов.

В стратегировании конструктивно описываются тенденции, проблемы и параметры развития соответствующих систем на пространстве регионов, формируется образ их будущего, определяются магистральные направления

развития и средства достижения целей. В программировании разрабатываются тактические средства достижения целей, а стратегические задачи трансформируются в узловые проблемы. Мониторинг выполняет контрольные функции в организации управления и связан, как правило, с корректировкой первоначально сформулированных целей и стратегий, выступая своеобразной обратной связью.

Этот цикл охватывает лишь предпроектную, по существу, предынвестиционную фазу государственного управления. Циклы проектирования и материального воплощения объектов систем разворачиваются параллельно и должны быть учтены в соответствующих общегосударственных и региональных программах развития.

Кризис, с одной стороны, заставляет строже подойти к проектам, обоснованию сроков, этапности, составу участников, выбору механизмов реализации, ресурсному обеспечению. А с другой стороны, позволяет принять эффективные и стратегически оправданные решения.

Мы предлагаем активизировать следующие направления деятельности власти и экспертного сообщества по макросистемным производственным инфраструктурам.

В сфере энергетики

Разработать и принять региональную концепцию энергетической политики в кризисных и посткризисных условиях и долгосрочную энергетическую стратегию для Урала (Уральского федерального округа) и его областей. В этих документах, в частности, разработать в качестве ключевого стратегического направления формирование новой эффективной структуры энергетического комплекса региона. Такая структура предполагает: а) эффективную теплофикацию населенных пунктов, прежде всего,

на основе строительства газотурбинных и парогазовых установок, сочетания централизованной и децентрализованной систем когенерации энергии; б) реализацию местного энергетического потенциала путем развития установок, использующих нетрадиционные возобновляемые источники энергии (малые ГЭС, торф, отходы лесной промышленности, биотопливо и др.); в) координацию развития отдельных объектов региональной энергетики, находящихся в ведении разных собственников в соответствии с потребностями региона; г) содействие оптимизации эксплуатационных режимов энергосистем, минимизирующей затраты на производство и распределение электроэнергии (неоптимальность режимов — прямой результат проведенных реформ в электроэнергетике); д) привлечение энергетических компаний к деятельности по повышению энергоэффективности в потреблении и производстве энергии; е) формирование и поддержание конкурентной среды в энергетическом комплексе региона; ж) развитие производства энергетического и электротехнического оборудования на основе кооперации промышленных предприятий Урала.

Для реализации указанных приоритетов необходимо создать соответствующий мотивационный механизм [2, с. 39].

Для координации решений по развитию энергетики региона предлагается создать общественно-государственную структуру в виде, например, областного энергетического совета.

В сфере транспорта и макрологистики

Разработать областную региональную концепцию комплексного транспортного развития в условиях кризиса и последующего развития. В частности, инициировать уточнение и де-

тализацию стратегических приоритетов развития сети и инфраструктуры железнодорожного транспорта в зоне Урала и прилегающих территорий, имея ввиду перераспределение грузопотоков и возрастание нагрузки на отдельные участки и узлы сети железных дорог в связи с намеченными в Стратегии объектами («Урал промышленный — Урал Полярный», Белкомур, Северо-Сибирский ход и др.)

В этих документах, в частности, сформировать систему управления развитием транспортных систем на уровне Уральского макрорегиона и Свердловской области [3]. Она должна включать циклический процесс подготовки схем развития и размещения транспортных систем на основе взаимной увязки решений по развитию разных видов транспорта и межрегионального сопряжения. Проекты развития должны включать: а) периодическое обновление транспортной стратегии; б) схемы развития и размещения транспортных систем; в) пакеты обосновывающих материалов по крупнейшим и крупным транспортным проектам, затрагивающим интересы области.

Признать необходимым восстановление всего цикла проектирования развития транспортной сети путем периодического государственного заказа на выполнение схемных и внестадийных проектных работ (обосновывающих материалов). Обеспечить

согласованность в реализации больших инфраструктурных проектов, реализуемых в разных регионах страны. Разработать систему показателей для обоснования целесообразного диапазона суммарного приращенности протяженности новых участков транспортных сетей исходя из ограничений сверху и снизу и принципов территориального распределения совокупного транспортного ресурса.

В интересах сопровождения осуществления стратегий и программ развития инфраструктуры транспорта целесообразно возложить функцию заказчика и координатора по задачам государственного транспортно-экономического прогнозирования на соответствующую региональную структуру.

Системность и стратегичность — вот те качества, к которым — после длительной приостановки развития и существенного снижения эффективности функционирования — должно вернуться управление развитием транспортных и энергетических систем. А в новых условиях модернизируемой экономики правомерно поставить вопрос и синергетичности их развития. Именно эти качества обуславливают потенциал воздействия больших инфраструктурных систем на размещение и развитие производительных сил и другие процессы территориальной организации хозяйства. ■

Литература

1. Программа развития кооперации на территории Свердловской области до 2020 г. / Под ред. акад. А. И. Татаркина. Екатеринбург : ИЭ УрО РАН, 2009.
2. Петров М. Б., Добродей В. В., Домников А. Ю. Стратегическое управление и организационно-экономический механизм развития энергообеспечения региона (Препринт ИЭ УрО РАН). — Екатеринбург : Институт экономики УрО РАН, 2008.
3. Петров М. Б. Эволюционные закономерности организации региональной системы транспорта // Теория эволюции социально-экономических систем / Под ред. акад. А. И. Татаркина. — Екатеринбург : ИЭ УрО РАН, 2008. — С. 401–420.

Статья сдана в редакцию 16. 11. 2009 г.

В. М. Сай

Организация сотрудничества вузов железнодорожного транспорта и компании «РЖД»

В результате реформирования железнодорожного транспорта научный комплекс отрасли был расчленен на две части: а) научно-исследовательские институты, ПКТБ, научные центры и др., б) высшие учебные заведения.

Разделение происходило не с учетом максимального сохранения эффективности отраслевой науки, а с учетом, с одной стороны, создания имущественного комплекса формируемой компании, а с другой, действующих в стране нормативно-правовых актов.

В результате две половинки когда-то единого целого оказались в разных организационно-правовых полях: НИИ и ПКТБ — открытого акционерного общества, а вузы — государственного учреждения (конечно, с разной формой собственности: акционерной и государственной).

С имущественной точки зрения, подавляющее большинство материальных активов сохранено за структурами, находящимися в ОАО «РЖД». А практически вся экспериментальная база осталась за НИИ. С этой точки зрения компания «Российские железные дороги» не понесла никаких потерь.

В отрасли же сложилась вполне объективная и реальная ситуация: основная часть нематериальных активов (интеллектуальная собственность) находится в вузах. С этой

точки зрения разделение научного комплекса наносит колоссальный ущерб железнодорожному транспорту. Внедрение вузовских научных разработок всегда проходило крайне непросто. В настоящее время этот процесс усложнился еще больше, что существенно снижает к нему интерес вузов.

Основной кадровый научный потенциал железнодорожного транспорта сосредоточен в вузах МПС. Поэтому теоретические исследования, поисковые наработки, выполняемые в вузах в дореформенный период, имели целевое назначение — НИИ, ПКТБ, другие научные структуры отрасли. Передача результатов была реализована тремя путями: директивно, через хозяйственные договоры, путем совместного опубликования (анализ публикаций).

Разделение научного комплекса отрасли привело к крайне негативному явлению: с одной стороны, юридическое отделение теоретических и поисковых научных исследований по проблемам железнодорожного транспорта от компании «РЖД»; с другой стороны, организационно-правовое отделение вузов от экспериментальной и внедренческой базы ОАО «РЖД».

Безусловно, сохранить статус-кво невозможно. Однако восстановить нарушенные пропорции хотя бы частично можно.

Далее будем исходить из того, что компания «Российские железные дороги» в ближайшей перспективе преобразуется в холдинговую компанию; научно-производственный комплекс компании будет представлять собой сеть зависящих акционерных обществ, объединенных вокруг интегратора холдинга в лице ЦТех.

Здесь подразумевается создание только имущественного холдинга, когда материнской компании передается часть материальных активов в виде акций (контрольного, блокирующего пакета или «золотой» акции).

Безусловно, вузы в связи с разной формой собственности не смогут войти в такой холдинг.

Интеграция вузовской науки и научно-производственного комплекса (НПК) ОАО «Российские железные дороги» крайне важна как для вузов, так и для самой компании и холдинга в целом. Понимая и признавая это, предлагаем свое видение такого объединения.

Мировая практика говорит, что помимо имущественных холдингов, существуют и договорные, а на их основе и симбиоз — имущественно-договорные холдинги.

В проекте Закона «О холдингах» (постановление от 27 июня 2001 г. № 1696-П ГД) эта структура определена как «... совокупность двух или более юридических лиц (участников холдинга), связанных между собой отношениями (холдинговыми отношениями) по управлению одним из участников (головной компанией) деятельностью других участников холдинга на основе права головной компании определять решения, принимаемые другими участниками». Суть создания такого объединения заключается в выработке холдинговых отношений, приемлемых для обеих сторон. Если для имущественного холдинга такие отношения строятся на распределении иму-

щества, то в договорном — на делегировании части компетенций снизу вверх и сверху вниз, без передачи имущественных прав.

Холдинговые отношения между холдинговой компанией и вузами могут возникнуть при наличии:

а) решений (нормативных актов о создании договорного холдинга), принятых в пределах своей компетенции участниками холдинга, а для вузов и нормативных актов их учредителей;

б) договоров между холдинговой компанией и вузами (как юридическими лицами) о вхождении в холдинг или договоров между холдинговой компанией и учредителем вузов.

Основные цели создания договорного холдинга:

1) консолидация деятельности НПК холдинга и научного потенциала вузов железнодорожного транспорта, направленная на инновационное развитие компании;

2) общая техническая, экономическая и кадровая политика и единый контроль соблюдения интересов холдинговой компании и вузов;

3) ускорение процесса диверсификации научных исследований;

4) обеспечение для вузов доступа к производственной и экспериментальной базе компании НПК холдинга «РЖД»;

5) использование вузами франчайзинговых отношений с ОАО «РЖД».

При таком варианте вузы становятся равноправным партнером научных и научно-производственных организаций холдинговой компании «РЖД».

Структура холдингового типа — это группа со стратегическим центром, который в состоянии по-настоящему контролировать и управлять. Основная ее идея заключается в том, что должно быть полное соответствие между процессом принятия решений стратегической структурой, с одной

стороны, и исполнительной, с другой [1]. Структура контроля, определяемая структурой заказов, формирует центростремительные тенденции в группе, превращает ее из просто ассоциации разрозненных предприятий в единый организм. Холдинговая структура становится привлекательной для инвесторов, поскольку они могут ясно идентифицировать центр контроля, а значит, и объект финансовых вложений [2, 3].

Безусловно, стратегическим центром научно-исследовательского комплекса, а точнее интегратором этой сети, может и должен выступать департамент технической политики ЦТех.

Структура, представленная в таблице 1, не имеет иерархии. В данном случае имеет место объединение равноправных партнеров. Виртуальные уровни не наводят иерархии. Они лишь

структурируют предприятия и организации холдинга по приоритетам. В таблице 1 приведены некоторые характеристики такой структуры.

Далее рассмотрим, какие показатели могут послужить основой формирования холдинговых отношений договорного холдинга. Сразу оговоримся: это лишь небольшая часть, которая может послужить основой для уточнения и расширения перечня.

1. Разработка франчайзинговых отношений между сторонами (выработка контрактной льготы). Не вдаваясь в подробности, можно констатировать, что существующие ранее (в МПС) отношения могли бы послужить основой отношений в холдинге.

2. В основе холдинговых отношений должна быть плано-контрольная система, предполагающая соблюдение участниками холдинга усло-

Таблица 1

Некоторые характеристики организационной структуры научно-исследовательского комплекса холдинговой компании ОАО «РЖД»

Элементы организационной структуры	Обоснование приоритета	Тип холдинговых отношений	Формирование холдинговых отношений
Интегратор сети (ядро)	Планирование Организация Регулирование Контроль	—	—
Уровень 1	Научно-производственные организации с самыми высокими приоритетами (ВНИИЖТ, ВНИУП и др.)	Имущественные Передача материальных активов в виде акций	Директивные
Уровень 2	Организации, ранее находившиеся в структуре МПС, ОАО «РЖД», и вузы	Договорные Передача компетенций	Взаимовыгодные (снизу вверх, сверху вниз)
Уровень 3	Научные организации, ранее не входившие в состав МПС или ОАО «РЖД», но зарекомендовавшие себя как надежные партнеры	Договорные Передача компетенций Вещные	Взаимовыгодные Директивные
Уровень 4	Научные организации, которые могут быть привлечены к сотрудничеству с научным комплексом холдинга	Договорные Передача компетенций	Взаимовыгодные

вий сохранения (соблюдения) внутриотраслевых пропорций. Со стороны вузов это означает увеличение ответственности перед ОАО «РЖД».

3. Сохранение (развитие) единого информационного пространства.

4. Более мелкие, но очень важные предложения:

- создание института консультантов с распорядительными правами ЦТех (обязательного исполнения);

- сохранение членства проректоров вузов в работе Совета главных инженеров ОАО «РЖД»;

- создание ОАО «РЖД» в вузах отраслевых лабораторий;

- согласование действий при совместном использовании кадрового потенциала сторон (работа с вузом, а не с отдельными научными работниками);

- и т. д.

Разумеется, этот перечень предложений может быть значительно расширен.

Создание договорного холдинга в секторе научно-исследовательского комплекса порождает организационно-экономическое поле ОАО «РЖД», в которое входят и вузы железнодорожного транспорта.

Организационно-экономическое поле имеет более слабое распорядительное воздействие, чем при организационно-правовом объединении структур [4]. Однако даже в этом случае ярко проявляется синергический эффект [5]. Но самое главное, появляется одна из организованных форм отношений между ОАО «РЖД» и вузами железнодорожного транспорта. В этом случае производственная деятельность ОАО «РЖД» будет опираться и ориентироваться на вузы и их научно-исследовательскую деятельность. Выше предложена и обоснована основополагающая идея отношений ОАО «РЖД» и вузов МПС в форме договорного холдинга. Считаем, что в основу взаимоотношений долж-

на быть положена именно эта форма отношений. Что касается конкретного наполнения холдинговых отношений, то оно легко реализуемо в случае определения и принятия такой формы отношений. Рассмотрим один из важных вопросов повышения эффективности вузовской науки и, в частности, работы молодых ученых для инновационного развития компании ОАО «РЖД». Речь пойдет о выстраивании организационно-экономических отношений между вузами и железными дорогами — филиалами ОАО «РЖД».

Сегодня в результате объективных, да и, пожалуй, некоторых субъективных факторов продуктивные отношения между вузами и железными дорогами утрачены. В правовой (законодательной) базе сложилась парадоксальная ситуация: вузы наделены большими организационно-правовыми возможностями, чем железные дороги. Железная дорога как филиал не может быть членом ассоциации, союза, создавать совместные предприятия, участвовать в некоммерческом партнерстве. А рыночные отношения зачастую вынуждают создавать в оперативном порядке новые организационно-экономические отношения с хозяйствующими субъектами. Сегодня перейти на планово-контрактные отношения во взаимоотношениях «железная дорога — вуз» невозможно, а просто договорные отношения бывают неэффективны, причем для обеих сторон. Одной из форм научного сотрудничества ОАО «РЖД» и, в частности, железных дорог, с вузами железнодорожного транспорта является создание региональных технопарков с организационно-правовой формой, определенной Гражданским кодексом. Однако ни вуз, ни железная дорога по ряду объективных причин не могут выступить организующим ядром такой структуры: вуз как учреждение, не являющееся потребителем научно-

емкой продукции, а железная дорога как филиал, не имеющий статуса юридического лица.

Автором предложено создать интегрированное организационное ядро: ОАО «РЖД» как структура, образующая холдинг (в регионах — железная дорога), и вуз железнодорожного транспорта как обладатель научного и кадрового потенциала.

Такой интегратор может выстраивать взаимоотношения на ассоциативной основе или на других организационно-правовых формах. Учредителем же интегрирующей структуры являются ОАО «РЖД» и вуз (вузы) железнодорожного транспорта.

При такой организации регионального технопарка возникает структура, способная интегрировать научно-производственный потенциал региона и направлять его на инновационное развитие ОАО «РЖД» и холдинга в целом. Это подтверждается тем, что, с одной стороны, она имеет научный и кадровый потенциал, а с другой, является заказчиком наукоемкой продукции.

Таким образом, железная дорога де-факто становится интегратором научно-производственного комплекса региона, работающего на ОАО

«РЖД» и холдинг в целом, а вуз — интегратором и исполнителем научно-исследовательских работ и базой подготовки научных и инженерных кадров как для структур холдинга, так и структур, объединенных технопарком. Это способствует выработке (читай: проведению холдингом) единой научно-технической политики, единых требований к продукции отрасли, единого подхода в организационно-экономическом взаимодействии всех хозяйствующих субъектов объединенных организационно-правовыми и организационно-экономическими формами.

Это один из примеров организации сотрудничества формируемой холдинговой компании и вузов железнодорожного транспорта.

Итак, создание имущественно-договорного холдинга как одной из эффективных организационно-экономических форм сотрудничества позволяет его участникам и, в первую очередь, компании ОАО «РЖД» как интегратору сети привлекать научно-исследовательский потенциал транспортных вузов для решения задач развития железнодорожной отрасли страны на основе планово-контрактных форм взаимодействия. ■

Литература

1. Сай В. М. Планетарная структура: корпоративные варианты // Мир транспорта. 2003. Т. 01. № 1. С. 96–102. ISSN 1992–3252.
2. Сай В. М., Шутюк С. В. Интегрированный коэффициент эффективности проектов при взаимодействии ОАО «РЖД» с региональными хозяйствующими субъектами // Транспорт Урала. 2005. № 2. С. 4–11. ISSN 1815–9400.
3. Сай В. М., Фомин В. К. Моделирование системы взаимоотношений железной дороги с хозяйствующими субъектами // Транспорт Урала. 2008. № 4. С. 15–19. ISSN 1815–9400.
4. Сай В. М., Сизый С. В. Организационные структуры как мультиоператорные сети. Задачи прочности и устойчивости // Транспорт Урала. 2009. № 2. С. 5–8. ISSN 1815–9400.
5. Сизый С. В. Организационные процессы в сетях с разделенными интересами: актуальность, постановка задачи, план исследования. / С. В. Сизый, С. В. Вихарев, А. В. Щичко // Вестник УрГУПС. 2009. № 1–2. С. 34–43.

Статья сдана в редакцию 29. 10. 2009 г.

В. Л. Нестеров, В. И. Радченко, Е. А. Русакова

Методика оценки рисков чрезвычайных происшествий на транспорте

Функциональная стратегия обеспечения гарантированной безопасности и надежности перевозочного процесса ОАО «РЖД» предусматривает разработку методик определения рисков чрезвычайных происшествий (ЧП) и эффективного распределения финансовых средств, направляемых на реализацию мероприятий по снижению рисков ЧП.

Риск должен трактоваться как вероятностная характеристика, а методики должны учитывать что риск ЧП зависит от сочетания квалификации, численного состава персонала, технического состояния системы и условий внешней среды. Событие, рассматриваемое как ЧП, появляется в результате осуществления последовательности (цепи, ряда) причинных событий (отказов, аварийных ситуаций, брака в работе и т. п.).

Цель данной работы — получить математические выражения для рисков ЧП через вероятностные характеристики предшествующих причин-

ных событий и установить связь между теорией рисков и теорией надежности.

В рамках статистического подхода ЧП представляет собой случайное событие E^c . Случайные события E_i , являющиеся последовательностью причин ЧП, распределены во времени. Рассмотрим простейшую ситуацию, в которой причиной ЧП является единственное событие E_1 (процесс $E_1 \rightarrow E^c$ (рис. 1)).

Плотность распределения вероятности возникновения события E_1 в произвольный момент времени t_1 обозначим $\varphi(t_1)$. Произведение $dp_1 = \varphi(t_1) dt_1$ равно вероятности события E_1 в промежутке времени $[t_1, t_1 + dt_1]$. Вероятность возникновения события E^c в период времени $[t, t + dt]$ вследствие причинного события E_1 , произошедшего в момент времени t_1 , представляет собой дифференциальную по времени условную вероятность (вероятность появления E^c при условии, что произошло событие E_1) [4]:

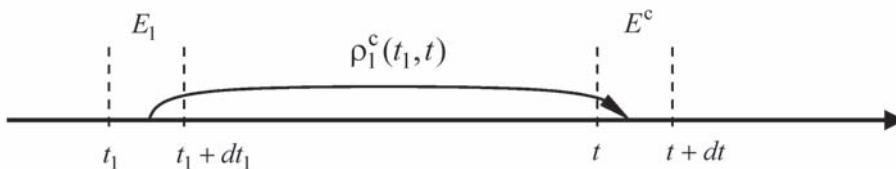


Рис. 1

Сведения об авторах: **Валерий Леонидович Нестеров** — д-р техн. наук, профессор (Уральский государственный университет путей сообщения). Тел.: 367-41-10. E-mail: VNesterov@usurt.ru.

Валерий Иванович Радченко — д-р физ.-мат. наук, профессор (Уральский государственный университет путей сообщения). Тел.: 358-55-13. E-mail: VRadchenko@ecf.usurt.ru.

Елена Александровна Русакова — доцент (Уральский государственный университет путей сообщения). Тел.: 358-55-62. E-mail: ERusakova@usurt.ru.

$$dp(E^c | E_1) = \rho_1^c(t_1, t) dt, \quad (1)$$

где $\rho_1^c(t_1, t)$ — плотность распределения во времени вероятности появления события E^c в момент t при условии осуществления события E_1 в некоторый момент времени $t_1 < t$ (при $t_1 \geq t$ формально можно считать, что $\rho_1^c(t_1, t) = 0$).

Вероятность события E^c в период $[t, t + dt]$ в результате события E_1 в промежутке времени $[t_1, t_1 + dt_1]$ с вероятностью dp_1 равна

$$\begin{aligned} d^2 p(t, t + dt) &= dp_1 dp(E^c | E_1) = \\ &= \varphi(t_1) \rho_1^c(t_1, t) dt_1 dt. \end{aligned} \quad (2)$$

Проинтегрировав (2) по переменной t_1 в интервале $(-\infty, t)$, найдем вероятность возникновения события E^c в период времени $[t, t + dt]$ при осуществлении E_1 в любой точке интервала $(-\infty, t)$:

$$dp(t, t + dt) = dt \int_{-\infty}^t \varphi(t_1) \rho_1^c(t_1, t) dt_1. \quad (3)$$

Риск ЧП E^c в момент времени t вследствие причинного события E_1 определим отношением вероятности (3) к величине интервала dt :

$$\begin{aligned} r_{1c}(t) &= \frac{dp(t, t + dt)}{dt} = \\ &= \int_{-\infty}^t \varphi(t_1) \rho_1^c(t_1, t) dt_1. \end{aligned} \quad (4)$$

Заменив в (4) функцию $\rho_1^c(t_1, t)$ постоянной по аргументу t_1 эффективной величиной $\rho_1^c(t)$, не меняющей значение интеграла (4), получим:

$$r_{1c}(t) = \rho_1^c(t) \int_{-\infty}^t \varphi(t_1) dt_1 = p_1(t) \rho_1^c(t), \quad (5)$$

где $p_1(t)$ — вероятность появления события E_1 до момента t , то есть в интервале $(-\infty, t)$. Функция $\rho_1^c(t)$ имеет смысл вероятности появления ЧП E^c в единицу времени на момент t при осуществлении E_1 до момента t .

Полученные результаты можно обобщить на случай произвольной последовательности событий:

$$E_1 \rightarrow E_2 \rightarrow \dots \rightarrow E_i \rightarrow \dots \rightarrow E_n \rightarrow E^c. \quad (6)$$

Интегральная формула для риска ЧП в цепи событий (6), подобная формуле (4), запишется следующим образом:

$$\begin{aligned} r_{12\dots i\dots nc}(t) &= \int_{-\infty}^t \varphi(t_1) dt_1 \int_{t_1}^t \rho_{12}(t_1, t_2) dt_2 \times \dots \\ &\times \int_{t_{i-1}}^t \rho_{i-1,i}(t_{i-1}, t_i) dt_i \dots \\ &\dots \int_{t_{n-1}}^t \rho_{n-1,n}(t_{n-1}, t_n) \rho_n^c(t_n, t) dt_n, \end{aligned} \quad (7)$$

где $\rho_{i-1,i}(t_{i-1}, t_i)$ — плотность распределения условной вероятности события E_i по переменной t_i при условии осуществления события E_{i-1} в момент t_{i-1} ; $\rho_n^c(t_n, t)$ — плотность распределения условной вероятности ЧП E^c в зависимости от t при условии осуществления события E_n в момент t_n .

Аналогично тому, как это делалось при выводе формулы (5), для риска (7) получим выражение в виде последовательного произведения вероятности исходного события $p_1(t)$, условных вероятностей промежуточных событий $p_{i-1,i}(t)$ и условной вероятности ЧП в единицу времени $\rho_n^c(t)$:

$$\begin{aligned} r_{12\dots i\dots nc}(t) &= p_1(t) p_{12}(t) \dots \\ &\dots p_{i-1,i}(t) \dots p_{n-1,n}(t) \rho_n^c(t), \end{aligned} \quad (8)$$

где $p_{i-1,i}(t)$ — постоянные по переменной t_{i-1} эффективные функции, на которые заменяются в (7) интегралы вида $\int_{t_{i-1}}^t \rho_{i-1,i}(t_{i-1}, t_i) dt_i$ без изменения величины риска (7).

Интегрируя выражение (7) по переменной t в некоторых пределах $[t', t'']$, найдем вероятность (риск) ЧП $p_{12\dots nc}(t', t'')$ на данном промежутке времени.

Рассмотрим задачи, для которых кривые $\rho_n^c(t_n, t)$, $\rho_{i-1,i}(t_{i-1}, t_i)$, $\forall i$, не пересекаются (или таким пересечением можно пренебречь); тогда

$$\int_{t_{i-1}}^t \rho_{i-1,i}(t_{i-1}, t_i) dt_i \cong \int_{t_{i-1}}^{\infty} \rho_{i-1,i}(t_{i-1}, t_i) dt_i = p(E_i | E_{i-1}), \quad (9)$$

$$\int_{-\infty}^t \varphi(t_1) dt_1 \cong \int_{t_0}^{\infty} \varphi(t_1) dt_1 = p(E_1), \quad (10)$$

где $p(E_i | E_{i-1})$ — условная вероятность события E_i при условии осуществления события E_{i-1} [1]; $p(E_1)$ — полная вероятность события E_1 .

Кроме того, в выражении (7) можно провести интегрирование функции $\rho_n^c(t_n, t)$ по переменной t в формальных пределах от $-\infty$ до $+\infty$. В результате получим следующую формулу для полной вероятности (интегрального риска) ЧП при развитии событий в последовательности (6):

$$p_{12...nc} = p(E_1)p(E_2 | E_1) \dots \dots p(E_n | E_{n-1})p(E^c | E_n), \quad (11)$$

где

$$p(E^c | E_n) = \int_{-\infty}^{\infty} \rho_n^c(t_n, t) dt \quad (12)$$

— условная вероятность ЧП E^c при условии осуществления события E_n .

Итак, формула (7) для риска ЧП отражает (через функции $\varphi(t_1)$ и $\rho_{i-1,i}(t_{i-1}, t_i)$) особенности развития причинных событий во времени, что дает методологическую возможность эффективно выявлять важнейшие причины с точки зрения предотвращения ЧП. Выражение (7) может быть сведено к произведениям известного вида (8), (11) для расчета вероятности конечного события через условные вероятности причинных событий.

На основе равенств (8), (11) введем формулы для определения рисков

ЧП в последовательностях причинных событий различного типа.

Будем обозначать причинные события, возникающие вследствие человеческого фактора, индексом h , события, возникающие вследствие техногенного фактора, — индексом t , а события, возникающие в окружающей среде, — индексом e , и говорить о h -, t - или e -событиях (факторах риска). Приводящие к ЧП действия людей, находящихся в окружающей среде, будем относить к факторам окружающей среды. В простейшем случае ЧП может произойти в результате единичного события, принадлежащего одному из факторов — h , t или e , — то есть цепочка причинных событий сводится к виду h , t или e . Такие цепочки событий будем называть вырожденными.

Ряды событий формируются из факторов $N=3$ типов h , t , e . Пусть рассматриваются ряды событий, содержащие n причинных событий (объем или длина ряда). Число различных рядов объема n из факторов N типов во всех возможных сочетаниях равно $N^n = 3^n$ [1].

В общем случае одно и то же ЧП (или некоторое промежуточное событие) произвольного типа может быть вызвано любым конкретным событием из числа всех возможных h -, t - или e -событий.

Обозначим через h_{lm} вероятность h -события E_{lm}^h , в котором работник, занимающий l -ю должность, допустит ошибку m -го типа, ведущую к ЧП, а через $h(i|lm)$ — условную вероятность ЧП i -го типа при условии осуществления события E_{lm}^h . Обозначение вероятности через h указывает на то, что событие E_{lm}^h произошло вследствие человеческого фактора. Если риск r_i определен как вероятность ЧП в единицу времени, то и величина $h(i|lm)$ имеет смысл и размерность вероятности ЧП в единицу времени (см. формулу (8)).

Произведение $h_{lm}h(i|lm)$ есть парциальный (долевой) риск ЧП i -го типа вследствие именно события lm из числа возможных h -событий.

Пусть t_j — вероятность j -го техногенного события E_j^t , которое может повлечь за собой ЧП; $t(i|j)$ — условная вероятность ЧП i -го типа при осуществлении j -го причинного t -события, e_k — вероятность k -го события E_k^e в окружающей среде; $e(i|k)$ — условная вероятность ЧП i -го типа в случае k -го e -события в окружающей среде. Вероятности $t(i|j)$, $e(i|k)$ аналогичны $h(i|lm)$ и имеют размерность риска r_i .

Последовательности событий, ведущие к ЧП, попарно несовместны (при возникновении ЧП реализуется только одна последовательность), поэтому риск ЧП i -го типа будет равен сумме парциальных рисков ЧП i -го типа в каждой конкретной последовательности событий. С учетом введенных обозначений, риск ЧП i -го типа, обусловленный только лишь вырожденными последовательностями событий h, t, e , равен (см. формулу (8)):

$$r_i = \sum_{l,m} h_{lm}h(i|lm) + \sum_j t_j t(i|j) + \sum_k e_k e(i|k) + \dots \quad (13)$$

Многоточие в формуле (13) символизирует парциальные риски i -го ЧП вследствие невырожденных последовательностей событий.

Дополним выражение (13), включив в него риски ЧП, связанные с девятью бинарными последовательностями событий hh, ht, he, th, et и др. (объем ряда $n = 2$, число различных бинарных рядов $3^n = 9$).

Обозначим через $ht(j|lm)$ условную вероятность того, что событие E_{lm}^h приведет к событию E_j^t , через $th(lm|j)$ — условную вероятность того, что событие E_{lm}^h окажется следствием события E_j^t . Обозначение условных ве-

роятностей двумя буквами указывает на последовательность событий, поэтому, например, $et(j|k)$ — условная вероятность j -го t -события в результате k -го e -события, а $hh(l'm'|lm)$ — условная вероятность h -события $l'm'$ в случае h -события lm . Тогда, например, для последовательности событий ht произведение $h_{lm}ht(j|lm)t(i|j)$ есть парциальный риск ЧП i -го типа вследствие j -го t -события, которое, в свою очередь, может произойти из-за h -события lm , имеющего вероятность появления h_{lm} .

Вобщем случае парциальный риск для ряда событий произвольной длины равен произведению вероятности исходного события, условных вероятностей всех последующих (промежуточных) событий ряда и условной вероятности ЧП вследствие заключительного события (8), (14).

Условные вероятности промежуточных событий в рядах произвольной длины — это те же самые условные вероятности, которые введены выше для бинарных рядов событий. Определив условные вероятности для бинарных рядов событий, можно составить выражение для риска ЧП с учетом рядов событий произвольной длины.

Выписывая в формуле (13) в явном виде парциальные риски для бинарных рядов событий hh, ht, he, th, et , а также для ряда из трех событий het , получим

$$\begin{aligned} r_i = & \sum_{l,m} h_{lm}h(i|lm) + \sum_j t_j t(i|j) + \sum_k e_k e(i|k) + \\ & + \sum_{l,m} \sum_{l',m'} h_{lm}hh(l'm'|lm)h(i|l'm') + \\ & + \sum_{l,m} \sum_j h_{lm}ht(j|lm)t(i|j) + \\ & + \sum_{l,m} \sum_k h_{lm}he(k|lm)e(i|k) + \\ & + \sum_j \sum_{l,m} t_j th(lm|j)h(i|lm) + \dots + \\ & + \sum_k \sum_j e_k et(j|k)t(i|j) + \dots + \\ & + \sum_{l,m} \sum_k \sum_j h_{lm}he(k|lm)et(j|k)t(i|j) + \dots \quad (14) \end{aligned}$$

Итак, на основе равенств (8), (11) найдено выражение (14) для определения риска i -го ЧП в произвольных рядах причинных h -, t -, e -событий. Ясно, что для использования формулы (14) необходимо знать величины пятнадцати видов:

три вида вероятностей исходных событий h_{lm} , t_j , e_k ;

три вида условных вероятностей ЧП вследствие заключительного события $h(i|lm)$, $t(i|j)$, $e(i|k)$;

девять видов условных вероятностей промежуточных событий $hh(l'm'|lm)$, $ht(j|lm)$, $he(k|lm)$, $th(lm|j)$, $tt(j'|j)$, $te(k|j)$, $eh(lm|k)$, $et(j|k)$, $ee(k'|k)$.

Рассмотрим связь рисков ЧП с квалификацией персонала [2]. Обозначим через K_{lmk} квалификацию k -го работника, занимающего l -ю должность в m -й области должностных компетенций (знаний, навыков и умений их применить), причем $K_{lmk} \in [0,1]$, через N_l^{\max} — общее (оптимальное) количество работников, необходимых для выполнения функциональных обязанностей по данной должности (при любой форме организации труда, в том числе, при посменном режиме работы), а через N_l — фактическое количество работников.

Пусть методика определения квалификации обеспечивает выполнение условия пропорциональности, согласно которому вероятность p_{lmk} события, ведущего к ЧП и допущенного k -м работником l -й должности в m -й области должностных компетенций, пропорциональна разности $1 - K_{lmk}$, то есть $p_{lmk} \sim (1 - K_{lmk})$.

Поскольку обязанности по l -й должности должны выполнять N_l^{\max} работников, условие пропорциональности при статистическом подходе, учитывающем всех работников, следует записать для среднестатистической вероятности p_{lm} события, ведущего к ЧП и допущенного работни-

ками l -й должности в m -й области должностных компетенций, в виде

$$p_{lm} \sim \frac{1}{N_l^{\max}} \sum_{k=1}^{N_l^{\max}} (1 - K_{lmk}). \quad (15)$$

Раскрывая в (15) скобки и суммируя, найдем

$$p_{lm} \sim \left(1 - \frac{1}{N_l^{\max}} \sum_{k=1}^{N_l^{\max}} K_{lmk} \right). \quad (16)$$

Если $N_l < N_l^{\max}$, то квалификацию отсутствующих $N_l^{\max} - N_l$ работников, необходимых для полноценной организации труда, формально будем считать равной нулю, поэтому формула (16) предстанет в виде

$$p_{lm} \sim \left(1 - \frac{1}{N_l^{\max}} \sum_{k=1}^{N_l} K_{lmk} \right). \quad (17)$$

Разделив и умножив вычитаемое в формуле (17) на N_l , получим

$$p_{lm} \sim \left(1 - \frac{N_l}{N_l^{\max}} K_{lm} \right), \quad (18)$$

где

$$K_{lm} = \frac{1}{N_l} \sum_{k=1}^{N_l} K_{lmk} \quad (19)$$

— средняя квалификация работников l -й должности.

Из выражения (18) следует, что вероятность исходного h -события lm определяется выражением

$$h_{lm} = \alpha_{lm} \left(1 - K_{lm} \frac{N_l}{N_l^{\max}} \right), \quad (20)$$

где α_{lm} — коэффициент пропорциональности, имеющий смысл максимально возможной вероятности события (при $K_{lm} = 0$ или $N_l = 0$). При $N_l > N_l^{\max}$ риск ЧП не снижается, а соотношение N_l/N_l^{\max} , характеризующее кадровое обеспечение должности, в выражении (20) следует заменить единицей.

Обозначим через T_j показатель, характеризующий техническое состояние системы в связи с возможностью t -события j -го типа, которое может повлечь за собой ЧП. Величины, меняющиеся в любом конечном промежутке значений, всегда можно преобразовать к безразмерному виду и диапазону изменения $[0, 1]$, поэтому считаем $T_j \in [0, 1]$. Полагаем, что показатели T_j определены в соответствии с условием

$$t_j = \beta_j(1 - T_j), \quad (21)$$

где β_j — коэффициент пропорциональности, имеющий смысл максимально возможной вероятности события (при $T_j = 0$).

Пусть E_k — показатель состояния внешней среды относительно k -го t -события, ведущего к ЧП, причем $E_k \in [0, 1]$. Считаем, что методика определения данного показателя основана на условии

$$e_k = \gamma_k(1 - E_k), \quad (22)$$

где γ_k — коэффициент пропорциональности, имеющий смысл максимально возможной вероятности события (при $E_k = 0$).

Условные вероятности ЧП вследствие заключительного события $h(i|lm)$, $t(i|j)$, $e(i|k)$ обусловлены статистическими свойствами системы и подлежат эмпирическому определению (например, частотным методом); далее будем считать их известными. Вероятности $h(i|lm)$, $t(i|j)$, $e(i|k)$ могут зависеть от таких контролируемых показателей, как интенсивность функционирования (например, интенсивность перевозочного процесса) и время (с периодом суток и/или год и др.).

Рассмотрим условные вероятности промежуточных событий на примере вероятности $ht(j|lm)$. Условная вероятность $ht(j|lm)$ не зависит

от показателей процессов, приведших к h -событию, но зависит от показателя технического состояния T_j системы, в которой может произойти j -е t -событие. Поскольку показатель T_j определен ранее по принципу, согласно которому вероятность техногенных событий, ведущих к ЧП, пропорциональна разности $1 - T_j$, условную вероятность $ht(j|lm)$ представим в виде

$$ht(j|lm) = ht_{(lm)j}(1 - T_j), \quad (23)$$

где $ht_{(lm)j}$ — коэффициент пропорциональности, отличный от β_j в (21). Для удобства коэффициент пропорциональности обозначен той же парой букв, следующих в том же порядке, как и в обозначении условной вероятности, а индексы расставлены в порядке следования событий.

По аналогии с (23) можно записать выражения для оставшихся условных вероятностей; например, для $th(lm|j)$ будем иметь

$$th(lm|j) = th_{j(lm)} \left(1 - K_{lm} \frac{N_l}{N_l^{\max}} \right). \quad (24)$$

Условные вероятности промежуточных событий $ht(j|lm)$, $th(lm|j)$ и прочие должны определяться, как и вероятности $h(i|lm)$, $t(i|j)$, $e(i|k)$, частотным методом по результатам соответствующих статистических исследований. Формулы для условных вероятностей (23), (24) и подобные им при известных показателях K_{lm} , T_j , E_k позволят рассчитать значения $ht_{(lm)j}$, $th_{j(lm)}$ и остальных коэффициентов. Подставляя вероятности исходных и промежуточных событий, записанные через показатели K_{lm} , N_l , T_j , E_k в формулу (14), получим выражение, связывающее риск ЧП с квалификацией и численным составом персонала, показателями технического состояния системы и показателями состояния среды.

При необходимости выражение (14) может быть дополнено парциальными рисками i -го ЧП, обусловленными совмещением (одновременным осуществлением) любого числа причинных событий в произвольном сочетании. Например, появление порознь горючего вещества или открытого пламени уже может стать причиной ЧП, но их совместное появление увеличит риск ЧП многократно.

Важнейшая задача управления социально-экономическими системами заключается в целенаправленном улучшении показателей K_{lm} , N_l , T_j и E_k за счет подготовки и повышения квалификации персонала, совершенствования техники и технологий, обеспечения благоприятных условий окружающей среды. Для организации указанных мероприятий требуются финансовые средства.

Пусть $V_{lm}^h = V_{lm}^{h_1} + V_{lm}^{h_2}$ — финансовые средства на целевую подготовку $V_{lm}^{h_1}$ и повышение квалификации $V_{lm}^{h_2}$ персонала, V_j^t — финансовые средства на совершенствование техники и технологий, V_k^e — финансовые средства на обеспечение благоприятных условий окружающей среды (в данных обозначениях верхние индексы указывают на категорию фактора риска, а нижние — на конкретную причину события).

Показатели квалификационного и численного состава персонала, технического состояния системы, состояния окружающей среды являются функциями соответствующих финансовых средств: $K_{lm}(V_{lm}^{h_2})$, $N_l(V_{lm}^{h_1})$, $T_j(V_j^t)$ и $E_k(V_k^e)$. Подставляя эти функции в формулу (14), найдем зависимость риска i -го ЧП от величины указанных финансовых средств: $r_i(V_{lm}^h, V_j^t, V_k^e)$, в обозначении которой подразумевается, что индексы l, m, j, k пробегают все возможные значения.

Обозначим через f_i средние финансовые потери вследствие единичного

ЧП i -го типа. Величина $f_i r_i$ является финансовым риском вследствие единичного ЧП i -го типа. Если n_i — количество событий (действий, испытаний) на единичном промежутке времени, которые могут закончиться чрезвычайным происшествием i -го типа (например, число проследовавших железнодорожных составов), то произведение $F_i = n_i f_i r_i$ имеет смысл вероятных финансовых потерь в единицу времени из-за ЧП i -го типа, а сумма $F = \sum_i F_i$ — смысл вероятных финансовых потерь в единицу времени из-за ЧП всех возможных типов. Финансовые потери F , вслед за рисками r_i , являются функцией вида $F(V_{lm}^h, V_j^t, V_k^e)$. Сравнительный анализ величин F_i позволит установить экономическую значимость различных типов ЧП и предшествующих им событий.

Сформулируем принцип финансирования мероприятий по снижению рисков ЧП. Распределение финансовых средств

$$V = \sum_{l,m} V_{lm}^h + \sum_j V_j^t + \sum_k V_k^e, \quad (25)$$

направляемых на снижение рисков ЧП, должно быть решением оптимизационной задачи по минимизации вероятных финансовых потерь:

$$F(V_{lm}^h, V_j^t, V_k^e) \rightarrow \min_{V_{lm}^h, V_j^t, V_k^e}, \quad (26)$$

$$\forall l, m, j, k.$$

Минимизация финансовых потерь, вызванных ЧП, обеспечивает увеличение валовой прибыли и производительности труда.

Методы решения задач оптимизации известны и реализованы в информационных технологиях, поэтому принцип (26) распределения финансовых ресурсов, направляемых на снижение рисков ЧП, может стать одним из важнейших инструментов экономического управления.

Теория рисков имеет прямую связь с теорией надежности технических систем. Теория надежности, описывающая на языке теории вероятностей отказы технических систем, имеет хорошо развитый понятийный математический аппарат и получила широкое применение на практике (в том числе в транспортной отрасли). ЧП в социально-экономических системах аналогичны отказам технических систем. В теории надежности поведение системы во времени, связанное с возникновением отказов и восстановлением системы в нормальном состоянии, описывается уравнениями Колмогорова [3]:

$$\frac{dP_i(t)}{dt} = \lambda_i P_0(t) - \mu_i P_i(t), \quad (27)$$

где $P_i(t)$ — вероятность обнаружения системы в i -м состоянии в момент t ; значение $i = 0$ и вероятность $P_0(t)$ соответствуют нормальному (исправному) состоянию системы; значения $i = \overline{1, M}$ соответствуют отказу i -го типа; λ_i — интенсивность i -го отказа; μ_i — интенсивность восстановления системы в нормальное состояние после отказа i -го типа. В общем случае λ_i и μ_i — функции времени. В системе уравнений (27) индекс i принимает значения $i = \overline{1, M}$, а вероятности удовлетворяют условию нормировки:

$$P_0(t) + \sum_{i=1}^M P_i(t) = 1. \quad (28)$$

Если $\mu_i \neq 0$, то система называется восстанавливаемой после отказа i -го типа. Если $\mu_i = 0$, $\forall i$, то система называется невосстанавливаемой.

Интенсивность отказов определяется как предел [3]:

$$\lambda_i(t) = \lim_{N_0(t) \rightarrow \infty} \frac{dn_i(t)}{N_0(t)dt}, \quad (29)$$

где $N_0(t)$ — количество объектов, находящихся в исправном состоянии

на момент t с учетом процесса восстановления; $dn_i(t)$ — количество объектов из числа $N_0(t)$, претерпевших отказ i -го типа на бесконечно малом промежутке времени $[t, t + dt]$.

Предел

$$dp_i(t, t + dt) = \lim_{N_0(t) \rightarrow \infty} \frac{dn_i(t)}{N_0(t)} \quad (30)$$

представляет собой дифференциальную вероятность i -го отказа на промежутке времени $[t, t + dt]$, поэтому выражение (29) можно записать в виде

$$\lambda_i(t) = \frac{dp_i(t, t + dt)}{dt}. \quad (31)$$

Из сравнения формулы (31) с выражением для риска r_i следует, что если под i -м отказом понимать ЧП i -го типа, то интенсивности отказов и дифференциальные риски совпадают, то есть $\lambda_i = r_i$, $\forall i$. Другими словами, риск и интенсивность отказов — одна и та же величина, используемая в теории надежности и теории рисков под различным названием.

Следовательно, методика определения рисков ЧП может быть использована в теории надежности для аналитического определения интенсивностей отказов, а уравнения Колмогорова (при известных значениях μ_i) — для определения вероятностей обнаружения системы в нормальном состоянии или в состоянии ЧП i -го типа. Очевидно, что величины, введенные в теории надежности, могут применяться в теории рисков.

Одной из основных величин в теории надежности [3] является вероятность $p(t)$ безотказной работы объекта на промежутке времени $[0, t]$:

$$\begin{aligned} p(t) &= \lim_{N_0 \rightarrow \infty} \frac{N(t)}{N_0} \\ &= 1 - \lim_{N_0 \rightarrow \infty} \frac{n(t)}{N_0} = 1 - q(t). \end{aligned} \quad (32)$$

Здесь $N(t)$ — количество объектов, которые оставались исправными на промежутке времени $[0, t]$; $N_0 = N(0) = N_0(0)$; $n(t)$ — количество объектов, испытавших один отказ (для восстанавливаемых объектов — несколько отказов любого типа) на промежутке времени $[0, t]$; $N_0 = N(t) + n(t)$;

$$q(t) = \lim_{N_0 \rightarrow \infty} \frac{n(t)}{N_0} \quad (33)$$

— вероятность отказа объекта (системы) на промежутке времени $[0, t]$. Для невосстанавливаемых объектов $N(t) = N_0(t)$.

Пользуясь определением (32), для логарифмической производной вероятности $p(t)$ получим следующее выражение:

$$\begin{aligned} \frac{1}{p(t)} \frac{dp(t)}{dt} &= \frac{d \ln p(t)}{dt} = \\ &= \lim_{N_0 \rightarrow \infty} \frac{dN(t)}{\frac{N(t)}{N_0} N_0 dt} = \\ &= \lim_{N_0 \rightarrow \infty} \frac{dN(t)}{N(t) dt}. \end{aligned} \quad (34)$$

Из-за отказов величина $N(t)$ может лишь уменьшаться, поэтому при $dt > 0$ всегда $dN(t) \leq 0$. Изменение $dN(t)$, взятое с обратным знаком, представляет собой число отказов, произошедших на отрезке времени $[t, t + dt]$ с объектами, которые на промежутке времени $[0, t]$ оставались исправными. Таким образом, правая часть формулы (34), взятая со знаком «минус», имеет смысл скорости отказа исходных объектов (или вероятности отказа в единицу времени), как и величина интенсивности отказов.

Если исходные и восстановленные объекты идентичны, то скорость отказа исходных $N(t)$ объектов совпадает со скоростью отказа $N_0(t)$ объектов, находящихся на момент t в ис-

правном состоянии с учетом процесса восстановления, то есть $\frac{dN(t)}{N(t)} =$

$$= \frac{dN_0(t)}{N_0(t)}. \text{ Количество отказов любого}$$

типа на промежутке времени $[t, t + dt]$ среди $N_0(t)$ объектов, записываемое со знаком «минус» в виде $-dN_0(t)$, равно сумме $\sum_i dn_i(t)$, поэтому (см. формулы (29) и (34))

$$\begin{aligned} -\frac{1}{p(t)} \frac{dp(t)}{dt} &= \lim_{N_0 \rightarrow \infty} \frac{\sum_i dn_i(t)}{N_0(t) dt} = \\ &= \sum_i \lambda_i(t) = \lambda(t), \end{aligned} \quad (35)$$

где $\lambda(t)$ — общая интенсивность отказов. Выражение (35) при известных величинах $\lambda_i(t)$ является дифференциальным уравнением относительно функции $p(t)$. Решение уравнения (35) при условии $p(0) = 1$ имеет вид

$$p(t) = e^{-H(t)}, \quad (36)$$

где

$$\begin{aligned} H(t) &= \int_0^t \lambda(u) du = \sum_i H_i(t) = \\ &= \sum_i \int_0^t \lambda_i(u) du \end{aligned} \quad (37)$$

— функция риска (в теории надежности [3]); $H_i(t)$ — функция риска для отказа i -го типа.

В теории рисков (после замены в предыдущих выражениях $\lambda_i(t)$ на $r_i(t)$) функцию $p(t)$ следует интерпретировать как вероятность функционирования системы на временном интервале $[0, t]$ без возникновения ЧП, функцию риска $H_i(t)$ — как интегральную вероятность ЧП i -го типа.

Если время восстановления системы в нормальное состояние пренебрежимо мало по сравнению со средним временем между отказами, то есть если $\mu_i \gg \lambda_i$, то интенсивность отказов λ_i совпадает со средним количеством отказов, приходящихся на один восстанавливаемый объект

в единицу времени [3] (см. формулу (29), в которой при условии $\mu_i \gg \lambda_i$ можно считать, что все объекты находятся в исправном состоянии, то есть $N_0(t) = N_0 = \text{const}$). Таким образом, риск $r_i(t)$ при $\mu_i \gg r_i$ представляет собой среднее количество ЧП i -го типа в восстанавливаемой системе в единицу времени, величина $T_i = \frac{1}{r_i}$

есть среднее время между ЧП i -го типа, а функция риска $H_i(t)$ имеет смысл количества ЧП на отрезке $[0, t]$. Значение T_i служит основой для определения интервала времени между профилактическими мероприятиями по недопущению ЧП i -го типа.

Таким образом, изложенная методика позволяет определить риски ЧП

с учетом различных последовательностей событий, ведущих к ЧП данного типа, классифицировать причины ЧП по важности вероятных экономических последствий, а также оптимизировать распределение денежных средств на финансирование мероприятий по снижению рисков ЧП.

На основе методики могут быть созданы информационные технологии, позволяющие в автоматизированном режиме рассчитывать риски, экономический ущерб, проводить анализ полученных результатов, формировать предполагаемые управленческие решения (в том числе — финансовые) по снижению рисков ЧП. ■

Литература

1. Справочник по математике для научных работников и инженеров: определения, теоремы, формулы / Г. Корн, Т. Корн. — СПб : Лань, 2003. ISBN 5–8114–0485–9.
2. Нестеров В. Л., Радченко В. И., Русакова Е. А. Количественные показатели качества подготовки специалистов железных дорог // Транспорт Урала. 2009. № 1. С. 18–20. ISSN 1815–9400.
3. Сачков Н. Г., Русакова Е. А., Паршин А. В. Основы эксплуатационного обслуживания информационных систем железнодорожного транспорта. — М. : Маршрут, 2005. ISBN 5–89035–186–9.

Статья сдана в редакцию 23. 10. 2009 г.

С. В. Сизый, В. К. Фомин

Оценки экономической привлекательности предприятий с использованием линейных форм

Общая задача формирования, изучения и анализа организационных структур как мультиоператорных сетей поставлена и актуализирована в работе [1]. В практической и исследовательской работе при анализе организационных сетей чрезвычайно важна задача оценки качества и привлекательности узлов сети — субъектов экономической деятельности. При формировании сетей, установлении экономических, организационно-правовых и партнерских отношений между узлами-предприятиями сети постоянно требуется оценивать состоятельность и привлекательность предприятий для объективного выбора партнеров по экономическому взаимодействию и определению способов его ведения [2, 3].

В настоящей работе рассматриваются теоретические аспекты и практические методы проведения оценок предприятий.

Общая постановка задачи. В практической деятельности часто необходимо оценить и сравнить группы однопотребительных предприятий P_1, P_2, \dots, P_n , производящих продукцию или оказывающих услуги фиксированного типа l , в которых нуждается крупная компания (например, ОАО «РЖД»). На основании экономических, организационно-правовых, статистических и других показате-

лей предприятий P_1, P_2, \dots, P_n требуется произвести их оценку и ранжирование по степени привлекательности и приемлемости для экономического взаимодействия. Во многих случаях эти оценки формируются с помощью линейных форм вида [4, 5]:

$$\Phi = \alpha_1 x_1 + \alpha_2 x_2 + \dots + \alpha_n x_n,$$

где $\alpha_1, \alpha_2, \dots, \alpha_n$ — некоторые весовые коэффициенты, причем $\alpha_i \geq 0$ для всех $i = 1, \dots, n$, а x_1, x_2, \dots, x_n — переменные.

Переменными x_1, x_2, \dots, x_n в оценочной форме Φ являются: фондоотдача предприятия, стоимость основных фондов, уровень рентабельности, стоимость единицы продукции, доля заемных средств в обороте предприятия P_i , степень износа основных производственных фондов, номенклатура продукции P_i , оборачиваемость оборотных средств и т. д.

Поскольку линейная форма Φ положительно определена и все ее слагаемые независимы друг от друга, а значение формы должно быть тем больше, чем лучше оцениваемое предприятие P_i , то каждое слагаемое формы при улучшении показателя должно монотонно возрастать. Поэтому при проведении оценок на основании традиционных показателей хозяйственной деятельности, в некоторых

Сведения об авторах: **Сизый Сергей Викторович** — канд. физ.-мат. наук, доцент Уральского государственного университета им. А. М. Горького. E-mail: sergey.siziy@r66.ru.

Фомин Валерий Константинович — первый заместитель начальника Свердловской железной дороги — филиала ОАО «Российские железные дороги». Тел.: 358–44–01.

случаях в качестве значений переменных x_1, x_2, \dots, x_n в оценочной форме Φ следует применять не сами показатели, а некоторые подходящие функции от них. Простейший пример: цена единицы продукции C_i предприятия P_i . Очевидно, что чем меньше C_i , тем лучше для покупателя, поэтому разумно положить $x_i = \frac{1}{C_i}$, то есть в качестве соответствующей переменной взять величину, обратную цене единицы продукции.

Менее тривиальный пример представляет уровень рентабельности R_i . Совершенно очевидно, что при рассмотрении уровня рентабельности предприятия мы имеем дело с двумя противостоящими факторами. С одной стороны, совершенно очевидно, что крайне низкий уровень рентабельности весьма негативно характеризует хозяйствующий субъект. С другой, неоправданно высокий ее уровень может служить сигналом о завышенной цене продукции, некорректном ведении бизнеса и т. п. Это означает, что априори существует некоторое оптимальное значение $\delta_{\text{опт}}$ уровня рентабельности для группы предприятий P_1, P_2, \dots, P_k рассматриваемого профиля, отклонение от которого в ту или другую сторону потребителю, оценивая конкретное предприятие P_i , воспринимает негативно. Разумеется, оптимальное значение $\delta_{\text{опт}}$ уровня рентабельности для разных отраслей может быть различным.

Влияние отклонения $|R - \delta_{\text{опт}}|$ уровня рентабельности R от своего оптимального значения $\delta_{\text{опт}}$ предлагаем учитывать с помощью вспомогательных функций $f_\mu(x)$, графики которых изображены на рис. 1. Видно, что $f(x) > 0$ и эти функции принимают максимальное значение $f = 1$ при $x = \delta_{\text{опт}}$, а при остальных значениях своего аргумента x выполняется $f(x) < f(\delta_{\text{опт}})$, причем значение функции $f(x)$ тем

меньше, чем дальше аргумент x от оптимального значения $\delta_{\text{опт}}$.

В качестве таких конкретных вспомогательных функций можно использовать [5] функции вида

$$f_\mu(x) = \frac{1}{1 + \mu(x - \delta_{\text{опт}})^2}.$$

Здесь через μ обозначен параметр, характеризующий чувствительность итогового значения функции $f_\mu(x)$ к размеру негативного отклонения $|x - \delta_{\text{опт}}|$ аргумента от оптимального значения $\delta_{\text{опт}}$ уровня рентабельности. Величина μ характеризует скорость опускания графика-горки по обе стороны от своего максимального значения, то есть чем больше μ , тем более негативным полагается влияние отклонения от своего оптимального значения при проведении оценки предприятий.

Коэффициенты линейной оценочной формы. С математической точки зрения, весовые коэффициенты $\alpha_1, \alpha_2, \dots, \alpha_n$ линейной формы Φ образуют вектор $\vec{N} = (\alpha_1, \alpha_2, \dots, \alpha_n)$, нормальный к гиперплоскости $\Phi = \text{const}$ и указывающий направление скорейшего возрастания функции $\Phi(x_1, \dots, x_n)$, по сути — «направление» оценки предприятия P_i [6]. Для неотрицательности итоговой оценки коэффициенты α_i линейной формы Φ считаются неотрицательными.

Весовые коэффициенты линейной формы Φ выполняют три основных функции.

Первая — уравнивание размерностей суммируемых слагаемых. Размерности коэффициентов α_i подбираются таким образом, чтобы они уравнивали размерности слагаемых формы так, чтобы в итоге получить безразмерную величину — оценку предприятия P_i . Указанное требование выполняется автоматически, если коэффициенту α_i приписывается размерность, обратная к размерности

соответствующего оценочного параметра x_i , что влечет безразмерность слагаемого $\alpha_i x_i$ в линейной форме Φ .

Вторая функция коэффициентов линейной формы Φ — придание учитываемым экономическим показателям соответствующих весов. Величины коэффициентов α_i отражают значимость (вес) фактора в оценке привлекательности предприятия P_i . Значения коэффициентов α_i могут (и должны) зависеть от требуемого направления оценки предприятия P_i . Это означает, что в конкретных производственных ситуациях следует придавать, в соответствии со своими интересами, разную значимость тем или иным учитываемым факторам, то есть придавать весовым коэффициентам α_i разные значения. Очевидно, что для реализации второй функции весовых коэффициентов (придания большего или меньшего веса тому или иному оценочному параметру) необходимо применение различного рода экспертных оценок, практического опыта, директивного воздействия и т. п. Реализация второй функции опирается, в конечном счете, на человеческий фактор.

Третья функция весовых коэффициентов линейной формы — нормировочная. Она заключается в том, чтобы уравнивать порядки суммируемых величин — произведений $\alpha_i x_i$. Совершенно ясно, что значения коэффициентов α_i должны быть подобраны таким образом, чтобы все слагаемые оказались величинами одного порядка. Это необходимо для того, чтобы при вычислении значения Φ не пришлось суммировать значительно отличающиеся величины. Например, объем основных фондов предприятия может исчисляться миллиардами рублей, а рентабельность — несколькими процентами. Суммирование столь разных по порядку величин приведет к потере значимости фактора рентабельности.

Таким образом, при оценке предприятия с помощью линейной формы принципиальным является вопрос, как определять (назначать) соответствующие весовые коэффициенты.

Задача строгого и объективного определения значений весовых коэффициентов α_i — актуальная научная проблема. Разработок общего подхода и методологических исследований в этом направлении не велось.

Необоснованное назначение весовых коэффициентов $\alpha_1, \alpha_2, \dots, \alpha_n$ оценочной формы Φ , проведенное, например, экспертами крупной компании даже из весьма разумных (на первый взгляд) соображений, может привести к неправильным итоговым оценкам. Рассмотрим следующий негативный пример.

Пусть в конкурсе на поставку некоторого вида продукции участвуют два предприятия P_1 и P_2 . Предположим, для простоты, что оценка и ранжирование этих предприятий производится всего по двум экономическим показателям: x_1 и x_2 (таблица 1).

Таблица 1

Показатели предприятий P_1 и P_2

Показатель	P_1	P_2	α_i
x_1	$x_1^{(1)} = 100$	$x_1^{(2)} = 70$	$\alpha_1 = \frac{1}{70}$
x_2	$x_2^{(1)} = 10$	$x_2^{(2)} = 20$	$\alpha_2 = \frac{1}{40}$

Линейная оценочная форма в этом случае имеет вид $\Phi = \alpha_1 x_1 + \alpha_2 x_2$.

Эксперты считают показатели x_1 и x_2 равнозначными и для реализации условия нормировки (уравнивания порядков складываемых величин в линейной форме Φ) назначают весовые коэффициенты α_1 и α_2 равными обратным величинам к минимальным значениям соответствующих экономических показателей

$\alpha_i = \frac{1}{\min\{x_i^{(1)}, x_i^{(2)}\}}$, полагая, что тогда произведения $\alpha_1 x_1$ и $\alpha_2 x_2$ окажутся величинами одного порядка (и это действительно так). Соответствующие значения весовых коэффициентов (α_1 и α_2) указаны в таблице 1.

Логика экспертов здесь очевидна. Значения экономического показателя x_i у любого предприятия отрасли не могут быть ниже наихудшего значения по отрасли. Следовательно, в оценочной форме Φ , слагаемое $\alpha_i x_i$ у предприятия с наихудшим показателем x_i будет равно единице. У остальных предприятий отрасли, имеющих более высокий показатель x_i , слагаемое $\alpha_i x_i$ окажется выше единицы, но вряд ли превзойдет единицу на несколько порядков. Для этого у предприятия отрасли значение показателя x_i должно быть резко выше, чем у остальных предприятий. Это противоречит имеющимся исходным данным, практическому опыту, да и весьма маловероятно для группы однопрофильных предприятий. В результате такого назначения весовых коэффициентов α_1 и α_2 , значения слагаемых $\alpha_1 x_1$ и $\alpha_2 x_2$ в оценочной форме Φ у всех предприятий отрасли будут близки к единице, что соответствует мнению экспертов о равнозначности экономических показателей x_1 и x_2 .

Вычислим значения линейной оценочной формы Φ для конкурирующих предприятий P_1 и P_2 и произведем их ранжирование:

$$\Phi_1 = \frac{1}{70} \cdot 100 + \frac{1}{10} \cdot 10 = 2,4;$$

$$\Phi_2 = \frac{1}{70} \cdot 70 + \frac{1}{10} \cdot 20 = 3.$$

Видно, что $\Phi_2 > \Phi_1$, то есть предприятие P_2 предпочтительнее для сотрудничества и заключения договора на поставку продукции.

Предположим, что наряду с предприятиями P_1 и P_2 заявку на участие в конкурсе подает и предприятие P_3 , экономические показатели которого представлены в таблице 2.

В соответствии со своими соображениями, эксперты назначают новые весовые коэффициенты α_1 и α_2 , поскольку у третьего предприятия P_3 значения экономического показателя x_1 хуже, чем у предприятий P_1 и P_2 . Вычислим значения линейной оценочной формы Φ для конкурирующих предприятий P_1 , P_2 и P_3 и произведем их ранжирование:

$$\Phi_1 = \frac{1}{10} \cdot 100 + \frac{1}{10} \cdot 10 = 11;$$

$$\Phi_2 = \frac{1}{10} \cdot 70 + \frac{1}{10} \cdot 20 = 9;$$

$$\Phi_3 = \frac{1}{10} \cdot 10 + \frac{1}{10} \cdot 10 = 2.$$

Итак $\Phi_1 > \Phi_2 > \Phi_3$. При этом предприятия P_1 и P_2 поменялись местами в порядке предпочтительности для сотрудничества, хотя их экономические показатели, разумеется, никак

Таблица 2

Показатели предприятий P_1, P_2, P_3

Показатель	P_1	P_2	P_3	α_i
x_1	$x_1^{(1)} = 100$	$x_1^{(2)} = 70$	$x_1^{(3)} = 10$	$\alpha_1 = \frac{1}{10}$
x_2	$x_2^{(1)} = 10$	$x_2^{(2)} = 20$	$x_2^{(3)} = 10$	$\alpha_2 = \frac{1}{10}$

не изменились при появлении третьего предприятия P_3 .

Из приведенного примера следует, что вышеизложенные, хоть и достаточно разумные, соображения, которыми руководствовались эксперты, могут привести к негативным последствиям. Появление в конкурсе третьего предприятия с заведомо низкими экономическими показателями может изменить для потребителя порядок предпочтения среди предприятий с высокими показателями.

Очевидно, что при такой необоснованной методике ведения оценок открывается путь к различным спекулятивным действиям и махинациям. Предприятию P_1 — гарантированному аутсайдеру, чтобы выиграть тендер на поставку продукции совсем не обязательно улучшать свои экономические показатели, а достаточно выдвинуть на конкурс (возможно, даже фиктивное) предприятие P_3 с заведомо низкими экономическими показателями. А это, как мы видели в приведенном примере, может привести к изменению порядка предпочтения в верхней части ранжированного списка.

Итак, мы показали, сколь опасным может быть необоснованное определение коэффициентов линейных оценочных форм. С точки зрения инте-

ресов компании, задача правильного определения весовых коэффициентов оценочной линейной формы чрезвычайно важна, поскольку необоснованное назначение весовых коэффициентов, исходящее только из эвристических или директивных соображений, может привести к негативным последствиям, неправильным итоговым оценкам и, в итоге, неудачному выбору экономического партнера.

Описание метода формирования оценки и ранжирования предприятий. Мы предлагаем иной подход определения весовых коэффициентов и вычисления значений линейной оценочной формы для группы однопрофильных предприятий.

Пусть имеется группа из k однопрофильных предприятий P_1, P_2, \dots, P_k , которые требуется оценить и ранжировать на основании n показателей x_1, x_2, \dots, x_n . Предположим, что эксперты по-прежнему считают экономические показатели x_1, x_2, \dots, x_n равноценными. Исходная информация по предприятиям P_1, P_2, \dots, P_k представлена в таблице 3.

Прежде всего, значения весовых коэффициентов $\alpha_1, \alpha_2, \dots, \alpha_n$ оценочной линейной формы $\Phi = \alpha_1 x_1 + \alpha_2 x_2 + \dots + \alpha_n x_n$ предлагается определять на основании максимального (наилучшего) значения данного показателя

Таблица 3

Показатели предприятий P_1, P_2, \dots, P_k

Показатель	P_1	P_2	...	P_k	α_i
x_1	$x_1^{(1)}$	$x_1^{(2)}$...	$x_1^{(k)}$	$\alpha_1 = \frac{1}{\max_j \{x_1^{(j)}\}}$
x_2	$x_2^{(1)}$	$x_2^{(2)}$...	$x_2^{(k)}$	$\alpha_2 = \frac{1}{\max_j \{x_2^{(j)}\}}$
\vdots	\vdots	\vdots	\vdots	\vdots	\vdots
x_n	$x_n^{(1)}$	$x_n^{(2)}$...	$x_n^{(k)}$	$\alpha_n = \frac{1}{\max_j \{x_n^{(j)}\}}$

среди всех предприятий P_1, P_1, \dots, P_k . Для коэффициента α_i выберем максимальное значение соответствующего экономического показателя x_i среди всех предприятий P_1, P_1, \dots, P_k , то есть максимальное число в i -й строке таблицы 3, и положим:

$$\alpha_i = \frac{1}{\max_j \{x_i^{(j)}\}}.$$

Такое определение значений весовых коэффициентов $\alpha_1, \alpha_2, \dots, \alpha_n$ по-прежнему решает задачу уравнивания порядков величин слагаемых линейной формы $\Phi = \alpha_1 x_1 + \alpha_2 x_2 + \dots + \alpha_n x_n$. В отличие от рассмотренного примера, слагаемое $\alpha_i x_i$ у предприятия с наилучшим (максимальным) значением показателя x_i окажется равным единице, а у остальных предприятий, с меньшим значением показателя x_i , оно будет положительным, но строго меньше единицы.

Таким образом, все слагаемые линейной формы $\Phi = \alpha_1 x_1 + \alpha_2 x_2 + \dots + \alpha_n x_n$ для каждого из предприятий P_1, P_1, \dots, P_k окажутся равными по порядку и заключенными в интервале $(0, 1]$. Другими словами, будут выполнены неравенства $0 < \alpha_i x_i^{(j)} \leq 1$ при всех $i = 1, 2, \dots, n$; $j = 1, 2, \dots, k$. Следовательно, предложенный метод решает задачу нормировки слагаемых оценочной формы. Это соответствует мнению экспертов о равнозначности учитываемых факторов x_1, x_2, \dots, x_n .

Определение весовых коэффициентов на основании максимальных значений показателей исключает и спекулятивные действия, связанные с появлением в конкурсе предприятий (возможно, фиктивных) с заведомо низкими показателями. При таком подходе добавление предприятия с низкими показателями не повлияет на весовые коэффициенты $\alpha_1, \alpha_2, \dots, \alpha_n$, определяемые по максимальным значениям. Добавление к предприни-

ям исходной группы P_1, \dots, P_k «плохого» предприятия не изменяет значения оценочной формы Φ_i , и такое предприятие займет в ранжированном списке подобающее ему место.

При определении весовых коэффициентов $\alpha_1, \alpha_2, \dots, \alpha_n$ на основании максимальных значений показателей порядок предприятий в ранжированном списке может изменить участие (присоединение) в конкурсе некоторого предприятия P^* с заведомо высокими показателями (превосходящими показатели исходной группы P_1, P_2, \dots, P_k). В этом случае значения весовых коэффициентов $\alpha_1, \alpha_2, \dots, \alpha_n$ изменятся, поскольку максимальные значения показателей x_1, x_2, \dots, x_n в расширенной группе претендентов $\{P_1, P_2, \dots, P_k, P^*\}$ окажутся выше, чем в исходной группе P_1, P_2, \dots, P_k за счет появления «хорошего» предприятия P^* .

В случае добавления «хорошего» предприятия P^* ранг предприятий может измениться лишь в нижней части ранжированного списка; поменяться местами могут лишь предприятия-аутсайдеры. Добавленное же «хорошее» предприятие P^* всегда будет занимать первое место.

С практической точки зрения, возможное изменение порядка в ранжированном списке предприятий P_1, P_2, \dots, P_k за счет появления «хорошего» предприятия P^* — нового игрока на рынке — соответствует экономическим реалиям. Передовое в своей отрасли предприятие P^* возникает как хозяйствующий субъект в результате конкретных действий — пуска нового завода, коренной модернизации производства, оснащенной современным оборудованием, внедрения новых технологий и т. п. Совершенно очевидно, что такие действия изменяют стандарты в отрасли, повышают критерии качества самих предприятий и выпускаемой ими продукции.

Предложенная методика направлена именно на повышение стандартов взаимоотношений с хозяйствующими субъектами. Повышение стандартов уменьшает значения весовых коэффициентов $\alpha_1, \alpha_2, \dots, \alpha_n$, что, в свою очередь, соответствует предъявлению более жестких требований к экономическим показателям x_1, x_2, \dots, x_n оцениваемых предприятий P_1, P_1, \dots, P_k .

Вычисление абсолютных оценок предприятий. Предложенная нами методика определения весовых коэффициентов $\alpha_1, \alpha_2, \dots, \alpha_n$ оценочной линейной формы Φ на основании максимальных значений показателей рассматриваемых предприятий P_1, P_1, \dots, P_k дает возможность получить абсолютные оценки качества этих предприятий.

Идея получения таких оценок заключается в следующем. Прежде всего, модифицируем исходную оценочную форму Φ , разделив ее на количество слагаемых n :

$$\begin{aligned}\Phi &= \frac{1}{n}(\alpha_1 x_1 + \alpha_2 x_2 + \dots + \alpha_n x_n) = \\ &= \frac{\alpha_1 x_1}{n} + \frac{\alpha_2 x_2}{n} + \dots + \frac{\alpha_n x_n}{n}.\end{aligned}$$

Каждое слагаемое этой формы есть величина, принимающая значения от нуля до $\frac{1}{n}$, так как слагаемые $\alpha_i x_i$, в силу определения весовых коэффициентов α_i по максимальным значениям экономических показателей, являются величинами, лежащими в промежутке $(0; 1]$. Ясно, что значения оценок предприятий P_1, P_2, \dots, P_k , вычисленные по новой нормированной оценочной форме Φ , лежат в промежутке $(0; 1]$.

Сформируем абстрактное идеальное предприятие $P^{(*)}$, соответствующее предприятиям $\{P_1, P_1, \dots, P_k\}$, присвоив ему максимальные среди предприятий $\{P_1, P_1, \dots, P_k\}$ показатели:

$$x_i^{(*)} = \max_{P_j} \{x_i^{(j)}\}.$$

Очевидно, что при таком определении экономических показателей, абстрактное предприятие $P^{(*)}$ с помощью нормированной оценочной формы Φ получит оценку, равную единице.

Введение в рассмотрение абстрактного предприятия $P^{(*)}$ по наилучшим значениям из существующих реальных экономических показателей (пусть даже взятых от разных предприятий) является естественным практическим способом установления идеальных стандартов в данной отрасли. Предприятие $P^{(*)}$ устанавливает ориентир, точку отсчета, по которой можно оценивать остальные предприятия $\{P_1, P_1, \dots, P_k\}$.

При получении абсолютной оценки идеального предприятия $P^{(*)}$ не нужны трудно определяемые оптимальные экономические параметры рассматриваемой отрасли (например, оптимальный уровень рентабельности $\delta_{\text{опт}}$). Это объясняется тем, что в линейной форме Φ в слагаемом рентабельности $\frac{\alpha_i x_i}{n}$ стоит вспомога-

тельная функция $x_i = f_{\mu}$, учитывающая лишь отклонение рентабельности R_i предприятия от оптимального уровня $\delta_{\text{опт}}$, а у идеального предприятия $P^{(*)}$ такое отклонение, разумеется, равно нулю. Уровень рентабельности $P^{(*)}$ оптимален по определению. Следовательно, соответствующее слагаемое $\frac{\alpha_i x_i}{n}$ в оценочной форме Φ для идеального предприятия $P^{(*)}$ максимально по определению — просто равно $\frac{1}{n}$.

Разумно считать абсолютной оценкой реального предприятия P_i долю (выраженную, например, в процентах) его оценки $\Phi^{(i)}$ от оценки $\Phi^{(*)}$ идеального предприятия $P^{(*)}$ (то есть от единицы, поскольку оценочная форма по определению нормирована):

$$\Phi_{\text{абс.}}^{(i)} = \frac{\Phi^{(i)}}{\Phi^{(*)}} \cdot 100\%.$$

Эта формула позволяет вычислить абсолютную оценку каждого предприятия $\{P_1, P_1, \dots, P_k\}$.

Когда ни одна из полученных абсолютных оценок не равна единице, это значит, что предприятие $P^{(*)}$ абстрактно — ни одно реально существующее предприятие не дает максимально возможных экономических показателей.

Продemonстрируем идею вычисления абсолютной оценки на следующем примере.

Пусть имеются два предприятия P_1 и P_2 , оценка которых производится по двум показателям x_1 и x_2 (таблица 4).

В четвертом столбце таблицы приведены показатели абстрактного идеального предприятия P^* , являющиеся максимальными значениями соответствующих показателей в целом по всем $\{P_1, P_2\}$. В пятом столбце таблицы приведены значения весовых коэффициентов оценочной линейной формы, определенные на основании максимальных значений показателей, то есть на основании показателей идеального предприятия P^* , определяющего стандарты предприятий.

Вычислим значения нормированной оценочной формы для предприятий $\{P_1, P_2\}$. Ясно, что идеальное

предприятие P^* получит оценку 1 (единица):

$$\Phi^{(*)} = \frac{1}{2} \left(\frac{1}{100} \cdot 100 + \frac{1}{20} \cdot 20 \right) = 1.$$

Вычислим абсолютную оценку для реальных предприятий $\{P_1, P_2\}$:

$$\Phi^{(1)} = \frac{1}{2} \left(\frac{1}{100} \cdot 100 + \frac{1}{20} \cdot 10 \right) = 0,75;$$

$$\Phi^{(2)} = \frac{1}{2} \left(\frac{1}{100} \cdot 70 + \frac{1}{20} \cdot 20 \right) = 0,85.$$

Таким образом, $\Phi^{(2)} > \Phi^{(1)}$ и в абсолютном смысле предпочтительнее. Второе предприятие — P_2 — на 85 % соответствует стандартам отрасли, а вот первое предприятие P_1 — лишь на 75 %. Реально же ни одно из рассматриваемых предприятий не соответствует принятым при их оценке стандартам. Итак, предложенная методика оценки предприятий линейными нормированными формами дает уникальную возможность оценить однопрофильные предприятия с учетом задаваемых стандартов взаимодействия.

Получаемые с помощью предложенной методики количественные показатели оценки предприятий являются абсолютными оценками привлекательности и могут быть использованы хозяйствующим субъектом для выстраивания соответствующих производственных взаимоотношений. ■

Таблица 4

Показатели предприятий P_1, P_2, P^*

Показатель	P_1	P_2	P^*	α_i
x_1	$x_1^{(1)} = 100$	$x_1^{(2)} = 70$	$x_1^{(*)} = 100$	$\alpha_1 = \frac{1}{100}$
x_2	$x_2^{(1)} = 10$	$x_2^{(2)} = 20$	$x_2^{(*)} = 20$	$\alpha_2 = \frac{1}{20}$

Литература

1. Сай В. М., Сизый С. В. Организационные структуры как мультиоператорные сети. Задачи прочности и устойчивости // Транспорт Урала, № 2, 2009. — С. 5–9. ISSN 1815–9400.
2. Сай В. М., Сизый С. В. Анализ выразительных возможностей методики формирования коэффициентов состоятельности регионов / В. М. Сай, С. В. Сизый, С. В. Шутюк // Транспорт: наука, техника, управление. — 2006. — № 11. — С. 7–12. ISSN 0236–4914.
3. Сай В. М., Шутюк С. В. Интегрированный коэффициент эффективности серии проектов при одновременном взаимодействии ОАО «РЖД» с рядом региональных хозяйствующих субъектов // Транспорт Урала. — 2005 — № 2 (5) С. 11–16. ISSN 1815–9400.
4. Сай В. М. Математическая модель согласования программ развития ОАО «РЖД» в регионе и субъекта РФ / С. В. Шутюк, В. М. Сай, Н. А. Афанасьева // Экономика железных дорог. — М. : — 2005. — № 12 — С. 23–32. ISSN 1727–6500.
5. Сай В. М., Фомин В. К. Моделирование системы взаимоотношений железной дороги с хозяйствующими субъектами // Транспорт Урала. — 2008. — № 4 (19). — С. 7–11. ISSN 1815–9400.
6. Фаддеев Д. К. Лекции по алгебре. — М. : Наука, 1984. — 416 с.

Статья сдана в редакцию 15. 11. 2009 г.

ОРГАНИЗАЦИЯ. ЛОГИСТИКА

И. П. Владимирская

Метод оптимизации подвода грузов потребителю

Рациональная организация взаимодействия производителей и получателей при случайном разбросе во времени доставки и ритме потребления требует специфических подходов. При детерминированных ритмах процесс взаимодействия можно рассчитать с помощью динамической транспортной задачи (ДТЗЗ) [1] или метода динамического согласования (МДС) [2]. Здесь надежный подвод грузов требует упреждающего отправления, а надежное потребление требует создания резервов.

Случайный разброс может присутствовать как во времени доставки, так и во времени потребления. Дополнительные затраты могут быть двух типов: а) затраты на дополнительное хранение грузов при раннем прибытии и б) ущерба от недопоставки при позднем (если склад не смог играть роль согласующего демпфера).

Для формирования задачи оптимизации в стохастической постановке необходимо сделать анализ взаимодействия отправителя и получателя в случайной среде.

Детерминированный спрос и случайное время доставки

Пусть время доставки $\tau_{ij}(t)$ поставки $u_{ij}(t)$ имеет случайный разброс (рис. 1), то есть в каждый момент отправления t оно будет

$$\tau_{ij} \pm \varphi_j(t),$$

где t_{ij} — нормативное значение; $\varphi_j(t)$ — случайная величина.

В этом случае, если время доставки $(\tau_{ij} - \varphi_j(t))$, то возникнет раннее прибытие и, соответственно, дополнительное хранение груза. Если же время $(\tau_{ij} + \varphi_j(t))$, то появляется эффект позднего прибытия и будет ущерб от недопоставки (в общем случае). Случайная величина $\varphi(t)$ имеет какое-то распределение. При этом, как правило, удельная стоимость хранения c_1 значительно меньше удельного ущерба от недопоставки c_2 . ДТЗЗ в стохастической постановке должна учитывать это.

Детерминированное время хода и случайный спрос

В этом случае эффекты аналогичны предыдущему примеру, хотя причины различны (рис. 2).

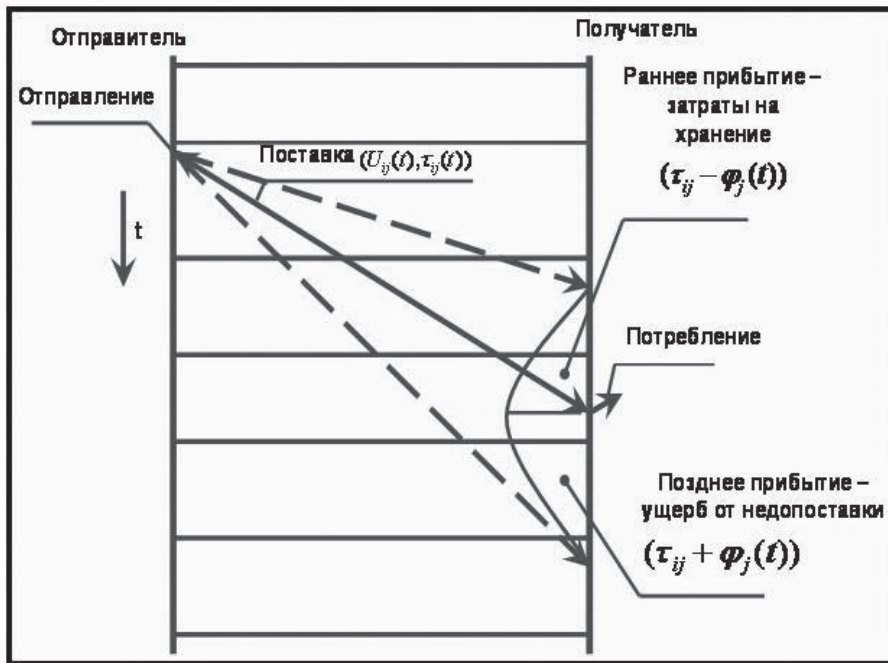


Рис. 1. Структура потерь при фиксированном спросе и случайном времени хода

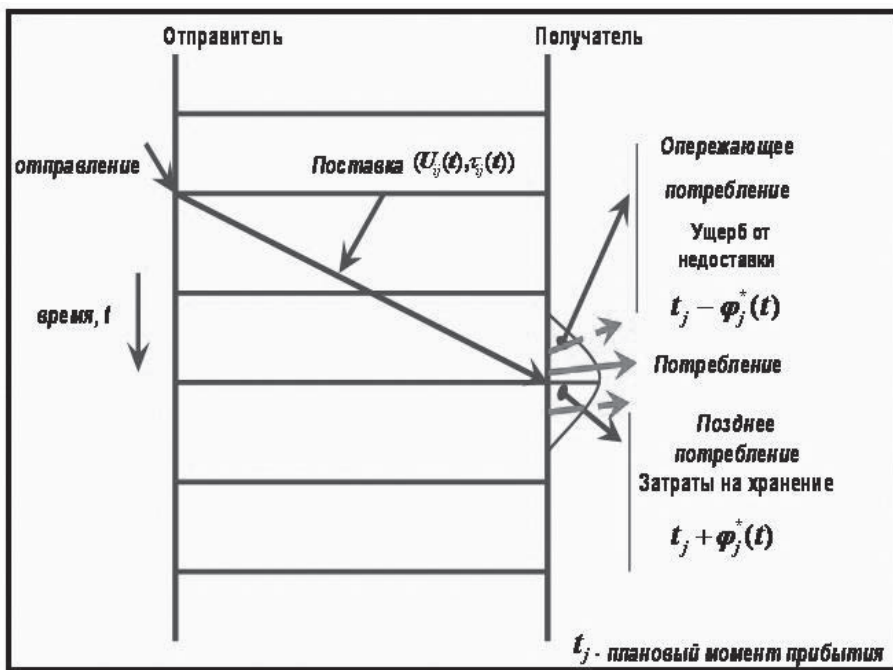


Рис. 2. Структура потерь при детерминированном времени доставки и случайном спросе

Отклонение времени потребления от планового $\varphi_j^*(t)$ имеет случайный характер. Случайная величина $\varphi_j^*(t)$ имеет некоторое распределение. При раннем потреблении ($t_j - \varphi_j^*(t)$) и плановом прибытии возникнет ущерб от недопоставки. При позднем потреблении ($t_j + \varphi_j^*(t)$) и плановом прибытии — затраты на дополнительное хранение.

Случайное время хода и случайное потребление

Здесь накладываются друг на друга два случайных процесса (рис. 3).

Поставка $u_{ij}(t)$ может придти с опережением — ($t_{ij} - \varphi_j(t)$) и с опозданием — ($t_{ij} + \varphi_j(t)$). В свою очередь, момент потребления может быть раньше планового — ($t_j - \varphi_j^*(t)$) и позже — ($t_j + \varphi_j^*(t)$). Случайные величины $\varphi_j(t)$ и $\varphi_j^*(t)$ имеют свои распределения. Для упрощения задачи в стохастической постановке желательно два случайных процесса свести к одному. Трудность, однако, возникает в том, что опережение во времени прибытия и опережение в потреблении приводят к разным последствиям. В первом случае возникают дополнительные затраты на хранение, а во втором — ущерб от недопоставки.

Но возможны различные сочетания.

Совпадающий характер отклонений

При раннем прибытии и раннем потреблении ущерба уменьшаются (рис. 4, а). Возможно даже полное совпадение, при котором дополнительные потери исчезают. Конечно, в зависимости от степени опережения в этих двух процессах возникнут либо дополнительные затраты на хранение, либо дополнительный ущерб от недопоставки.

Аналогичные эффекты возникают и при совпадающем отклонении — опоздании во времени прибытия и времени потребления (рис. 4, б).

Несовпадающий характер отклонений

При раннем прибытии ($t_{ij} - \varphi_j(t)$) и позднем потреблении ($t_j + \varphi_j^*(t)$) возникают большие затраты на хранение (рис. 5, а). Наоборот, при позднем прибытии ($t_{ij} + \varphi_j(t)$) и раннем потреблении ($t_j - \varphi_j^*(t)$) будет большой ущерб от недопоставки (рис. 5, б). Поэтому имеется определенная трудность в наложении этих двух случайных процессов.

Можно было бы перейти от величины $\varphi_j^*(t)$ к величине $(-\varphi_j^*(t))$. Тогда отклонение в одну и ту же сторону случайных величин $\varphi_j(t)$ и $(-\varphi_j^*(t))$ приводит к одному и тому же содержательному эффекту. При отклонении от момента планового потребления в сторону «раньше» — дополнительные затраты на хранение, в сторону «позже» — ущерб от недопоставки, то есть мы переходим к задаче с детерминированным временем доставки τ_{ij} и случайном разбросе во времени потребления $(t_j \pm \overline{\varphi_j(t)})$, где случайная величина $\overline{\varphi_j(t)}$ описывает комбинацию двух случайных процессов.

Стохастическую постановку ДТЗЗ сформулируем следующим образом: найти оптимальную по минимуму суммарных затрат на перемещение и простой динамическую структуру потоков с учетом ущерба от недопоставок при случайном разбросе в потреблении. Разброс во времени хода мы включили в разброс в потреблении. То есть функционал примет вид

$$J_1 + J_2 + J_3 + J_4 \rightarrow \min,$$

где j_1 — транспортные расходы;
 j_2 — затраты на хранение запасов;

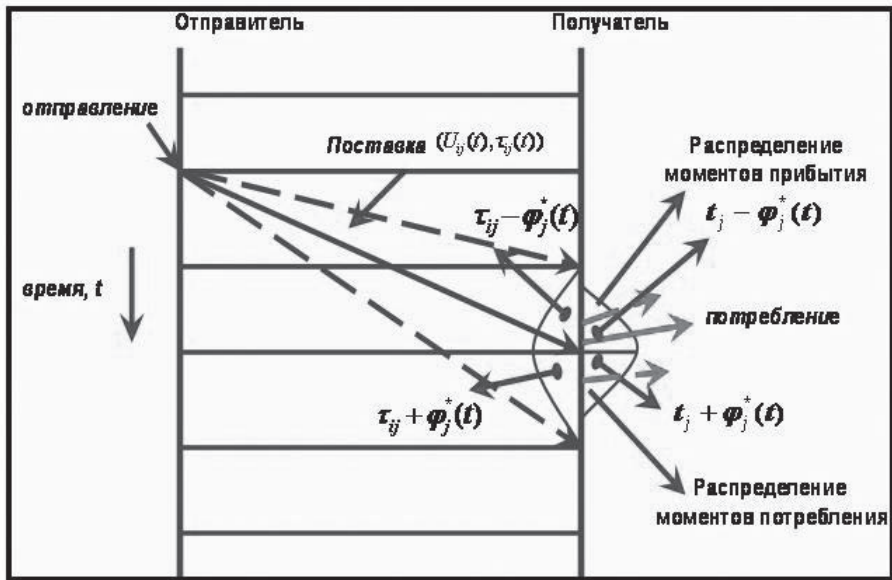


Рис. 3. Взаимодействие складов при случайном разбросе во времени доставки и времени потребления

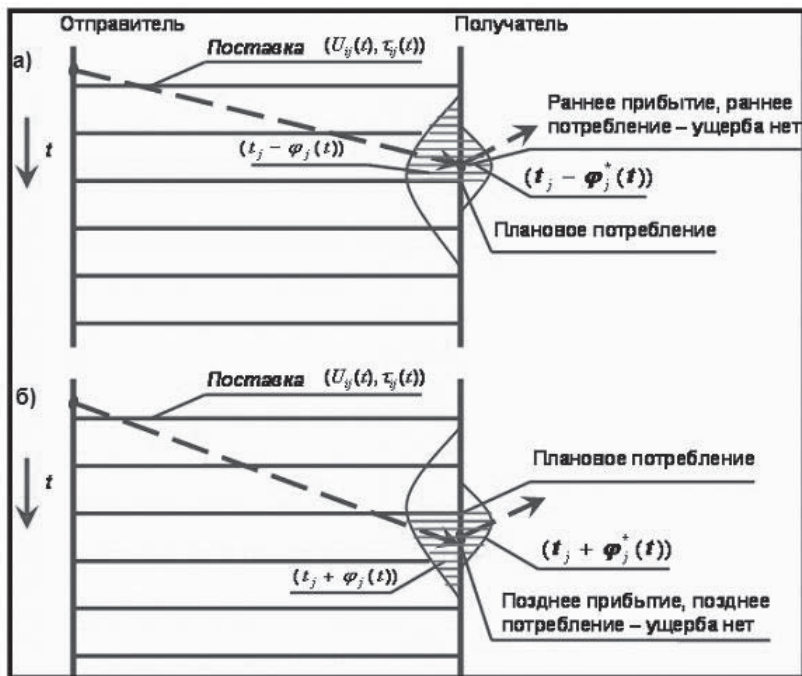


Рис. 4. Уменьшение потерь при совпадающем характере отклонения во времени прибытия (а) и потребления (б)

j_3 — затраты на хранение у потребителей; j_4 — ущербы от недопоставок.

Составляющие j_3 и j_4 зависят от вида и параметров закона распределения.

В качестве модели сформулируем динамическую транспортную задачу с учетом ущербов у потребителей (ДТЗЗ-П).

В этом случае функционал таков:

$$J = J_1 + J_2 + J_3 + J_4;$$

$J_1 = \sum_{t=0}^T \sum_{p_i, p_j \in P} c_{ij}(t) u_{ij}(t)$ — транспортные расходы;

$J_2 = \sum_{t=0}^T \sum_{p_i \in P} c_{ii}(t) u_{ii}(t)$ — затраты на хранение у отправителей;

$J_3 = \sum_{t=0}^T \sum_{p_j \in P} c_{jj}(t) u_{jj}(t)$ — затраты на хранение у потребителей;

$$J_4 = \sum_{t=0}^T \sum_{p_j \in P} c_j(t) \omega_j(t) \text{ — ущербы от}$$

недопоставок;

$\omega_j(t)$ — переменная, показывающая величину недопоставки у j -го потребителя в момент t .

Полная недопоставка получается суммированием по t . Поясним это на размноженной схеме (рис. 6).

Позднее прибытие приводит к задержке потребления — момент «потребление по плану» смещается к моменту «фактическое потребление». Однако в ДТЗЗ-П отражается это иначе. Задается переменная $\omega_j(t)$, которая направлена в обратном по отношению к времени t направлению. Она связывает моменты позднего прибытия поставки и потребления по плану. Поток $\omega_j(t)$ покажет величину недопоставки. Просуммировав по времени и умно-



Рис. 5. Увеличение потерь при несовпадающем характере отклонения во времени прибытия (а) и потребления (б)

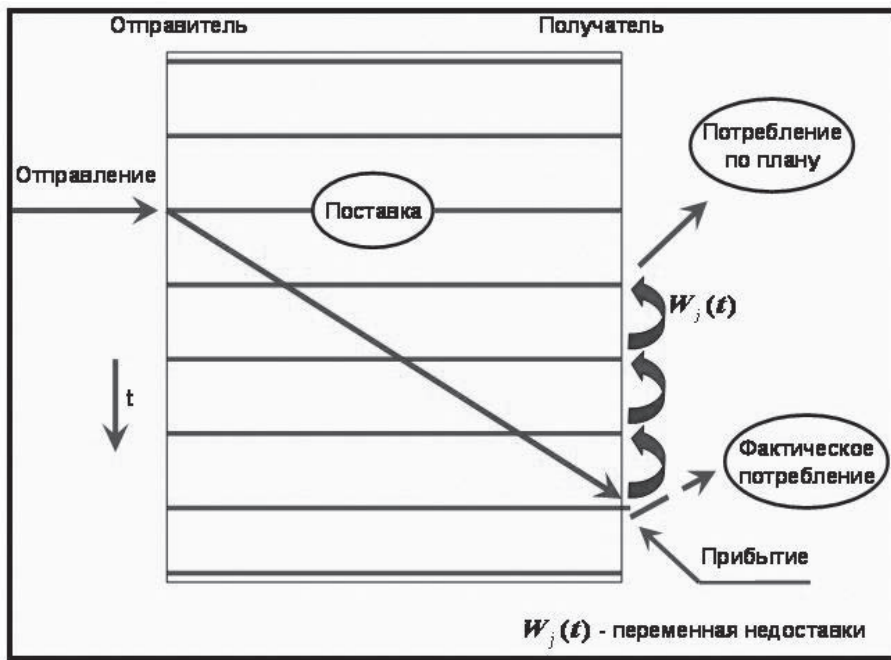


Рис. 6. Отражение в ДТЗЗ-П эффекта недовозки

жив на удельный ущерб от недопоставки $c_j(t)$, получим полный ущерб у j -го потребителя.

Таким образом, ДТЗЗ в стохастической постановке позволяет рас-

считать ритмы отправления поставок с тем, чтобы ущерб при наличии случайных колебаний во времени хода и ритмах потребления был минимальным. ■

Литература

1. Козлов П. А., Миловидов С. П. Динамическая транспортная задача с задержками в сетевой постановке. — М. : Изв. АН СССР. Техническая кибернетика. — 1982, № 1. — С. 211–212.
2. Козлов П. А., Миловидов С. П. Оптимизация структуры транспортных потоков в динамике при приоритете потребителей. — М. : Экономика и математические методы, 1982. — Т. XVIII; Вып. 3. — С. 521–531.

Статья сдана в редакцию 9. 09. 2009 г.

С. А. Плахотич

Пропускная способность двухпутных участков в условиях обращения грузовых поездов различной массы и длины

В условиях ограниченной пропускной способности эффективнее организовывать обращение поездов повышенной массы и длины (тяжеловесных, длинносоставных, соединенных и др.). Практика показала, что преобразовать весь поездопоток на каком-либо направлении в поток только из тяжеловесных или длинносоставных невозможно, так как в структуре любого поездопотока есть пассажирские, сборные, вывозные, порожние и другие поезда. Большое количество типов поездов обусловлено как различием длин приемоотправочных путей и мощности локомотивов, соединяемых по системе многих единиц, так и выполнением дорогами заданий по увеличению массы поездов. Грузовой поездопоток целесообразнее преобразовывать в потоки (группы) поездов с определенным диапазоном массы и длины. Такое преобразование зависит от количества грузовых поездов с диапазоном определенной массы и длины. Для упорядочения поездопотока и, в итоге, качественного повышения показателей поездной работы определяется поток поездов по каждой весовой категории, устанавливаются возможности формирования поездов повышенной массы и длины,

обеспечивающие высвобождение локомотивов и бригад, выделяются характерные группы поездов в отдельные потоки. Кроме того, определяются условия для снижения потерь в поездной работе по пропуску блокпоездов (многосоставный поезд с локомотивами в голове) за счет более рационального преобразования их из потоков одинарных поездов.

Разъясним некоторые термины, которые далее будут использованы в данной статье.

Процесс выделения тяжеловесных поездов из общего потока называется усечением, а полученный в результате этого оставшийся поток одинарных поездов — усеченным.

Чтобы поднять уровень использования мощности локомотивов и длин станционных путей в условиях обращения поездов различной весовой категории, из усеченного потока выделяют такую долю одинарных поездов, масса которых после увеличения их длины до стандарта ($l_{ст1} = 850$ м или $l_{ст2} = 1050$ м), не превышая максимально допустимой мощности локомотивов, будет больше значения установленной графиком движения нормы массы поезда Q_n или средней массы поезда из усеченного потока $Q_{ус}$. Доля таких поездов называется «потенциальной» (P_n).

Сведения об авторе: **Сергей Алексеевич Плахотич** — канд. техн. наук, доцент, заведующий кафедрой «Станции, узлы и грузовая работа» Уральского государственного университета путей сообщения. E-mail: SPlakhotitch@sugr.usurt.ru.

Размеры движения поездов рассчитываются на основе полученных значений долей поездов различной весовой категории в общем потоке. Расчетные размеры движения корректируются при составлении графиков движения для каждого участка. При этом графиковые размеры движения могут по отдельным категориям поездов отличаться от расчетных в меньшую сторону, что связано с техническими и технологическими возможностями станций и участков.

Количество поездов, выделенных в самостоятельное назначение как тяжеловесные, то есть превышающие по массе весовую норму, определяется

$$N_m = N_{гр.} \sum_{i=Q_n}^{i=Q_{max}} P_i = N_{гр.} P_{т}, \quad (1)$$

где $Q_{max} = kQ_n$; $N_{гр.}$ — исходные размеры движения грузовых поездов; k — кратность весовой нормы максимальному значению мощности локомотивов, $k = 1; 1,5; 2; 2,5; \dots$; $P_{т}$ — доля тяжеловесных поездов в исходном потоке с массой не меньше Q_n и не больше kQ_n .

Аналогично можно определить размеры движения тяжеловесных поездов из потока, полученного «усечением». Расчетное число таких поездов определяется

$$N_{т}^{ус.} = N_{гр.} P_{т}^{ус.}, \quad (2)$$

где $P_{т}^{ус.}$ — доля одинарных тяжеловесных поездов в общем потоке с массой, превышающей $Q_{ус.}$.

Число одинарных поездов повышенной массы и длины в исходном потоке, преобразованных из потенциальных деформированием их до установленного стандарта длины станционных путей, будет отличаться от числа самих потенциальных к преобразованию поездов. Определяющей величиной при этом является отношение средних значений массы потенциаль-

ных и полученных из них тяжеловесных поездов:

$$N_{п} = N_{гр.} \frac{Q_{сп.}^n}{Q_{сп.}^т} \sum_{i=Q_{min}^n}^{i=Q_{max}^n} P_{i_n} = N_{гр.} \Phi_{п} P_{п}, \quad (3)$$

где $Q_{сп.}^n$, $Q_{сп.}^т$ — соответственно среднее значение массы потенциальных к преобразованию и тяжеловесных после преобразования поездов, т; $P_{п}$ — доля поездов потенциальных к преобразованию в тяжеловесные в исходном потоке; $\Phi_{п}$ — отношение значений средней массы поездов потенциальных и тяжеловесных после преобразования.

После некоторого преобразования и ряда сокращений отношение $\Phi_{п}$ рассчитывается следующим образом:

$$\Phi_{п} = \frac{Q_{сп.}^n}{Q_{сп.}^т} = \frac{\sum_{i=m_{min}^n}^{i=m_{max}^n} m_{сп. i} l_{вар.} \frac{p'_{i_n}}{P'_{п}}}{l_{п}^n} = \frac{l_{сп.}^n}{l_{п}^n}, \quad (4)$$

где $l_{сп.}^n$ — средняя длина поезда потенциального к преобразованию в тяжеловесный, м; $l_{п}^n$ — длина одинарного поезда при формировании его до полного использования вместимости приемо-отправочного пути на станции формирования, м; p'_{i_n} , $P'_{п}$ — соответственно частоты и доли распределения тяжеловесных поездов после преобразования их из потенциального поездопотока.

В любом поездопотоке есть такие поезда, которые по ряду объективных причин нельзя объединять в многосоставные. К таким поездам, например, относятся сборные, людские, поезда, имеющие в своем составе вагоны с грузами любой степени негабаритности, транспортеры и вагоны, неисправные по техническим или коммерческим причинам и т. д. Число таких поездов по отдельным участкам достигает 8–10 % исходного потока, что не противоречит выводам в исследовании [1]:

$$N_{\Pi} = N_{\text{гр.}} P_{\Pi}, \quad (5)$$

где P_{Π} — доля грузовых поездов в исходном потоке, не подлежащих соединению в блок-поезда, 0,08–0,10.

Так как поездопоток преобразуется в блок-поезда после выделения тяжёловесных, потенциальных и не подлежащих соединению поездов в самостоятельные назначения, количество блок-поездов с определённым числом объединённых одинарных составов n_c (двойных, тройных и т.д.) определяется

$$N_{6-\Pi/n_c} = \left[\begin{matrix} N_{\text{гр.}}(1 - P_m - P_{\tau}^{\text{yc.}} - P_{\Pi} - \\ - P_{\Pi})P_{n_c} \prod_{n=2}^{n=n_c-1} (1 - P_n) \end{matrix} \right] \frac{1}{n_c}, \quad (6)$$

где P_{n_c} , n_c — доля и число объединяемых одинарных составов искомого типа блок-поезда соответственно; P_{Π} , n — соответственно доля и число объединённых составов n -го типа блок-поезда; $n < n_c$.

При условии $n_c = 2$ (двойные поезда):

$$\prod_{n=2}^{n=n_c-1} (1 - P_n) = \prod_{n=2}^{n=1} (1 - P_n) = 1. \quad (7)$$

В конечном виде число грузовых поездов различной весовой категории на участке после преобразования составит

$$N_{\text{гр.}}^{\text{пр.}} = N_{\text{гр.}} \left\{ \begin{matrix} P_m + P_{\tau}^{\text{yc.}} + \Phi_n P_n + P_{\Pi} + \\ + \sum_{n_c=2}^{n_c=n_{\text{доп.}}} \frac{1}{n_c} \left[\begin{matrix} (1 - P_m - P_{\tau}^{\text{yc.}} - \\ - P_n - P_{\Pi}) \times \\ \times P_{n_c} \prod_{n=2}^{n=n_c-1} (1 - P_n) \end{matrix} \right] \end{matrix} \right\}, \quad (8)$$

где $n_{\text{доп.}}$ — максимально возможное число одинарных составов в одном блок-поезде.

Расчет размеров движения поездов, осваиваемых каждой из указанных выше комбинаций секций локомотивов, осуществляется следующим образом. Двухсекционных:

$$N_{\text{гр.}(\Pi_2)}^{\text{пр.}} = N_{\text{гр.}} \left\{ \begin{matrix} P_{\Pi(\Pi_2)} + \sum_{n_c=2}^{n_{\text{доп.}}} \frac{1}{n_c} \left[\begin{matrix} (1 - P_m - \\ - P_{\tau}^{\text{yc.}} - P_n - P_{\Pi}) \times \\ \times P_{n_c} \prod_{n=2}^{n=n_c-1} (1 - P_n) \end{matrix} \right] \end{matrix} \right\},$$

трехсекционных:

$$N_{\text{гр.}(\Pi_3)}^{\text{пр.}} = N_{\text{гр.}} \left\{ \begin{matrix} P_{\tau(\Pi_3)} + P_{\tau}^{\text{yc.}}(\Pi_3) + \Phi_n P_{n(\Pi_3)} + \\ + \sum_{n_c=2}^{n_{\text{доп.}}} \frac{1}{n_c} \left[\begin{matrix} (1 - P_m - \\ - P_{\tau}^{\text{yc.}} - P_n - P_{\Pi}) \times \\ \times P_{n_c(\Pi_3)} \prod_{n=2}^{n=n_c-1} (1 - P_n) \end{matrix} \right] \end{matrix} \right\},$$

четырёхсекционных:

$$N_{\text{гр.}(\Pi_4)}^{\text{пр.}} = N_{\text{гр.}} \left\{ \begin{matrix} P_{m(\Pi_4)} + P_{\tau}^{\text{yc.}}(\Pi_4) + \Phi_n P_{n(\Pi_4)} + \\ + \sum_{n_c=2}^{n_{\text{доп.}}} \frac{1}{n_c} \left[\begin{matrix} (1 - P_m - P_{\tau}^{\text{yc.}} - P_n - \\ - P_{\Pi}) P_{n_c(\Pi_4)} \prod_{n=2}^{n=n_c-1} (1 - P_n) \end{matrix} \right] \end{matrix} \right\},$$

k -секционных:

$$N_{\text{гр.}(\Pi_k)}^{\text{пр.}} = N_{\text{гр.}} \left\{ \begin{matrix} P_{m(\Pi_k)} + P_{\tau}^{\text{yc.}}(\Pi_k) + \Phi_n P_{n(\Pi_k)} + \\ + \sum_{n_c=2}^{n_{\text{доп.}}} \frac{1}{n_c} \left[\begin{matrix} (1 - P_m - P_{\tau}^{\text{yc.}} - P_m - P_{\Pi}) \times \\ \times P_{n_c(\Pi_k)} \prod_{n=2}^{n=n_c-1} (1 - P_n) \end{matrix} \right] \end{matrix} \right\},$$

где $P_{(\Pi_k)}$ — доля определенного типа поезда с k -й комбинацией секций локомотивов.

Суммарные размеры движения по комбинациям секций локомотивов должны совпадать с размерами движения поездов всех весовых категорий (8):

$$N_{\text{гр.}}^{\text{пр.}} = \sum_{k=1}^{k_{\text{доп.}}} N_{\text{гр.}(\Pi_k)}^{\text{пр.}}, \quad (10)$$

где k — число локомотивных секций, объединённых по системе мно-

гих единиц в один локомотив, $k = 1, 2, 3 \dots k_{\text{доп.}}; k_{\text{доп.}}$ — максимально возможное число секций в одном локомотиве, объединенных по системе многих единиц тяги (СМЕТ).

Формулы (9) и (10) справедливы и для случаев, когда локомотивы рассредоточены по длине поезда повышенной массы и длины, то есть в схеме поезда (как правило, блок-поезда) есть несколько тяговых позиций, например, ЛСЛ (где Л — локомотив поезда Л_к, С — состав вагонов), ЛСЛС, ЛССЛ, и др. В таких случаях под индексом k понимается общее число локомотивных секций, участвующих в тяге поезда, во всех его тяговых позициях.

Для обеспечения стабильности системы перевозочного процесса необходимо, чтобы размеры движения поездов по каждой весовой категории на участке не превышали максимально возможных значений, полученных расчетом на основе анализа структуры поездопотока:

$$\begin{aligned} N_{\text{т}} &\leq \max N_{\text{т}}; N_{\text{т}(\text{Л}_k)} \leq \max N_{\text{т}(\text{Л}_k)}; \\ N_{\text{т}}^{\text{ус.}} &\leq \max N_{\text{т}}^{\text{ус.}}; N_{\text{т}(\text{Л}_k)}^{\text{ус.}} \leq \max N_{\text{т}(\text{Л}_k)}^{\text{ус.}}; (11) \\ N_{\text{п}} &\leq \max N_{\text{п}}; N_{\text{п}(\text{Л}_k)} \leq \max N_{\text{п}(\text{Л}_k)}; \\ N_{6-\text{п}/n_c} &\leq \max N_{6-\text{п}/n_c}; \\ N_{6-\text{п}/n_c(\text{Л}_k)} &\leq \max N_{6-\text{п}/n_c(\text{Л}_k)}. \end{aligned}$$

Суммарные размеры движения поездов различной весовой категории $N_{\text{гр.}}^{\text{пр.}}$ не должны превышать как максимально возможного, так и исходного значений. Причем это не превышение должно соблюдаться и по каждой комбинации локомотивов Л_к на рассматриваемом направлении:

$$\begin{aligned} N_{\text{гр.}}^{\text{пр.}} &\leq \max N_{\text{гр.}}^{\text{пр.}} \leq N_{\text{гр.}}^{\text{исх.}}, \quad (12) \\ N_{\text{гр.}(\text{Л}_k)}^{\text{пр.}} &\leq \max N_{\text{гр.}(\text{Л}_k)}^{\text{пр.}} \leq N_{\text{гр.}(\text{Л}_k)}^{\text{исх.}}. \end{aligned}$$

На основе рассчитанных размеров движения поездов определяют уровень пропускной способности участков. Для дальнейших расчетов выразим через $\alpha_{\text{пр.}}$ — коэффициент изменения размеров движения поездов в преобразованном поездопотоке:

$$\alpha_{\text{пр.}} = P_{\text{т}} + P_{\text{т}}^{\text{ус.}} + \varphi_{\text{п}} P_{\text{п}} + P_{\text{п}} + \sum_{n_c=2}^{n_c=n_{\text{доп.}}} \frac{1}{n_c} \left[(1 - P_{\text{м}} - P_{\text{т}}^{\text{ус.}} - P_{\text{п}} - P_{\text{п}}) \times \times P_{n_c} \prod_{n=2}^{n=n_c-1} (1 - P_n) \right]. \quad (13)$$

Коэффициент $\alpha_{\text{пр.}}$ характеризует степень «уплотнения» поездопотока, обращающегося на участке. Тогда экономия «ниток» грузовых поездов на графике движения составит

$$\Delta N_{\text{гр.}} = N_{\text{гр.}} (1 - \alpha_{\text{пр.}}). \quad (14)$$

Но при определении фактического резерва пропускной способности формулой (13) воспользоваться нельзя. Это выражение, как будет видно дальше, хорошо отражает высвобождение локомотивов и бригад. Для определения пропускной способности необходимо учитывать такой важный параметр, как межпоездной интервал. Согласно исследованию [2], необходимо, чтобы межблочный интервал соответствовал значению, при котором среднее время прохода блок-поезда по расчетному расстоянию не превышает номинального. При использовании основных выводов, сделанных в [2], расчетный интервал между блок-поездами будет выглядеть следующим образом:

$$I_{\text{п.с}} = I_{\text{р}} + \frac{60(\text{п}_c - 1)}{v_x} \left(\frac{l_{\text{п}}}{1000} + l_{6-\text{у}} \right), \text{ мин} \quad (15)$$

где $I_{\text{р}}$ — расчетный межпоездной интервал (для одинарных поездов), мин; n_c — число составов, объединяемых в один блок-поезд; $l_{\text{п}}$ — длина одинарного состава, м; $l_{6-\text{у}}$ — длина блок-участка, км; v_x — ходовая скорость движения поезда, км/ч.

Выразим условный межпоездной интервал при обращении преобразованного поездопотока через $\beta_{\text{пр.}}$:

$$\beta_{\text{пр.}} = I_p(P_{\text{т}} + P_{\text{т}}^{\text{yc.}} + \varphi_{\text{п}} P_{\text{п}} + P_{\text{н}}) + \sum_{n_c=2}^{n_c=n_{\text{оп.}}} \left\{ I_{n_c} \frac{1}{n_c} \left[\begin{aligned} &(1 - P_m - P_{\text{т}}^{\text{yc.}} - \\ &- P_n - P_{\text{н}}) P_{n_c} \times \\ &\times \prod_{n=2}^{n=n_c-1} (1 - P_n) \end{aligned} \right] \right\}. \quad (16)$$

Величина $\beta_{\text{пр.}}$ характеризует, насколько (до какого условного межпоездного интервала) надо уплотнить поездопоток, пропускаемый обычным способом (одинарными поездами без повышения массы и длины составов), чтобы уложиться в период времени, который требуется для перевозки того же объема груза поездами повышенной массы и длины.

Резерв пропускной способности на двухпутной линии, оборудованной автоблокировкой, при организации стабильного пропуска поездов повышенной массы и длины (в исходных условиях на этой линии наличная и потребная пропускная способность совпадают по величине) определяется

$$\Delta N = \frac{1440 - I_p(\varepsilon_{\text{пс.}} N_{\text{пс.}} + \varepsilon_{\text{сб.}} N_{\text{сб.}})}{I_p^2} \times (I_p - \beta_{\text{пр.}}), \quad (17)$$

$$\Delta N = \left[1 - \frac{\beta_{\text{пр.}}}{I_p} - \frac{(I_p - \beta_{\text{пр.}})(\varepsilon_{\text{пс.}} N_{\text{пс.}} + \varepsilon_{\text{сб.}} N_{\text{сб.}})}{1440} \right] \times 100\%, \quad (18)$$

где $\varepsilon_{\text{пс.}}$ — коэффициент съема грузовых поездов пассажирскими на двухпутной линии с автоблокировкой [3]; $\varepsilon_{\text{сб.}}$ — коэффициент съема грузовых поездов сборными на двухпутной линии с автоблокировкой [3]; $N_{\text{пс.}}$, $N_{\text{сб.}}$ —

число пар пассажирских и сборных поездов.

Взаимосвязь формул (17) и (14) очевидна. В условиях, когда необходимо определить резерв пропускной способности двухпутной линии в условиях обращения поездов различной весовой категории с известными значениями исходных размеров движения, предлагается следующее выражение:

$$\Delta N' = \frac{1440}{I_p} - \left(\frac{N_{\text{гр.}}^{\text{п}}}{I_p} \frac{\beta_{\text{пр.}}}{I_p} + E_{\text{пс.}} + E_{\text{сб.}} N_{\text{сб.}} \right), \quad (19)$$

или

$$\Delta N' = \left[1 - \frac{\beta_{\text{пр.}} N_{\text{гр.}}^{\text{п}} + I_p \times (E_{\text{пс.}} N_{\text{пс.}} + E_{\text{сб.}} N_{\text{сб.}})}{1440} \right] \cdot 100\%, \quad (20)$$

где $N_{\text{гр.}}$ — исходные (заданные) размеры движения грузовых поездов.

Если число пассажирских и сборных поездов остается неизменным по времени, неизменным также остается объем грузовых перевозок; прирост резерва пропускной способности относительно исходного значения составит

$$\Delta N'' = \frac{N_{\text{гр.}}(I_p - \beta_{\text{пр.}})}{1440} \cdot 100\%. \quad (21)$$

На рис. 1 и 2 приведены зависимости резерва пропускной способности от межпоездного расчетного интервала I_p и доли блок-поездов в общем потоке P_{n_c} соответственно. При одном и том же значении $P_{n_c} = 0,6$ (рис. 1) резерв пропускной способности сокращается по мере уменьшения I_p . При увеличении значения доли блок-поездов в общем потоке возрастает уровень пропускной способности ли-

нии (рис. 2). Этот уровень тем выше, чем больше межпоездной интервал. При больших интервалах движения для обеспечения определенного уровня пропускной способности требуется более значительная доля блок-поездов, чем при больших интервалах. Отсюда, система пропуска поездов по-

вышенной массы и длины будет наиболее эффективной, когда расчетный интервал составляет не менее 8 мин. На рис. 1 и 2 приведены зависимости для случая, когда потребная пропускная способность достигла уровня наличной, то есть когда весь резерв в исходных условиях исчерпан. Так как

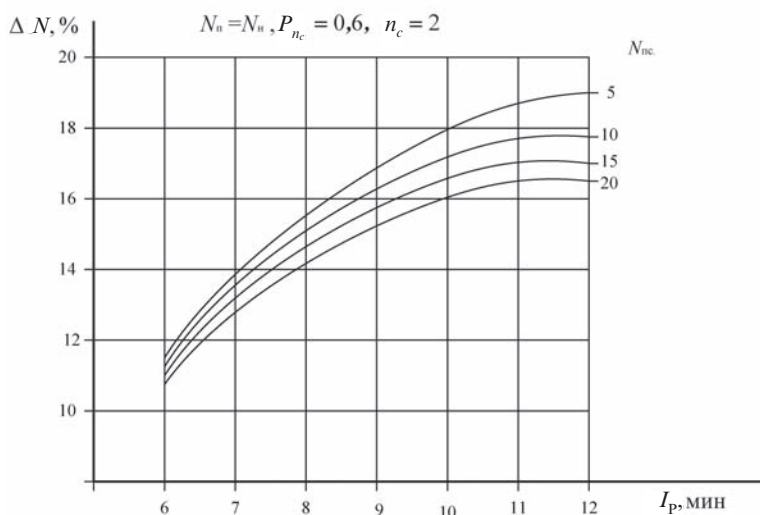


Рис. 1. Зависимость прироста пропускной способности двухпутных линий от размеров пассажирского движения при различных межпоездных интервалах

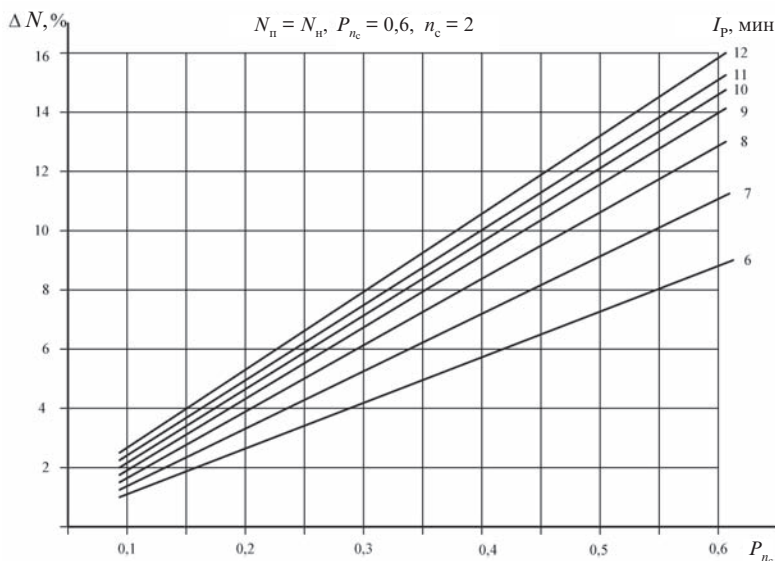


Рис. 2. Зависимость прироста пропускной способности двухпутных линий от величины доли блок-поездов и расчетных интервалов

на большинстве грузонапряженных участках сети межпоездной интервал составляет 8–10 мин, а размеры грузового движения — 90–120 пар поездов в сутки, то увеличивая долю поездов повышенной массы и длины в общем потоке (см. рис. 3), можно поднять уровень пропускной способности на 4–29 % и более.

Предложенный расчет размеров движения грузовых поездов различной весовой категории с использованием долей таких поездов в исходном поездопотоке, а также на основе применения коэффициентов изменения размеров движения $\alpha_{пр.}$ и условного межпоездного интервала $\beta_{пр.}$ позволяет получить прирост пропуск-

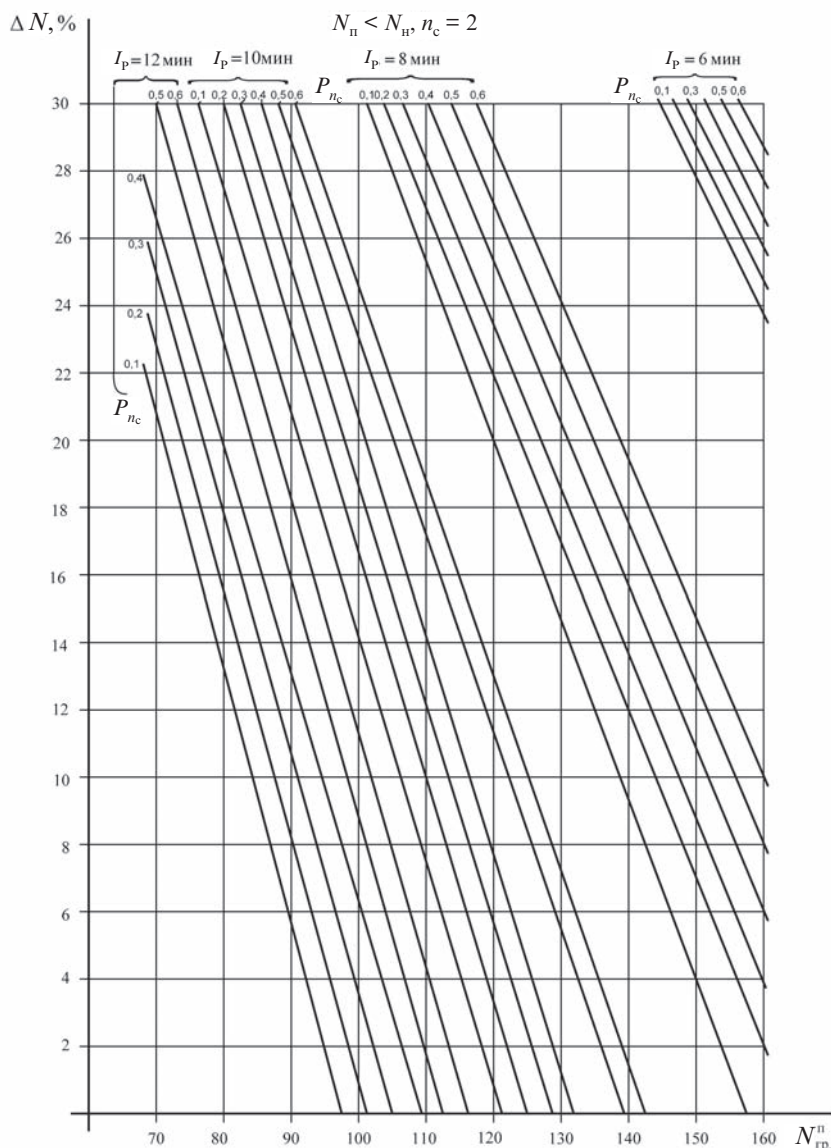


Рис. 3. Зависимость прироста пропускной способности двухпутных линий от потребных размеров движения грузовых поездов и доли блок-поездов при различных межпоездных интервалах

ной способности двухпутных участков при обращении на них поездов различной весовой категории [4, 5].

Установлено, что при образовании 60 % транзитного потока одинарных поездов в двойные в зависимости от числа обращающихся пассажирских поездов (от 5 до 20 пар в сутки) на двухпутных участках можно получить дополнительный прирост пропускной способности (при полностью использованной в исходном состоянии) от 14 % ($N_{\text{пс.}} = 20$ и $I_{\text{р}} = 8$ мин) до 19 % ($N_{\text{пс.}} = 5$ и $I_{\text{р}} = 12$ мин). А при преобразовании от 10 до 60 % одинарных поездов в двойные и интервале 8 мин можно достичь прироста пропускной способности от 1,5 до 13 % соответственно.

В условиях, когда масса поездов не задается, а устанавливается анализом поездопотоков, провозная спо-

собность зависит от соотношения числа поездов различной весовой категории или их доли в общем потоке. Установлен рациональный диапазон изменения долей поездов в преобразованном потоке, обеспечивающий наибольший прирост провозной и пропускной способности.

Пропуск на двухпутном направлении одного поезда с массой в 1,5 раза больше норм позволяет повысить среднюю массу на 5,5–6,2 т, пропуск одного поезда с двумя одинарными составами и одним головным локомотивом — на 18–21 т [6]. При увеличении длины участков обращения поездов повышенной массы и длины при размерах грузового движения 90–110 пар поездов в сутки средняя масса повышается от 0,2 до 28,5 % и более по сравнению с исходной величиной. ■

Литература

1. Павловский И. Г., Перминов А. С., Чернюгов А. Д. Организация движения соединенных поездов. — М. : Транспорт, 1977. — 128 с.
2. Разработка технологии, определение и обоснование технических мероприятий, обеспечивающих пропуск тяжеловесных, длинносоставных и соединенных грузовых поездов на направлениях Омск – Новосибирск – Красноярск и Макат – Чарджоу – Кандагач: Отчет о НИР (заключ.) / МИИТ; Рук. темы А. М. Макаровичин — 01.10.01.84.00.00; № г. р. 01850064869, инв. № 02860034944. — М., 1985. — 129 с.
3. Кочнев Ф. П., Акулиничев В. М., Макаровичин А. М. Организация движения на железнодорожном транспорте: уч. для вузов. — М. : Транспорт, 1979. — 568 с.
5. Плахотич С. А., Чемоданова К. Е. Социально-экономические критерии выбора транспортных средств для обслуживания пассажиров в городском железнодорожном сообщении // Транспорт Урала: Екатеринбург, 2008. — № 2 (17). — С. 52–56. ISSN 1815–9400.
6. Плахотич С. А. Проблемы повышения массы и длины поездов и их пропуска на железнодорожном транспорте // Развитие систем управления перевозочным процессом и транспортной логистикой: сб. науч. тр. / Под ред. С. А. Плахотича. — Екатеринбург: УрГУПС, 2009. — Вып. 76 (156). — С. 125–133. ISBN 978–5–94614–130–7.
7. Фролова И. С. Организация пропуска поездов повышенной массы и длины на железных дорогах России и за рубежом / Развитие систем управления перевозочным процессом и транспортной логистикой: сб. науч. тр. / Под ред. С. А. Плахотича. — Екатеринбург: УрГУПС, 2009. — Вып. 76 (156). — С. 199–205. ISBN 978–5–94614–130–7.

Статья сдана в редакцию 27. 10. 2009 г.

АВТОМАТИКА, ТЕЛЕМЕХАНИКА, СВЯЗЬ

А. Л. Гаврилюк, С. С. Титов, И. Г. Тильк, А. Ю. Рожнёв

Исследование точечного канала связи с локомотивом (ТКС-Л)

Точечный канал связи с локомотивом (ТКС-Л) предназначен для передачи сигналов локомотивной сигнализации от стационарных устройств СЖАТ к локомотивным устройствам безопасности. Система ТКС-Л состоит из стационарного и локомотивного комплектов. В состав стационарного комплекта входят путевые приемопередатчики (ПП) и устройства сопряжения с аппаратурой СЖАТ (УСО-ЖАТ). В составе локомотивного комплекта входят — локомотивный считыватель (СПП) и устройство сопряжения с локомотивным устройством безопасности (УСО-ЛС).

Коды Боуза–Чоудхури–Хоквингема (БЧХ) — это широкий класс циклических кодов, применяемых для защиты информации от ошибок [1]. Особенность этого класса — построение кода с заранее определенным минимальным кодовым расстоянием. При декодировании принятого слова \hat{x} в качестве решения декодера принимается слово x , в шар радиуса

$t = \frac{d-1}{2}$ от которого попадает принятое слово, то есть

$$d_H(x, \hat{x}) \leq \left\lfloor \frac{d-1}{2} \right\rfloor, \quad (1)$$

где $d_H(x, \hat{x})$ — расстояние в метрике Хэмминга.

Если число обнаруженных ошибок больше $t = \frac{d-1}{2}$, то декодер выносит решение о невозможности исправить слово. Для моделирования используются 127-битные и 255-битные слова (европейский стандарт передачи данных).

Шар радиуса 10 с центром x содержит все слова, отличающиеся от x в i -х координатах, где $i \in \{0, 1, \dots, t\}$. Поэтому шар с центром в x содержит точно

$$|B_t| = |B_t(x)| = \sum_{i=0}^t \binom{n}{i} = 2,2828 \cdot 10^{14} \text{ слов.} \quad (2)$$

Сведения об авторах: **Александр Леонидович Гаврилюк** — канд. физ.-мат. наук; Институт математики и механики УрО РАН. Alexander.gavriliouk@gmail.com.

Сергей Сергеевич Титов — д-р физ.-мат. наук, профессор каф. «Прикладная математика» Уральского государственного университета путей сообщения. Stitov@usaaa.ru.

Игорь Германович Тильк — канд. техн. наук, директор НПЦ «Промэлектроника» при Уральском государственном университете путей сообщения. Melnikova_i@npcprom.ru.

Алексей Юрьевич Рожнёв — инженер Уральского государственного университета путей сообщения. Alexon@k66.ru.

Вероятность того, что случайная последовательность символов y попадет в один из шаров вокруг кодовых слов, равна отношению числа исправляемых слов к общему числу двоичных слов размера n :

$$\begin{aligned} \Pr = \frac{|C||B_l|}{2^n} &= \frac{2^k \sum_{i=0}^t \binom{n}{i}}{2^n} = \\ &= \frac{2,2828 \cdot 10^{14}}{2^{127-64}}. \end{aligned} \quad (3)$$

По результатам $k = 100000$ модельных испытаний для 127-битных слов получено: время моделирования — 4 ч, событий «ложный прием» на выходе декодера БЧХ — $m = 1$.

Оценим согласие полученной при моделировании оценки вероятности $Pr_m = 10^{-5}$ с ранее выведенной гипотезой $Pr = 2,48 \cdot 10^{-5}$. Для этого воспользуемся вторым неравенством Чебышева. В нашем случае величина вероятности $Pr_m = \frac{m}{k}$ является случайной величиной с математическим ожиданием (что предполагается в нулевой гипотезе), равным $p = Pr$.

Для любого $\varepsilon > 0$, согласно неравенству Чебышева, имеем

$$\Pr \left\{ \left| \frac{m}{k} - p \right| \geq \varepsilon \right\} \leq \frac{p(1-p)}{\varepsilon^2 k}. \quad (4)$$

Нулевая гипотеза (согласие) принимается, если правая часть неравенства не меньше выбранного уровня значимости α . Используемыми на практике уровнями значимости являются величины $\alpha = 0,01, 0,05, 0,1$.

В нашем случае $\varepsilon = 1,48 \cdot 10^{-5}$ и

$$\frac{p(1-p)}{\varepsilon^2 k} = 1,11, \quad (5)$$

что позволяет принять гипотезу о согласии полученных при моделировании результатов с теоретическими выводами.

Вероятность трансформации нулевого кодового слова в слово $\bar{0} + e$ (e — вектор ошибок) из шара радиуса 10 с центром в некотором кодовом слове \bar{x} веса j равна

$$\begin{aligned} \Pr \{d(\bar{0} + e, \bar{x}) = r\} &= \\ &= \sum_{v=0}^r \binom{j}{v} \binom{n-j}{r-v} p^{j-v} q^v p^{r-v} q^{n-j-(r-v)} = \\ &= \sum_{v=0}^r \binom{j}{v} \binom{n-j}{r-v} p^{j+(r-2v)} q^{n-j-(r-2v)}. \end{aligned} \quad (6)$$

Окончательно:

$$\begin{aligned} \Pr \{\bar{0} + e \in OB_l(\bar{x})\} &= \\ \Pr \{d(\bar{0} + e, \bar{x}) = r\} &= \\ &= \sum_{r=0}^l \sum_{v=0}^r \binom{j}{v} \binom{n-j}{r-v} p^{j+(r-2v)} q^{n-j-(r-2v)}. \end{aligned} \quad (7)$$

Вероятность отсутствия обнаружения ошибки равна сумме вероятностей трансформации слова веса 0 в слово веса j для всех допустимых значений j :

$$\begin{aligned} Pr_m &= \sum_{j=0}^n n_j \times \\ &\times \sum_{r=0}^l \sum_{v=0}^r \binom{j}{v} \binom{n-j}{r-v} p^{j+(r-2v)} q^{n-j-(r-2v)}, \end{aligned} \quad (8)$$

где n_j — количество кодовых слов веса j .

Вероятность обнаружения ошибочной последовательности декодером БЧХ (но не исправления), то есть потери пакета, равна

$$Pr_p = 1 - \Pr \{w(e) \leq t\} - Pr_m. \quad (9)$$

Вероятность, что вес вектора ошибки не больше исправляющей емкости кода, равна

$$\Pr \{w(e) \leq t\} = \sum_{i=0}^l \binom{n}{i} p^i q^{n-i}. \quad (10)$$

В блоке контроля проверочных символов CRC оценивают величины вероятности совпадения значения поля контрольной суммы в пакете случайных данных с действительной контрольной суммой принятой последовательности, вероятности совпадения контрольной суммы в поврежденном пакете (неверно декодированным БЧХ-декодером).

Параметры используемого метода CRC (CCITT): длина кодового слова $n = 64$, количество информационных символов $k = 48$, минимальное кодовое расстояние $d = 4$ (код гарантированно обнаруживает 1 ошибку и большинство ошибок кратности 2 и 3), порождающий полином $x^{16} + x^{12} + x^5 + 1$, начальное значение регистра 0 xFFFF. В данном методе XOR с окончательным значением регистра не производится.

Полный CRC-код образуется из циклического кода Хэмминга с параметрами $(2^m - 1, 2^m - 1 - m, 3)$ удалением одного информационного бита и последующим расширением этого кода через добавление одного бита дополнительной проверки на четность. Полученный код остается циклическим. Все кодовые слова таких кодов имеют четный вес, поэтому CRC-код обнаруживает все ошибки нечетного веса, кроме того, кодовое расстояние увеличивается на 1 (по сравнению с кодом Хэмминга) и равно 4, поэтому также обнаруживаются все ошибки веса не более 3. В частности, полный код CRC-16 имеет параметры (32767, 32751) ($m = 15$).

Всего различных кодовых слов в используемом коде C :

$$|C| = 2^k = 2^{48}. \quad (11)$$

Вероятность того, что случайная последовательность символов совпадет с одним из кодовых слов, не превышает отношения числа кодовых слов к общему числу двоичных слов размера n :

$$Pr \leq \frac{|C|}{2^n} = \frac{2^{48}}{2^{64}} \approx 1,53 \cdot 10^{-5}. \quad (12)$$

По результатам $k = 100000$ испытаний получено $m = 1$ событие, в котором случайное слов длиной в 64 бита не было отбраковано контролем проверочных бит CRC. Таким образом, оценка вероятности по результатам моделирования $Pr_m = 10^{-5}$, что хорошо согласуется с ранее выведенной гипотезой $Pr = 1,53 \cdot 10^{-5}$.

Допустим, что при передаче ошибок произошло больше, чем допускает обнаруживающая способность кода БЧХ, и в результате передаваемое кодовое слово трансформировалось в другое кодовое слово. Это означает, что кодовое слово по решению декодера БЧХ и передаваемое кодовое слово отличаются, по крайней мере, в $d = 21$ позиции. Следовательно, вероятность p_i того, что i -й символ в кодовом слове по решению БЧХ-декодера отличается от i -го символа в передаваемом слове БЧХ не меньше, чем

$$p_i \geq \frac{21}{127}. \quad (13)$$

Тогда вероятность того, что расстояние Хэмминга между извлеченным (из принятого по решению БЧХ-декодера кодового слова) информационным словом (длиной 64 бита) и передаваемым информационным словом равно d символов, есть

$$\binom{64}{d} p_i^d (1 - p_i)^{64-d}. \quad (14)$$

Пусть $Pr_{\text{CRCerr.}}(d)$ — вероятность совпадения контрольной суммы CRC-16 в информационном слове, находящемся на расстоянии d от передаваемого информационного слова. Тогда полная вероятность необнаружения ошибки контролем проверочных символов CRC-16 равна

$$\Pr_{\text{CRCerr.}}(p_l) = \sum_{d=2}^{p_l-n} \binom{64}{d} p_l^d (1-p_l)^{64-d} \Pr_{\text{CRCerr.}}(d). \quad (15)$$

Вероятность $\Pr_{\text{CRCerr.}}(d)$ оценена с помощью моделирования. Последовательность шагов моделирования: генерируем случайное слово y длиной 48 бит, вычисляем вектор проверочных символов $y_{\text{CRC-16}}$ CRC-16 для y , добавляем к слову $(y, y_{\text{CRC-16}})$ шум e веса d , контролируем проверочные символы CRC-16 для переданного зашумленного слова.

Расчет этой вероятности дает значение

$$\Pr_{\text{CRCerr.}}(p_l) \approx 1,9 \cdot 10^{-5} \quad (16)$$

$$\text{при } p_l = \frac{21}{127}.$$

Теперь рассмотрим теоретическую границу для вероятности необнаруженной ошибки контролем проверочных символов CRC-16 (для случая нулевого начального регистра) с длиной сообщения 48 бит. Такой код будет линейным подкодом кода с параметрами (32767, 32751), порожденного полиномом

$$g(x) = x^{16} + x^{12} + x^5 + 1 = \sum_{i=0}^r g_i x^i, \quad (17)$$

где $r = 16$ — число проверочных символов.

Проверочный полином такого кода определяется из соотношения

$$h(x) = \frac{x^{2^m-1} - 1}{g(x)} = \sum_{i=0}^{n-r} h_i x^i, \quad (18)$$

где $m = 15$ и $n = 2^m - 1$ есть длина полного циклического кода CRC-16.

При вероятности ошибки в одном бите принятого кодового слова CRC-16, равной p_l , вероятность необнаруженной ошибки контролем про-

верочных символов CRC-16 (с длиной сообщения 48 бит) равна

$$\Pr_{\text{CRCerr.}}(p_l) = \sum_{i=1}^n A_i p_l^i (1-p_l)^{n-i}, \quad (19)$$

где $\{A_i\}_{i=0}^n$ — распределение весов (весовой спектр) рассматриваемого укороченного циклического кода CRC-16. Общего метода для вычисления весового спектра линейных кодов не существует (NP-полная задача), поэтому требуется вычислительный эксперимент. Такой код будет линейным, и этой линейностью мы воспользуемся для эффективно вычисления спектра.

Для этого нам потребуется тождество Мак-Вильямса. Пусть C — линейный код с параметрами (n, k) и весовым спектром $\{A_i\}_{i=0}^n$, а C^n — ортогональный ему $(n, n-k)$ — код с весовым спектром $\{B_i\}_{i=0}^n$. Обозначим

$$A(x) = \sum_{i=0}^n A_i x^i, \quad A(x) = \sum_{i=0}^n B_i x^i. \quad (20)$$

Тогда имеется тождество

$$q^k B(x) = (1 + (q-1)x)^n A \times \left(\frac{1-x}{1+(q-1)x} \right), \quad (21)$$

где $q = 2$ — характеристика поля, над которым определен код.

Более того, в этих обозначениях выражение (19) перепишется в виде

$$\Pr_{\text{CRCerr.}}(p_l) = (1-p_l)^n (A(p_l) - A_0). \quad (22)$$

В нашем случае размерность пространства информационных символов ортогонального кода равна $64 - 48 = 16$.

Так как спектр кода и ортогонального ему кода однозначно связаны тождеством Мак-Вильямса, то нам достаточно вычислить спектр ортогонального кода. Для размерности 16

это можно сделать очень быстро. Тогда в наших обозначениях, $n = 64$, $k = 16$ и

$$\Pr_{\text{CRCerr}}(p_l) = (1 - p_l)^n \times (2^{k-n} (1 + p_l)^n B\left(\frac{1 - p_l}{1 + p_l}\right) - 1). \quad (23)$$

Расчет по этой формуле дает значение

$$\Pr_{\text{CRCerr}}(p_l) \approx 1,6 \cdot 10^{-5} \quad (24)$$

при $p_l = \frac{21}{127}$, что хорошо согласуется с полученным ранее значением.

Рассмотрим помехоустойчивое кодирование с применением кодов Гоппы.

Определение 1 ([4]). Кодом Гоппы с конструктивным расстоянием d называется альтернантный код* с конструктивным расстоянием d , у которого обращение частотного шаблона G имеет ширину d . Иначе говоря, обращение частотного шаблона задает-

ся многочленом $G(x)$ степени $d - 1$, который называется многочленом Гоппы. Кодом Гоппы в узком смысле называется код Гоппы с $2t$ проверочными частотами с локаторами $\alpha^{n-2t+1}, \alpha^{n-2t+2}, \dots, \alpha^0$.

Теорема 1 ([4]). Вектор c является кодовым для кода Гоппы с многочленом Гоппы $G(x)$ тогда и только тогда, когда

$$\sum_{i=0}^{n-1} c_i [\alpha^{ij} / G(\alpha^{-i})] = 0, \quad j = 0, \dots, 2t - 1. \quad (25)$$

Теорема 2 ([4]). Минимальное расстояние d^* и размерность k кода Гоппы с многочленом Гоппы степени $2t$ удовлетворяют неравенствам $d^* \geq 2t + 1, k \geq n - 2tm$.

В частотной области коды Гоппы допускают описание с помощью изображенного на рис. 1 устройства с регистром сдвига.

Другое описание кодов Гоппы можно дать в следующем виде.

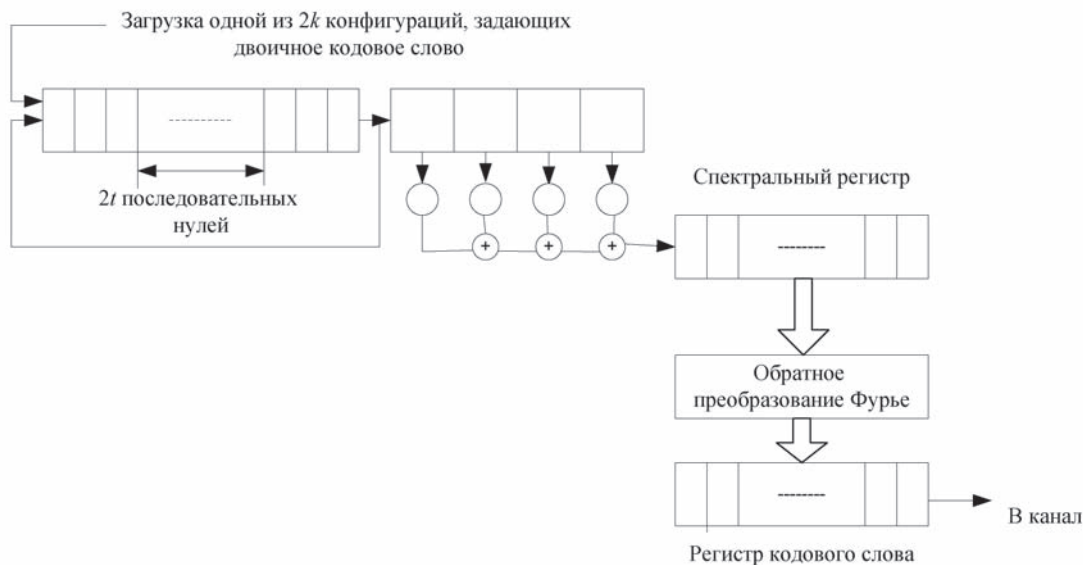


Рис. 1. Частотный кодер для кода Гоппы

*Альтернантные коды являются ограничением на подполе простейшей модификации кодов Рида-Соломона. Минимальное расстояние альтернантного кода не меньше конструктивного расстояния.

Вместо стандартного введения информации во временную область, информация вводится в частотную область или в спектр или в профильтрованный спектр, как показано на рис. 1, причем в обоих случаях необходимо обеспечить выполнение ограничений сопряженности. Содержащий информацию профильтрованный спектр пропускается через фильтр с конечным импульсным откликом, веса в отводах которого задаются многочленом Гоппы. Фильтр работает циклически: обращение к входу является периодическим. После этого кодовое слово получается обратным преобразованием Фурье спектра.

Теорема 3 ([4]). Код Гоппы в узком смысле над $GF(q)$ длины $n = q^m - 1$, задаваемый многочленом Гоппы $G(x)$, состоит из всех векторов $c = (c_0, \dots, c_{n-1})$ над $GF(q)$, удовлетворяющих условию

$$\sum_{i=0}^{n-1} c_i \prod_{i' \neq i} (x - \alpha^{-i'}) = 0 \pmod{G(x)}. \quad (26)$$

Вернемся к частному случаю двоичных кодов Гоппы, ограничиваясь тем случаем, когда многочлен Гоппы не имеет кратных корней ни в одном расширении данного поля. Такие коды Гоппы называются сепарабельными. Минимальное расстояние сепарабельных двоичных кодов Гоппы равно $2r + 1$, где r — степень многочлена Гоппы. Это намного лучше, чем граница для произвольных кодов Гоппы, согласно которой $d^* \geq r + 1$. Ключом к доказательству этого утверждения является следующая теорема, накладывающая ограничения на многочлен, взаимный (возвратный) к локаторному многочлену: **Теорема 4 ([4]).** Если определяющий двоичный код Гоппы, в узком смысле многочлен Гоппы $G(x)$, не имеет корней в поле $GF(2^m)$, то вектор c является кодовым словом тогда и только тогда, когда формальная производная

$\tilde{L}'_c(x)$ многочлена, взаимного к локаторному, делится на $G(x)$.

Доказательство. Формальная производная многочлена, взаимного к локаторному, равна

$$\tilde{L}'_c(x) = \sum_{i=1}^v \prod_{i' \neq i} (x - \beta_{i'}). \quad (27)$$

Поскольку код является двоичным, то c_i равны нулю или единице, и это выражение для $\tilde{L}'_c(x)$ следует из формулы, приведенной в теореме 3.

Наименьшим кодом Гоппы является двоичный $(8, 2, 5)$ -код Гоппы. Выберем $G(x) = x^2 + x + 1$. Корни этого многочлена различны и лежат в $GF(4)$ и, следовательно, не могут лежать в $GF(8)$. Кодер для такого кода в частотной области изображен на рис. 2. Коды Гоппы очень перспективны.

Использование хэш-функции для обеспечения защищенности передаваемой информации

Однонаправленной функцией хэширования, или хэш-функцией, называется преобразование информации, переводящее блок информации произвольной длины в блок фиксированной длины [6].

Хэш-функции должны обладать двумя основными свойствами: для данного значения функции $h(M)$ невозможно найти аргумент M ; для данного аргумента M должно быть невозможно найти другой аргумент M' такой, что $h(M) = h(M')$.

Рассмотрим хэш-функции, в которых входной блок информации произвольной длины преобразуется в сжатый 128-битный образ. В каждом цикле хэш-функции MD4 используется своя цикловая функция $f_j, 1 \leq j \leq 3$, где обозначено

$$\begin{aligned} f_1 &= (X \wedge Y) \vee (\bar{X} \wedge Z); \\ f_2 &= (X \wedge Y) \vee (X \wedge Z) \vee (Y \wedge Z); \\ f_3 &= X \oplus Y \oplus Z. \end{aligned} \quad (28)$$

Схема MD5 сложнее MD4, однако результатом MD5 также является 128-битный хэш-образ. Перейдем к основному циклу алгоритма. Этот цикл продолжается, пока не исчерпаются 512-битные блоки сообщения. Стартовый вектор MD₀ имеет длину 128 бит и представляет собой конкатенацию четырех 32-битных слов: $md_0 || md_1 || md_2 || md_3$, где $md_0 = 01234567$, $md_1 = 89abcdef$, $md_2 = fedcba98$, $md_3 = 76543210$. В алгоритме, в отличие от MD4, используется четыре цикловые функции f_i , $1 \leq j \leq 4$, где

$$\begin{aligned} f_1 &= (X \wedge Y) \vee (\bar{X} \wedge Z); \\ f_2 &= (X \wedge Z) \vee (X \wedge \bar{Z}); \\ f_3 &= X \oplus Y \oplus Z; \\ f_4 &= Y \oplus (X \wedge \bar{Z}). \end{aligned} \quad (29)$$

В основном цикле MD5 16-словного блока M_j , $1 \leq j \leq n$, обрабатывается за четыре этапа, каждый из которых включает в себя 16 шагов (рис. 3).

На каждом шаге i -го этапа вычисляется одно из значений $a = b + ((a + f_i(b, c, d) + M_j[s] + t_i) \lll k)$, где $1 \leq j \leq 4$, $M_j[s]$ — слово, выбранное из M ; s ; t_i ; k — параметры шага; $x \lll k$ — циклический сдвиг значения x на k бит; «+» — операция сложения по модулю 2^{32} . Причем вычисляемое слово меняется от шага к шагу. После обработки слова M_n итоговым сжатым образом сообщения будет 128-битная последовательность $MD_n = A || B || C || D$.

Функция MD5 оказалась стойкой по отношению к дифференциальному криптоанализу каждого из этапов. Комбинированное применение одно-

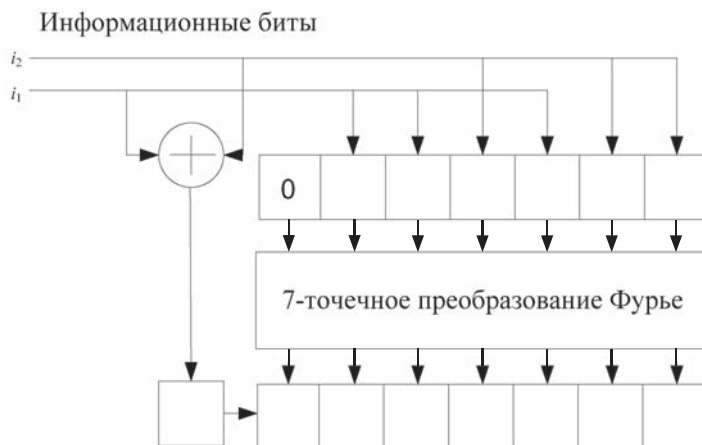


Рис. 2. Схема для (8,2,5)-коды Гоппы

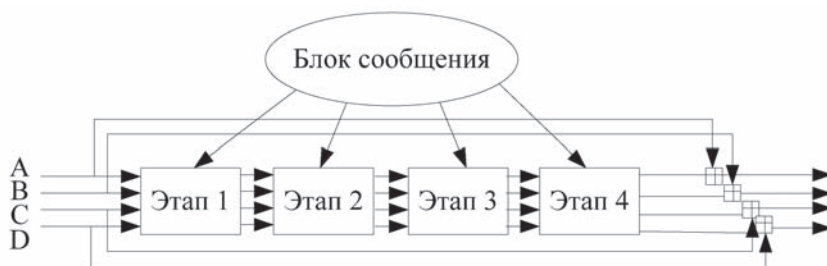


Рис. 3. Схема основного цикла алгоритма MD5

направленных функций совместно с мощными помехоустойчивыми системами кодирования представляется весьма перспективным.

Итак, проведено исследование точечного канала связи с локомотивом (ТКС-Л) на предмет обеспечения требуемого уровня помехоустойчивости, целостности и защищенности передаваемой информации. Показана возможность использо-

вания помехоустойчивого кодирования сообщений автоматической локомотивной сигнализации, изучены некоторые кодеры, предложено применение кодов Гоппы и функций хэширования для противодействия не только техническим сбоям, но и целенаправленным действиям возможного злоумышленника, в целях повышения защищенности передаваемой информации. ■

Литература

1. Паршин А. В., Субботин Е. А. Теория передачи сигналов: конспект лекций. Екатеринбург : УрТИСИ ГОУ ВПО «СибГУТИ», 2004. С. 95–97.
2. Казаков А. А. Автоблокировка, локомотивная сигнализация и автостопы. М. : «Транспорт», 1980. С. 15–20.
3. Росс Н. В. Элементарное руководство по CRC-алгоритмам обнаружения ошибок. М. : «Роксофт», 1995. С. 5–23.
4. Блейхут Р. Теория и практика кодов, контролирующих ошибки. М.: «Мир», 1986. С. 149–155.
5. Финк Л. М. Теория передачи дискретных сообщений. М. : Изд-во «Советское радио», 1978. С. 111–139.
6. Яковлев В. В. Информационная безопасность и защита информации в корпоративных сетях железнодорожного транспорта. М. : УМК МПС России, 2002. ISBN 5–89035–059–5.

Статья сдана в редакцию 15. 10. 2009 г.

А. В. Волынская

Результаты математического моделирования процесса поиска кодовых последовательностей с заданными корреляционными свойствами

Для систем автоматики, телемеханики и связи железнодорожный транспорт — источник сильных электромагнитных помех. Высокая надежность (помехоустойчивость) современных систем связи достигается применением широкополосных сигналов (ШПС) [1]. Наиболее важные аспекты применения ШПС в системах автоматики, телемеханики и связи исследованы в [2–4]. В цифровых системах ШПС представляют собой последовательности бинарных импульсов, составленных по определенному правилу — коду, поэтому их называют кодовыми последовательностями. Наиболее важная характеристика кодовой последовательности — ее автокорреляционная функция (АКФ). Примеры кодовой последовательности длиной $N = 5$ и ее АКФ приведены на рис. 1.

«Хорошими» кодовыми последовательностями называют такие, у которых отношение высоты главного пика АКФ к высоте максимального бокового пика — Q — наибольшее. Это связано с тем, что именно наличие главного пика позволяет выделить слабый, «свой», сигнал при сильных помехах, которые снижают высоту главного пика и увеличивают высоту боковых (ложных) пиков.

Наилучшими в этом смысле последовательностями являются последовательности Баркера [1], у которых $Q = N$, но их известно лишь восемь, причем самая длинная из них содержит тринадцать импульсов ($N = Q = 13$). Доказано, что последовательностей Баркера с N нечетным и большим тринадцати не существует. Для четных N доказательства также не существует, но экспериментально показано, что для $N \leq 6084$ их нет. Известны многие другие кодовые последовательности с хорошей АКФ, но Q для них не превышает \sqrt{N} .

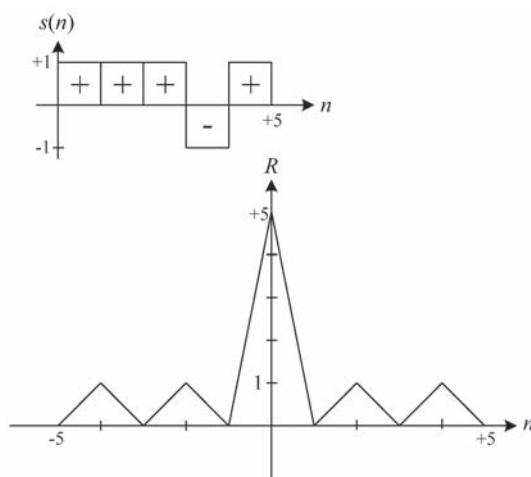


Рис. 1

Сведения об авторе: Анна Владимировна Волынская — канд. техн. наук (Уральский государственный университет путей сообщения). E-mail: Anna-Volinskaya@mail.ru.

Требуется найти кодовые последовательности с $N > 13$, у которых отношение высоты главного пика к высоте максимального положительного бокового пика $\Theta = N$. Назовем их составными последовательностями Баркера (СПБ).

Применим комбинирование двух коротких последовательностей — «несущей» и «модулирующей». «Несущая» последовательность длиной n_1 с хорошими корреляционными свойствами повторяется n_2 раза в прямой или инверсной форме, в зависимости от очередного символа «модулирующей» последовательности. Таким образом, длина составной последовательности $N = n_1 n_2$. Например, если $n_1 = 3$ и $n_2 = 4$, а в качестве последовательностей взяты баркеровские последовательности $11-1$ и $11-11$ соответственно, то составная последовательность такова: $11-111111-11-11-11-1$. Ее АКФ приведена на рис. 2.

Можно поменять последовательности ролями: $n_1 = 4$ и $n_2 = 3$. В этом случае последовательность уже такая: $11-1111-11-11-1111-1$. Ее АКФ представлена на рис. 3.

Как видно из рис. 2 и 3, положительные боковые пики равны трем, а отношение основного пика к положительным боковым равно четырем, то есть комбинирование двух функций с «хорошими» АКФ не привело к созданию новой последовательности большей длины с такой же «хорошей» АКФ. Если в качестве «несущей» и «модулирующей» последовательности выбрать такие, у которых количество «1» отличается от количества «-1» не более, чем на единицу, то возможно получение таких последовательностей, у которой $\Theta = N$.

Возьмем $n_1 = 3$ ($11-1$) и $n_2 = 11$ ($1111-11-1111-1111$), тогда составная последовательность:

$1111-1111-1111-1111-1111-1111-1111-1111-1111-1111-1111$.

Ее нормированная АКФ (R) приведена на рис. 4.

Видим, что величина положительных боковых пиков равна $1/N$. Можно получить подобный результат комбинируя последовательности Баркера, состоящие из двух, трех, семи, одиннадцати элементов. Составные последовательности приведены в таблице 1.

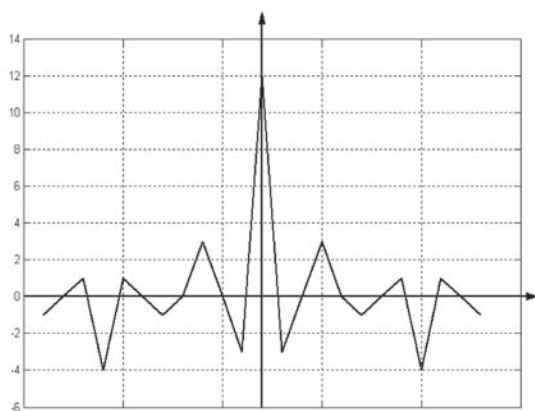


Рис. 2. АКФ составной последовательности Баркера длиной $N = 12$ ($n_1 = 3, n_2 = 4$)

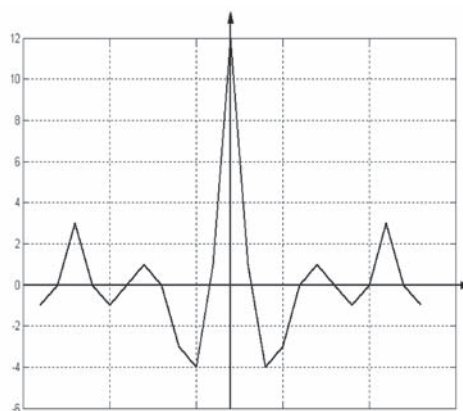


Рис. 3. АКФ составной последовательности Баркера длиной $N = 12$ ($n_1 = 4, n_2 = 3$)

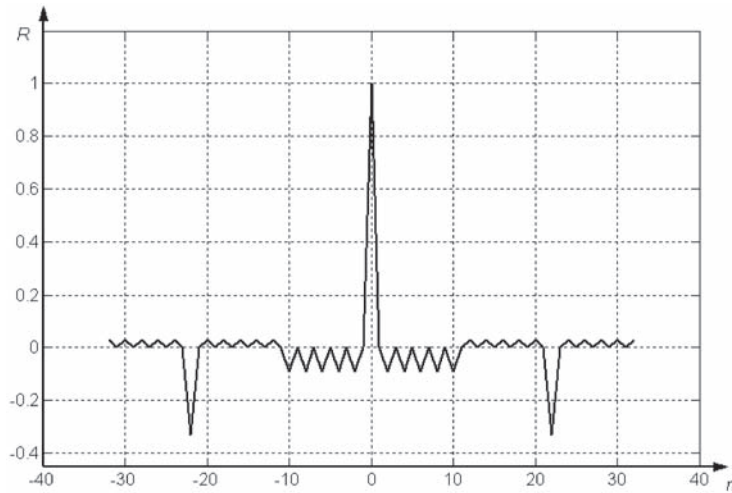


Рис. 4. Нормированная АКФ составной последовательности Баркера
длиной $N = 33$ ($n_1 = 3, n_2 = 11$)

Таблица 1

N	Последовательность
14	a) +++ -- + --- -- ++ -- +
	б) + - + - + - - + - ++ - - +
21	a) ++ - ++ - ++ - - - + - - +++ - - - +
	б) +++ - - + - + +++ - - + - - - ++ - +
22	a) +++ - - - + - - + - - - - +++ - ++ - +
	б) + - + - + - - + - + - ++ - - + - ++ - - +
33	a) ++ - ++ - ++ - - - + - - + - - +++ - - - + - - +++ - - - +
	б) +++ - - - + - - + - + +++ - - - + - - + - - - +++ - ++ - +
49	a) +++ - - + - +++ - - + - +++ - - + - - - - ++ - + - - - ++ - +++ - - + - - - ++ - +
	б) +++ - - - + - - + - + +++ - - - + - - + - + +++ - - - + - - - - +++ - ++ - + - - - +++ - ++ - + -
77	a) +++ - - + - +++ - - - + - - + - - - - +++ - ++ - +
	б) +++ - - + - +++ - - + - +++ - - + - - - ++ - + - - - ++ - + - - - ++ - + - - - ++ - +
121	a) +++ - - - + - - + - + +++ - - - + - - + - + +++ - - - + - - - - +++ - ++ - + - - - +++ - ++ - + -
	б) +++ - ++ - ++ - + - - - +++ - ++ - +++ - - - + - - + - - - - +++ - ++ - + - - - +++ - ++ - + -

Одно из преимуществ составных последовательностей заключается в том, что согласованный фильтр для их приема требует меньшего числа отводов, чем для всех других последовательностей той же длины. Другое преимущество обнаруживается при отсутствии фазовой неопределенности, когда можно отличать положительные значения АКФ от отрица-

тельных, например, при когерентном детектировании. В этом случае величины отрицательных выбросов не имеют значения. При таких условиях составные последовательности обеспечивают большее Θ .
Для синтеза последовательностей с заданной АКФ существует множество способов, но нет рекомендаций по их применению [5]. Будем искать

равномерные фазоманипулированные (ФМн) сигналы с импульсами одинаковой длительности и со значениями фаз 0 или π . Для малых значений числа импульсов в сигнале N известны ФМн-сигналы (например, сигналы Баркера) с малым уровнем боковых пиков АКФ, а для средних ($N < 200$) сигналы могут быть найдены с помощью ЭВМ методом перебора.

Для $N > 200$ нахождение ФМн-сигналов методом перебора требует слишком большого машинного времени. При таких больших N следует заранее предполагать, что ФМн-сигнал должен состоять из импульсов одинаковой длительности. Назовем условно такой сигнал дискретным. Формирование и обработка дискретных ФМн-сигналов несколько упрощается при использовании элементов цифровой техники. Но из-за дискретности сигналов точное аналитическое решение вряд ли возможно. Чтобы довести решение задачи до конца, приходится разбивать его на два этапа: аналитический и машинный.

На первом определяют характеристики неравномерного ФМн-сигнала с заданным N и хорошей АКФ. Затем полученный сигнал преобразуется в равномерный путем квантования по амплитуде на два уровня и вычисляется его АКФ (с помощью ЭВМ).

На втором этапе меняются знаки наиболее характерных импульсов для уменьшения боковых пиков АКФ и каждый раз проверяется вся АКФ. Эта операция из-за большого объема вычислений может быть выполнена только с помощью ЭВМ, но при этом требуется меньше машинного времени, чем при методе перебора, так как надо проверить гораздо меньшее число характерных импульсов. Легко показать, что число таких импульсов намного меньше числа импульсов в сигнале.

Решение задачи синтеза в целом зависит от выбора исходного сигнала. Для сигналов с базой меньше двухсот может быть предложен алгоритм поиска последовательностей, реализованный в программной среде Matlab (рис. 5).

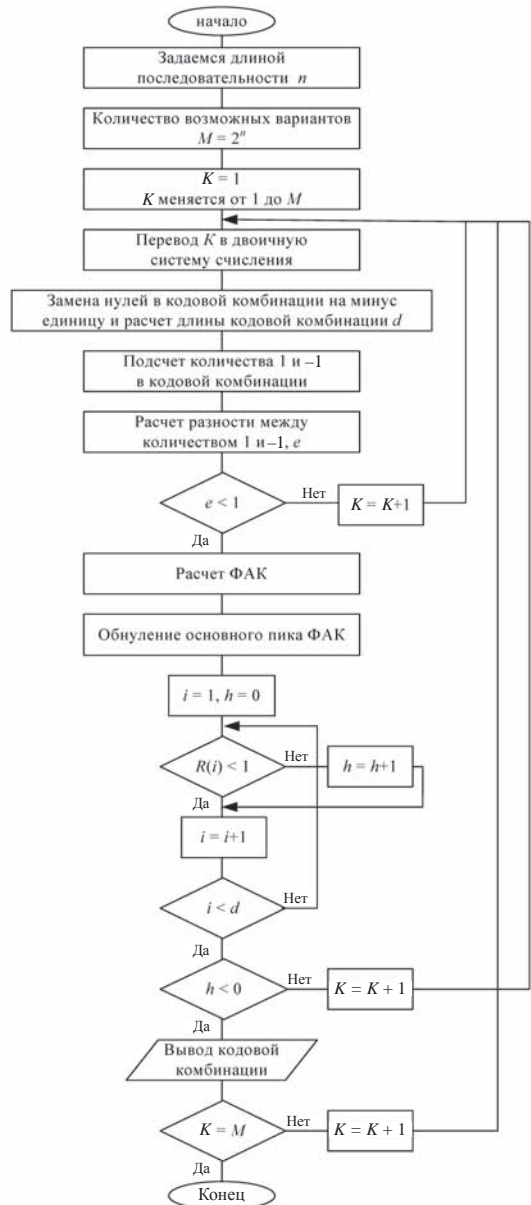


Рис. 5. Алгоритм поиска последовательностей

Таблица 2

<i>N</i>	Последовательность
14	<i>a)</i> + − + + − − + − − − + + +
16	<i>a)</i> − + − + − + + − + − − − + + +
	<i>б)</i> + − + + − + − − − + − − − + + +
	<i>в)</i> + − − − − + − + − − + + − + + +

Отличие этого алгоритма от метода простого перебора в том, что анализируются не все последовательности, а только те, у которых количество «+1» отличается от количества «−1» не более, чем на единицу; этим достигается существенное увеличение производительности.

Приведенные в таблице некоторые из найденных последовательностей подтверждают работоспособность этого алгоритма.

АКФ для данных последовательностей приведены на рис. 6 и 7.

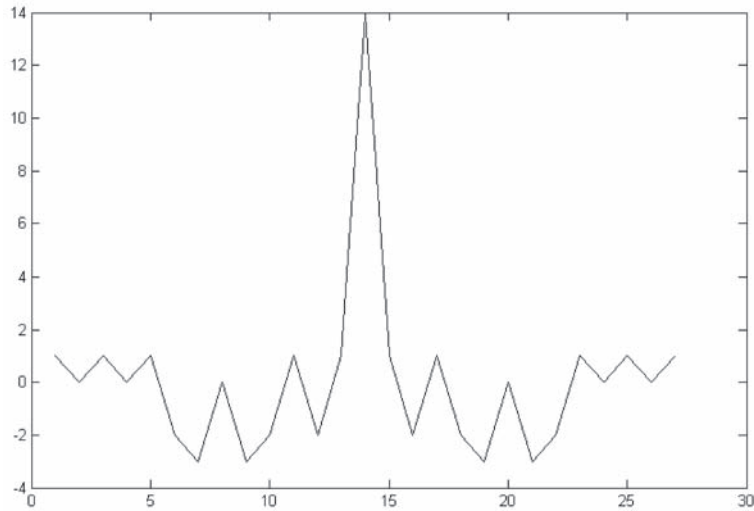


Рис. 6. АКФ для последовательности длиной *N* = 14

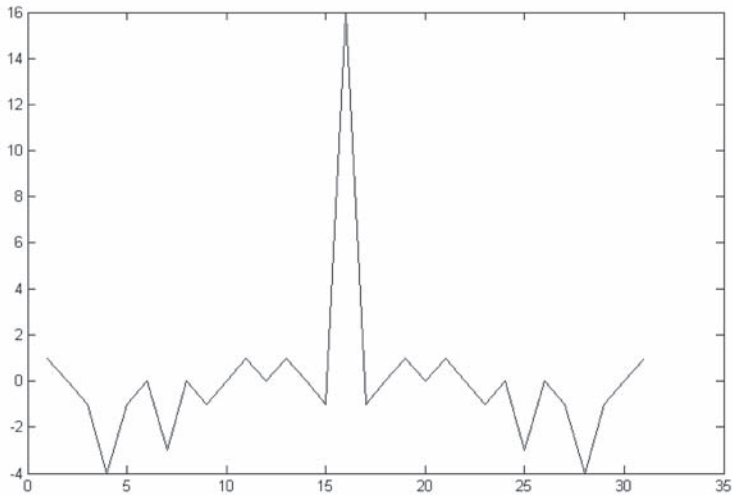


Рис. 7. АКФ для последовательности длиной *N* = 16 (случай *в*)

Также исследованы периодические АКФ найденных последовательностей и проанализирована их спектры. На рис. 8 приведен пример аperiodической нормированной АКФ последовательности с $N = 33$, а на рис. 9 — ее периодическая нормированная АКФ.

На рис. 10 и 11 представлены аperiodическая АКФ и амплитудный

спектр последовательности длиной $N = 77$ соответственно.

Спектр этой последовательности подобен спектру одиннадцатизначной последовательности, повторенному несколько раз.

Расчеты по приведенному алгоритму можно еще ускорить, если не переводить числа из десятичной в двоичную систему счисления, а работать

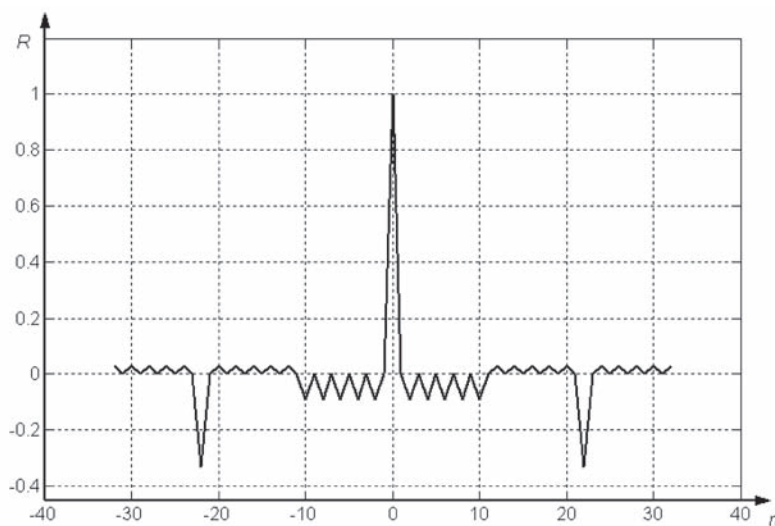


Рис. 8. Аperiodическая нормированная АКФ последовательности длиной $N = 33$

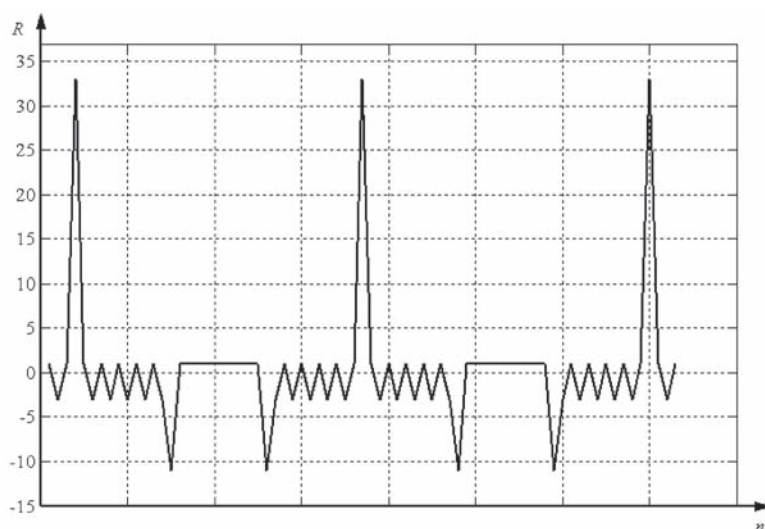


Рис. 9. Периодическая нормированная АКФ последовательности длиной $N = 33$

с двоичными числами и анализировать не все пики АКФ, а только от четных сдвигов и проводить анализ только половины длины вектора АКФ.

Для поиска сигналов с базами больше двухсот следует применять алгоритм, приведенный на рис. 12, причем синтез неравномерных последовательностей можно проводить следующими способами: асимптотическим, методом Хаффмена, методом

стационарной фазы и т.д. [6]. При этом накладываются ограничения на величину положительных боковых пиков; с учетом этого происходит уточнение синтезируемого сигнала.

В результате проведенных исследований разработан «быстрый» алгоритм поиска псевдослучайных кодовых последовательностей с квазиидеальной автокорреляционной функцией. Это позволило за разу-

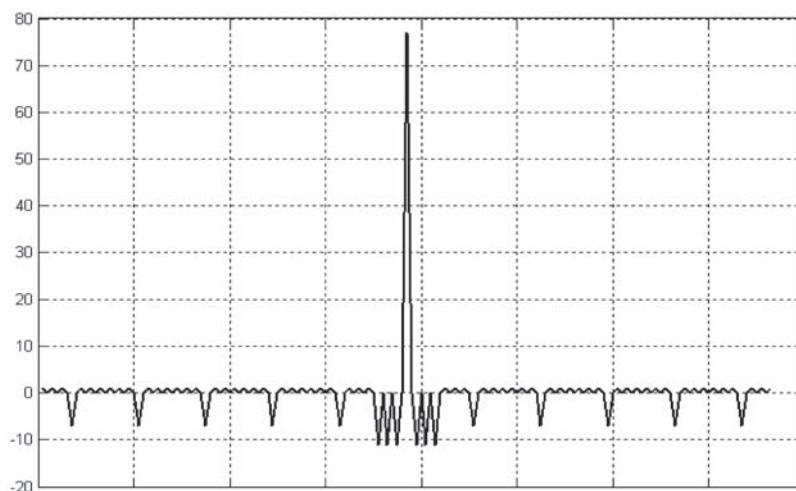


Рис. 10. АКФ последовательности длиной $N = 77$

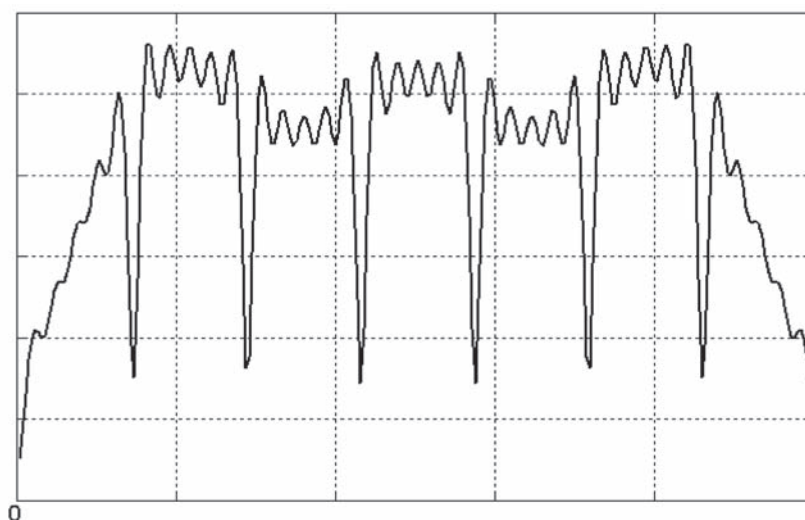


Рис. 11. Амплитудный спектр последовательности длиной $N = 77$

мное машинное время найти последовательности длиной N , равной 14, 21, 22, 33, 49, 77, 121, и превышением главного пика АКФ над положительными боковыми, равным N . Известные ранее последовательности длиной более тринадцати (например, m -последовательности) имеют превышение не более \sqrt{N} .

Применение в системах железнодорожной автоматики и телемеханики сигналов, сформированных в соответствии с найденными последовательностями, позволит существенно повысить помехоустойчивость и надежность этих систем. ■

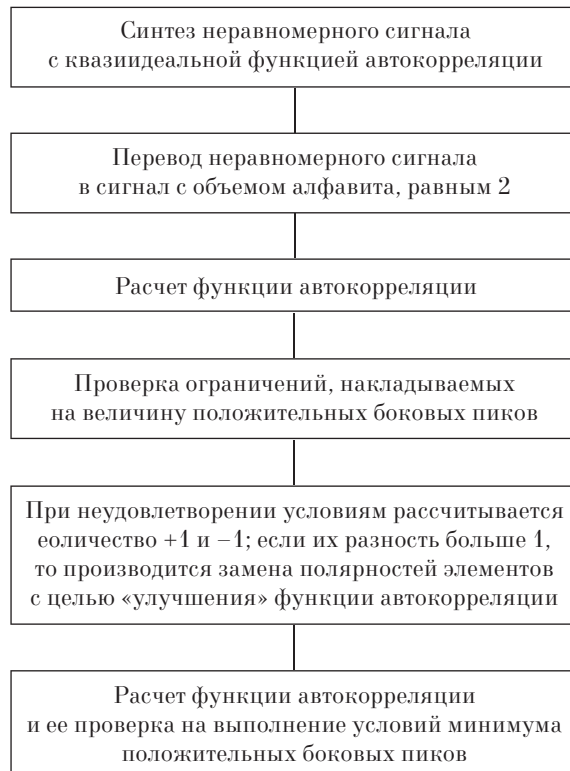


Рис. 12. Алгоритм поиска последовательностей с большой базой

Литература

1. Варакин Л. Е. Теория сложных сигналов. — М. : Советское радио, 1970. — 197 с.
2. Волинская А. В. Повышение надежности и помехоустойчивости информационных устройств систем железнодорожной автоматики и телемеханики // Транспорт Урала. — 2008. — № 1. — С. 45–48. ISSN 1815–9400.
3. Волинская А. В. Формирование канальных сигналов линейного модема для систем железнодорожной автоматики и телемеханики // Транспорт Урала. — 2008. — № 2. — С. 22–25.
4. Волинская А. В., Сергеев Б. С. Моделирование метода весового накопления сигнала для сетей передачи информации транспорта // Электроника и электрооборудование транспорта. — 2008. — № 3. — С. 2–6.
5. Кренгель Е. И. Двоичные последовательности длины $p(p+1)$ с нулевой зоной автокорреляции // Цифровая обработка сигналов и ее применение: Труды Российского НТОРЭС им. А. С. Попова. — М., 2002. — С. 233–235.
6. Мешковский К. А., Кириллов Н. Е. Кодирование в технике связи. — М. : Связь, 1966. — 83 с.

Статья сдана в редакцию 19. 10. 2009 г.

ЭЛЕКТРОСНАБЖЕНИЕ

А. В. Бунзя, А. В. Ефимов, А. Г. Галкин

О сокращении времени удаления гололеда с двойных контактных проводов импульсно-резонансным методом

При создании устройства удаления гололеда (УУГ) с двойных контактных проводов импульсно-резонансным методом (ИРМ) [1], обеспечивающим снижение времени, сокращение энергозатрат и предотвращение отжига контактных проводов при удалении гололеда, была разработана математическая модель взаимодействия контактных проводов при пропуске по ним силовых импульсов тока.

Математическая модель основана на методе конечных элементов: двойной контактный провод был разбит на конечные элементы — отрезки провода. Каждый из них представлен в виде элементарной массы, связанной с соседними массами невесомыми, абсолютно жесткими, шарнирно соединенными стержнями (рис. 1).

Поведение каждого элемента описывается уравнением, составленным по принципу Даламбера, с учетом силы Ампера, сил внутреннего и внешнего вязкого трения:

$$F_{Ai} - P_{инi} - P_{внi} - P_{внi} - \\ - K \frac{x_i - x_{(i-1)}}{l_i - l_{(i-1)}} + K \frac{x_{(i+1)} - x_i}{l_{(i+1)} - l_i} = 0,$$

где $P_{инi} = m_i(d^2x_i/dt^2)$;

$$P_{внi} = r_{вн}(-dx_i/dt);$$

$$P_{внi} = r_{вн}[(dx_i/dt - dx_{(i-1)}/dt) + \\ + (dx_i/dt - dx_{(i+1)}/dt)];$$

$$F_{Ai} = \frac{\mu_0}{2\pi} \frac{I^2(l_{i+1} - l_{i-1})}{2(x'_i - x_i)},$$

$\mu_0 = 4 \times 10^{-7}$ Гн/м — магнитная постоянная.

В приведенных соотношениях обозначено: m_i — масса i -го элемента контактного провода, кг; i — номер элемента; K — натяжение контактного провода, Н; x_i — координата i -го элемента контактного провода в поперечном направлении, м; l_i — коор-

Сведения об авторах: **Андрей Вадимович Бунзя**, канд. техн. наук, заведующий каф. «Электрические машины» Уральского государственного университета путей сообщения. ABunzia@em.usurt.ru.

Александр Васильевич Ефимов, канд. техн. наук, президент Уральского государственного университета путей сообщения, профессор кафедры «Электроснабжение транспорта». Тел.: 8-912-24-17-449.

Александр Геннадьевич Галкин, д-р техн. наук, ректор Уральского государственного университета путей сообщения, профессор кафедры «Электроснабжение транспорта». AGalkin@usurt.ru.

дината i -го элемента контактного провода в продольном направлении, м; $r_{\text{вн}}$ — коэффициент внешнего вязкого трения; $P_{\text{вн}i}$ — сила внешнего вязкого трения i -го элемента, Н; $r_{\text{вн}}$ — коэффициент внутреннего вязкого трения; $P_{\text{вн}i}$ — сила внутреннего вязкого трения i -го элемента, Н; $P_{\text{ин}i}$ — сила инерции i -го элемента, Н; I — сила тока контактного провода, А; $F_{\text{А}i}$ — сила Ампера i -го элемента, Н.

За начало отсчета в горизонтальном направлении, поперечном оси провода в спокойном состоянии, принято равновесное положение одного из проводов. При этом ось второго провода находится на расстоянии зазора δ .

Неупругость удара в математической модели учитывалась коэффициентом восстановления скорости, определенным экспериментальным путем.

Значение коэффициента для контактных проводов МФ-100 безо льда при скоростях до удара 0,2–1,3 м/с имеет значение, близкое к 0,7; с гололедом при толщине стенки льда 5 мм — 0,5.

Исследования процесса раскочки и соударений контактных проводов также проводились экспериментально, на действующей модели контактной подвески [2]. После создания математической модели динамического взаимодействия проводов и отладки программы расчетов для ЭВМ результаты расчетов сравнили с экспериментальными. Расхождение расчетных величин с экспериментальными по количеству колебаний до первого удара было менее 5 %, по частоте при соударениях — 1,7 %.

Это послужило основанием считать, что данная математическая

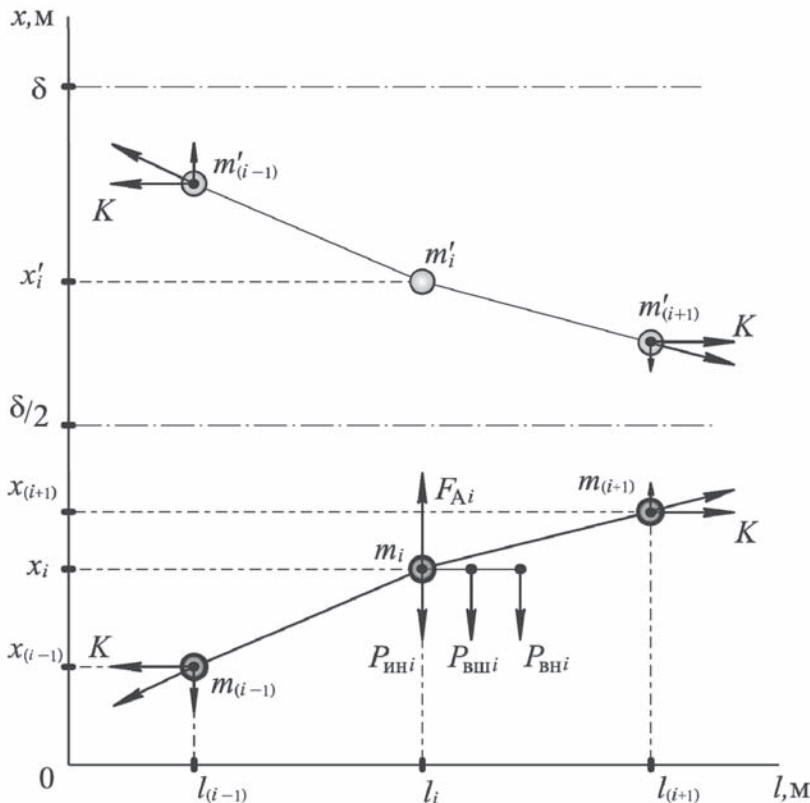


Рис. 1. Силы, действующие на элемент контактного провода

модель имеет приемлемую точность и может быть пригодна для описания процессов реальной контактной подвески.

Исследования с помощью вычислительных экспериментов показали, что при частоте импульсов тока, равной частоте свободных колебаний контактных проводов, соударения последних носят нестабильный характер. Данное утверждение подтверждено также и экспериментально [3]. После нескольких ударов соприкосновения проводов прекращаются и возобновляются снова спустя четыре-пять периодов, затем снова прекращаются и возобновляются в том же ритме.

В результате удара элемент контактного провода возвращается к положению равновесия быстрее, чем при свободных колебаниях, и выходит из ритма резонансной частоты. При этом в поле деформации контактных проводов накапливается дополнительная потенциальная энергия. Собственная частота колебательной системы возрастает, и для поддержания режима соударений необходимо увеличить частоту импульсов тока.

Реальный участок контактной сети содержит множество пролетов с различными параметрами и частота свободных колебаний в каждом из них разная. Если плавно изменять частоту импульсов тока в диапазоне, охватывающем с запасом частоты свободных колебаний всех пролетов, можно добиться раскачки и соударений контактных проводов в каждом пролете участка в некотором интервале времени.

В отдельно взятом пролете при плавном увеличении частоты импульсов тока контактные провода испытывают раскачку при приближении к частоте свободных колебаний, затем начинается режим соударений и выход из резонансной частоты.

Расчеты показывают, что при вхождении в режим соударений скорость при ударе составляет приблизительно третью часть от максимальной скорости удара за период соударений. Интервал времени с наибольшей силой ударов занимает около 30 % этого периода, после чего сила ударов резко падает, удары происходят через раз и режим соударений заканчивается.

Скорость, достаточная для возникновения в гололеде напряжений, приводящих к его разрушению, составляет 0,1 м/с. При этом толщина куска откалываемого льда лежит в пределах 4–6 мм. При наличии датчика гололеда включение УУГ целесообразно при толщине стенки льда не более 3 мм. Тогда для очистки контактных проводов от гололеда достаточно нескольких ударов. Для надежного удаления льда при расчетах было принято число необходимых ударов со скоростью, превышающей 0,1 м/с, равное 20.

Границы диапазона изменения частоты импульсов тока для участка контактной сети были определены следующим образом.

Петля двухпутного участка контактной сети от тяговой подстанции до поста секционирования длиной 10 км содержит около 300 пролетов различной длины (от 35 до 75 м). Минимальное значение частоты импульсов было рассчитано для пролета со следующими параметрами: длина — 75 м, тип провода — МФ-100 без износа, толщина стенки гололеда — 3 мм, зазор между осями проводов — 40 мм, натяжение — 7 кН. Значение частоты свободных колебаний составило 0,5 Гц, минимальное значение тока — 160 А. Для определения максимального значения частоты проведены аналогичные вычисления для пролета минимальной длины — 35 м, без гололеда и натяжении 10 кН. Ток для требуемого режима соударений составил 190 А, частота — 1,9 Гц; при

учете пролетов со средними анкеровками — 2,7 Гц. Для гарантированного удаления гололеда было принято максимальное значение частоты 3,0 Гц и величина тока контактного провода 200 А.

Проведенные вычислительные эксперименты показывают, что при возрастании частоты свободных колебаний требуется все более медленное изменение частоты импульсов для обеспечения неизменного количества ударов с заданной скоростью. Интенсивность увеличения частоты импульсов характеризуется коэффициентом изменения частоты K_f , показывающим, во сколько раз частота следующего периода превосходит предыдущий.

С использованием математического моделирования определены значения K_f для различных частот собственных колебаний, обеспечивающие 20 соударений со скоростью при ударе, большей 0,1 м/с (рис. 2). Для обеспечения режима соударений во всех пролетах при изменении частоты с постоянной скоростью K_f должен быть равен 1,004, соответствующий частоте 3 Гц.

Однако для охвата всего диапазона частот при этом потребуются значительное время работы УУГ.

На рис. 3 показана блок-схема алгоритма изменения частоты для снижения времени, энергетических и эксплуатационных затрат при удалении гололеда.

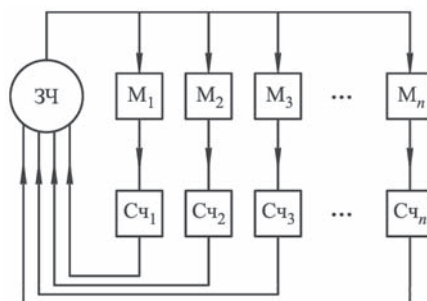


Рис. 3. Блок-схема алгоритма изменения частоты

Все пролеты петли подвески разделяются на группы. Пролеты одной группы имеют параметры, определяющие одну частоту свободных колебаний или близкие к ней частоты. Параметры группы пролетов с разными частотами заносятся в отдельные

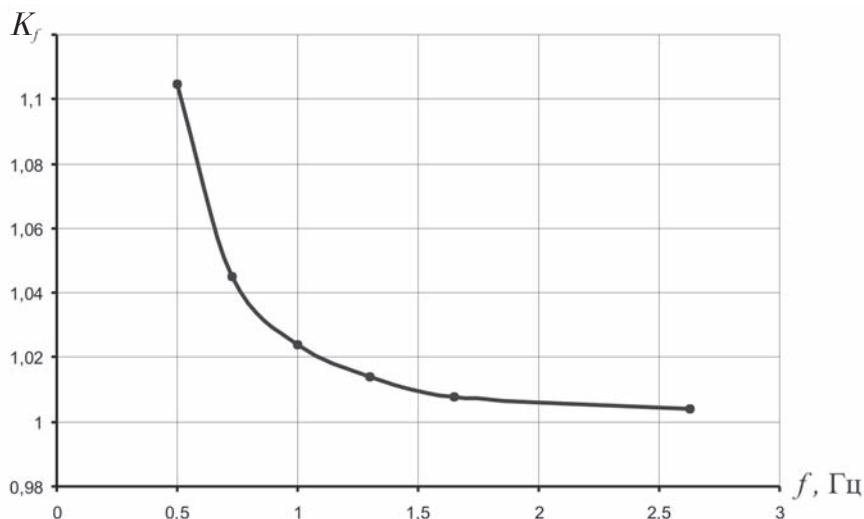


Рис. 2. Зависимость коэффициента изменения частоты импульсов от частоты свободных колебаний пролета

программные модули M_1-M_n , позволяющие производить математическое моделирование процесса раскачки и соударений контактных проводов.

Частота импульсов тока, формируемая задатчиком частоты ЗЧ, поступает параллельно на все модули M_1-M_n . Начальное значение частоты соответствует минимальной границе частоты для участка. Скорость изменения частоты импульсов определяется по зависимости K_f от f для частоты M_1 . При наступлении режима соударений счетчик ударов $S_{ч1}$ производит подсчет количества ударов

со скоростью, большей $0,1$ м/с, и подают сигнал ЗЧ на изменение частоты с другой скоростью, обеспечивающей заданный режим соударений для группы пролетов модуля M_2 и т. д.

Таким образом определяются границы изменений частоты для данного участка контактной сети. Полученный алгоритм изменения частоты, заносимый в память и исполняемый микроконтроллером УУГ ИРМ, позволит снизить время, энергетические и эксплуатационные затраты при удалении гололеда. ■

Литература

1. Способ удаления гололеда с проводов контактной сети и линий электропередачи: пат. 2166826 Рос. Федерации.
2. Ефимов А. В., Галкин А. Г., Бунзя А. В., Кондрышов М. В. Исследование способа удаления гололеда с двойных контактных проводов импульсно-резонансным методом на модели. Екатеринбург: УрГУПС, 2004. Деп. в ВИНТИ. — Екатеринбург, 03.08.2004, № 1347–В2004. 14 с.
3. Ефимов А. В., Галкин А. Г., Бунзя А. В. Разработка и испытание устройства удаления гололеда с двойных контактных проводов импульсно-резонансным методом // Транспорт Урала. — 2007. № 1 (12). С. 105–112. ISSN 1815–9400.

Статья сдана в редакцию 04. 12. 2009 г.

МЕХАНИКА МАШИН И РОБОТОВ

А. П. Буйносов

Влияние шероховатости посадочных поверхностей на надежность соединения «бандаж–обод» и ресурс колесных пар тягового подвижного состава

Одной из наиболее опасных неисправностей локомотива является ослабление посадки бандажа на ободе колесного центра с последующим его проворотом по поверхности обода, которая вызывает необходимость замены колесной пары, что приводит к длительному простое локомотива в неплановом ремонте, снижает коэффициент его использования и увеличивает эксплуатационные расходы.

В локомотивных депо на сети железных дорог Российской Федерации более 6 % всех эксплуатируемых бандажей выходит из строя вследствие ослабления посадки. Ослабление посадки бандажа свидетельствует о недостаточной прочности соединения с колесным центром и может быть вызвано неправильным выбором натяга, неудовлетворительным качеством металла и обработки сопрягаемых поверхностей (шероховатость, овальность, конусность) или возникновением экстремальных нагрузжений в эксплуатации [1].

Многолетний период совершенствования конструкции составных

колес характеризуется усилиями конструкторов получить гарантии прочности посадки бандажа на центре колеса. Болтовой, заклепочный, сварной и другие способы крепления бандажей оказываются неэффективными [2].

Для обеспечения плотного прилегания бандажа к центру колеса необходимо, чтобы сопрягаемые поверхности имели круговую цилиндрическую форму и установленную чистоту посадочных поверхностей. Овальность, конусность, волнистость и другие отклонения от круговой цилиндрической формы неблагоприятно сказываются на прочности посадки. Поэтому технологический процесс обработки этих деталей должен исключать возможность появления таких дефектов [2, 3].

Реальная поверхность деталей никогда не бывает абсолютно гладкой, всегда имеет микроскопические неровности, образующие шероховатость. Мерой шероховатости служит класс чистоты обработки поверхности. Инструкцией по формированию и содержанию колесных

пар установлена шероховатость посадочных поверхностей $R_z \leq 20$ мкм, что соответствует 5-му классу чистоты [4].

Одной из причин несоответствия шероховатости обработанных поверхностей техническим требованиям является отсутствие контроля шероховатости поверхностей бандажа и колесного центра.

Показатели работы бандажей электровозов на Свердловской железной дороге представлены в табл. 1.

Анализ отказов бандажей колесных пар в локомотивных депо Свердловской железной дороги показывает, что с увеличением наработки от формирования (начала эксплуатации) интенсивность отказов возрастает по мере уменьшения толщины бандажей (рис. 1 и 2).

Для подтверждения этого зависимости $\lambda(l)$ были аппроксимированы методом наименьших квадратов различными видами функций [5]. Минимальные значения остаточных дисперсий были получены в случае аппроксимации зависимостей линейными функциями вида

$$\lambda(l) = a(l+b), \quad (1)$$

где l — пробег до ослабления или проворота; λ — интенсивность отказов бандажей колесных пар.

Значения коэффициентов a , b и коэффициентов корреляции $r_{\lambda l}$ близки к единице. Это свидетельствует об адекватности линейной аппроксимации, о достаточно тесной связи интенсивности отказов (ослаблений и проворотов) с величиной пробега (табл. 2).

Таблица 1

Показатели безотказности бандажей колесных пар электровозов

Группа	Интервалы пробега, l , тыс. км	Число ослаблений, Δn	Интенсивность отказов $\lambda(l) \times 10^{-3}$, 1/тыс. км
А	0–300	0	0
	300–320	1	0,430
	320–340	0	0
	340–360	1	0,467
	360–380	2	0,943
	380–400	2	0,961
	400–420	3	1,470
	420–440	5	2,525
	440–460	7	3,763
Б	0–160	0	0
	160–180	1	0,163
	180–200	1	0,164
	200–220	2	0,329
	220–240	3	0,496
	240–260	5	0,836
	260–280	6	1,020
	280–300	9	1,562
	300–320	8	1,434
	320–340	11	2,029
	340–360	9	1,731
	360–380	13	2,589

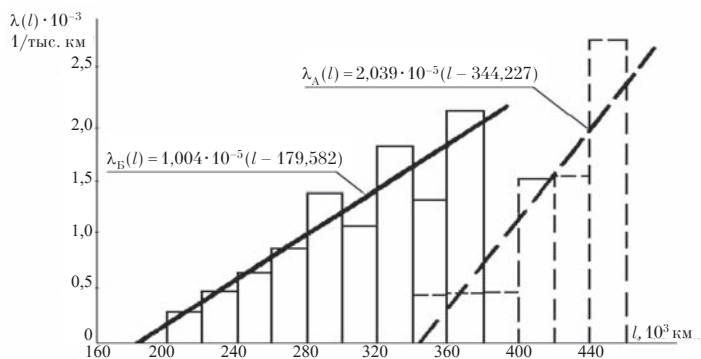


Рис. 2. Интенсивность проворотов бандажей колесных пар двух групп

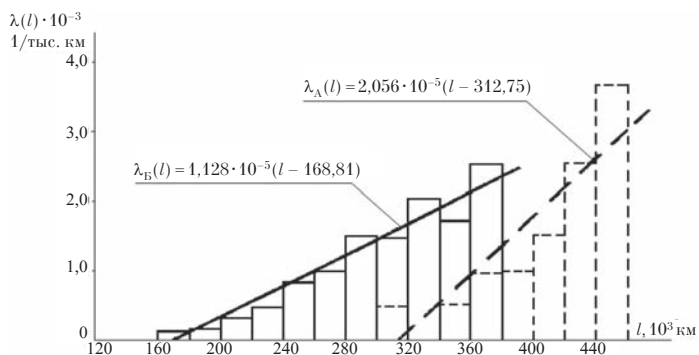


Рис. 1. Интенсивности отказов (ослаблений и проворотов) бандажей колесных пар двух групп

Таблица 2

Коэффициенты уравнений регрессий
интенсивности отказов и проворотов бандажей колесных пар

Контролируемый параметр	Группа	Коэффициенты уравнения регрессии		Коэффициент корреляции, $r_{\lambda l}$	Остаточная дисперсия, $S_0^2, 10^{-8}/\text{тыс. км}^2$
		$a, 10^{-5}/\text{тыс. км}$	$b, \text{ тыс. км}$		
Ослабления и провороты	А	2,056	-312,750	0,902	0,296
	Б	1,128	-168,811	0,969	4,197
Провороты	А	2,039	-344,227	0,916	0,116
	Б	1,004	-179,582	0,922	5,394

Из построенных диаграмм интенсивности отказов (см. рис. 1 и 2) для двух групп бандажей видно, что $\lambda_A(l)$ бандажей, обработка которых соответствует 5-му классу чистоты, лежит в области больших пробегов, чем $\lambda_B(l)$ бандажей с 3-м или 4-м классом

чистоты обработки поверхностей. Это позволяет сделать предположение о преимуществе использования разработанного прибора.
Вероятность безотказной работы бандажей в каждой из групп для наработки до l , то есть вероятность того,

что при наработке не произойдет внезапного отказа по причине его ослабления или проворота, определяется выражением:

$$p(l) = \exp \left[- \int_0^l \lambda(l) dl \right], \quad (2)$$

причем предел интегрирования для бандажей группы А — l_A , а для группы Б — l_B . Функции распределения наработки до внезапного отказа бандажей колесных пар были определены из соотношения (3) (рис. 3 и 4):

$$F(l) = 1 - P(l). \quad (3)$$

Поскольку к моменту окончания наблюдения отказали не все бандажи колесных пар, эмпирические функции распределения определе-

ны не полностью. Поэтому для проведения их сравнительного анализа использован критерий Колмогорова–Смирнова, обобщенный на случай, когда границами изменения сравниваемых функций распределения является неравенство [5]:

$$0 \leq Q_1 < \hat{F}(l) \leq Q_2 < 1. \quad (4)$$

Для проверки однородности выборок наработок до отказа бандажей выдвигается гипотеза $H_0^{(2)}$ о том, что соответствующие функции распределения равны между собой: $\hat{F}_A(l) = \hat{F}_B(l)$. Проверка гипотез осуществляется в такой последовательности. Строится график отклонений

$$|\hat{F}_A(l) - \hat{F}_B(l)| = |\Delta \hat{F}(l)|$$

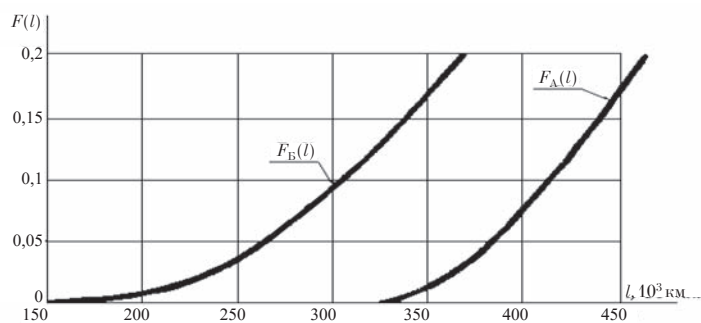


Рис. 3. Функции распределения наработок до отказа бандажей колесных пар двух групп

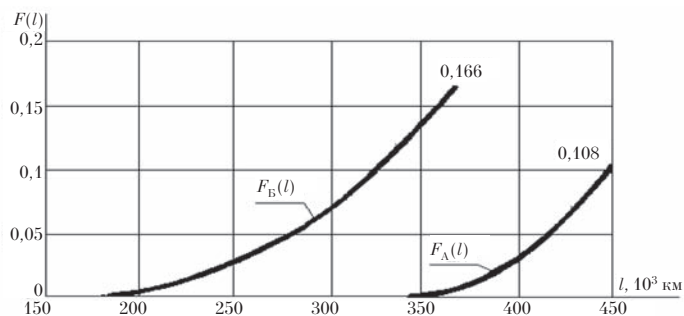


Рис. 4. Функции распределения наработок до проворота бандажей колесных пар двух групп

сравниваемых эмпирических функций распределения, так как постоянно изменяются объемы выборок, находящихся под наблюдением бандажей $N_A(l)$ и $N_B(l)$. Если график $(\Delta F(l))$ хотя бы один раз выходит за критическую область, ограниченную графиком $\lambda[N_A(l)N_B(l)/(N_A(l)+N_B(l))]^{-0.5}$, то гипотеза $H_0^{(2)}$ о равенстве функций распределения однородности соответствующих выборок при уровне значимости $\alpha = 0,05$ отвергается. Величина λ определяется решением уравнения [6]:

$$\alpha = 1 - (Q_1; Q_2; \lambda). \quad (5)$$

В результате сравнительного анализа установлено, что при $\lambda = 0,91$ полученные функции распределения наработки до отказа бандажей колесных пар существенно отличаются друг от друга, причем $F(l)$ бандажей группы А лежит правее, а способы оценки определения класса чистоты посадочных поверхностей «бандаж-обод» колесных пар существенно отличаются один от другого.

Для прогнозирования процесса изнашивания бандажей колесных пар электровозов ВЛ11 трех депо Свердловской железной дороги объединяем выборки в одну ($\Sigma n = 734$), тогда для $m_H(L)$: $H = 0,0618 \times L + 96,915$ с коэффициентом корреляции $r_{HL} = -0,928$ и остаточной дис-

персией $S_0^2 = 2,156$ мм, а для $\sigma_H(L)$: $\sigma_H = -0,013 \times L + 1,131$. Этой регрессии соответствует остаточная дисперсия $S_0^2 = 0,022$ мм² и коэффициент корреляции $r_{HL} = -0,834$.

На основании зависимостей $m_H(L)$ и $\sigma_H(L)$ становится возможным рассчитать функцию распределения наработки до постепенного отказа для бандажей колесных пар при эксплуатации на электровозах ВЛ11, приписанных к локомотивным депо Смычка, Чусовская и Пермь-сортировочная Свердловской железной дороги (рис. 5).

Вероятность безотказной работы бандажей колесных пар будет определяться соотношением:

$$P_{\Sigma}(l) = P_1(l)P_2(l), \quad (6)$$

где $P_2(l)$ — вероятность того, что до наработки l не произойдет внезапный отказ бандажа, определяемая выражением (2); $P_1(l)$ — вероятность того, что при наработке не возникнет постепенного отказа бандажа, $P_1(l) = 1 - F_1(l)$:

$$P_1(l) = \frac{1}{\sigma_H(l)\sqrt{2\pi}} \int_{m_H(l)}^{H_{доп.}} \times \exp\left\{-\frac{[H - m_H(l)]^2}{2\sigma_H^2(l)}\right\} dH. \quad (7)$$

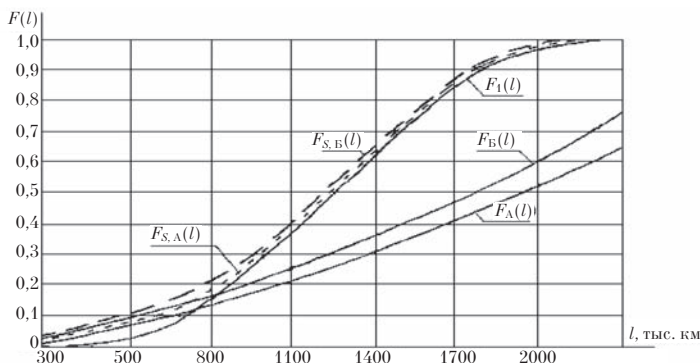


Рис. 5. Функции распределения наработок на отказ бандажей групп А и Б

Тогда функция распределения ресурса бандажей:

$$F_{\Sigma}(l) = 1 - P_{\Sigma}(l). \quad (8)$$

По известной функции распределения ресурса бандажей определяется плотность распределения как ее первая производная:

$$f_{\Sigma}(l) = F'_{\Sigma}(l). \quad (9)$$

Статистическая оценка плотности распределения выражается отношением

$$f^*(l) = \frac{F_{\Sigma}(l_{i+1}) - F_{\Sigma}(l_i)}{\Delta l}. \quad (10)$$

В качестве целевой функции при определении оптимального пробега L до смены бандажей группы А и Б выбраны удельные затраты на проведение плановых и неплановых ремонтов [3]:

$$q(L) = \frac{C_H}{L} \int_0^L \omega_{\Sigma}(l) dl + \frac{C_n}{L}, \quad (11)$$

где $\omega_{\Sigma}(l)$ — функция суммарного потока отказов, обусловленная износом и повреждением колесных пар; C_H и C_n — затраты на плановые и неплановые смены бандажей соответственно.

Суммарный параметр потока отказов бандажей колесных пар определяется решением интегрального уравнения Вольтера 2-го рода [7]:

$$\omega_{\Sigma}(l) = f(l) + \int_0^l w(\tau) f(l-\tau) d\tau. \quad (12)$$

Это уравнение не всегда удастся решить аналитически. Если существуют преобразования Лапласа $\omega(S)$ и $f(S)$, то в операторной форме параметр потока отказов и функция плотности распределения наработки на отказ выражается следующим образом (13) и (14):

$$\omega_s = \frac{f(S)}{1-f(S)}; \quad f(S) = \frac{\omega(S)}{1+\omega(S)}; \quad (13)$$

$$\omega(S) = \int_0^{\infty} e^{-Sl} \omega(l) dl;$$

$$f(S) = \int_0^{\infty} e^{-Sl} f(l) dl. \quad (14)$$

Уравнение (13) целесообразно интегрировать численными методами с использованием ПЭВМ. При этом как до, так и после выполнения расчетов функции $\omega(l)$ и $f(l)$ оказываются заданными в виде дискретного ряда ω_i и f_i ($i = 1, \dots, n$).

Введем обозначения для интегральной функции (15):

$$F(l, \lambda) = \omega(\lambda) f(l - \lambda). \quad (15)$$

В дискретной форме после замены переменной l на n , а λ на i выражение (15) записывается в виде (16)

$$F(n, i) = \omega(i) f(n - i). \quad (16)$$

При $n = 0$ из уравнения (12) получаем $\omega_0 = f_0$. Если $n = 1$, то, применяя численный метод интегрирования трапеций [8], получим (17)

$$\int_0^l \omega(\lambda) f(l-\lambda) d\lambda = h(\omega_0 f_1 + \omega_1 f_0)/2, \quad (17)$$

где h — шаг интегрирования.

Тогда решение уравнения (12) записывается в виде (18)

$$\omega_1 = f_1 + h(\omega_0 f_1 + \omega_1 f_0)/2. \quad (18)$$

В общем случае, для произвольного значения n , имеем (19):

$$\begin{aligned} \int_0^l \omega(l) f(l-\lambda) d\lambda = \\ = h \left[\begin{aligned} &(\omega_0 f_n + \omega_1 f_{n-1}) + \dots \\ &\dots + (\omega_{n-1} f_1 + \omega_n f_0) \end{aligned} \right] / 2. \quad (19) \end{aligned}$$

Из выражения (19) получаем (20):

$$\omega_n = f_n + h(\omega_0 f_n + 2\omega_1 f_{n-1} + 2\omega_2 f_{n-2} + \dots + 2\omega_{n-1} f + \omega_n f_0) / 2, \quad (20)$$

или

$$\omega_n = f_n + h(\omega_0 f_n + 2\sum_{i=1}^{n-1} \omega_i f_{n-i} + \omega_n f_0) / 2. \quad (21)$$

Таким образом, имеем следующую систему уравнений:

$$\begin{cases} \omega_0 = f_0; \\ \omega_1 = f_1 + h(\omega_0 f_1 + \omega_1 f_0) / 2; \\ \omega_2 = f_2 + h(\omega_0 f_2 + 2\omega_1 f_1 + \omega_2 f_0) / 2; \\ \dots \\ \omega_n = f_n + h(\omega_0 f_n + 2\sum_{i=1}^{n-1} \omega_i f_{n-i} + \omega_n f_0) / 2. \end{cases} \quad (22)$$

Система уравнений (22) позволяет по известному дискретному ряду значений плотности распределения наработок на отказ f_i найти ряд значений параметра потока отказов ω_i :

$$\begin{cases} \omega_0 = f_0; \\ \omega_1 = f_1 + h\omega_0 f_1 / (1 - hf_0) / 2; \\ \omega_2 = (f_2 + h(\omega_0 f_2 + 2\omega_1 f_1) / 2) / (1 - hf_0) / 2; \\ \dots \\ \omega_n = (f_n + h(\omega_0 f_n + 2\sum_{j=1}^{n-1} \omega_j f_{n-j}) / 2) / (1 - hf_0) / 2. \end{cases} \quad (23)$$

Так как известен ряд параметра потока отказов w_i , то по системе уравнений (22) можно осуществить обратное решение интегрального уравнения (12) и определить ряд значений плотности распределения f_i наработок на отказ:

$$\begin{cases} f_0 = \omega_0; \\ f_1 = (\omega_1 - h\omega_1 f_0 / 2) / (1 + h\omega_0 / 2); \\ f_2 = (\omega_2 - h(2\omega_1 f_1 + \omega_2 f_0) / 2) / (1 + h\omega_0 / 2); \\ \dots \\ f_n = (\omega_n (1 - hf_0 / 2) - h\sum_{i=1}^{n-1} \omega_i f_{n-i}) / (1 + h\omega_0 / 2). \end{cases} \quad (24)$$

Применение метода конечных разностей при расчете параметра потока отказов предпочтительней, особенно для случаев, когда вид закона распределения наработки на отказ априори неизвестен и определить его невозможно.

Алгоритм решения интегрального уравнения (12) численным методом представлен на рис. 6.

Оптимальный пробег до смены бандажей колесной пары зависит от соотношения затрат на проведение плановых C_{Π} и неплановых $C_{\text{Н}}$ ремонтов. Следовательно, определение затрат на ремонт бандажей является важным вопросом при решении задачи оптимизации межремонтных пробегов.

Затраты на плановый ремонт C_{Π} включают в себя затраты на материалы C_1 , затраты на оплату труда C_2 и потери от простоя локомотива C_3 :

$$C_{\Pi} = C_1 + C_2 + C_3. \quad (25)$$

Затраты на неплановый ремонт $C_{\text{Н}}$, помимо указанных величин C_1 , C_2 , C_3 включают также потери C_4 , вызванные отказом локомотива в пути следования определяются по:

$$C_{\text{Н}} = C_1 + C_2 + C_3 + C_4. \quad (26)$$

Таким образом $C_{\text{Н}} \geq C_{\Pi}$, причем $C_{\text{Н}} = C_{\Pi}$ только для тех элементов, отказы которых не вызывают задержек локомотивов в пути следования.

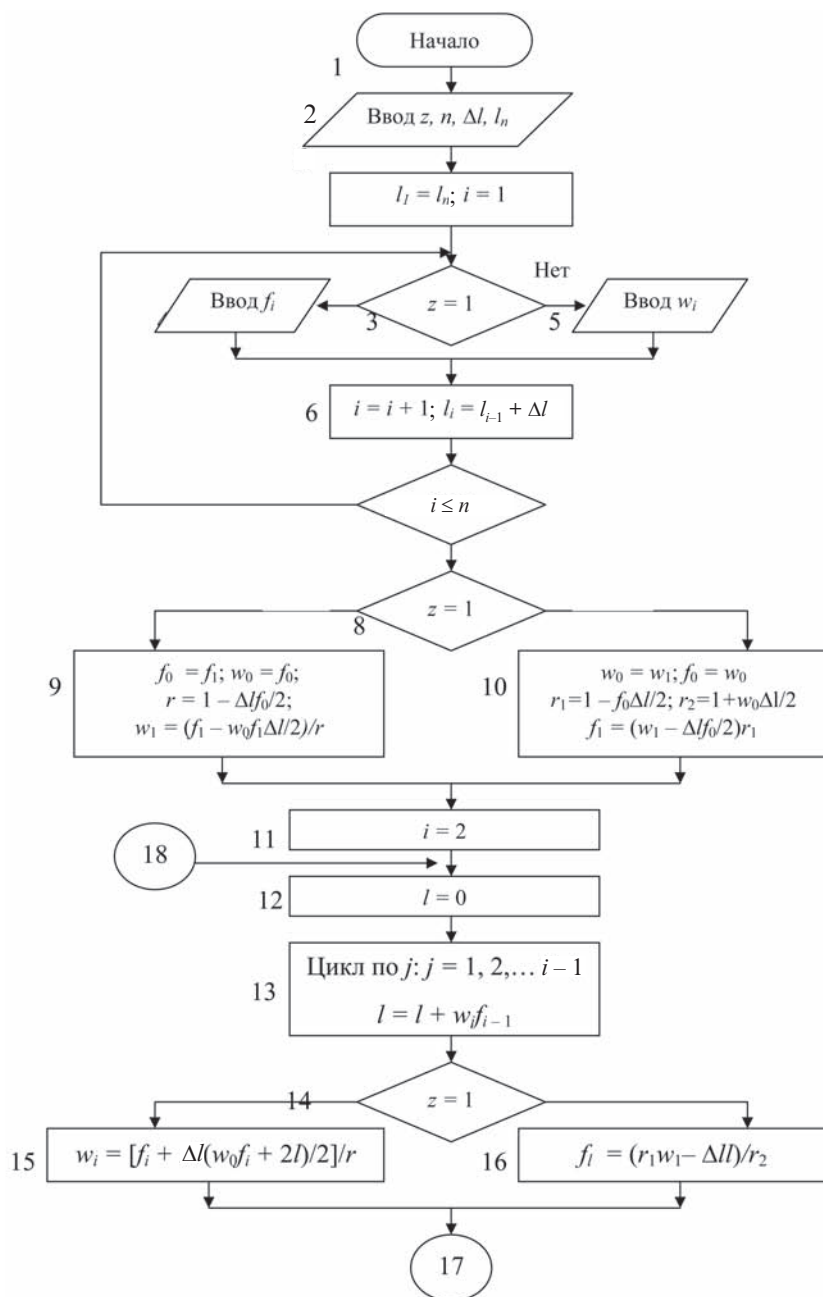
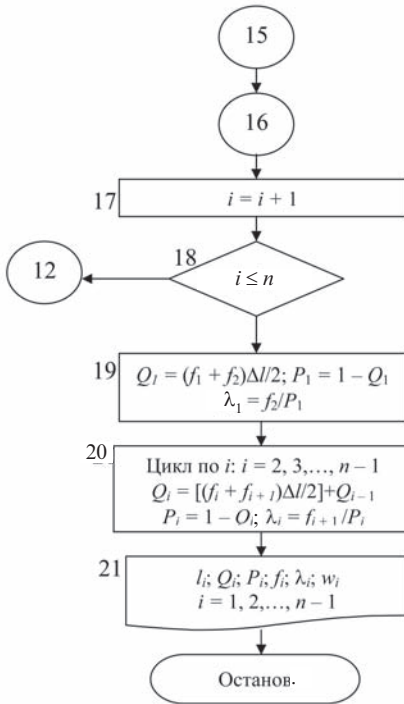


Рис. 6. Алгоритм программы решения интегрального уравнения



Окончание рис. 6.

В настоящее время нет методики оценки стоимости задержки поезда на перегоне либо, если она есть, то не в полной мере отражает весь ущерб народного хозяйства от отказа. Поэтому хотя в локомотивных депо и имеется информация о времени задержек локомотивов на перегонах после отказа, не представляется возможным достоверно оценить составляющую C_4 затрат на неплановые ремонты оборудования локомотивов, вследствие чего невозможно рассчитать абсолютную величину средних суммарных затрат.

Используя относительные величины C_H и C_{II} , можно определить пробег между плановыми ремонтами L_0 , которому соответствует минимальное значение средних суммарных удельных затрат $q(L_0)$, то есть оптималь-

ный пробег до смены бандажей колесных пар.

Обозначим отношение затрат на плановые и неплановые ремонты через K :

$$K = \frac{C_H}{C_{II}}. \quad (27)$$

Так как $C_H \geq C_{II}$, то $K \geq 1$.

Выразим C_H через K и C_{II} и подставим в (12), получим (28):

$$q(L) = C_{II} (K \int_0^L \omega(\lambda) d\lambda + 1) / L. \quad (28)$$

По физическому смыслу величина, стоящая в числителе дроби (28), является суммарными затратами на проведение неплановых и плановых ремонтов, поэтому выражение в скобках представляет собой суммарное приведенное число ремонтов, то есть величина $K \int_0^L \omega(\lambda) d\lambda$ приводит суммарное число неплановых ремонтов $\int_0^L \omega(\lambda) d\lambda$ к эквивалентному по стоимости числу плановых ремонтов.

Суммарное удельное приведенное число ремонтов определяется с помощью

$$S(L) = (K \int_0^L \omega(\lambda) d\lambda + 1) / L. \quad (29)$$

Так как C_{II} является величиной постоянной в одних и тех же условиях, то экстремумы функций $q(L)$ и $S(L)$ будут соответствовать одному и тому же значению L_0 . Зависимость от наработки суммарного удельного приведенного числа ремонтов бандажей колесных пар двух групп при различных соотношениях затрат на выполнение плановых и неплановых ремонтов ($K = 1, 2, 3$) приведена на рис. 7.

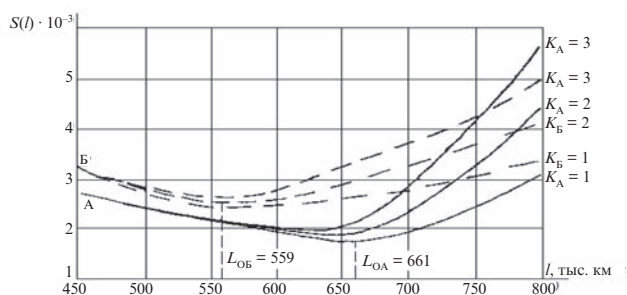


Рис. 7. Диаграммы определения пробега до смены бандажей колесных пар

При $K = 1$ имеет минимальное значение затрат, которому соответствует оптимальный пробег до смены бандажей колесных пар группы А — 661 тыс. км, а группы В — 559 тыс. км. Увеличение K приводит к существенному уменьшению L_0 . Так, при $K = 3$ бандажи колесных пар группы А имеют $L_{0A} = 638$ тыс. км, а группы В — $L_{0B} = 537$ тыс. км.

Можно сделать вывод, что оптимальный пробег до смены бандажей группы В составляет 559 тыс. км, а для группы А — 661 тыс. км, тогда как оптимальный пробег до замены бандажа по предельному износу составляет 683 тыс. км. Следовательно, оценка шероховатости посадочных поверхностей с помощью предлага-

емого прибора позволяет увеличить пробег до смены бандажей на 19 %, что практически соответствует оптимальному ресурсу по предельному износу бандажей колесных пар электровозов ВЛ11 локомотивных депо Смычка, Чусовская и Пермь-сортировочный Свердловской железной дороги.

Общий вывод состоит в том, что оценка шероховатости посадочных поверхностей с помощью предлагаемого способа дает более точные и объективные результаты, что позволяет существенно повысить надежность и ресурс бандажей колесных пар, уменьшить количество случаев ослабления, а также сократить эксплуатационные расходы. ■

Литература

1. Исаев И. П., Горский А. В., Воробьев А. А., Буйносов А. П. Влияние шероховатости посадочных поверхностей на надежность сочленения «бандаж-обод» // Вестник ВНИИЖТ. 1991. № 1. С. 27–29.
2. Хусу А. П., Витенберг Ю. Р., Пальмов В. А. Шероховатость поверхностей (теоретико-вероятностный подход). М. : Наука, 1975. 344 с.
3. Буйносов А. П. Повышение ресурса бандажей колесных пар электровозов в условиях эксплуатации: Дисс ... канд. техн. наук: 05. 22. 07. Защ. 04.12.1992; Утв. 05.06.1993. М., 1992. 336 с.
4. Инструкция по формированию, ремонту и содержанию колесных пар тягового подвижного состава железных дорог колеи 1520 мм: ЦТ/329. М. : Транспорт, 1995. 121 с.
5. Шторм Р. Теория вероятностей. Математическая статистика. Статистический контроль качества. М. : Мир, 1970. 368 с.
6. Закс Л. Статистическое оценивание. М. : Статистика, 1976. 599 с.
7. Кендалл М., Стьюарт А. Многомерный статистический анализ и временные ряды. М. : Наука, 1976. 736 с.
8. Шор Я. Б. Прикладные вопросы теории надежности. М. : Знание, 1966. 384 с.

Статья сдана в редакцию 12. 12. 2009 г.

МАТЕМАТИЧЕСКИЕ МОДЕЛИ ТЕХНОЛОГИЧЕСКИХ ПРОЦЕССОВ

С. А. Румянцев, Г. В. Васильева, О. Н. Алексеева

Численное моделирование динамики двухмассных вибротранспортирующих машин с расположением вибровозбудителей на нижней массе

(Исследования поддержаны грантом РФФИ № 08-08-00127 а)

В настоящее время на железнодорожном транспорте нашли широкое применение вибротранспортирующие машины (ВТМ). Они используются при строительстве железнодорожного полотна для транспортировки и разделения фракций сыпучих материалов, в частности щебня и песка, а также на перегрузочных пунктах железнодорожных станций. Кроме того, ВТМ используются на обогатительных фабриках, в металлургической и горной промышленности. Такое широкое применение обусловлено наличием ряда достоинств: высокой производительностью, малой энергоемкостью про-

цессов транспортировки и разделения фракций (грохочения), простой конструкции и высокой эксплуатационной готовностью [1].

В последние десятилетия широкое применение нашли вибрационные машины с самосинхронизирующимся виброприводом. Необходимая для нормального функционирования машины синхронность вращения вибровозбудителей (ВВ) обеспечивается в этом типе машин за счет использования известного явления самосинхронизации независимо вращающихся ВВ [2–4].

В настоящее время за рубежом развивается, а в России планируется

Сведения об авторах: **Сергей Алексеевич Румянцев**, д-р техн. наук, профессор, зав. кафедрой «Механика деформируемого твердого тела, основания и фундаменты» (Уральский государственный университет путей сообщения). Тел.: (343) 358–55–24.

Галина Викторовна Васильева, канд. техн. наук, доцент кафедры «Мехатроника» (Уральский государственный университет путей сообщения).

Ольга Николаевна Алексеева, студент-стажер кафедры «Механика деформируемого твердого тела, основания и фундаменты» (Уральский государственный университет путей сообщения).

производство двухмассных вибротранспортирующих машин (ДВТМ), которые, в отличие от одномассных, кроме рабочего органа имеют и демпфирующее тело, что позволяет значительно уменьшить нагрузку на фундамент.

В связи с этим представляет особый интерес исследование динамики этих машин и переходных динамических процессов, связанных с пуском машины из состояния покоя, прохождением резонанса и ударными нагрузками.

Конструктивно ДВТМ представляет собой два твердых тела: рабочий орган машины (РО) и демпфирующее тело (ДТ), которые с помощью пружин скреплены между собой и неподвижным фундаментом, что позволяет телам совершать плоскопараллельное движение [1–7]. Движение рабочего органа машины возбуждается вибровозбудителями или вибраторами дебалансного типа. Вибровозбудители могут приводить в движение не только рабочий орган (верхнее тело) машины

(первый тип машины), но и ее демпфирующее (нижнее) тело (машины второго типа). Рассматриваемая далее ДВТМ второго типа может работать не только в зарезонансной области, но и может также являться резонансной колебательной системой, что позволит значительно расширить область ее применения.

На рис. 1 приведена расчетная схема двухмассной ВТМ второго типа (ДВТМ-2) в случае n дебалансных вибровозбудителей (на рис. 1 показан только один, обозначенный индексом i). Движение рассматривается в абсолютной системе координат Oxy , связанной с фундаментом машины. Ось Oy вертикальна (параллельна силе тяжести), ось Ox горизонтальна.

В работе [8] получена система дифференциальных уравнений движения двухмассной вибротранспортирующей машины с вибровозбудителями на нижней массе:

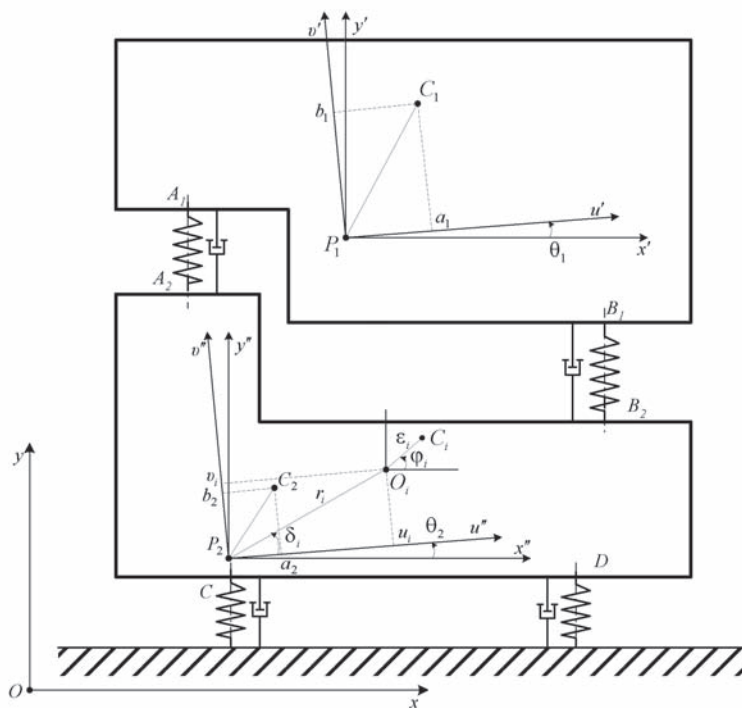


Рис. 1. Расчетная схема двухмассной ВТМ с вибровозбудителями на нижней массе

$$\begin{aligned}
 \ddot{y}_1 &= \frac{1}{M_1} \begin{bmatrix} -c_{11y}(y_1 - y_2) + c_{11y\theta}\theta_1 - \\ -c_{12y\theta}\theta_2 - k_{11y}(\dot{y}_1 - \dot{y}_2) + \\ + k_{11y\theta}\dot{\theta}_1 - k_{12y\theta}\dot{\theta}_2 - F_{yд} \end{bmatrix}; \quad \ddot{\theta}_1 = \frac{1}{J_1} \begin{bmatrix} -c_{11x\theta}(x_1 - x_2) - c_{11y\theta}(y_2 - y_1) - c_{11\theta}\theta_1 + \\ + c_{12\theta}\theta_2 - k_{11x\theta}(\dot{x}_1 - \dot{x}_2) - k_{11y\theta}(\dot{y}_2 - \dot{y}_1) - \\ - k_{11\theta}\dot{\theta}_1 + k_{12\theta}\dot{\theta}_2 + F_{yд}l_{yд} \end{bmatrix}; \\
 \ddot{x}_1 &= \frac{1}{M_1} \begin{bmatrix} -c_{11x}(x_1 - x_2) - c_{11x\theta}\theta_1 + \\ + c_{12x\theta}\theta_2 - k_{11x}(\dot{x}_1 - \dot{x}_2) - \\ - k_{11x\theta}\dot{\theta}_1 + k_{12x\theta}\dot{\theta}_2 \end{bmatrix}; \quad \ddot{x}_2 = \frac{1}{M_2} \begin{bmatrix} \sum m_i \varepsilon_i (\ddot{\phi}_i \sin \phi_i + \dot{\phi}_i^2 \cos \phi_i) - \\ - c_{22x}x_2 + c_{11x}x_1 + c_{11x\theta}\theta_1 - c_{22x\theta}\theta_2 - \\ - k_{22x}\dot{x}_2 + k_{11x}\dot{x}_1 + k_{11x\theta}\dot{\theta}_1 - k_{22x\theta}\dot{\theta}_2 \end{bmatrix}; \quad (1) \\
 \ddot{y}_2 &= \frac{1}{M_2} \begin{bmatrix} \sum m_i \varepsilon_i (\ddot{\phi}_i^2 \sin \phi_i - \dot{\phi}_i \cos \phi_i) - \\ - c_{22y}y_2 + c_{11y}y_1 - c_{11y\theta}\theta_1 + c_{22y\theta}\theta_2 - \\ - k_{22y}\dot{y}_2 + k_{11y}\dot{y}_1 - k_{11y\theta}\dot{\theta}_1 + k_{22y\theta}\dot{\theta}_2 \end{bmatrix}; \quad \ddot{\theta}_2 = \frac{1}{J_2} \begin{bmatrix} \sum m_i \varepsilon_i r_i (\dot{\phi}_i^2 \sin(\phi_i - \alpha_i) - \\ - \ddot{\phi}_i \cos(\phi_i - \alpha_i)) - c_{22x}x_2 + c_{12x\theta}x_1 + \\ + c_{22y\theta}y_2 - c_{12y\theta}y_1 + c_{12\theta}\theta_1 - c_{22\theta}\theta_2 - \\ - k_{22x\theta}\dot{x}_2 + k_{12x\theta}\dot{x}_1 + k_{22y\theta}\dot{y}_2 - \\ - k_{12y\theta}\dot{y}_1 + k_{12\theta}\dot{\theta}_1 - k_{22\theta}\dot{\theta}_2 \end{bmatrix}; \\
 \ddot{\phi}_i &= \frac{1}{J_i} m_i \varepsilon_i \begin{bmatrix} \ddot{x}_2 \sin \phi_i - \ddot{y}_2 \cos \phi_i - \\ g \cos \phi_i - \ddot{\theta}_2 r_i \cos(\phi_i - \alpha_i) - \\ \ddot{\theta}_2^2 r_i \sin(\phi_i - \alpha_i) \end{bmatrix} + \frac{I_i}{J_i} [L_i(\dot{\phi}_i) - R_i(\dot{\phi}_i, \phi_i)], (i = 1 \dots n).
 \end{aligned}$$

Здесь использованы следующие обозначения:

$$\begin{aligned}
 M_2 &= M_2^* + \sum_{i=1}^n m_i; \\
 J_1 &= M_1(a_1^2 + b_1^2) + J_{C1}; \\
 J_2 &= M_2^*(a_2^2 + b_2^2) + J_{C2} + \sum m_i r_i^2; \\
 J_i^* &= J_{Ci} + \sum_{i=1}^n m_i \varepsilon_i^2, \quad (2)
 \end{aligned}$$

где M_1 — масса основного тела ДВТМ; M_2^* — масса вспомогательного тела; J_{C1} , J_{C2} — их моменты инерции относительно осей, проходящих через центры масс каждого из тел, перпендикулярно плоскости Oxy ; m_i и J_{Ci} — масса i -го дебаланса и центральный момент инерции его ротора соответственно; $\alpha_i = \delta_i + \theta_2$; n — количество дебалансных вибро-возбудителей, где $l_{yд} = x_{C1} - x_{yд}$ — плечо силы $F_{yд}$ относительно центра масс; c — коэффициенты упругости пружин; k — коэффициенты вязкости. Величина I_i , входящая в выражение (1), является индексом направления вращения и принимает значение (+1), если вращение i -го двигателя происходит в положительном направлении (против хода часовой стрелки), и значение

(-1), если вращение происходит в обратном направлении. Вращательный момент $L_i(\dot{\phi}_i)$ и момент сил сопротивления $R_i(\dot{\phi}_i)$ считаются функциями угловой скорости;

x_1 и x_2 — горизонтальные колебания центра масс РО и ДТ;

y_1 и y_2 — вертикальные колебания центра масс РО и ДТ;

θ_1 и θ_2 — углы поворота РО и ДТ по отношению к неподвижной оси Ox ;

ϕ_i — углы поворота центров масс дебалансов по отношению к неподвижной оси Ox . Все углы отсчитываются против хода часовой стрелки.

Математическая модель динамики двухмассной ВТМ второго типа (ДВТМ-2) реализована в виде программного комплекса, являющегося модификацией уже существующих моделей для одномассной ВТМ и двухмассной ВТМ первого типа (ДВТМ-1) [5–8]. Этот комплекс позволяет варьировать геометрические и физические параметры моделируемой ДВТМ-2, численно решать полученную систему дифференциальных уравнений, а полученные решения представлять в виде графиков

зависимости обобщенных координат от времени.

Рассмотрим результаты численного моделирования пусковой динамики ДВТМ-2 с двумя ВВ на нижней массе. В качестве начальных значений обобщенных координат были взяты следующие:

$$\varphi_1 = -\frac{\pi}{2}; \varphi_2 = \frac{3\pi}{2},$$

что соответствует нижнему положению дебалансов в состоянии покоя; значения остальных обобщенных координат — нулевые.

На рис. 2 показаны графики изменения обобщенных координат машины в течение первых двадцати секунд после пуска. Графики демонстрируют динамику выхода машины на син-

хронный режим движения. Цветные линии соответствуют следующим обобщенным координатам системы: зеленая — горизонтальные колебания центра масс РО и ДТ (x_1 и x_2); красная — вертикальные колебания центра масс РО и ДТ (y_1 и y_2); синяя — угол поворота РО и ДТ относительно начального положения (θ_1 и θ_2); малиновая — угловая скорость вращения первого ВВ ω_1 ; светло-голубая — угловая скорость вращения второго ВВ ω_2 ; темно-серая — суммарная фаза ВВ (разность фаз).

По горизонтальной оси откладывается время (отрезок от начала координат до окончания графиков соответствует двадцати секундам). Верхний график показывает движение РО вибромашины, а нижний — движение ДТ и вибровозбудителей.

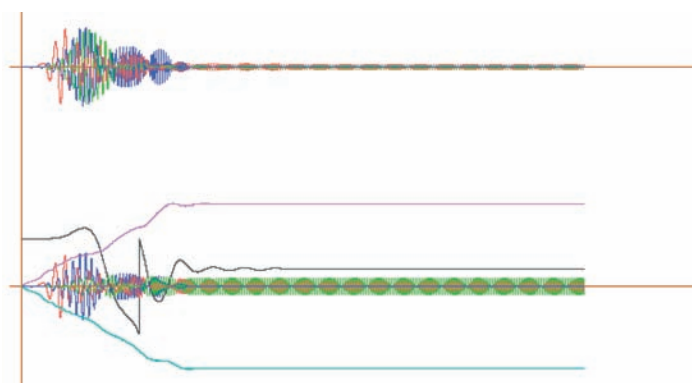


Рис. 2. Пусковая динамика ДВТМ-2

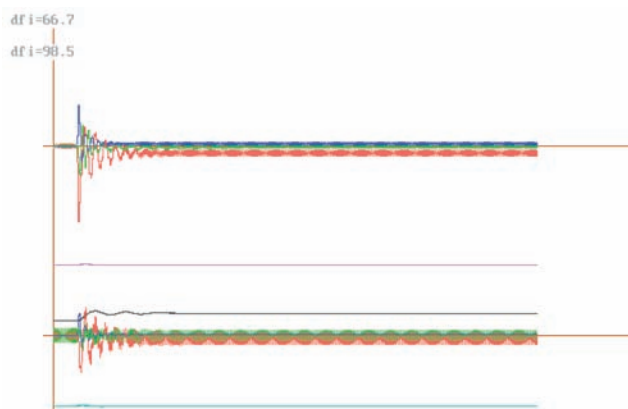


Рис. 3. Динамика ДВТМ-2 после падения на РО значительной массы

На рис. 3 показана динамика ДВТМ-2 после падения на РО машины (верхнее тело) массы, равной трети массы РО.

Наибольший интерес здесь представляет информация, относящаяся к движению дебалансов (вибровозбудителей). На рис. 3 заметно, что суммарная фаза дебалансов (пунктирная линия) при ударе испытывает возмущение. Связанные с этим возмущением колебания угловой скорости на графиках почти не различимы, но вызванные ими колебания суммарной фазы дебалансов заметны хорошо.

После более или менее продолжительного переходного процесса движение ВВ снова становится синхронным, причем величина суммарной фазы стабилизируется на новом значении. На рис. 3 оставлены в левом верхнем углу выданные компьютером значения синхронной суммарной фазы дебалансов в градусах до и после удара. Эти значения снабжены идентификатором «dfi».

До удара значение суммарной фазы было $\varphi_{\Sigma} = 66,7^{\circ}$, а после удара — $\varphi_{\Sigma} = 98,5^{\circ}$. Если учесть, что угол, составляемый вынуждающей силой с горизонтальной осью координат, равен половине суммарной фазы, то указанное изменение соответствует повороту вектора вынуждающей силы на угол $16,1^{\circ}$ против часовой стрелки.

Следует отметить, что падение дополнительной массы произошло на верхнее тело, то есть тело, свободное от ВВ (в отличие от ситуаций, рассмотренных в работах [5–7]). Тем не менее реакция вибровозбудителей на дополнительную массу оказалась столь же существенной, как если бы эта масса упала на то тело, на котором установлены ВВ.

Приведенные результаты демонстрируют работоспособность и адекватность построенной математической модели ДВТМ-2. Ее использование позволит исследовать особенности динамики ДВТМ-2 различных конструкций и размеров, не прибегая к натурным экспериментам. ■

Литература

1. Вибрации в технике: справочник. В 6-ти т. / Ред. совет: В. Н. Челомей (пред.). — М.: Машиностроение, 1981. — Т. 4. Вибрационные процессы и машины / Под ред. Э. Э. Лавендела. 1981. 509 с.
2. Блехман И. И. Синхронизация динамических систем. — М.: Наука. — 1971. — 654 с.
3. Румянцев С. А. Моделирование динамики переходных процессов самосинхронизирующихся вибрационных машин // Изв. вузов: Горный журнал, 2003. — № 6. — С. 111–118.
4. Румянцев С. А. Динамика переходных процессов и самосинхронизация движений вибрационных машин. — Екатеринбург: УрОРАН. — 2003. — 134 с.
5. Васильева Г. В., Румянцев С. А. Математическое моделирование нестационарной динамики двухмассной вибротранспортирующей машины // Транспорт Урала, 2006 — № 4 (11). — С. 29–32. ISSN 1815–9400.
6. Васильева Г. В., Румянцев С. А. Математическая модель двухмассной вибрационной машины // Изв. вузов. Горный журнал. — 2007. — № 4. — С. 73–79.
7. Васильева Г. В., Румянцев С. А. Математическая модель двухмассной вибрационной машины // Проблемы прикладной математики: Сб. научн. трудов // Под общей ред. С. Л. Дерябина. — Екатеринбург: УрГУПС. — № 41 (124). — Т. 1. — 2005–2006. — С. 228–256.
8. Васильева Г. В., Румянцев С. А. Математическая модель динамики двухмассной вибротранспортирующей машины с вибровозбудителями на нижней массе // Транспорт Урала, 2008 — № 1 (16). — С. 33–35. ISSN 1815–9400.

Статья сдана в редакцию 3. 12. 2009 г.

С. В. Сизый, Н. А. Афанасьева

Равновесные состояния в организационных сетях. Критерий стабилизации взаимодействия

Задачи стабилизации и придания надежности процессам экономического взаимодействия между элементами организационных структур неоднократно рассматривались в литературе. Так, в работе [1] предложена и обоснована планетарная организационная структура управления крупных корпораций, направленная на устойчивое взаимоотношение в организационной сети. В работах [2, 3] приведена методика вычисления коэффициента устойчивости узлов планетарной структуры корпоративной сети. В работах [4, 5] предложены модели оценки взаимодействия крупной компании с субъектами Российской Федерации, а в работах [6, 7] обоснована модель согласования программ развития компании в регионе и субъекта Федерации. Разработана методика формирования коэффициентов априорной состоятельности и способа оценки состоятельности региона (субъекта Федерации) [8, 9].

Модельные представления процессов взаимодействия в организационных сетях, предложенных в [10] в виде мультиоператорных сетей, дают общий взгляд на процессы взаимодействия и стабилизацию отношений между узлами-предприятиями организационной сети. В настоящей работе формулируются общие критерии стабилизации взаимодействия

между предприятиями в терминах теории игр — паритетных ситуаций взаимодействия.

Рассмотрим предприятия P_i и P_j , находящиеся в структуре некоторой организационной сети. Вследствие экономического взаимодействия между предприятиями P_i и P_j возникает движение ресурсов (рис. 1).

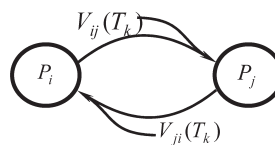


Рис. 1. Выделенная пара взаимодействующих предприятий организационной сети

На рис. 1 указаны объемы обобщенных ресурсов $V_{ij}(T_k)$ и $V_{ji}(T_k)$, поступающие на предприятия P_j и P_i соответственно в результате реализации заданного варианта T_k процесса взаимодействия.

Под обобщенными ресурсами понимаются не только ресурсы, поступающие от партнера в результате взаимодействия (выполнение договоров на поставку товаров и оказание услуг, финансовые расчеты между предприятиями P_i и P_j и т. п.), но и ресурсы, которые предприятия получают дополнительно или рассчитывают получить извне.

Дополнительными ресурсами могут быть предпочтения от совместной

Сведения об авторах: **Сергей Викторович Сизый** — канд. физ.-мат. наук, доцент Уральского государственного университета им. А. М. Горького. Sergey.siziy@r66.ru.

Наталья Александровна Афанасьева — инженер Уральского государственного университета путей сообщения. Тел.: 8-950-190-20-14.

реализации проектов, выгода от инвестирования проектов, добавочные дивиденды (последствие взаимодействия), увеличение объемов производства и/или сбыта.

Существует множество вариантов взаимодействия T_1, T_2, \dots, T_m между двумя рассматриваемыми предприятиями. Сценарии взаимодействия могут отличаться условиями сотрудничества, отпускными ценами на товары и услуги (зависят от условий сотрудничества), способами взаимодействия, продолжительностью, долями инвестиций в совместные проекты и условиями участия в них, схемами закупки продукции в разных объемах и т. д. Другими словами, есть конечный, но достаточно большой набор вариантов T_1, T_2, \dots, T_m взаимодействия.

Реализация различных вариантов сотрудничества T_1, T_2, \dots, T_m даст предприятиям P_i и P_j различную выгоду, то есть различные объемы поступающих в их сторону обобщенных ресурсов V_{ij} и V_{ji} .

Суммарный объем обобщенных ресурсов, получаемых предприятиями P_i и P_j в результате взаимодействия, всегда ограничен сверху некоторым максимальным объемом:

$$\forall T_k : V_{ij}(T_k) + V_{ji}(T_k) \leq V_{\max} = \text{const.}$$

На практике величина максимального объема V_{\max} , как правило, известна заранее и объясняется общей ограниченностью экономических ресурсов, емкостью рынка, затратами на реализацию проектов и т. д. Для рассматриваемых предприятий $P_i \leftrightarrow P_j$ это неравенство означает, что при достижении достаточно высокой эффективности взаимодействия — при приближении к максимально возможным значениям «выгоды», то есть поступающих на предприятия P_i и P_j объемов обобщенных ресурсов V_{ij} и V_{ji} — выгода от взаимодействия на одном предприятии уве-

личивается только за счет уменьшения выгоды другого.

Если одно предприятие не удовлетворено условиями взаимодействия, то оно будет стремиться изменить условия сотрудничества, выбрать более подходящий для себя вариант, искать пути преобразования организационных связей. Взаимодействие предприятий $P_i \leftrightarrow P_j$ будет нестабильным. В случае, когда объемы обобщенных ресурсов V_{ij} или V_{ji} , поступающих на предприятие в результате взаимодействия, необоснованно низки, сотрудничество считается экономически неоправданным, и предприятие может выйти из процесса взаимодействия, то есть связка организационной сети $P_i \leftrightarrow P_j$ распадется.

Отсюда вытекает общая задача определения и характеристики момента стабилизации экономического взаимодействия элементов организационной сети, формализации критериев, отвечающих на вопрос: когда экономическое взаимодействие элементов организационной сети стабилизировалось?

Для решения поставленной задачи формализации критериев стабилизации экономического взаимодействия воспользуемся идеей общей оценки экономической состоятельности хозяйствующих субъектов [13] и математическим аппаратом теории игр [11].

Каждому элементу организационной сети, каждому предприятию P_i можно поставить в соответствие некоторую оценку $k_{\text{сост.}}^{(i)} = K_{\text{сост.}}(P_i)$ его экономической (или какой-то иной, соответствующей характеру рассматриваемого типа взаимодействия в паре $P_i \leftrightarrow P_j$) состоятельности. Вид функционала оценки $K_{\text{сост.}}(P_i)$ состоятельности предприятия P_i зависит от характера поставленной исследовательской задачи, практических потребностей и объективных требований к проводимым оценкам. Однако смысловое

содержание функционала $K_{\text{сост.}}(P_i)$ всегда подразумевает наличие у него свойства монотонности, то есть значение оценки экономической состоятельности $k_{\text{сост.}}^{(i)} = K_{\text{сост.}}(P_i)$ предприятия P_i должно быть тем выше, чем больше обобщенное ресурсное наполнение предприятия P_i , чем выше значения учитываемых при проведении оценок экономических (или каких-то иных, соответствующих характеру рассматриваемого взаимодействия в паре $P_i \leftrightarrow P_j$) параметров предприятия P_i .

В настоящее время для оценки состоятельности субъектов экономического и организационного взаимодействия используют методику применения линейных оценочных форм [12, 13] — функционал $K_{\text{сост.}}(P_i)$ в виде некоторой линейной формы. Эта методика позволяет учитывать неограниченное число экономических параметров взаимодействия. Однако для решения задач стабилизации организационного и экономического взаимодействия могут быть использованы и другие целенаправленные и уточненные методики получения оценок и прогнозирования организационной и экономической состоятельности предприятий, разработка которых в свете стоящих задач приобретает особую практическую важность и актуальность [14].

Очевидно, что сам смысл экономического взаимодействия предприятий заключается в том, что каждое предприятие P_i стремится в процессе взаимодействия увеличить свою экономическую состоятельность — увеличить значение оценки $k_{\text{сост.}}^{(i)} = K_{\text{сост.}}(P_i)$ — стать богаче, стабильней, получить от взаимодействия максимальные выгоды и объем обобщенных ресурсов V_{ji} и т. д. На формальном математическом языке это значит, что каждое предприятие P_i стремится достичь максимально возможного значения

величины $\Delta k_{\text{сост.}}^{(i)}(T_s)$ — прироста своей экономической состоятельности от реализации того или иного варианта T_s ведения взаимодействия. Здесь

$$\Delta k_{\text{сост.}}^{(i)}(T_s) = k_{\text{сост.}}^{(i)}(T_s) - k_{\text{сост.}}^{(i)}(0),$$

где $k_{\text{сост.}}^{(i)}(T_s)$ — значение оценки экономической состоятельности предприятия P_i после реализации варианта взаимодействия T_s , а $k_{\text{сост.}}^{(i)}(0)$ — начальное значение оценки экономической состоятельности предприятия P_i перед реализацией взаимодействия.

Очевидно, что в силу неравенства (1), ограничивающего суммарный объем обобщенных ресурсов, существует противоборство интересов в паре взаимодействующих предприятий $P_i \leftrightarrow P_j$. При достаточно высоком уровне эффективности взаимодействия (приближение к максимально возможным значениям получаемых в процессе взаимодействия объемов обобщенных ресурсов V_{ij} и V_{ji}) увеличение прироста экономической состоятельности $\Delta k_{\text{сост.}}^{(i)}(T_s)$ одного из предприятий мешает росту $\Delta k_{\text{сост.}}^{(j)}(T_s)$ другого предприятия. Наличие противоборствующих интересов у взаимодействующих предприятий P_i и P_j позволяет сформулировать критерий стабилизации экономического взаимодействия в терминах теории игр (выбор возможного варианта взаимодействия между предприятиями (договорный процесс) можно рассматривать как игру с противоборствующими интересами).

Для каждого варианта взаимодействия T_s из множества возможных вариантов T_1, T_2, \dots, T_m взаимодействия вычислим приросты $\Delta k_{\text{сост.}}^{(i)}(T_s)$ и $\Delta k_{\text{сост.}}^{(j)}(T_s)$ оценок состоятельности обоих предприятий P_i и P_j , получаемые от реализации варианта взаимодействия T_s (таблица 1).

Таблица 1

Прирост состоятельности предприятий
при различных вариантах взаимодействия

	T_1	T_2	...	T_m
P_i	$\Delta k_{\text{сост.}}^{(i)}(T_1)$	$\Delta k_{\text{сост.}}^{(i)}(T_2)$...	$\Delta k_{\text{сост.}}^{(i)}(T_m)$
P_j	$\Delta k_{\text{сост.}}^{(j)}(T_1)$	$\Delta k_{\text{сост.}}^{(j)}(T_2)$...	$\Delta k_{\text{сост.}}^{(j)}(T_m)$

Сопоставим каждому возможному варианту взаимодействия T_s точку A_s на координатной плоскости с координатами $(\Delta k_{\text{сост.}}^{(i)}(T_s); \Delta k_{\text{сост.}}^{(j)}(T_s))$:

$$T_s \mapsto A_s(\Delta k_{\text{сост.}}^{(i)}(T_s); \Delta k_{\text{сост.}}^{(j)}(T_s)).$$

Представим результаты вычислений (таблица 1) приростов оценок состоятельности по рассматриваемым взаимодействующим предприятиям $P_i \leftrightarrow P_j$ на координатной плоскости (рис. 2).

Множество точек A_1, A_2, \dots, A_m на рис. 2 соответствует приростам состоятельности предприятий $P_i \leftrightarrow P_j$ при реализации всевозможных вариантов взаимодействия T_1, T_2, \dots, T_m между ними.

Стратегия в игре с противоборствующими интересами и результат реализации этой стратегии (то есть вариант взаимодействия T_s между

предприятиями, а также сама точка A_s оценочных результатов $(\Delta k_{\text{сост.}}^{(i)}(T_s); \Delta k_{\text{сост.}}^{(j)}(T_s))$ этого варианта взаимодействия) называется оптимальной по Парето [11], если не существует более предпочтительной одновременно для обоих игроков стратегии с более высокими результатами реализации (другими словами, стратегии, улучшающей результат игры для одного игрока и не уменьшающей при этом результатов игры для другого игрока). Математически, в нашем случае, оптимальность варианта T_s взаимодействия предприятий означает выполнение конъюнкции условий:

$$\forall T_r (\Delta k_{\text{сост.}}^{(i)}(T_r) \leq \Delta k_{\text{сост.}}^{(i)}(T_s)) \& \\ \& (\Delta k_{\text{сост.}}^{(j)}(T_r) \leq \Delta k_{\text{сост.}}^{(j)}(T_s)). \quad (2)$$

Геометрически, на координатной плоскости, условия (2) означают,

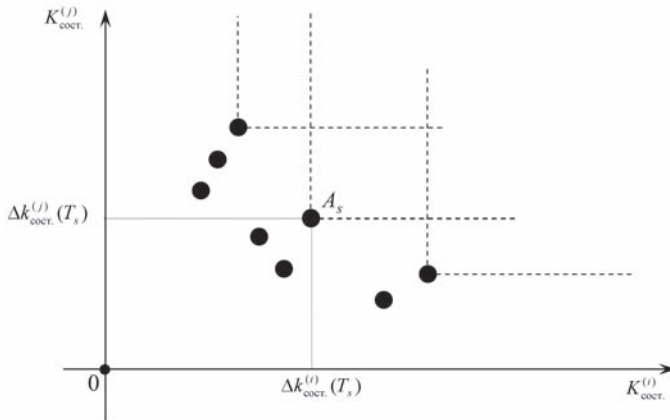


Рис. 2. Представление приростов состоятельности предприятий P_i и P_j в результате реализации различных вариантов взаимодействия

что справа и вверх от оптимальной по Парето точки A_s (в прямоугольной области с вершиной в точке A_s) нет других точек, являющихся более приемлемыми вариантами сотрудничества (см. рис. 2).

Выполнение условий (2) для варианта T_s взаимодействия между двумя предприятиями организационной сети как раз и является критерием относительной временной стабилизации экономического взаимодействия.

Действительно, при реализации оптимального по Парето варианта T_s ни одно из взаимодействующих предприятий за счет поиска иных вариантов сотрудничества ничего уже улучшить не сможет. Однако на взаимодействие на худших для себя условиях ни один хозяйствующий субъект не согласится. Другими словами, после достижения договоренностей о реализации оптимального по Парето варианта взаимодействия T_s в течение некоторого времени никаких новых вариантов сотрудничества предприятия P_i и P_j искать уже не будут. Договоры о сотрудничестве не переделываются, отношения в паре $P_i \leftrightarrow P_j$ стабилизировались (в рамках данного проекта или задач сотрудничества) и принципиального улучшения результатов взаимодействия в ситуации T_s искать бессмысленно, поскольку этот вариант устраивает обоих участников.

Как видно из рис. 2, стабильных вариантов взаимодействия пары предприятий может быть несколько. Нужный вариант взаимодействия из нескольких оптимальных определяют с учетом дополнительных факторов рассматриваемого взаимодействия (это переговоры, решения руководителей предприятий, а также организационно-правовое или директивное воздействие, сложившиеся традиции, случайные причины).

Предприятия $P_i \leftrightarrow P_j$ могут достаточно долго находиться в стабильном состоянии — до тех пор, пока не будут выполнены стоящие практические задачи взаимодействия (повлекшие образование этой пары). Стабильность взаимодействия пары предприятий $P_i \leftrightarrow P_j$ могут разрушить радикальные изменения во внешней среде, дестабилизирующие сложившиеся отношения либо разрывающие их, либо предлагающие новые дополнительные варианты взаимодействия, которые превращают прежние варианты взаимодействия в неоптимальные по Парето.

Критерий стабилизации взаимодействия между парой предприятий может быть легко обобщен на произвольное количество N взаимодействующих предприятий P_1, P_2, \dots, P_N в структуре организационной сети G и даже на всю организационную сеть G в целом.

В случае организационно-экономического взаимодействия группы предприятий P_1, P_2, \dots, P_N организационной сети G значительно увеличивается количество реализаций взаимодействия между предприятиями сети G , а под обобщенным объемом ресурсов $V_i(T_s)$, поступающим на предприятие P_i в результате реализации варианта взаимодействия T_s , следует теперь понимать сумму обобщенных объемов ресурсов $V_{ji}(T_s)$, поступающих на предприятие P_i со стороны каждого предприятия сети G :

$$V_i(T_s) = \sum_{j=1}^N V_{ji}(T_s).$$

Точно так же, как и в случае пары взаимодействующих предприятий, вычисляются оценки результатов реализации варианта T_s сетевого взаимодействия для каждого предприятия сети G :

$$\Delta k_{\text{сост.}}^{(1)}(T_s), \Delta k_{\text{сост.}}^{(2)}(T_s), \dots, \\ \Delta k_{\text{сост.}}^{(j)}(T_s), \dots, \Delta k_{\text{сост.}}^{(N)}(T_s),$$

где $\Delta k_{\text{сост.}}^{(j)}(T_s)$ — прирост оценки состоятельности предприятия P_j в результате реализации варианта T_s организационно-экономического взаимодействия в сети \mathbf{G} .

Вариант экономического взаимодействия T_s из множества возможных вариантов T_1, T_2, \dots, T_M взаимодействия в организационной сети \mathbf{G} является стабильным, если он является оптимальным по Парето, то есть для варианта T_s выполняется конъюнкция условий:

$$\forall T_r \in \{T_1, T_2, \dots, T_M\}_{i=1}^N \\ (\Delta k_{\text{сост.}}^{(i)}(T_r) \leq \Delta k_{\text{сост.}}^{(i)}(T_s)). \quad (3)$$

Другими словами, среди множества возможных T_1, T_2, \dots, T_M реализаций взаимодействия в сети \mathbf{G} не найдется варианта, улучшающего результаты взаимодействия для некоторого предприятия сети \mathbf{G} и, возможно, не уменьшающего результатов этого взаимодействия для некоторых других предприятий сети \mathbf{G} .

Геометрическая интерпретация результатов варианта взаимодействия T_s группы предприятий P_1, P_2, \dots, P_N организационной сети \mathbf{G} — это сопоставление каждому варианту взаимодействия T_s точки в N -мерном пространстве \mathbf{R}^N по правилу

$$T_s \mapsto A_s(\Delta k_{\text{сост.}}^{(1)}(T_s), \Delta k_{\text{сост.}}^{(2)}(T_s), \dots, \\ \Delta k_{\text{сост.}}^{(j)}(T_s), \dots, \Delta k_{\text{сост.}}^{(N)}(T_s)),$$

то есть точки A_s , координаты которой суть результаты реализации варианта взаимодействия T_s для каждого из предприятий P_1, P_2, \dots, P_N . Оптимальность точки A_s по Парето, то есть стабильность варианта сетевого взаимодействия T_s , означа-

ет, что в бесконечной прямоугольной N -мерной области с вершиной в точке A_s и ребрами, направленными параллельно осям координат в их положительную сторону, отсутствуют точки, соответствующие результатам других возможных вариантов взаимодействия T_1, T_2, \dots, T_M (рис. 3).

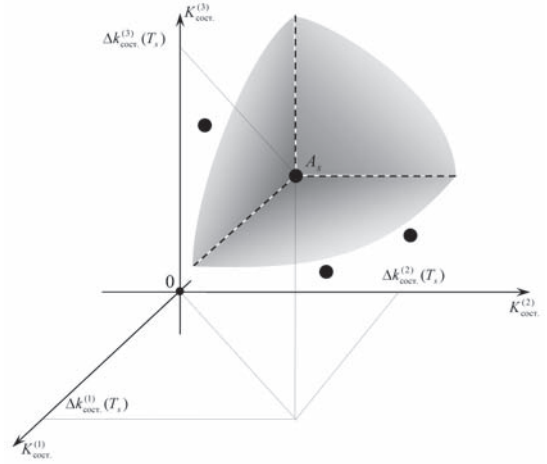


Рис. 3. Точка A_s стабильного варианта T_s взаимодействия в организационной сети \mathbf{G} из трех элементов

На рис. 3 показана оптимальная точка A_s , соответствующая результатам реализации стабилизирующего варианта взаимодействия T_s в организационной сети \mathbf{G} , состоящей из трех предприятий P_1, P_2, P_3 .

В этом случае пространство геометрической интерпретации результатов реализации взаимодействия трехмерно и соответствующую прямоугольную область с вершиной в точке A_s , свободную от иных вариантов взаимодействия, можно представить на рисунке.

Таким образом, вариантами (стратегиями) экономического сотрудничества, стабилизирующими процессы взаимодействия в организационных N -элементных сетях и приводящими их в равновесное состояние, следует считать только те варианты (стратегии взаимодействия элементов

сети), которым соответствуют точки результатов реализации взаимодействия в N -мерном пространстве, удовлетворяющие условиям (3). Эти условия являются обобщением кри-

терия оптимальности сетевого взаимодействия по Парето, рассматриваемого как совместную игровую стратегию взаимодействия N различных участников. ■

Литература

1. Сай В. М. Планетарные структуры управления на железнодорожном транспорте: монография. — М. : ВИНТИ РАН, 2003. — 336 с. ISBN 5–900242–307.
2. Сай В. М. Вычисление коэффициента устойчивости узлов планетарной структуры корпоративной сети. Екатеринбург : УрГУПС, 2003. Деп. в ВИНТИ 30.01.03, № 189. 40 с.
3. Сай В. М. Устойчивость узлов планетарной структуры корпоративной сети. Екатеринбург : УрГУПС, 2003. Деп. в ВИНТИ 04.09.02, № 1541. 37 с.
4. Сай В. М. Методологические подходы моделирования взаимоотношений компании «Российские железные дороги» с регионами / В. М. Сай, С. В. Шутюк, Афанасьева Н. А. // Транспорт: наука, техника, управление. — М. : ВИНТИ РАН, 2004. — № 12. — С. 12–15. ISSN 0236–1914.
5. Сай В. М., Шутюк С. В. Моделирование оценки взаимодействия компании «Российские железные дороги» с субъектами Российской Федерации: монография. — М. : ВИНТИ РАН, 2005. — 172 с. ISBN 8–900242–307.
6. Сай В. М., Шутюк С. В. Интегрированный коэффициент эффективности серии проектов при одновременном взаимодействии ОАО «РЖД» с рядом региональных хозяйствующих субъектов // Транспорт Урала. — 2005. — № 2 (5). С. 11–16. ISSN 1815–9400.
7. Шутюк С. В. Математическая модель согласования программ развития ОАО «РЖД» в регионе и субъекта РФ / С. В. Шутюк, В. М. Сай, Н. А. Афанасьева // Экономика железных дорог. М., 2005, № 12. — С. 23–32. ISSN 1727–6500.
8. Сай В. М., Шутюк С. В. Методика формирования коэффициентов априорной состоятельности и способа оценки состоятельности региона / Транспорт Урала. — 2005. — № 3 (6). ISSN 1815–9400.
9. Сай В. М. Анализ выразительных возможностей методики формирования коэффициентов состоятельности регионов / В. М. Сай, С. В. Сизый, С. В. Шутюк // Транспорт: наука, техника, управление. — 2006. — № 11. — С. 7–12. ISSN 0236–1914.
10. Сай В. М., Сизый С. В. Организационные структуры как мультиоператорные сети. Задачи прочности и устойчивости // Транспорт Урала. 2009. № 2 (21). — С. 5–9. ISSN 1815–9400.
11. Мулен Э. Теория игр с примерами из математической экономики. М. : Мир, 1985. 200 с.
12. Сизый С. В., Фомин В. К., Вихарев С. В. Формирование коэффициентов привлекательности хозяйствующих субъектов // Развитие систем управления перевозочным процессом и транспортной логистики: сб. научн. тр. под ред. С. А. Плахотича // Екатеринбург : Изд-во УрГУПС, 2009. Вып. 73 (156). С. 165–180. ISBN 978–5–94614–130–7.
13. Сизый С. В. Фомин В. К. Оценки экономической привлекательности предприятий с использованием линейных форм // Вестник УрГУПС № 2, 2009. — С. 29–37.
14. Сизый С. В., Фомин В. К. Формирование и визуализация интегральной оценки взаимодействия узлов мультиоператорных организационных сетей. — Транспорт Урала. 2009. № 4 (23). С. 16–20. ISSN 1815–9400.

Статья сдана в редакцию 17. 11. 2009 г.

С. А. Румянцев, Д. Ю. Тарасов

Условия разрешимости системы дифференциальных уравнений движения одномассной вибротранспортирующей машины относительно старших производных

(Исследования поддержаны грантом РФФИ № 08–08–00127 а)

Совершенствование конструкции вибротранспортирующих машин (ВТМ) и повышение производительности их работы невозможно без детального анализа динамики этих машин. В работах [1–3]

рассматривается математическая модель одномассной ВТМ. Модель основана на численном решении задачи Коши для системы обыкновенных дифференциальных уравнений [1–2]:

$$\begin{cases} \ddot{x} = \frac{1}{M} \left[-k_x \dot{x} - k_{x\varphi} \dot{\varphi} - c_x x - c_{x\varphi} \varphi + \sum_{i=1}^n m_i \varepsilon_i (\ddot{\varphi}_i \sin \varphi_i + \dot{\varphi}_i^2 \cos \varphi_i) \right], \\ \ddot{y} = \frac{1}{M} \left[-k_y \dot{y} - k_{y\varphi} \dot{\varphi} - c_y y - c_{y\varphi} \varphi + \sum_{i=1}^n m_i \varepsilon_i (\dot{\varphi}_i^2 \sin \varphi_i - \ddot{\varphi}_i \cos \varphi_i) - F_y \right], \\ \ddot{\varphi} = \frac{1}{J} \left[-k_{x\varphi} \dot{x} - k_{y\varphi} \dot{y} - k_{\varphi} \dot{\varphi} - c_{x\varphi} x - c_{y\varphi} y - c_{\varphi} \varphi + \sum_{i=1}^n m_i \varepsilon_i r_i (\dot{\varphi}_i^2 \sin(\varphi_i - \delta_i - \varphi) - \right. \\ \left. - \ddot{\varphi}_i \times \cos(\varphi_i - \delta_i - \varphi)) + M_y \right], \\ \ddot{\varphi}_i = \frac{1}{J_i} I_i [L_i(\dot{\varphi}_i) - R_i(\dot{\varphi}_i)] + \frac{m_i \varepsilon_i}{J_i} \left[\ddot{x} \sin \varphi_i - \ddot{y} \cos \varphi_i - g \cos \varphi_i - r_i \ddot{\varphi} \cos \varphi_i \right. \\ \left. - \times (\varphi_i - \delta_i - \varphi) - r_i \dot{\varphi}_i^2 \sin(\varphi_i - \delta_i - \varphi) \right], \end{cases} \quad (1)$$

где $M = M_{\text{PO}} + \sum_{i=1}^n m_i$, $J = J_C + M_{\text{PO}}(x_C^2 + y_C^2) + \sum_{i=1}^n m_i r_i^2$,

$J_i = J_{C_i} + m_i \varepsilon_i^2$, $(i = 1, \dots, n)$.

Сведения об авторах: **Сергей Алексеевич Румянцев**, д-р техн. наук, профессор, зав. кафедрой «Механика деформируемого твердого тела, основания и фундаменты» (Уральский государственный университет путей сообщения). **Тел.:** (343) 358–55–24.

Дмитрий Юрьевич Тарасов, асс. кафедры «Прикладная математика» (Уральский государственный университет путей сообщения). **Тел.:** (343) 358–55–50.

Здесь x, y, φ, φ_i — обобщенные координаты системы, где x, y — координаты центра масс рабочего органа (РО) ВТМ в некоторой декартовой системе координат, жестко связанной с фундаментом; φ — угол поворота РО относительно оси, восстановленной в центре масс; φ_i — угол поворота i -го дебалансного вибровозбудителя (ВВ) вокруг оси электродвигателя; $L_i(\dot{\varphi}_i)$ — вращающий момент i -го дебаланса; $R_i(\dot{\varphi}_i)$ — момент сил сопротивления вращению для i -го ВВ; I_i — индексы направления вращения i -го ВВ, где значение индекса принимается равным единице для ВВ, вращающихся против часовой стрелки (положительное направление), и минус единице — для ВВ, вращающихся по часовой стрелке; M_{PO} — масса РО ВТМ; m_i — масса i -го ВВ; x_C, y_C — координаты центра масс; J_C — момент инерции РО ВТМ относительно центра масс; J_{C_i} — момент инерции ротора i -го ВВ относительно оси вращения; ε_i — радиус инерции i -го ВВ относительно оси вращения; δ_i — угол, задающий положение i -го ВВ; r_i — расстояние от центра масс до оси i -го ВВ; $c_x, c_y, c_\varphi, c_{x\varphi}, c_{y\varphi}$ — обобщенные коэффициенты жесткости упругих опорных элементов; $k_x, k_y, k_\varphi, k_{x\varphi}, k_{y\varphi}$ — коэффициенты вязкого сопротивления; g — ускорение свободного падения; M_y — момент приложенного ударного воздействия; F_y — модуль силы приложенного ударного воздействия.

В дальнейшем, в силу механических соображений, во всех выкладках принимается во внимание, что $M_{PO}, J_C, J_{C_i}, m_i, r_i, \varepsilon_i$ существенно больше нуля для всех $i = 1, \dots, n$. Введем обозначения:

$$a_i = m_i \varepsilon_i, \quad \psi_i = \varphi_i - \delta_i - \varphi, \quad i = 1, \dots, n.$$

Система уравнений (4) позволяет описывать движение ВТМ, пусковые и переходные процессы, а также движения машины после возникновения ударных нагрузок, вызванных, например, падением на РО монолита, сопоставимого по массе с РО.

Система (4), записанная в таком виде, нелинейна. Причем каждое уравнение разрешено относительно соответствующей старшей производной, но не свободно от старших производных по другим переменным. При использовании численных одношаговых методов решения уравнений это обстоятельство требует знания значений вторых производных из предыдущего шага. Для этого выбирается очень маленький шаг, что сильно увеличивает количество вычислений. По той же причине решение системы можно получить только с момента пуска машины из состояния покоя, когда значения производных равны нулю [1]. От этих ограничений можно избавиться, если систему (1) разрешить относительно старших производных.

Систему (4) можно записать в матричном виде:

$$S\ddot{X} = B, \quad \text{где}$$

$$S = \begin{pmatrix} M & 0 & 0 & -a_1 \sin \varphi_1 & \dots & -a_n \sin \varphi_n \\ 0 & M & 0 & a_1 \cos \varphi_1 & \dots & a_n \cos \varphi_n \\ 0 & 0 & J & a_1 r_1 \cos \psi_1 & \dots & a_n r_n \cos \psi_n \\ -a_1 \sin \varphi_1 & a_1 \cos \varphi_1 & a_1 r_1 \cos \psi_1 & J_1 & \dots & 0 \\ \dots & \dots & \dots & \vdots & \ddots & \vdots \\ -a_n \sin \varphi_n & a_n \cos \varphi_n & a_n r_n \cos \psi_n & 0 & \dots & J_n \end{pmatrix}, \quad (2)$$

$$\ddot{X} = \begin{pmatrix} \ddot{x} \\ \ddot{y} \\ \ddot{\phi}_1 \\ \dots \\ \ddot{\phi}_n \end{pmatrix}, B = \begin{pmatrix} -k_x \dot{x} - k_{x\phi} \dot{\phi} - c_x x - c_{x\phi} \phi + \sum_{i=1}^n a_i \dot{\phi}_i^2 \cos \phi_i \\ -k_y \dot{y} - k_{y\phi} \dot{\phi} - c_y y - c_{y\phi} \phi + \sum_{i=1}^n a_i \dot{\phi}_i^2 \sin \phi_i - F_y \\ -k_{x\phi} \dot{x} - k_{y\phi} \dot{y} - k_{\phi} \dot{\phi} - c_{x\phi} x - c_{y\phi} y - c_{\phi} \phi + \sum_{i=1}^n a_i r_i \dot{\phi}_i^2 \sin \psi_i + M_y \\ I_1 [L_1(\dot{\phi}_1) - R_1(\dot{\phi}_1)] - a_1 g \cos \phi_1 - a_1 r_1 \dot{\phi}_1^2 \sin \psi_1 \\ \dots \\ I_n [L_n(\dot{\phi}_n) - R_n(\dot{\phi}_n)] - a_n g \cos \phi_n - a_n r_n \dot{\phi}_n^2 \sin \psi_n \end{pmatrix}.$$

Известно, что система дифференциальных уравнений, полученная из уравнений Лагранжа 2-го рода, разрешима относительно обобщенных ускорений [4]. Справедливость данного утверждения зависит от правильного выбора обобщенных координат, взятых для описания динамики изучаемой системы, а именно от их независимости. В противном случае необходимо определить условия, при которых применение данного набора обобщенных координат корректно либо пересмотреть набор обобщенных координат.

Покажем, что даже в случае ВТМ с одним ВВ система (2) разреши-

ма относительно старших производных не при любом наборе физических и геометрических параметров машины.

Утверждение 1. Если

$$J \left(\frac{MJ_1 - m_1^2 \epsilon_1^2}{Mm_1^2 \epsilon_1^2 r_1^2} \right) \leq 1, \quad (3)$$

то существуют значения для ϕ , ϕ_1 такие, что определитель матрицы S обращается в нуль.

Доказательство. Вычислим определитель матрицы S .

Разложив определитель по первой строке, получим:

$$\begin{vmatrix} M & 0 & 0 & -m_1 \epsilon_1 \sin \phi_1 \\ 0 & M & 0 & m_1 \epsilon_1 \cos \phi_1 \\ 0 & 0 & J & m_1 \epsilon_1 r_1 \cos \psi_1 \\ -m_1 \epsilon_1 \sin \phi_1 & m_1 \epsilon_1 \cos \phi_1 & m_1 \epsilon_1 r_1 \cos \psi_1 & J_1 \end{vmatrix} =$$

$$= M^2 J J_1 - M^2 m_1^2 \epsilon_1^2 r_1^2 \cos^2 \psi_1 - M J m_1^2 \epsilon_1^2.$$

В итоге:

$$\det S = M(MJ J_1 - Mm_1^2 \epsilon_1^2 r_1^2 \cos^2 \psi_1 - J m_1^2 \epsilon_1^2). \quad (4)$$

Отметим, что всегда выполняется $MJ_1 - m_1^2 \epsilon_1^2 > 0$, так как

$$MJ_1 - m_1^2 \epsilon_1^2 = (M_{\text{PO}} + m_1)(J_{C_1} + m_1 \epsilon_1^2) - m_1^2 \epsilon_1^2 = M_{\text{PO}} J_{C_1} + M_{\text{PO}} m_1 \epsilon_1^2 + m_1 J_{C_1} > 0.$$

Тогда из условия

$$J \left(\frac{MJ_1 - m_1^2 \epsilon_1^2}{Mm_1^2 \epsilon_1^2 r_1^2} \right) \leq 1$$

следует, что определено выражение

$$\arccos \sqrt{J \left(\frac{MJ_1 - m_1^2 \epsilon_1^2}{Mm_1^2 \epsilon_1^2 r_1^2} \right)}.$$

Положим

$$\psi_1 = \arccos \sqrt{J \left(\frac{MJ_1 - m_1^2 \epsilon_1^2}{Mm_1^2 \epsilon_1^2 r_1^2} \right)},$$

а φ, φ_1 выберем так, чтобы $\psi_1 = \varphi_1 - \delta_1 - \varphi$, тогда, подставляя выбранные значения в формулу (4), получим $\det S = 0$, что и требовалось доказать.

Пусть, например, параметры механической системы имеют следующие значения:

$$M_{\text{po}} = 100, m_1 = 180, r_1 = 1, \epsilon_1 = 1, \\ J_c = 150, J_{c_1} = 10, x_c = 0, y_c = 0. \quad (5)$$

Тогда получим

$$M = M_{\text{po}} + m_1 = 280, \\ J = J_c + M_{\text{po}}(x_c^2 + y_c^2) + \\ + m_1 r_1^2 = 330, J_1 = J_{c_1} + \\ + m_1 \epsilon_1^2 = 190, m_1 \epsilon_1 = 180.$$

Для этих значений

$$J \left(\frac{MJ_1 - m_1^2 \epsilon_1^2}{Mm_1^2 \epsilon_1^2 r_1^2} \right) \approx 0,756613757 < 1.$$

Выберем конструкционный угол δ_1 следующим образом:

$$\delta_1 = -\frac{\pi}{2} - \arccos \sqrt{J \left(\frac{MJ_1 - m_1^2 \epsilon_1^2}{Mm_1^2 \epsilon_1^2 r_1^2} \right)} \quad (6)$$

Утверждение 2. $\Delta = \det(S) =$

$$= \left(\prod_{i=1}^n J_i \right) \left[\left(M - \sum_{i=1}^n \frac{a_i^2 \sin^2 \varphi_i}{J_i} \right) \left(M - \sum_{i=1}^n \frac{a_i^2 \cos^2 \varphi_i}{J_i} \right) \left(J - \sum_{i=1}^n \frac{a_i^2 r_i^2 \cos^2 \psi_i}{J_i} \right) - \right. \\ \left. - \left(M - \sum_{i=1}^n \frac{a_i^2 \sin^2 \varphi_i}{J_i} \right) \left(\sum_{i=1}^n \frac{a_i^2 r_i \cos \varphi_i \cos \psi_i}{J_i} \right)^2 - \left(J - \sum_{i=1}^n \frac{a_i^2 r_i^2 \cos^2 \psi_i}{J_i} \right) \left(\sum_{i=1}^n \frac{a_i^2 \sin \varphi_i \cos \varphi_i}{J_i} \right)^2 - \right. \\ \left. - 2 \left(\sum_{i=1}^n \frac{a_i^2 \sin \varphi_i \cos \varphi_i}{J_i} \right) \left(\sum_{i=1}^n \frac{a_i^2 r_i \cos \varphi_i \cos \psi_i}{J_i} \right) \left(\sum_{i=1}^n \frac{a_i^2 r_i \sin \varphi_i \cos \psi_i}{J_i} \right) \right]$$

и положим в качестве начальных условий задачи Коши в начальный момент времени

$$\varphi = 0, \varphi_1 = -\frac{\pi}{2}$$

Тогда

$$\psi_1 = \varphi_1 - \delta_1 - \varphi = \\ = \arccos \sqrt{J \left(\frac{MJ_1 - m_1^2 \epsilon_1^2}{Mm_1^2 \epsilon_1^2 r_1^2} \right)}.$$

Подставляя это значение ψ_1 в выражение (4), получаем $\det S = 0$. Остальные начальные условия в задаче Коши можно выбрать произвольными, так как они не влияют на обращаемость матрицы в начальный момент времени.

Равенство определителя матрицы S нулю означает, что при данном наборе параметров интегрирование системы (1) путем ее полного разрешения относительно старших производных невозможно уже в начальный момент времени.

Приведенный пример показывает, насколько актуален вопрос определения условий, при которых обобщенные координаты вибротранспортирующей машины независимы и, следовательно, система (1) разрешима относительно старших производных.

Дальнейшее изложение посвящено определению этих условий.

$$-\left(M - \sum_{i=1}^n \frac{a_i^2 \cos^2 \varphi_i}{J_i}\right) \left(\sum_{i=1}^n \frac{a_i^2 r_i \sin \varphi_i \cos \psi_i}{J_i} \right)^2 \Bigg]. \quad (7)$$

Доказательство.

Рассмотрим матрицу \mathbf{S} как блочную матрицу:

$$\mathbf{S} = \begin{pmatrix} \mathbf{S}_{11} & \mathbf{S}_{12} \\ \mathbf{S}_{21} & \mathbf{S}_{22} \end{pmatrix} = \begin{pmatrix} M & 0 & 0 & -a_1 \sin \varphi_1 & \dots & -a_n \sin \varphi_n \\ 0 & M & 0 & a_1 \cos \varphi_1 & \dots & a_n \cos \varphi_n \\ 0 & 0 & J & a_1 r_1 \cos \psi_1 & \dots & a_n r_n \cos \psi_n \\ -a_1 \sin \varphi_1 & a_1 \cos \varphi_1 & a_1 r_1 \cos \psi_1 & J_1 & \dots & 0 \\ \dots & \dots & \dots & \vdots & \ddots & \vdots \\ -a_n \sin \varphi_n & a_n \cos \varphi_n & a_n r_n \cos \psi_n & 0 & \dots & J_n \end{pmatrix},$$

где

$$\mathbf{S}_{11} = \begin{pmatrix} M & 0 & 0 \\ 0 & M & 0 \\ 0 & 0 & J \end{pmatrix}, \quad \mathbf{S}_{12} = \begin{pmatrix} -a_1 \sin \varphi_1 & \dots & -a_n \sin \varphi_n \\ a_1 \cos \varphi_1 & \dots & a_n \cos \varphi_n \\ a_1 r_1 \cos \psi_1 & \dots & a_n r_n \cos \psi_n \end{pmatrix},$$

$$\mathbf{S}_{21} = \begin{pmatrix} -a_1 \sin \varphi_1 & a_1 \cos \varphi_1 & a_1 r_1 \cos \psi_1 \\ \dots & \dots & \dots \\ -a_n \sin \varphi_n & a_n \cos \varphi_n & a_n r_n \cos \psi_n \end{pmatrix}, \quad \mathbf{S}_{22} = \begin{pmatrix} J_1 & \dots & 0 \\ \vdots & \ddots & \vdots \\ 0 & \dots & J_n \end{pmatrix}.$$

Так как матрица \mathbf{S}_{22} не вырождена, то определитель матрицы \mathbf{S} можно записать в виде [5, с. 59]

$$\Delta = \det(\mathbf{S}) = \det(\mathbf{S}_{22}) \det(\mathbf{S}_{11} - \mathbf{S}_{12} \mathbf{S}_{22}^{-1} \mathbf{S}_{21}). \quad (8)$$

Определитель диагональной матрицы \mathbf{S}_{22} $\det(\mathbf{S}_{22}) = \prod_{i=1}^n J_i$, следовательно

$$\mathbf{S}_{22}^{-1} = \begin{pmatrix} \frac{1}{J_1} & \dots & 0 \\ \vdots & \ddots & \vdots \\ 0 & \dots & \frac{1}{J_n} \end{pmatrix};$$

$$\mathbf{S}_{12} \mathbf{S}_{22}^{-1} = \begin{pmatrix} -a_1 \sin \varphi_1 & \dots & -a_n \sin \varphi_n \\ a_1 \cos \varphi_1 & \dots & a_n \cos \varphi_n \\ a_1 r_1 \cos \psi_1 & \dots & a_n r_n \cos \psi_n \end{pmatrix} \times \begin{pmatrix} \frac{1}{J_1} & \dots & 0 \\ \vdots & \ddots & \vdots \\ 0 & \dots & \frac{1}{J_n} \end{pmatrix} = \begin{pmatrix} -\frac{a_1 \sin \varphi_1}{J_1} & \dots & -\frac{a_n \sin \varphi_n}{J_n} \\ \frac{a_1 \cos \varphi_1}{J_1} & \dots & \frac{a_n \cos \varphi_n}{J_n} \\ \frac{a_1 r_1 \cos \psi_1}{J_1} & \dots & \frac{a_n r_n \cos \psi_n}{J_n} \end{pmatrix};$$

$$\begin{aligned}
S_{12}S_{22}^{-1}S_{21} &= \begin{pmatrix} -\frac{a_1 \sin \varphi_1}{J_1} & \dots & -\frac{a_n \sin \varphi_n}{J_n} \\ \frac{a_1 \cos \varphi_1}{J_1} & \dots & \frac{a_n \cos \varphi_n}{J_n} \\ \frac{a_1 r_1 \cos \psi_1}{J_1} & \dots & \frac{a_n r_n \cos \psi_n}{J_n} \end{pmatrix} \times \begin{pmatrix} -a_1 \sin \varphi_1 & a_1 \cos \varphi_1 & a_1 r_1 \cos \psi_1 \\ \dots & \dots & \dots \\ -a_n \sin \varphi_n & a_n \cos \varphi_n & a_n r_n \cos \psi_n \end{pmatrix} = \\
&= \begin{pmatrix} \sum_{i=1}^n \frac{a_i^2 \sin^2 \varphi_i}{J_i} & -\sum_{i=1}^n \frac{a_i^2 \sin \varphi_i \cos \varphi_i}{J_i} & -\sum_{i=1}^n \frac{a_i^2 r_i \sin \varphi_i \cos \psi_i}{J_i} \\ -\sum_{i=1}^n \frac{a_i^2 \sin \varphi_i \cos \varphi_i}{J_i} & \sum_{i=1}^n \frac{a_i^2 \cos^2 \varphi_i}{J_i} & \sum_{i=1}^n \frac{a_i^2 r_i \cos \varphi_i \cos \psi_i}{J_i} \\ -\sum_{i=1}^n \frac{a_i^2 r_i \sin \varphi_i \cos \psi_i}{J_i} & \sum_{i=1}^n \frac{a_i^2 r_i \cos \varphi_i \cos \psi_i}{J_i} & \sum_{i=1}^n \frac{a_i^2 r_i^2 \cos^2 \psi_i}{J_i} \end{pmatrix}; \\
S_{11} - S_{12}S_{22}^{-1}S_{21} &= \begin{pmatrix} M - \sum_{i=1}^n \frac{a_i^2 \sin^2 \varphi_i}{J_i} & \sum_{i=1}^n \frac{a_i^2 \sin \varphi_i \cos \varphi_i}{J_i} & \sum_{i=1}^n \frac{a_i^2 r_i \sin \varphi_i \cos \psi_i}{J_i} \\ \sum_{i=1}^n \frac{a_i^2 \sin \varphi_i \cos \varphi_i}{J_i} & M - \sum_{i=1}^n \frac{a_i^2 \cos^2 \varphi_i}{J_i} & -\sum_{i=1}^n \frac{a_i^2 r_i \cos \varphi_i \cos \psi_i}{J_i} \\ \sum_{i=1}^n \frac{a_i^2 r_i \sin \varphi_i \cos \psi_i}{J_i} & -\sum_{i=1}^n \frac{a_i^2 r_i \cos \varphi_i \cos \psi_i}{J_i} & J - \sum_{i=1}^n \frac{a_i^2 r_i^2 \cos^2 \psi_i}{J_i} \end{pmatrix}; \\
\Delta = \left(\prod_{i=1}^n J_i \right) &\begin{vmatrix} M - \sum_{i=1}^n \frac{a_i^2 \sin^2 \varphi_i}{J_i} & \sum_{i=1}^n \frac{a_i^2 \sin \varphi_i \cos \varphi_i}{J_i} & \sum_{i=1}^n \frac{a_i^2 r_i \sin \varphi_i \cos \psi_i}{J_i} \\ \sum_{i=1}^n \frac{a_i^2 \sin \varphi_i \cos \varphi_i}{J_i} & M - \sum_{i=1}^n \frac{a_i^2 \cos^2 \varphi_i}{J_i} & -\sum_{i=1}^n \frac{a_i^2 r_i \cos \varphi_i \cos \psi_i}{J_i} \\ \sum_{i=1}^n \frac{a_i^2 r_i \sin \varphi_i \cos \psi_i}{J_i} & -\sum_{i=1}^n \frac{a_i^2 r_i \cos \varphi_i \cos \psi_i}{J_i} & J - \sum_{i=1}^n \frac{a_i^2 r_i^2 \cos^2 \psi_i}{J_i} \end{vmatrix}. \quad (9)
\end{aligned}$$

Раскрывая определитель (9) по первой строке, получим:

$$\begin{aligned}
&\begin{vmatrix} M - \sum_{i=1}^n \frac{a_i^2 \sin^2 \varphi_i}{J_i} & \sum_{i=1}^n \frac{a_i^2 \sin \varphi_i \cos \varphi_i}{J_i} & \sum_{i=1}^n \frac{a_i^2 r_i \sin \varphi_i \cos \psi_i}{J_i} \\ \sum_{i=1}^n \frac{a_i^2 \sin \varphi_i \cos \varphi_i}{J_i} & M - \sum_{i=1}^n \frac{a_i^2 \cos^2 \varphi_i}{J_i} & -\sum_{i=1}^n \frac{a_i^2 r_i \cos \varphi_i \cos \psi_i}{J_i} \\ \sum_{i=1}^n \frac{a_i^2 r_i \sin \varphi_i \cos \psi_i}{J_i} & -\sum_{i=1}^n \frac{a_i^2 r_i \cos \varphi_i \cos \psi_i}{J_i} & J - \sum_{i=1}^n \frac{a_i^2 r_i^2 \cos^2 \psi_i}{J_i} \end{vmatrix} = \\
&= \left(M - \sum_{i=1}^n \frac{a_i^2 \sin^2 \varphi_i}{J_i} \right) \begin{pmatrix} M - \sum_{i=1}^n \frac{a_i^2 \cos^2 \varphi_i}{J_i} & -\sum_{i=1}^n \frac{a_i^2 r_i \cos \varphi_i \cos \psi_i}{J_i} \\ -\sum_{i=1}^n \frac{a_i^2 r_i \cos \varphi_i \cos \psi_i}{J_i} & J - \sum_{i=1}^n \frac{a_i^2 r_i^2 \cos^2 \psi_i}{J_i} \end{pmatrix} -
\end{aligned}$$

$$\begin{aligned}
 & - \left(\sum_{i=1}^n \frac{a_i^2 \sin \varphi_i \cos \varphi_i}{J_i} \right) \left(\begin{array}{cc} \sum_{i=1}^n \frac{a_i^2 \sin \varphi_i \cos \varphi_i}{J_i} & - \sum_{i=1}^n \frac{a_i^2 r_i \cos \varphi_i \cos \psi_i}{J_i} \\ \sum_{i=1}^n \frac{a_i^2 r_i \sin \varphi_i \cos \psi_i}{J_i} & J - \sum_{i=1}^n \frac{a_i^2 r_i^2 \cos^2 \psi_i}{J_i} \end{array} \right) + \\
 & + \left(\sum_{i=1}^n \frac{a_i^2 r_i \sin \varphi_i \cos \psi_i}{J_i} \right) \left(\begin{array}{cc} \sum_{i=1}^n \frac{a_i^2 \sin \varphi_i \cos \varphi_i}{J_i} & M - \sum_{i=1}^n \frac{a_i^2 \cos^2 \varphi_i}{J_i} \\ \sum_{i=1}^n \frac{a_i^2 r_i \sin \varphi_i \cos \psi_i}{J_i} & - \sum_{i=1}^n \frac{a_i^2 r_i \cos \varphi_i \cos \psi_i}{J_i} \end{array} \right) = \\
 & = \left(M - \sum_{i=1}^n \frac{a_i^2 \sin^2 \varphi_i}{J_i} \right) \left(M - \sum_{i=1}^n \frac{a_i^2 \cos^2 \varphi_i}{J_i} \right) \left(J - \sum_{i=1}^n \frac{a_i^2 r_i^2 \cos^2 \psi_i}{J_i} \right) - \\
 & - \left(M - \sum_{i=1}^n \frac{a_i^2 \sin^2 \varphi_i}{J_i} \right) \left(\sum_{i=1}^n \frac{a_i^2 r_i \cos \varphi_i \cos \psi_i}{J_i} \right)^2 - \\
 & - \left(\sum_{i=1}^n \frac{a_i^2 \sin \varphi_i \cos \varphi_i}{J_i} \right)^2 \left(J - \sum_{i=1}^n \frac{a_i^2 r_i^2 \cos^2 \psi_i}{J_i} \right) - \\
 & - 2 \left(\sum_{i=1}^n \frac{a_i^2 \sin \varphi_i \cos \varphi_i}{J_i} \right) \left(\sum_{i=1}^n \frac{a_i^2 r_i \cos \varphi_i \cos \psi_i}{J_i} \right) \left(\sum_{i=1}^n \frac{a_i^2 r_i \sin \varphi_i \cos \psi_i}{J_i} \right) - \\
 & - \left(\sum_{i=1}^n \frac{a_i^2 r_i \sin \varphi_i \cos \psi_i}{J_i} \right)^2 \left(M - \sum_{i=1}^n \frac{a_i^2 \cos^2 \varphi_i}{J_i} \right).
 \end{aligned}$$

Подставляя это выражение в (9), получим (7).

Что и требовалось доказать.

Утверждение 3. Если $(M - \tilde{m})^2 (J - \tilde{J}) - 2\tilde{a}^2 (M + \tilde{m}) - J\tilde{m}^2 > 0$, (10)

$$\text{где } \tilde{m} = \sum_{i=1}^n \frac{a_i^2}{J_i}, \tilde{a} = \sum_{i=1}^n \frac{a_i^2 r_i}{J_i}, \tilde{J} = \sum_{i=1}^n \frac{a_i^2 r_i^2}{J_i},$$

то для всех $\varphi_1, \dots, \varphi_n, \psi_1, \dots, \psi_n, \varphi \in (-\infty; +\infty) \det(\mathbf{S}) > 0$.

Доказательство.

Оценим определитель матрицы \mathbf{S} снизу. Для этого воспользуемся выражением для определителя из утверждения 2.

Принимая во внимание выражения для M и J из (1):

$$M - \tilde{m} = M - \sum_{i=1}^n \frac{a_i^2}{J_i} = M_{\text{PO}} + \sum_{i=1}^n m_i - \sum_{i=1}^n \frac{m_i^2 \varepsilon_i^2}{J_{C_i} + m_i \varepsilon_i^2} = M_{\text{PO}} + \sum_{i=1}^n \frac{J_{C_i} m_i}{J_{C_i} + m_i \varepsilon_i^2} > 0.$$

$$\begin{aligned}
 & \left(M - \sum_{i=1}^n \frac{a_i^2 \sin^2 \varphi_i}{J_i} \right) - (M - \tilde{m}) = \left(\tilde{m} - \sum_{i=1}^n \frac{a_i^2 \sin^2 \varphi_i}{J_i} \right) = \left(\sum_{i=1}^n \frac{a_i^2}{J_i} - \sum_{i=1}^n \frac{a_i^2 \sin^2 \varphi_i}{J_i} \right) = \\
 & = \sum_{i=1}^n \frac{a_i^2 \cos^2 \varphi_i}{J_i} \geq 0 \Rightarrow
 \end{aligned}$$

$$\Rightarrow M - \sum_{i=1}^n \frac{a_i^2 \sin^2 \Phi_i}{J_i} \geq M - \tilde{m} > 0. \quad (11, a)$$

Точно так же показывается, что

$$M - \sum_{i=1}^n \frac{a_i^2 \cos^2 \Phi_i}{J_i} \geq M - \tilde{m} > 0. \quad (11, б)$$

$$\begin{aligned} J - \tilde{J} &= J - \sum_{i=1}^n \frac{a_i^2 r_i^2}{J_i} = J_C + M_{\text{PO}}(x_C^2 + y_C^2) + \sum_{i=1}^n m_i r_i^2 - \sum_{i=1}^n \frac{m_i^2 \varepsilon_i^2 r_i^2}{J_{C_i} + m_i \varepsilon_i^2} = \\ &= J_C + M_{\text{PO}}(x_C^2 + y_C^2) + \sum_{i=1}^n \frac{J_{C_i} m_i r_i^2}{J_{C_i} + m_i \varepsilon_i^2} > 0. \end{aligned}$$

$$\begin{aligned} \left(J - \sum_{i=1}^n \frac{a_i^2 r_i^2 \cos^2 \Psi_i}{J_i} \right) - (J - \tilde{J}) &= \left(\tilde{J} - \sum_{i=1}^n \frac{a_i^2 r_i^2 \cos^2 \Psi_i}{J_i} \right) = \sum_{i=1}^n \frac{a_i^2 r_i^2}{J_i} - \sum_{i=1}^n \frac{a_i^2 r_i^2 \cos^2 \Psi_i}{J_i} = \\ &= \sum_{i=1}^n \frac{a_i^2 r_i^2 \sin^2 \Psi_i}{J_i} \geq 0 \Rightarrow \left(J - \sum_{i=1}^n \frac{a_i^2 r_i^2 \cos^2 \Psi_i}{J_i} \right) \geq (J - \tilde{J}) > 0. \end{aligned} \quad (11, в)$$

Из (11, а), (11, б), (11, в) следует, что:

$$\forall \Phi_1, \dots, \Phi_n, \Psi_1, \dots, \Psi_n \in (-\infty; +\infty)$$

$$\left(M - \sum_{i=1}^n \frac{a_i^2 \sin^2 \Phi_i}{J_i} \right) \left(M - \sum_{i=1}^n \frac{a_i^2 \cos^2 \Phi_i}{J_i} \right) \left(J - \sum_{i=1}^n \frac{a_i^2 r_i^2 \cos^2 \Psi_i}{J_i} \right) \geq (M - \tilde{m})^2 (J - \tilde{J}). \quad (12)$$

Так как $\forall \Phi_1, \dots, \Phi_n, \Psi_1, \dots, \Psi_n \in (-\infty; +\infty)$:

$$M - \sum_{i=1}^n \frac{a_i^2 \sin^2 \Phi_i}{J_i} \leq M$$

и

$$\begin{aligned} \tilde{a}^2 - \left(\sum_{i=1}^n \frac{a_i^2 r_i \cos \Phi_i \cos \Psi_i}{J_i} \right)^2 &= \left(\sum_{i=1}^n \frac{a_i^2 r_i^2}{J_i} \right)^2 - \left(\sum_{i=1}^n \frac{a_i^2 r_i \cos \Phi_i \cos \Psi_i}{J_i} \right)^2 = \\ &= \sum_{i=1, j=1}^n \frac{a_i^2 a_j^2 r_i r_j}{J_i J_j} - \sum_{i=1, j=1}^n \frac{a_i^2 a_j^2 r_i r_j \cos \Phi_i \cos \Phi_j \cos \Psi_i \cos \Psi_j}{J_i J_j} = \\ &= \sum_{i=1, j=1}^n \frac{a_i^2 a_j^2 r_i r_j (1 - \cos \Phi_i \cos \Phi_j \cos \Psi_i \cos \Psi_j)}{J_i J_j} \geq 0, \end{aligned}$$

то, принимая во внимание (11, а),

$$\left(M - \sum_{i=1}^n \frac{a_i^2 \sin^2 \Phi_i}{J_i} \right) \left(\sum_{i=1}^n \frac{a_i^2 r_i \cos \Phi_i \cos \Psi_i}{J_i} \right)^2 \leq M \tilde{a}^2. \quad (13)$$

Аналогично показывается, что $\forall \varphi_1, \dots, \varphi_n, \psi_1, \dots, \psi_n \in (-\infty; +\infty)$:

$$\left(J - \sum_{i=1}^n \frac{a_i^2 r_i^2 \cos^2 \psi_i}{J_i} \right) \left(\sum_{i=1}^n \frac{a_i^2 \sin \varphi_i \cos \varphi_i}{J_i} \right)^2 \leq J \tilde{m}^2 \quad (14)$$

и

$$\left(M - \sum_{i=1}^n \frac{a_i^2 \cos^2 \varphi_i}{J_i} \right) \left(\sum_{i=1}^n \frac{a_i^2 r_i \sin \varphi_i \cos \psi_i}{J_i} \right)^2 \leq M \tilde{a}^2. \quad (15)$$

Далее:

$$\begin{aligned} \tilde{m} \tilde{a}^2 - \left(\sum_{i=1}^n \frac{a_i^2 \sin \varphi_i \cos \varphi_i}{J_i} \right) \left(\sum_{i=1}^n \frac{a_i^2 r_i \cos \varphi_i \cos \psi_i}{J_i} \right) \left(\sum_{i=1}^n \frac{a_i^2 r_i \sin \varphi_i \cos \psi_i}{J_i} \right) = \\ = \left(\sum_{i=1}^n \frac{a_i^2}{J_i} \right) \left(\sum_{i=1}^n \frac{a_i^2 r_i^2}{J_i} \right)^2 - \left(\sum_{i=1}^n \frac{a_i^2 \sin \varphi_i \cos \varphi_i}{J_i} \right) \left(\sum_{i=1}^n \frac{a_i^2 r_i \cos \varphi_i \cos \psi_i}{J_i} \right) \left(\sum_{i=1}^n \frac{a_i^2 r_i \sin \varphi_i \cos \psi_i}{J_i} \right) = \\ = \sum_{\substack{i=1, \\ j=1, \\ k=1}}^n \left(\frac{a_i^2 a_j^2 a_k^2 r_j r_k}{J_i J_j J_k} - \frac{a_i^2 a_j^2 a_k^2 r_j r_k \sin \varphi_i \cos \varphi_i \cos \varphi_j \cos \varphi_k \sin \varphi_j \sin \varphi_k \cos \psi_j \sin \varphi_k \cos \psi_k}{J_i J_j J_k} \right) = \\ = \sum_{\substack{i=1, \\ j=1, \\ k=1}}^n \frac{a_i^2 a_j^2 a_k^2 r_j r_k}{J_i J_j J_k} (1 - \sin \varphi_i \cos \varphi_i \cos \varphi_j \cos \varphi_k \sin \varphi_j \sin \varphi_k \cos \psi_j \sin \varphi_k \cos \psi_k) \geq 0, \end{aligned}$$

что означает

$$\tilde{m} \tilde{a}^2 \geq \left(\sum_{i=1}^n \frac{a_i^2 \sin \varphi_i \cos \varphi_i}{J_i} \right) \left(\sum_{i=1}^n \frac{a_i^2 r_i \cos \varphi_i \cos \psi_i}{J_i} \right) \left(\sum_{i=1}^n \frac{a_i^2 r_i \sin \varphi_i \cos \psi_i}{J_i} \right). \quad (16)$$

Таким образом, согласно формулам (12)–(16)

$\forall \varphi_1, \dots, \varphi_n, \psi_1, \dots, \psi_n \in (-\infty; +\infty)$ справедливо:

$$\begin{aligned} \det(\mathbf{S}) &\geq \left(\prod_{i=1}^n J_i \right) \left[(M - \tilde{m})^2 (J - \tilde{J}) - M \tilde{a}^2 - J \tilde{m}^2 - 2 \tilde{m} \tilde{a}^2 - M \tilde{a}^2 \right] = \\ &= \left(\prod_{i=1}^n J_i \right) \left[(M - \tilde{m})^2 (J - \tilde{J}) - 2 \tilde{a}^2 (M + \tilde{m}) - J \tilde{m}^2 \right]. \end{aligned}$$

В силу условия (6) получим, что

$$\begin{aligned} \forall \varphi_1, \dots, \varphi_n, \psi_1, \dots, \psi_n, \\ \varphi \in (-\infty; +\infty) \det(\mathbf{S}) > 0. \end{aligned}$$

Что и требовалось доказать.

При решении системы (2) численными методами выполнение условия (10) гарантирует, что на каждом шаге

она может быть разрешена относительно старших производных. Для этого на каждом шаге необходимо решить систему линейных алгебраических уравнений (2) относительно старших производных.

Для случая с двумя дебалансами старшие производные могут быть выражены в явном виде [6].

$$\begin{aligned}
\ddot{\varphi}_1 &= \frac{1}{\Delta}(G_2 K_1 + G_{12} K_2), \\
\ddot{\varphi}_2 &= \frac{1}{\Delta}(G_{12} K_1 + G_1 K_2), \\
\ddot{x} &= \frac{1}{M}(b_1 + a_1 \ddot{\varphi}_1 \sin \varphi_1 + a_2 \ddot{\varphi}_2 \sin \varphi_2), \\
\ddot{y} &= \frac{1}{M}(b_2 - a_1 \ddot{\varphi}_1 \cos \varphi_1 - a_2 \ddot{\varphi}_2 \cos \varphi_2), \\
\ddot{\varphi} &= \frac{1}{J}(b_3 - a_1 r_1 \ddot{\varphi}_1 \cos \psi_1 - \\
&\quad - a_2 r_2 \ddot{\varphi}_2 \cos \psi_2), \quad (17)
\end{aligned}$$

где

$$\begin{aligned}
K_1 &= \frac{a_1 \sin \varphi_1}{M} b_1 - \frac{a_1 \cos \varphi_1}{M} b_2 - \\
&\quad - \frac{a_1 r_1 \cos \psi_1}{J} b_3 + b_4, \\
K_2 &= \frac{a_2 \sin \varphi_2}{M} b_1 - \frac{a_2 \cos \varphi_2}{M} b_2 - \\
&\quad - \frac{a_2 r_2 \cos \psi_2}{J} b_3 + b_5, \\
G_1 &= J_1 - \frac{a_1^2}{M} - \frac{(a_1 r_1 \cos \psi_1)^2}{J}, \\
G_2 &= J_2 - \frac{a_2^2}{M} - \frac{(a_2 r_2 \cos \psi_2)^2}{J},
\end{aligned}$$

Литература

1. Румянцев С. А. Динамика переходных процессов и самосинхронизация движений вибрационных машин. — Екатеринбург : УрО РАН. — 2003. — 134 с.
2. Румянцев С. А. Моделирование динамики переходных процессов самосинхронизирующихся вибрационных машин // Изв. вузов: Горный журнал. — 2003. — № 6. — С. 111–118.
3. Румянцев С. А., Азаров Е. Б. Исследование нестационарной динамики вибро-транспортирующих машин с помощью математической модели // Транспорт Урала. — 2005. — № 4. — С. 45–50. ISSN 1815–9400
4. Маркеев А. П. Теоретическая механика: учебник для университетов. — М. : ЧеРо, 1999. — 572 с.
5. Гантмахер Ф. Р. Теория матриц. — М. : Наука. — 1966. — 576 с.
6. Румянцев С. А., Тарасов Д. Ю. О модификации одного численного метода решения задачи Коши для системы дифференциальных уравнений движения вибро-транспортирующих машин // Проблемы прикладной математики и механики: Сб. науч. трудов // Под общей ред. С. Л. Дерябина, д.ф.-м. н. — Екатеринбург: УрГУПС. — Вып. 58 (141) / 2 м. В 2-х т.; В 3-х ч. — Т. 2. — 2007. — 200 с.
7. Бахвалов Н. С. Численные методы. — М. : Наука, 1973. 631 с.

$$G_{12} = a_1 a_2 \left(\frac{\cos(\varphi_1 - \varphi_2)}{M} + \frac{r_1 r_2 \cos \psi_1 \cos \psi_2}{J} \right). \quad (18)$$

Предложенный метод решения задачи Коши для системы (1) обладает несколькими преимуществами.

Во-первых, при его использовании не требуется запоминания значений старших производных на предыдущем шаге (как в работах [1–3] и др.) ввиду того, что на каждом шаге система (1) может быть разрешена относительно старших производных.

Во-вторых, в силу разрешимости системы (1) относительно старших производных появляется возможность решать задачу Коши не только с момента старта ВТМ, но и начиная с любого момента, при условии, что известны значения обобщенных координат и скоростей в данный момент времени.

В-третьих, формулы (17), (18) в случае ВТМ с двумя дебалансами позволяют заменить метод Гаусса на прямые вычисления старших производных и тем самым сократить количество операций. Как показывают практические вычисления, шаг интегрирования может быть увеличен до 10^{-3} – 10^{-4} секунды, что дает существенный выигрыш по количеству вычислений. ■

Статья сдана в редакцию 3. 11. 2009 г.

А. В. Вохмянина

Математическая модель экономического обоснования уровня сервиса логистических центров

Конкуренция на рынке транспортных услуг создает необходимость совершенствования основной и дополнительной деятельности соответствующих организаций: недостаточно просто выполнить перевозку, необходимо сделать это качественнее и дешевле других. Основной инструмент, позволяющий достичь конкурентоспособности на рынке транспортных услуг, — логистика.

Назначение логистики — максимальное удовлетворение спроса на целевом рынке и повышение комфортности потребления основного товара или услуги. Логистика способствует повышению конкурентоспособности компании только в том случае, если запросы потребителей выполняются/удовлетворяются своевременно и точно.

Логистический сервис — это технологически грамотный комплекс товаропроводящих операций, обеспечивающий совершенствование производства и продажи товаров и максимальное удовлетворение спроса потребителей.

Логистический сервис предполагает управление материальными, финансовыми и информационными потоками при реализации цепей поставок от производителя готовой продукции до его конечного потребителя с обязательным условием минимизации затрат.

Вопросы, связанные с логистическим сервисом, представлены в работах зарубежных и российских специалистов. В работе Дж. Д. Бауэрсокса и Дж. Д. Клосса [1] рассмотрены условия организации логистического сервиса. Аналитические модели представлены в работах А. М. Гаджинского [2] и В. М. Николашина [3], вопросы управления качественными и объемными показателями рассмотрены в трудах С. М. Резера [4], Л. Б. Миротина и А. Г. Касенова [5].

Существующий подход к анализу и организации логистического сервиса заключается в выделении нескольких уровней сервиса, характеризующихся определенными технологическими, логистическими и экономическими показателями. Этот подход базируется на термине «уровень сервиса». Уровень сервиса η — количественная характеристика соответствия фактических значений показателя качества m и количества транспортных услуг оптимальным или теоретически возможным значениям этих показателей M [3]:

$$\eta = \frac{m}{M} \cdot 100\%. \quad (1)$$

Уровень сервиса определяется по формуле (1) как отношение выполняемого (фактического) объема отгрузки к общему объему спроса

на отгрузку и перевозку, предъявляемому к конкретному оператору: m — фактический объем отгрузки в месяц, контейнеры; M — общий спрос на отправление в месяц, контейнеры.

При определении уровня сервиса учитывают, что:

— для повышения спроса на основную услугу (перевозка) необходимо оказывать дополнительные услуги, повышающие качество и комфорт использования основной услуги, то есть создающие логистический сервис. К таким услугам относятся прогрессивные схемы доставки («just-in-time», «от двери до двери»), дополнительное информационное обслуживание (отслеживание местоположения груза в реальном времени), оказание дополнительных логистических услуг (промежуточное хранение и формирование партии поставки) и т. п.;

— для оказания дополнительных услуг необходимы денежные вложения, так как стоимость комплексной сервисной услуги (включающей и основную и ряд дополнительных услуг) возрастает, а значит, возрастает и цена такой услуги;

— покупатели заинтересованы в более высоком уровне (качестве) сервиса, потому что он помогает сократить расходы на смежные логистические процессы, выполняемые собственными силами, и готовы платить за такое качество (например, при перераспределении затрат на логистику можно сократить издержки на складирование и управление запасами, например, усовершенствовав технологию доставки и повысив на нее цену; совокупные затраты на логистику при этом сокращаются).

Традиционно считается, что от 60 % и выше логистические затраты на реализацию логистического сервиса растут экспоненциально [2], то есть

$$Z(\eta) = a_0 e^{a_1 \eta}. \quad (2)$$

Проиллюстрируем характеристику зависимости логистических издержек от уровня логистического сервиса по критерию прибыли на примере отгрузки среднетоннажных контейнеров одним из контейнерных операторов Екатеринбурга (данные статистических наблюдений за 20 месяцев, $n = 20$). Для этого выявим зависимость затрат и доходов от уровня логистического сервиса.

В таблице 1 приведены реальные данные работы контейнерного оператора.

Выявим экспоненциальную зависимость между исследуемыми признаками. Для этого уравнение (2) представим в виде

$$Z(\eta) = a_0 e^{a_1 \eta} = e^{A_0 + a_1 \eta}, \quad (2, a)$$

где A_0 , a_1 — параметры экспоненциального уравнения регрессии, рассчитываемые по формулам [6]

$$a_1 = \frac{n \sum_{i=1}^n \eta_i \ln Z_i - \sum_{i=1}^n \eta_i \sum_{i=1}^n \ln Z}{n \sum_{i=1}^n \eta_i^2 - \left(\sum_{i=1}^n \eta_i \right)^2};$$

$$A_0 = \frac{\sum_{i=1}^n \ln Z_i - a_1 \sum_{i=1}^n \eta_i}{n}. \quad (3-4)$$

$$a_1 = \frac{20 \cdot 106,6 - 17,9 \cdot 108,401}{20 \cdot 15,1 - (17,9)^2} = 2,467;$$

$$A_0 = \frac{122,9 - 2,467 \cdot 17,9}{20} = 4,213.$$

Таким образом, зависимость логистических издержек от уровня сервиса описывается уравнением

$$Z(\eta) = e^{4,213 + 2,467 \eta} = 67,578 e^{2,467 \eta}.$$

Индекс регрессии признаков рассчитывается с использованием общей σ_y^2 и остаточной σ_ϵ^2 дисперсий [6]:

$$R = \sqrt{1 - \frac{\sigma_{\varepsilon}^2}{\sigma_y^2}}, \quad \sigma_y^2 = \frac{\sum_{i=1}^n (y_i - \bar{y})^2}{n};$$

$$\sigma_{\varepsilon}^2 = \frac{\sum_{i=1}^n (y_i - y(\eta_i))^2}{n}, \quad (5-7)$$

где y — обозначение результативного признака, \bar{y} — средняя арифметическая величина результативного признака.

Средняя величина затрат за 20 мес. составляет $\bar{y} = 237,352$ млн руб./мес. По данным таблицы 1 рассчитываются общая и остаточная дисперсии; индекс регрессии принимает значение:

$$\sigma_z^2 = \frac{150395,7}{20} = 7520,7;$$

$$\sigma_{\varepsilon}^2 = \frac{14919,9}{20} = 746,9;$$

$$R = \sqrt{1 - \frac{746,9}{7520,7}} = 0,949.$$

Величина индекса регрессии, близкая к 1, свидетельствует о существенной зависимости логистических затрат от уровня сервиса.

Поле корреляции и экспоненциальное уравнение регрессии представлены на рис. 1.

Таблица 1

Расчет характеристик зависимости логистических затрат от уровня сервиса

Фактически отправлено, конт.	Спрос, конт.	Уровень сервиса, %	Затраты на сервис, млн руб.	Поступления от реализа- ции сервиса, млн руб.	Прибыль от сервиса, млн руб.
		η_i	Z_i	D_i	P_i
9507	12979	73,2	316,6	391,4	74,9
10530	14130	74,5	378,2	438,7	60,5
11347	14363	79,0	366,7	497,7	131,0
12800	16660	76,8	398,0	519,5	121,5
13810	16826	82,1	411,9	580,3	168,4
14413	18477	78,0	390,5	585,6	195,2
15603	18687	83,5	425,3	575,8	150,5
15960	19033	83,9	414,6	613,1	198,4
16656	19729	84,4	434,6	644,9	210,4
16949	19838	85,4	426,6	645,7	219,0
17282	20020	86,3	522,3	634,3	112,0
17673	20417	86,6	471,2	625,7	154,5
19344	20935	92,4	557,7	669,7	111,9
20344	21849	93,1	548,0	656,4	108,3
20186	22365	90,3	475,9	617,0	141,1
21400	22477	95,2	589,5	706,5	117,0
21565	22619	95,3	541,7	671,8	130,1
23574	24581	95,9	617,4	700,4	83,0
23648	24617	96,1	648,5	727,9	79,4
25913	26670	97,2	588,5	694,7	106,2
348504	397272	1729,2	9523,8	12197,0	2673,2

В таблице 2 и на рис. 2 представлены абсолютные и относительные приросты затрат в зависимости от уровня сервиса.

На поддержание базового уровня сервиса нужны относительно небольшие логистические издержки — та-

кое количество ресурсов, которое позволит обслуживать потребителей, не предъявляющих дополнительных требований к сохранности и срочности перевозки. При минимальном уровне сервиса не требуется каких-либо дополнительных услуг,

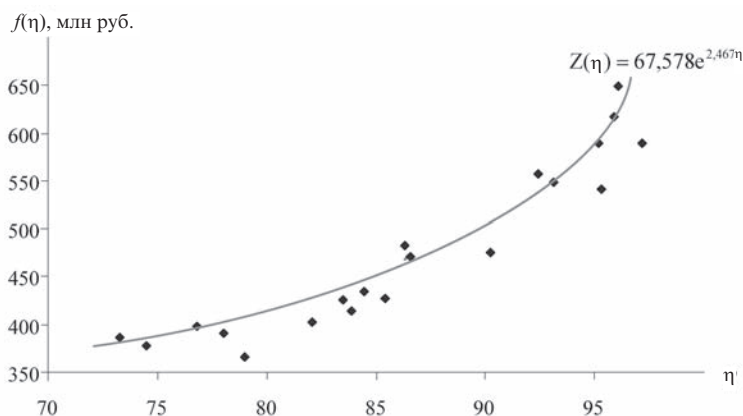


Рис. 1. Зависимость логистических издержек от уровня сервиса, %

Таблица 2

Определение приростов логистических затрат

Уровень сервиса, η	Затраты на сервис $Z(\eta)$, млн руб.	Прирост, Δ_z , млн руб.	Наращивание, млн руб.	Темп роста
70 %	324,7			
80 %	406,3	81,6		1,251
90 %	508,4	102,1	20,5	1,251
100 %	636,2	127,8	25,7	1,251

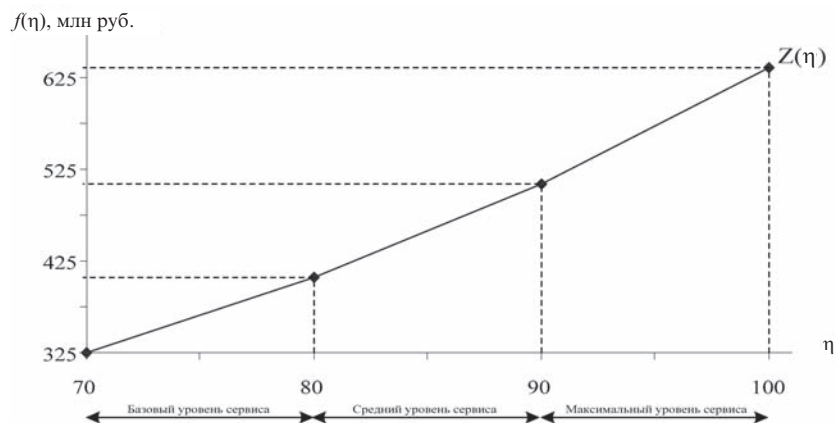


Рис. 2. Приросты логистических затрат, %

поддерживающих качественное обслуживание.

Средний уровень сервиса влечет за собой более интенсивное повышение затрат на каждый последующий процент. Здесь при оказании основной услуги предоставляются также услуги, пользующиеся наибольшим спросом (не требующие разработки новых технологий, но предполагающие инвестиции в их внедрение).

Максимальный уровень сервиса (услуга с добавленной стоимостью [4]) предполагает создание большого резерва основных средств и рабочей силы для производства логистической услуги — чтобы не только удовлетворять потребителей, но и быть готовыми к повышению спроса независимо от его характера (спонтанного, запланированного сезонного или тенденциозного). Главная характеристика максимального уровня сервиса — углубление спецификации основных и дополнительных услуг (предназначенных, в принципе, для небольшого числа потребителей).

Графическое изображение приростов и близкие значения темпов роста подтверждают экспоненциальный характер зависимости логистических затрат от уровня сервиса. Для повышения уровня логистического сервиса на начальном этапе требуются небольшие инвестиции (60–80 %), затраты на поддержание базового уровня сервиса растут медленно. С поддержания сервиса на уровне 80 % наблюдается более интенсивный рост затрат, что связано с созданием спецификаций сервиса, ориентированных на дифференцированный подход к обслуживанию разных групп потребителей. Формирование и поддержание сервиса на уровне выше 90 % характеризуется еще большей интенсивностью роста затрат, которые большей частью не окупаются. Поэтому необходимо определить такой уровень сервиса, который, с одной

стороны, насытит рынок транспортных услуг и привлечет новых потребителей. С другой стороны, сервис не должен создавать дополнительных затрат, так как они могут отрицательно сказаться на себестоимости и цене транспортных логистических услуг и, в свою очередь, привести к снижению конкурентоспособности по ценовому фактору.

Решение относительно уровня сервисного обслуживания принимается исходя из двух основных критериев: а) совокупные рыночные издержки (складывающиеся из расходов на логистику и упущенной выгоды) и б) прибыль от реализации логистических услуг; в данной статье рассмотрим второй критерий оптимизации — прибыль.

Помимо затрат на оказание логистических услуг $Z(\eta)$, уровень сервиса влияет на денежные поступления от их реализации $D(\eta)$, а следовательно, и на прибыль: $P(\eta) = D(\eta) - Z(\eta)$.

Зависимость денежных поступлений от оказания логистического, как и затраты на его поддержание, описывается прямой связью. Повышение качества сервиса, как правило, повышает конкурентоспособность компании на рынке логистических услуг.

Зависимость денежных поступлений от уровня сервиса можно описать логарифмической кривой:

$$D(\eta) = b_0 + b_1 \lg \eta. \quad (8)$$

Параметры уравнения регрессии определяются по формулам [6]:

$$b_0 = \frac{\sum_{i=1}^n D_i \sum_{i=1}^n \lg^2 \eta_i - \sum_{i=1}^n D_i \lg \eta_i \sum_{i=1}^n \lg \eta_i}{n \sum_{i=1}^n \lg^2 \eta_i - (\sum_{i=1}^n \lg \eta_i)^2},$$

$$b_1 = \frac{n \sum_{i=1}^n D_i \lg \eta_i - \sum_{i=1}^n D_i \sum_{i=1}^n \lg \eta_i}{n \sum_{i=1}^n \lg^2 \eta_i - (\sum_{i=1}^n \lg \eta_i)^2}. \quad (9-10)$$

$$b_0 = \frac{12197 \cdot 0,113 - (-729,5)(-1,297)}{20 \cdot 0,113 - (-1,297)^2} = 746,0;$$

$$b_1 = \frac{20(-729,5) - 12197(-1,297)}{20 \cdot 0,113 - (-1,297)^2} = 2115,131.$$

Зависимость между признаками принимает вид

$$D(\eta) = 746,0 + 2115,0 \times \lg(\eta).$$

Рассчитаем индекс регрессии и необходимые для этого общую и остаточную дисперсии:

$$\sigma_D^2 = \frac{152031}{20} = 7601,6;$$

$$\sigma_\varepsilon^2 = \frac{22429,3}{20} = 1121,5;$$

$$R = \sqrt{1 - \frac{1121,5}{7601,6}} = 0,923.$$

Величина индекса, близкая к единице, подтверждает значимость построенной логарифмической модели регрессии. Поле корреляции и выравниваемые значения дохода от логистического сервиса представлены на рис. 3.

В таблице 3 и на рис. 4 представлены абсолютные и относительные приросты доходов в зависимости от уровня сервиса.

На рис. 4 видно, что при увеличении уровня сервиса интенсивность роста доходов сокращается, то же подтверждают уменьшающиеся относительных приросты, представленные в таблице 3. Все это подтверждает логарифмический характер взаимосвязи между признаками.

Логарифмическую зависимость между денежными поступлениями и уровнем сервиса можно охарактери-

зовать следующим образом: на начальном этапе доходы от сервиса растут достаточно интенсивно — это связано с более полным удовлетворением потребностей рынка. Затем рынок насыщается, и доходы от логистической деятельности растут с меньшей интенсивностью до тех пор, пока максимальный уровень сервиса уже не сможет привлечь потенциальных клиентов.

Оптимальный уровень сервиса определяется в точке, где прибыль (то есть разница между поступлениями и затратами) максимальна: $P(\eta) = D(\eta) - Z(\eta) \rightarrow \max$. Таким образом, функцию прибыли можно представить в виде разности функций поступлений и затрат:

$$P(\eta) = (b_0 + b_1 \lg \eta) - a_0 e^{a_1 \eta}, \quad (11)$$

$$P(\eta) = (747,0 + 2115,1 \lg \eta) - 67,6 e^{2,242 \eta}.$$

Функция дифференцируется и имеет точку экстремума.

$$P'(\eta) = \frac{b_1}{\eta \ln 10} - a_0 a_1 e^{a_1 \eta}. \quad (12)$$

$$P'(\eta) = \frac{918,6}{\eta} - 151,6 e^{2,242 \eta}.$$

На рис. 5 представлены графики уравнений затрат (2), доходов (8), прибыли (11) и график уравнения производной функции прибыли.

График прибыли приближен к форме параболы второго порядка, а значит, имеет точку максимума. Оптимальный уровень сервиса находим анализируя графики. Рассчитанный таким образом оптимальный уровень сервиса ($\eta_{\text{опт.}} = 87,3\%$) позволяет максимально удовлетворить специфические требования потребителей транспортных услуг, сохраняя при этом минимальную себестоимость и поддерживая на рынке конкурентную цену.

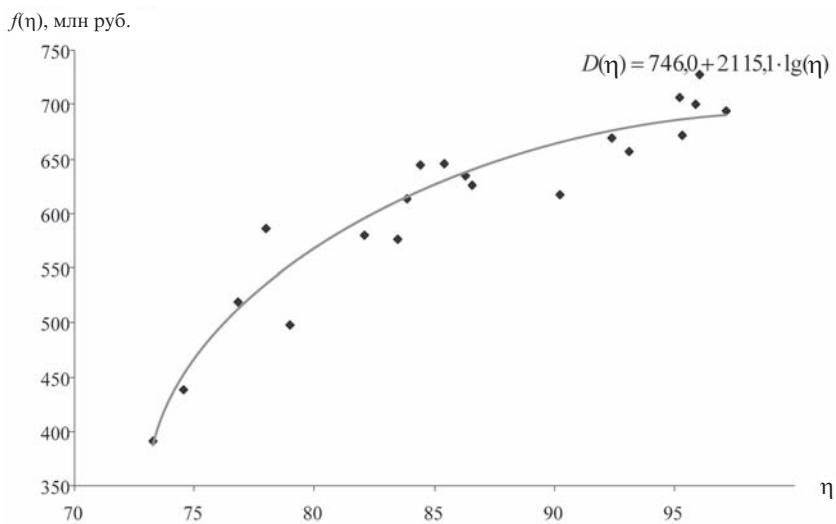


Рис. 3. Зависимость доходов от уровня сервиса, %

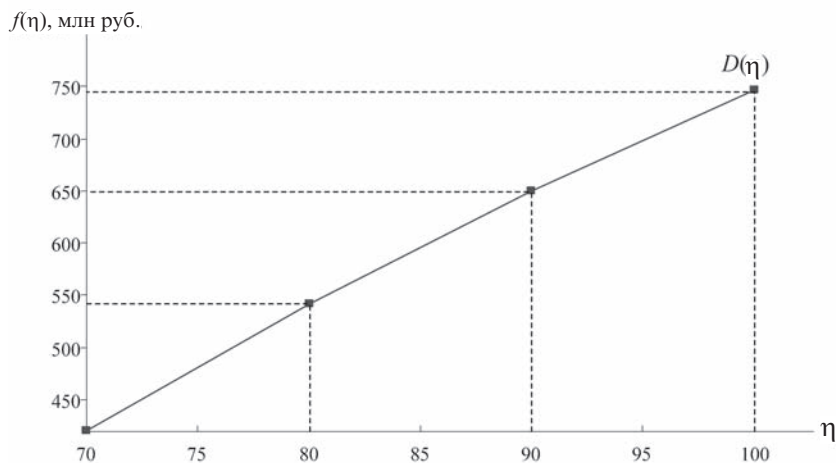


Рис. 4. Прирост доходов от логистического сервиса, %

Таблица 3

Определение приростов логистических затрат

Уровень сервиса, η , %	Денежные поступления $D(\eta)$, млн руб.	Прирост, Δ_z , млн руб.	Наращивание, млн руб.	Темп роста
70	419	—	—	—
80	542	123		1,292
90	650	108	—14	1,200
100	747	97	—11	1,149

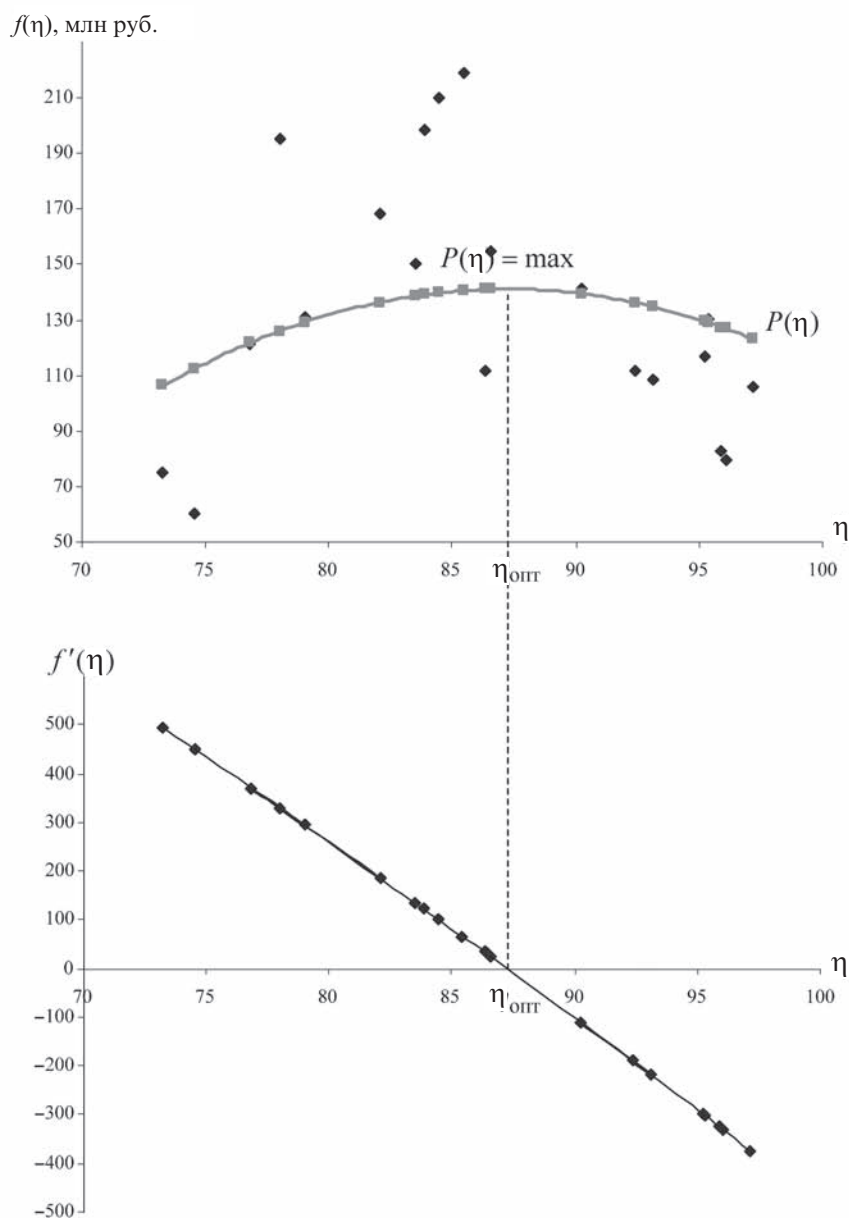


Рис. 5. Нахождение оптимального уровня сервиса

Величина оптимального уровня сервиса зависит, прежде всего, от характеристики груза: стоимость, правила перевозки и хранения, условия поставки. На востребованность сервисных услуг влияют характеристики регионального рынка транспортных услуг: покупательная способность,

традиции взаимоотношений поставщиков и покупателей, способности и возможности восприятия новых технологий оказания транспортных услуг.

Предложенный метод базируется на общей теории статистики и позволяет обобщить такие факторы, но для определения конкретных дополни-

тельных услуг, которые создадут сервис, необходимо рассматривать их более детально.

Таким образом, повышение уровня сервиса должно быть обоснованным. По-настоящему качественный, а значит, и более дорогостоящий сервис, с одной стороны, должен стимулировать повышение спроса на основ-

ную транспортную логистическую услугу. С другой, повышение спроса с одновременным увеличением денежных поступлений от реализации такого логистического сервиса, должно увеличивать заинтересованность специализированных компаний развивать и совершенствовать свою деятельность. ■

Литература

1. Бауэрсокс Дж. Д., Клосс Дж. Д. Логистика: интегрированная цепь поставок / Пер. с англ. — М. : ЗАО «Олимп-Бизнес», 2007. — 640 с. ISBN 0-07-006883-6.
2. Гаджинский А. М. Логистика: уч. для высших и средних специальных учебных заведений. — 8-е изд., перераб. и доп. — М. : Изд.-торг. корпораций «Дашков и К°», 2006. — 408 с. ISBN 5-94798-141-6.
3. Сервис на транспорте: учеб. пособ. для студентов вузов / В. М. Николашин, Н. А. Зудилин, А. С. Сеницына и др.; Под ред. В. М. Николашина. — М. : Издательский центр «Академия», 2004. — 272 с. ISBN 5-7695-1664-X.
4. Резер С. М. Логистика экспедирования грузовых перевозок. — М. : ВИНТИ РАН, 2002. — 472 с. ISBN 5-900242-31-5.
5. Миротин Л. Б., Ташбаев Ы. Э., Касенов А. Г. Логистика: обслуживание потребителей: уч. (Сер.: «Высшее образование»). — М. : ИНФРА-М, 2002. — 120 с. ISBN: 5-16000-97-79.
6. Общая теория статистики: статистическая методология в изучении коммерческой деятельности: уч. / Под ред. О. Э. Башиной, А. А. Спирина. — 5-е изд., доп. и перераб. — М. : Финансы и статистика, 2009. — 440 с. ISBN 5-279-01959-3.

Статья сдана в редакцию 8. 12. 2009 г.

ИССЛЕДОВАНИЯ МОЛОДЫХ УЧЕНЫХ

А. А. Цариков

Развитие методов расчета регулируемых узлов на улично-дорожной сети

Появление заторов на улично-дорожной сети, даже когда имеется запас пропускной способности, объясняется нечеткостью работы светофорной сигнализации и дорожно-транспортными происшествиями, которые ведут к увеличению длин очередей транспортных единиц, ожидающих обслуживания на перекрестке. Как правило, эта ситуация быстро распространяется на несколько ближайших узлов сети, может она перейти и на всю транспортную сеть с последующим отказом транспортной системы.

Именно поэтому резко возрастают требования к точности расчетов регулируемых транспортных узлов и элементов улично-дорожной сети городов. От их верного решения во многом зависит надежность функционирования транспортной системы в целом и эффективность реализации в ней отдельных транспортных процессов.

В конце 50-х годов Т. Метсон (США) предложил формулу расчета цикла регулирования [1]. Эту формулу можно использовать при раз-

ных количествах фаз и циклов регулирования для любой схемы организации движения, которую можно было реализовать контроллерами того времени:

$$C = \frac{3600 \sum_{x=1}^m K_x}{3600 - \sum_{x=1}^m V_x D_{KX}}, \quad (1)$$

где C — длительность цикла регулирования, с; K_x — коэффициент, равный 4,75; V_x — интенсивность движения, авт/ч; D_{KX} — интервал движения автомобилей, начинающих движение со стоп-линии (для прямого потока принимается равным 2,1 с), с.

Но формулу (1) нельзя использовать в случае организации движения одного из направлений в две фазы. Кроме того, формула неточна в условиях насыщенных потоков.

А. А. Поляков заметил, что процесс движения автомобилей на перекрестке и в зоне перекрестка после остановки сильно различается по характеру и последовательности элементов движения [2]. В схеме расчета про-

пусковой способности перегона главенствует процесс торможения автомобиля, поэтому необходимо определить величину наименьшего (безопасного) расстояния между движущимися автомобилями при различных скоростях движения.

Этапы движения автомобилей через перекресток: замедление и остановка автомобилей перед пересечением; стоянка в ожидании пропуска; пуск автомобилей после появления сигнала, разрешающего движение; ускорение и прохождение пересечения с ограниченной скоростью.

Общая длительность цикла двухфазного регулирования А. А. Поляковым определялась как [3]

$$A = \frac{2(t_0 + c - q)}{1 - \frac{q(m_1 + m_2)}{3600}}, \quad (2)$$

где A — полная длительность цикла смены сигналов, с; t_0 — длительность реакции водителя и период приведения в движение первого автомобиля после появления зеленого сигнала, с; c — длительность периодов желтого сигнала, с; q — средний интервал между автомобилями, выходящих со стоп-линии, с; m_1 и m_2 — количество легковых автомобилей, пропускаемых по пересекающимся расчетным наиболее нагруженным полосам проезжей части за цикл.

Для трехфазных схем регулирования применялась аналогичная формула:

$$0,8A = 3t_0 + q_1m_1 + q_2m_2 + q_3m_3 - (q_1 + q_2 + q_3). \quad (3)$$

Формулы А. А. Полякова довольно просты, но в них есть недостатки: сложность определения длительности циклов, ограниченность применения. Да и интервалы движения между автомобилями в то время были несколько большими, чем сейчас.

Устранить недостатки формул (1)–(3) попытались В. А. Владимиров и Г. Д. Загородников на основе исследований закономерностей движения автомобилей [4]. Эмпирические формулы В. А. Владимирова для расчета длительности цикла регулирования:

$$T = \frac{\sum_{i=1}^m M_i}{14}, \quad (4)$$

где T — длительность цикла регулирования, с; M_i — удельная интенсивность движения по каждому конфликтному направлению регулирования в приведенных единицах на одну полосу, ед./ч · полоса.

Формулы В. А. Владимирова устранили недостатки формул (1)–(3). Но дальнейшие исследования закономерностей управления движением на регулируемых пересечениях показали, что процесс расчета гораздо сложнее, чем это предполагалось в 40–50-х годах. На цикл регулирования влияет не только интенсивность движения, но и ширина полос движения, уклоны проезжей части, радиусы поворотов, состав транспортных потоков и т. д.

В 1966 г. Ф. Вебстер предложил новую по тем временам методику расчета длительности циклов регулирования [8]. Отличительной особенностью методики стал учет новых факторов, характеризующих состав и характер движения. В основу математической модели была заложена минимизация задержки автомобиля. Поэтому формулы действительны только в пределах загрузки пересечения (по разным источникам — от 0,3 до 0,6 (0,8)).

Согласно формуле Вебстера, длительность основных разрешающих фаз рассчитывалась как

$$t_{\text{з.л.}} = \frac{y_i}{Y}(T_{\text{ц}} - L), \quad (5)$$

где y_i — фазовый коэффициент; Y — сумма фазовых коэффициентов; $T_{\text{ц}}$ — длительность цикла регулирования, с; L — сумма переходных интервалов, с.

Для определения фазовых коэффициентов и оптимальной длительности цикла регулирования применялись формулы

$$y_i = \frac{N_i}{M_{n_i}}; \quad (6)$$

$$T_{\text{ц}} = \frac{(1,5L + 5)}{1 - Y}, \quad (7)$$

где N_i — интенсивность движения, ед./ч; M_{n_i} — поток насыщения, ед./ч; Y — сумма фазовых коэффициентов.

Вебстер также предложил формулу для расчета минимальной продолжительности цикла на основе минимизации длины очереди:

$$T_{\text{ц}} = \frac{L}{1 - Y}. \quad (8)$$

Формулы (5)–(8) служат основой для расчета тактов и циклов светового регулирования на перекрестках. Они не зависят от геометрии пересечения или состава транспортного потока, меняется только показатель потока насыщения [5].

Повысить точность расчета циклов регулирования попытался английский исследователь А. Миллер [6]. На основе его исследований было получено выражение оптимальной длительности цикла для двухфазного регулирования:

$$C = \frac{L + 2\sqrt{IL/S}}{1 - (y/\pi)}, \quad (9)$$

где C — длительность цикла регулирования, с; I — отношение среднего квадратического отклонения числа автомобилей, прибывающих к перекрестку за цикл, к среднему числу

этих автомобилей; L — длительность промежуточных тактов, с; S — поток насыщения в наиболее загруженной фазе, ед./ч; y — фазовый коэффициент для наиболее загруженной фазы.

Значение π в формуле (9) рассчитывается как

$$\pi = \frac{\sqrt{y_i I_i + 1,2\sqrt{y_i y_j} \left[\sqrt{(y_i I_j) - \sqrt{y_j I_i}} \right]}}{\sqrt{y_i I_i + \sqrt{y_j I_j}}}, \quad (10)$$

где i, j — направления с наиболее высокой интенсивностью движения с каждой из фаз перекрестка.

Формула Миллера сложнее, чем формула Вебстера, и ее применение требует значительно большего объема информации. Однако преимущество высокой точности расчетов при применении этой формулы невелики [7].

С 1950-го по 2000-й гг. в США опубликованы четыре редакции «Руководства по пропускной способности дорог» [7]. В них последовательность расчета цикла регулирования предполагает сначала определение потока насыщения для каждой полосы движения. С помощью коэффициентов влияния условий рассчитывается общий коэффициент и умножается на идеальный поток насыщения — S_o , значение которого в «Руководствах» 1965 и 1985 гг. выпуска принято равным 1800 ед./ч, а в последней редакции, 2000 г., — 1900 ед./ч [7]:

$$C = \frac{L X_c}{\left[X_c - \sum_i \left(\frac{V_i}{S_i} \right) \right]}, \quad (11)$$

где C — длительность цикла регулирования, с; L — сумма промежуточных тактов, с; X_c — критическая степень насыщения пересечения; V_i — интенсивность движения i -го направления, ед./ч; S_i — поток насыщения i -го направления, ед./ч.

Формула (11) в случае, если коэффициент $X_c = 1$, приобретает вид модели Вебстера (8) для расчета минимальной длительности цикла.

Длительность зеленого сигнала в [7] определяется как

$$g_i = \frac{(C - L)V_i}{S_i}, \tag{12}$$

где g_i — длительность зеленого сигнала, с

Для определения цикла регулирования с учетом направлений движения в узле необходимо корректное определение потоков насыщения по направлениям (ошибка в таком

расчете приведет к неэффективному процессу управления движением).

Ю.А Кременец определял поток насыщения как максимальную интенсивность разъезда очереди при полностью насыщенной фазе [5]. Другие трактовки определения потока насыщения представлены в таблице 1.

Как видно из таблицы 1, только канадский метод учитывает все автомобили в очереди, в других первые автомобили из расчетов выбрасывают.

Определим влияние этих автомобилей на общий поток насыщения. Для этого построим кривые значений потоков насыщения: фактические с учетом всех автомобилей,

Таблица 1

Методы определения потоков насыщения

Название	Фиксируемая часть автомобиля	Учитываемые автомобили
Минимально установившийся интервал	Задний бампер	С момента установления минимального интервала движения
Метод В. Ф. Вебстера	Передний бампер	Выбрасываются автомобили первых и последних 6-ти с такта
Метод без учета первых трех автомобилей	Задняя ось	Начиная с четвертого автомобиля
Метод без учета первых четырех автомобилей	Передняя ось	Начиная с пятого автомобиля
После 10-й с	—	Все автомобили после 10-й с
Метод А. Г. Левашева	Задний бампер	После достижения интервала насыщения
Канадский метод	Передний бампер	Все

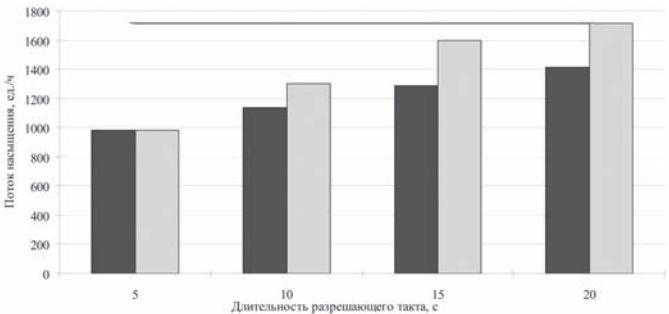


Рис. 1. Значение реального и принимаемого потока насыщения [1]

■ — фактический поток насыщения; ■ — поток насыщения для 5-секундного интервала
— — принятое значение потока насыщения

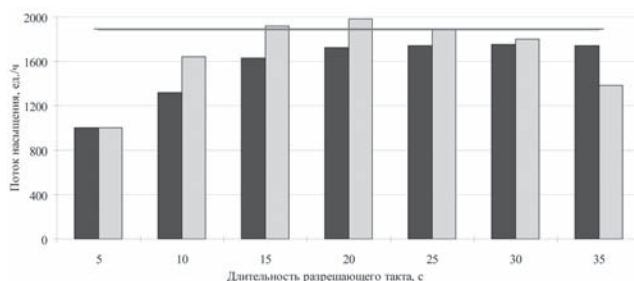


Рис. 2. Сравнение реального и принимаемого потока насыщения в зависимости от длительности

■ — фактический поток насыщения; □ — поток насыщения для 5-секундного интервала;
— — принятое значение потока насыщения

значение отдельных пятисекундных интервалов и принятое автором значение.

Как видно из рис. 1 и 2, принятые Гриншилдом и Вебстером значения потока насыщения гораздо выше, чем фактическое значение пропускной способности за время промежуточного такта. При длине зеленого сигнала 20 с значение потока насыщения завышено на 17 %, а при такте, равном 5 с, — на 43 %.

При такой разнице о высокой точности расчета не может быть и речи, особенно при регулировании насыщенных и минимальных потоков.

Для выявления закономерностей нами проведены экспериментальные исследования процессов движения автомобилей через стоп-линию (Екатеринбург, 2005–2008 гг.). Полученные числовые значения с помощью регрессионной модели были преобразованы в кривые зависимости потока насыщения от радиуса поворота и длительности разрешающего такта (рис. 3). Полученные зависимости показали значительное влияние длительности разрешающего такта на поток насыщения (до 20–25 с) и радиуса поворота до 40 м.

Влияние радиуса поворота и длительности разрешающих тактов на поток насыщения уточняют формулы расчета потока насыщения:

$$M_{H_{\text{лсв}}} = 79 + 1,3 \cdot t_{\text{зелен.}} - \frac{-0,02 \cdot t_{\text{зелен.}}^2}{100} M_{H(R)}, \text{ ед./ч.} \quad (13)$$

При радиусе поворота менее 40 м:

$$M_{H(R)} = 770 + 60 R - 0,74 R^2, \quad (14)$$

где $t_{\text{зелен.}}$ — длительность разрешающего такта, с; $M_H(R)$ — величина потока насыщения в зависимости от радиуса поворота (при радиусе поворота 40 и более метров принимается значение 1980), ед./ч; R — радиус поворота, м.

Полученные в результате экспериментальных исследований формулы, соответствовали достоверностью аппроксимации 0,95.

Применение формул с учетом длительности разрешающих тактов и радиусов поворотов позволяют точнее рассчитывать параметры светового регулирования на улично-дорожной сети. Однако на процесс движения автомобилей через регулируемый перекресток влияют факторы, которые в данный момент не исследованы. Это: конфликтное трамвайное движение; коэффициент сцепления автомобильных шин с дорогой; наличие пересекаемых трамвайных путей расположенных в одном уровне с проезжей частью, конфликтных транс-

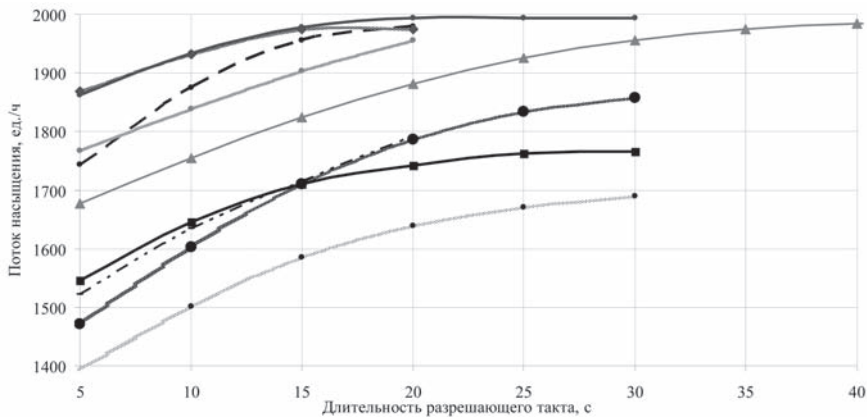


Рис. 3. Значения потоков насыщения в зависимости от длительности разрешающих тактов (Екатеринбург)

- 1 — Белинского, движение прямо; 2 — Малышева, движение прямо;
 3 — Фурманова, движение налево; 4 — Фурманова, движение налево (средний ряд);
 5 — Белинского, движение налево; 6 — Малышева, движение налево;
 7 — Машинная, движение налево (левый ряд);
 8 — Машинная, движение налево (средний ряд); 9 — Челюскинцев, движение налево

портных и пешеходных потоков, остановочных пунктов, а также помехи припаркованными автомобилями и др.

Таким образом, для определения оптимальной длительности цикла светофорного регулирования необходимо корректное определение потоков насыщения; принятые современ-

ными руководствами значения потока насыщения завышены на 17 % (при длине зеленого сигнала 20 с) и на 43 % (при такте, равном 5 с); радиус поворота и длительности разрешающего такта оказывают значительное влияние на величину потока насыщения до 40 м и 20 с соответственно. ■

Литература

1. Метсон Т. М., Смит У. С., Хард Ф. В. Организация дорожного движения (сокр. пер. с англ.). М. : Автотрансиздат, 1960. 460 с.
2. Печерский М. П., Хорович Б. Г. Автоматизированные системы управления дорожным движением в городах. М. : Транспорт, 1979. 176 с.
3. Поляков А. А. Организация и регулирование городского движения. М. : Изд. ЦНИИАТ НКВД РСФСР, 1941. 242 с.
4. Владимиров В. А., Загородников Г. Д. Инженерные основы организации дорожного движения. М. : Стройиздат, 1975. 455 с.
5. Кременец Ю. А., Печерский М. П. Технические средства регулирования дорожного движения: учеб. для вузов. М. : Транспорт, 1981. 252 с.
6. Печерский М. П., Хорович Б. Г. Автоматизированные системы управления дорожным движением в городах. М. : Транспорт, 1979, 176 с.
7. Левашев А. Г., Михайлов А. Ю. Основные параметры оценки пропускной способности регулируемых пересечений // ВИНТИ. 2004. № 3. С. 14–19.
8. Webster F. V., Cobbe B. M. Traffic Signals / Road Research Technical Paper N56, HMSQ, London, 1966. 111 p.

Статья сдана в редакцию 16. 11. 2009 г.

О.А. Пыталева

Определение оптимального количества транспортных средств городского пассажирского транспорта

Проблему загруженности улично-дорожной сети можно решить повышением эффективности работы городского пассажирского транспорта [1] и снижением негативного влияния развития коммерческого транспорта [2].

Снизить загруженность основных городских улиц и повысить безопасность дорожного движения также позволит определение оптимального количества транспортных средств городского пассажирского транспорта.

Оптимизационная математическая модель [1] учитывает фактические резервы пропускной способности элементов улично-дорожной сети и потребности в перевозках в качестве ограничений. Модель позволяет определить оптимальное (по критерию минимума задействованных в перевозках пассажирских транспортных средств) множество маршрутов для существующего уровня развития городской транспортной инфраструктуры.

При заданном варианте схемы движения автобусов (множество маршрутов обхода участков (вершин) улично-дорожной сети) для оценки эффективности варианта необходимо распределить автотранспортные средства так, чтобы обеспечить перевозку расчетного пассажиропотока и не превысить ограничения по пропускной способности участков.

В такой постановке математическая модель является линейной оптимизационной моделью. Целевая функция минимизирует суммарное количество автотранспортных средств, используемых на пассажирских перевозках по всем маршрутам заданного варианта схемы (1).

$$F = \sum_{k=1}^{k=K} (x_k^B + x_k^C + x_k^M) \rightarrow \min, \quad (1)$$

где x_k^B , x_k^C , x_k^M — количество транспортных средств соответственно большой, средней и малой вместимости, обслуживающих каждый k -й маршрут заданного варианта схемы.

Ограничение на пропускную способность запишется как

$$D_k^B x_k^B + D_k^C x_k^C + D_k^M x_k^M \leq D(i, j)_k, \\ k = 1, 2, \dots, K \quad (2)$$

где $D_k^{B, C, M}$ — коэффициент приведения интенсивности движения различных транспортных средств к легковому автомобилю; $D(i, j)_k$ — величина пропускной способности дуги улично-дорожной сети $(i, j)_k$, входящей в маршрут k движения транспортного средства.

Величина $D_k^{B, C, M}$ (2) определяется по формуле

$$D^{B, C, M} = N^{B, C, M} K^{B, C, M} K_{ав}, \quad (3)$$

где $K^{Б,С,М}$ — коэффициент приведения пропускной способности, используемой при движении транспортного средства разной вместимости, к величине пропускной способности, используемой при движении одного легкового автомобиля; $K_{ав.}$ — итоговый коэффициент аварийности.

Итоговый коэффициент аварийности определяется по формуле

$$K_{ав.} = \prod_{j=1}^m K_j, \quad (4)$$

где $j=1, 2, \dots, m$ — коэффициенты аварийности, включающие в себя коэффициенты: K_1 , учитывающий интенсивность движения; K_2 , учитывающий количество полос движения; K_3 , учитывающий ширину проезжей части; K_4 , учитывающий расстояния видимости в плане; K_5 , учитывающий продольный уклон (радиус кривых в плане); K_6 , учитывающий расстояние от застройки до проезжей части; K_7 , учитывающий сцепление колес с дорогой; K_8 , учитывающий наличие кругового движения; K_9 , учитывающий количество левых и правых поворотов; K_{10} , учитывающий количество пешеходных переходов; K_{11} , учитывающий характер перекрестка; K_{12} , учитывающий количество остановочных пунктов.

Условие обеспечения качества пассажирских перевозок:

$$Q_k^Б x_k^Б + Q_k^С x_k^С + Q_k^М x_k^М \geq Q(i, j)_k, \quad (5)$$

$$k = 1, 2, \dots, K,$$

где $Q_k^{Б,С,М}$ — количество пассажиров, перевозимых транспортным средством, при движении по k -му маршруту. Определяется по формуле

$$Q_k^{Б,С,М} = N_k^{Б,С,М} q^{Б,С,М}, \quad (6)$$

где $q^{Б,С,М}$ — вместимость транспортного средства большой, средней или малой вместимости, обеспечивающая перевозку пассажиров для дуг, входящих в состав расчетных маршрутов; $N_k^{Б,С,М}$ — количество оборотов одного автотранспортного средства на маршруте (см. формулы (3) и (5)), то есть

$$N_k^{Б,С,М} = \frac{1}{t_k^{Б,С,М}}, \quad (7)$$

где $V^Б, V^С, V^М$ — нормативная (эксплуатационная) скорость движения автотранспортных средств различной вместимости; $t_k^{Б,С,М}$ — время оборота автотранспортного средства большой, средней и малой вместимости соответственно на k -м маршруте, ч.

Для решения разработанной модели используется математическая система Matlab 6.5.

В результате проведения экспериментов с моделью определяется количество транспортных средств большой, средней и малой вместимости, близкое к оптимальному для каждого часа суток, формируется перечень перегруженных (по величине пропускной способности) участков улично-дорожной сети.

После проведения экспериментов на математической модели рассматривается возможность и необходимость улучшения схемы маршрутов, если существуют случаи неудовлетворения потребностей пассажиров в перевозках или/и исчерпан лимит пропускной способности участков транспортной сети.

Перейти новый вариант маршрутов и определение оптимального варианта их схемы можно при помощи одного из стандартных комбинаторных методов, например, методом ветвей и границ. Однако существующие здесь ограничения резко сокращают количество возможных вариантов схемы маршрутов — помимо основных

существуют дополнительные ограничения: на социально-значимые, устоявшиеся (изменение которых нецелесообразно) и обязательные маршруты. При переходе на новый вариант маршрутов эти дополнительные ограничения обязательно учитываются.

В результате моделирования и сравнения показателей схем движения пассажирского транспорта даются рекомендации по изменению количества и вместимости транспортных средств, работающих на маршрутах. Автобусы большей вместимости снизят загруженность улично-дорожной

сети при перевозке одинакового количества пассажиров, что, при прочих равных условиях, приведет к снижению уровня аварийности на городских дорогах и повысит качество городских пассажирских перевозок.

Разработанная математическая модель апробирована для условий г. Магнитогорска [4]. По результатам моделирования определено оптимальное количество пассажирских транспортных средств для каждого часа суток, разработана схема движения городского наземного пассажирского транспорта. ■

Литература

1. Рахмангулов А. Н., Корнилов С. Н., Пыталев И. А., Гридина О. А. Математическое моделирование схемы маршрутов движения городского пассажирского автотранспорта // Математика. Приложение математики в экономических, технических и педагогических исследованиях. Сб. науч. тр., под ред. М. В. Бушмановой. Магнитогорск, МГТУ, 2005. — С. 200–206.
2. Ларин О. Н., Смолин В. Н. Особенности управления пассажирскими перевозками в муниципальных образованиях // Транспорт Урала, 2009, № 2 (21). — С. 9–11. ISSN 1815–9906.
3. Сафронов Э. Методика оптимизации структуры парков подвижного состава пассажирского транспорта // Автомобильный транспорт, 2002, № 11. — С. 14–15.
4. Корнилов С. Н., Рахмангулов А. Н., Пыталева О. А. Повышение безопасности и качества пассажирских перевозок в г. Магнитогорске // Автотранспортное предприятие, 2009, № 7. — С. 41–44.

Статья сдана в редакцию 14. 10. 2009 г.

В ДИССЕРТАЦИОННЫХ СОВЕТАХ

Методологические основы формирования адаптивных механизмов организации вагоноремонтного комплекса

Отзыв официального оппонента — доктора технических наук Петрова Михаила Борисовича на диссертацию Сириной Нины Фридриховны, представленную на соискание ученой степени доктора технических наук по специальности 05.02.22 — Организация производства (транспорт, технические науки)

Актуальность темы исследования. Результатом структурного реформирования федерального железнодорожного транспорта явилось структурно-функциональное выделение обеспечивающих отраслевых подсистем, в том числе, и вагоноремонтного комплекса. От результатов его работы зависит обеспеченность системы исправными вагонами, а его производственная программа формируется объемами ремонтов как сетевых, так и, все в большей мере, прицепных вагонов. Необходимо разработать и отладить соответствующие организационные механизмы, которые обеспечивали бы эффективное функционирование и развитие вагоноремонтного комплекса с учетом специфики его обеспечивающей и сервисной роли и статуса. В частности, своевременна и адекватна постановка вопроса о проектировании адаптивных механизмов организации вагоноремонтного комплекса, обеспечивающих активное приспособление к меняющимся условиям его деятельности.

В связи с этим, тема настоящего диссертационного исследования представляются весьма актуальной и востребованной как в теоретическом, так и прикладном отношении.

Степень обоснованности научных положений, выводов и заключений, сформулированных в диссертации. Обоснованность научных положений, выводов и рекомендаций, сформулированных в диссертации, обеспечивается и подтверждается:

корректной постановкой цели и задач исследования и обоснованным применением современных методов их решения;

достаточно полным отражением в исследовании специфических отраслевых особенностей и системных свойств объекта исследования;

использованием в исследовании представительной фактологической базы по показателям вагоноремонтной деятельности;

корректным использованием категориального аппарата и математическим инструментарием;

изучением и глубоким анализом достаточного круга литературных источников, содержащих исследования отечественных и зарубежных авторов по системному анализу, теории управления и организации производства;

положительными результатами внедрения и апробации результатов диссертационного исследования.

Новизна и достоверность положений, выводов и рекомендаций исследования. В работе получены результаты, обладающие научной новизной и дающие приращение знаний в сфере методологии и системного моделирования организации производства применительно к особенностям и потребностям вагоноремонтного комплекса. К ним, прежде всего, следует отнести:

авторский подход к определению теоретико-методологических оснований описания, моделированию, анализу и синтезу механизмов организации вагоноремонтного комплекса в условиях изменений, внешних и внутренних воздействий;

концепцию и модель развития вагоноремонтного комплекса на основе элементов самоорганизации;

обоснованные теоретические положения адаптивного механизма функционирования вагоноремонтного комплекса;

модели количественной и качественной оценки хозяйственной деятельности в вагоноремонтном комплексе;

систему контроллинга вагоноремонтного предприятия, основанные на гибких процедурах, учитывающих изменения;

методику получения интегральной оценки производственно-хозяйственной деятельности вагоноремонтного предприятия, основанной на упорядочении и ранжировании показателей локальных оценок.

Все указанные выше положения непосредственно соответствуют

по содержанию «Паспорту специальности 05.02.22 ВАК РФ».

Наиболее ценные положения и результаты работы связаны с тремя группами организационных процессов ВК — регулированием развития в условиях статуса ограниченной самостоятельности, адаптацией и контролем на основе непрерывной настройки нормативов оценивания и норм ранжирования с построением матричной свертки локальных оценок отдельных сфер контроля деятельности вагоноремонтного производства в интегральные оценки.

Теоретические положения диссертации и разработанные в ней методики позволяют комплексно решать задачу координации деятельности структурных подразделений, обеспечения динамического соответствия совокупной потребности в ремонте вагонного парка и эффективного распределения ресурсов по вагоноремонтным предприятиям с тем, чтобы на основе системно-организационных принципов активности, прогрессивности, адаптивности, комплексности, дальновидности достигнуть эффективного сочетания преимуществ централизации управления с полноценной реализацией потенциала вагоноремонтных предприятий.

Решение задач диссертации и полученные в ней результаты излагаются в четкой логической последовательности. Диссертация объемом 263 страниц состоит из введения, шести глав, заключения, библиографического списка из 250 источников. К диссертации даны три приложения с экспериментальным материалом, использованным в расчетах, и четыре акта о внедрении. Автореферат диссертации соответствует содержанию работы.

Научная и практическая значимость исследования заключается в том, что сформулированные в нем теоретические положения, методоло-

гический подход и методический инструментарий позволяют на стадиях организационного проектирования, планирования, финансирования, оценки и контроля наиболее эффективно и гибко построить управление вагоноремонтным комплексом в образованной там иерархической системе. Полученные результаты и модельный аппарат могут быть применены для построения всего цикла адаптивной организации вагоноремонтного комплекса, особенно применительно к уровню вагоноремонтного предприятия. Решения, предлагаемые диссертантом, направлены на обеспечение эффективного текущего и перспективного управления деятельностью вагоноремонтных предприятий с тем, чтобы в наибольшей мере раскрыть их потенциал, сделать их активными элементами вагоноремонтного комплекса в условиях централизма его организации на сети железных дорог.

Практическое значение диссертации подтверждено успешным внедрением ее результатов в Центральной дирекции по ремонту грузовых вагонов ОАО «РЖД», ООО «Трансвагонмаш», ООО «Уралвагонкомплект» и ООО «Завод № 78». Предметом внедрений стали, в первую очередь, методика интегрированной оценки производства на основе принципа адаптивности и адаптивный механизм контроля.

Замечания по работе

В качестве замечаний и вопросов по диссертации хотелось бы отметить следующее.

1. В гл. 3 автор исходит из того, что процесс развития основан на самоорганизации, увязывающей потенциал, доход, прибыль и целевую функцию. Однако в таком случае этот процесс представлен лишь как процесс накопления капитала, что, видимо, существенно сужает процесс развития до одного из его аспектов. Развитие

моделируется здесь как рекуррентный процесс наращивания потенциала в зависимости от предыдущего потенциала и текущих вложений (формула 3.1 на стр. 133). В ней используются коэффициенты C , B , размерность и смысл которых не соответствует тому, что сказано о них на стр. 131 как об элементах механизма регулирования развития. В частности, B здесь отнюдь не является коэффициентом эффективности, а, скорее, коэффициентом текущего ввода основных производственных фондов.

2. Не вполне определен точный смысл широко применяемого в диссертации понятия «потенциал предприятия». По размерности он соответствует стоимости основных фондов. Но как он тогда увязывается с целевой функцией ВРП? В одном случае (гл. 3) можно понять, что она определяется как близость потенциала (q) и выхода (Y). Если это так, то недоинвестирование предприятий можно представить как адаптивную реакцию на неполную загрузку производственных мощностей или трудности формирования производственной программы ремонтов. В других же случаях (гл. 4) говорится, что предприятие ее (целевую функцию) стремится максимизировать. Как снимается это противоречие?

3. Почему в качестве самоорганизующегося элемента рассматривается иерархия ДРВ — ВРП? Что в плане самоорганизации можно сказать о ЦДРВ?

4. На каком уровне управления ВРК образуется и аккумулируется прибыль? Говоря о прибыли в распоряжении ВРП, автор делает поправку на налогообложение, хотя, казалось бы, речь здесь должна идти о каком-то коэффициенте самофинансирования, то есть о направлении централизованно образуемой чистой прибыли на развитие ВРП. Более того, формулой (3.4)

автор фактически отождествляет самоорганизацию и самофинансирование. Тогда какой же качественный смысл вкладывается в понятие самоорганизации?

5. Совершенно не понятно определение инвестиционной привлекательности ВРП (стр. 136)? Что это за формула?

6. По аналогии с механизмом самоорганизации, адаптивный механизм связывается автором с процессами прогнозирования, планирования и финансирования (стр. 143), то есть ресурсное обеспечение представлено лишь финансированием, что неверно, так как это означает, что материальные ресурсы должны приобретаться исключительно децентрализованно на местных рынках каждым ВРП. Но тогда заведомо не используется одно из основных преимуществ образованной в отрасли централизованной структуры.

7. Требуется пояснения сам процесс адаптации ВРП. В чем состоит выбор ВРП в отношении выхода (Y)? Ведь если, как утверждается на стр. 145, ему задан и план (X) и ресурс (финансирование?), то что оно может выбирать?

8. Как в схеме адаптивного механизма организации отражены возможности подсобно-вспомогательной

деятельности по ремонту частных вагонов?

Данные замечания не изменяют общей положительной оценки диссертационной работы. Часть из них связаны с обширностью и сложностью темы, дискуссионностью ее существенных аспектов.

В целом, представленная диссертация удовлетворяет требованиям ВАК РФ к докторским диссертациям и представляет собой завершенную научно-исследовательскую квалификационную работу, в которой на основании выполненных автором исследований изложены научно обоснованные организационно-технические решения и рекомендации по методологическим основам формирования адаптивных механизмов организации вагоноремонтного комплекса, что вносит существенный вклад в решение важнейшей отраслевой задачи — обеспечения эффективной деятельности по ремонту обслуживанию подвижного состава железных дорог в условиях хозяйственного разделения перевозок и инфраструктуры. Ее автор — Сирина Нина Фридриховна заслуживает присуждения ей ученой степени доктора технических наук по специальности 05.02.22 — Организация производства (транспорт, технические науки). ■

Официальный оппонент — доктор технических наук М. Б. Петров

Формирование интегрирующих транспортно-технологических комплексов и оптимизация их структуры

Отзыв официального оппонента **С.Н. Корнилова** на диссертационную работу **Воскресенского Игоря Владимировича**, представленную на соискание ученой степени кандидата технических наук по специальности 05.22.01 — Транспортные и транспортно-технологические системы страны, ее регионов и городов, организация производства на транспорте

Представляется, что актуальность темы диссертации, в первую очередь, обусловлена необходимостью развития транспортно-экспедиционного обслуживания потребителей.

В условиях плановой экономики грузовые потоки концентрировались на сравнительно ограниченном количестве направлений. В результате подобной концентрации грузопотоков предприятия-поставщики и предприятия-потребители транспортных услуг создавали и содержали мощную транспортно-складскую инфраструктуру для выполнения погрузочно-разгрузочных операций и обеспечения хранения грузов.

В современных условиях, в связи с дроблением крупных предприятий на более мелкие, сокращением объемов производства, образованием значительного количества предприятий различных форм собственности значительно сократились мощные грузопотоки и увеличились размеры мелкопартионных нерегулярных перевозок. Одновременно с этим значительно увеличились объемы местной работы.

Повысились требования потребителей транспортных услуг к качеству перевозок, что повлекло за собой усиление конкуренции на транспортном рынке.

Сложившаяся ситуация требует создания мультимодальных транспортных узлов, обеспечива-

ющих, с одной стороны, сборно-распределительные функции логистической дистрибуции грузов (товаров) внутри регионов, с другой, интеграцию региональных перевозок в магистральную сеть страны.

В этой связи задача формирования и оптимизации интегрирующих транспортно-технологических комплексов (ИТТК), работающих по единому технологическому процессу грузодвижения, основанному на принципах логистики, является весьма актуальной.

Второй момент, на который следует обратить внимание, — это недостаточная методологическая, теоретическая и практическая проработанность вопросов формирования и развития таких комплексов.

Поэтому поставленная автором цель диссертации — формирование интегрирующих транспортно-технологических комплексов и оптимизация их структур — вполне отвечает современным потребностям транспорта.

Обоснованность научных положений, выводов, рекомендаций и достоверность результатов подтверждаются: корректностью применения экспериментальных методов для проверки правильности результатов теоретических исследований; согласованностью полученных теоретических результатов с данными производственных испытаний; грамотностью и определенной оригинальностью применения

существующих и разработанных автором математических моделей надежности для определения структуры подсистем ИТТК и расчета оптимальных параметров элементов подсистем.

Результаты исследования непротиворечивы, обоснованы и подтверждаются результатами производственных испытаний разработанных автором модели и методики оптимизации организационных структур ИТТК.

Научная новизна полученных диссертантом результатов заключается: в предложенной автором концептуальной модели ИТТК как системы, включающей совокупность машин, механизмов и устройств по обслуживанию технологического процесса грузопереработки в транспортном узле; разработанной математической модели функционирования ИТТК, отличающейся системным подходом к организации взаимодействия ее элементов и обеспечивающей непрерывность процесса грузодвижения между корреспондирующими пунктами; исследовании параметров взаимодействия между элементами ИТТК, на основании которых разработаны математическая модель и методика определения выходных параметров комплекса; разработанных алгоритмах и модели многокритериальной задачи оптимизации организационных структур ИТТК.

Значимость исследования для науки и практики заключается в том, что результаты диссертационной работы направлены на повышение эффективности работы транспортных узлов, их грузопроводящей способности и снижение транспортных затрат, связанных с доставкой грузов потребителю. Данные результаты могут быть использованы при проектировании и формировании ИТТК, а также при оптимизации структур транспортно-технологических комплексов. Теоретические положения и практические рекомендации диссер-

тационного исследования могут быть использованы в учебном процессе при подготовке студентов вузов по специальности 190701 — Организация перевозок и управление на транспорте (железнодорожном и автомобильном).

Результаты работы в достаточном объеме отражены в 8 печатных работах, в том числе 2 работы опубликованы в изданиях, рекомендованных ВАК.

Общая характеристика работы

Диссертация состоит из введения, четырех глав, заключения, списка литературы из 117 наименований, приложения и материалов, подтверждающих использование результатов исследования в производстве. Работа изложена на 168 страницах машинописного текста, в том числе 141 страница основного текста.

ЗАМЕЧАНИЯ

Замечания по первой главе

1. На рис. 1.2, 1.3 (стр. 18, 19) приводятся общие структуры подсистем по выгрузке и погрузке массовых грузов. На рис. 1.4 (стр. 20) приводится схема проектирования системы грузодвижения в ИТТК.

Не совсем понятна взаимосвязь между этими рисунками.

2. В перечне ученых, занимавшихся теорией надежности систем со сложной структурой, отсутствуют основоположники данной теории (Нейман, Мур, Прошан).

Замечания по второй главе

1. В таблице «Основные параметры ИТТК как системы понятий» (стр. 35) приводятся такие параметры, как « $P_{3П}$ — вероятность занятости путей и маневровых площадок на фронте выгрузки», « $P_{ОПП}$ — вероятность отсутствия подвижного состава для разгрузки» и т. д.

Однако в дальнейшем не приводятся расчетные формулы и методики их определения.

2. В таблице «Основные параметры ИТТК как системы материальных объектов» (стр. 36) приводятся параметры « $K_{вр.}$ — режим использования подсистемы по времени», « $K_{вр.с}$ — режим работы склада по времени». Указанные параметры используются в дальнейших расчетах.

Непонятно, что подразумевает автор: коэффициент использования по времени, время работы или что-то другое?

3. В указанных таблицах (стр. 35, 36) для приводимых параметров не указаны единицы измерения.

4. На стр. 37 автор представляет в общем виде ИТТК как состоящий из трех подсистем и этим определяет границы рассматриваемого и управляемого ИТТК:

— обслуживание процесса погрузки груза от момента зарождения потока (добычи) до отправки груженого подвижного состава с пункта погрузки;

— транспортирование груза до места его приема у потребителя;

— переработка груза в транспортном узле, включая его прием и доставку в производство.

Не совсем понятно такое деление на подсистемы. Если ИТТК ограничивается транспортным узлом, тогда в его состав может входить только третья подсистема, так как пункты погрузки (первая подсистема) могут располагаться на значительном удалении от узла; для транспортировки груза потребуются магистральный транспорт (вторая подсистема).

5. Автор утверждает, что «теория надежности для исследования ИТТК ранее не применялась» (стр. 40).

Однако данная теория применялась для оптимизации работы транспортно-грузовых систем и комплексов! К сожалению, автор приводит лишь краткий анализ исследований в данной области, проведенных другими учеными.

6. Автор утверждает, что «... задачи исследования сложных систем, которые состоят из большого количества автономных устройств и механизмов, занятых выполнением единого многооперационного технологического процесса, до настоящего времени с позиций теории надежности не решены» (стр. 40).

Какие-то решены, какие-то нет?!

7. На стр. 44 приводится определение для технических систем: «В настоящее время под термином «надежность» понимают способность изделия (машин, механизмов) выполнять заданные функции, сохраняя свои эксплуатационные показатели в установленных пределах в течение требуемого промежутка времени (или требуемой наработки)», хотя в работе рассматриваются в большей степени организационные системы.

Надежность организационных систем — способность системы сохранять во времени в установленных пределах значения всех параметров, необходимых для выполнения требуемых функций в заданных режимах и условиях применения.

8. На стр. 43, 44 и далее в тексте применяются термины «периферия комплекса», «центры подсистем», но не приводятся их определения.

9. На стр. 44 путевое развитие, съезды, перегрузочные узлы, питатели отнесены к связующим элементам. Предлагается учитывать их в составе элемента, выполняющего определенную операцию.

При такой постановке непонятно, к какой подсистеме они относятся (погрузки, выгрузки, транспортирования) и что понимает автор под термином «элемент» — конкретный механизм, грузовой фронт, перегрузочный терминал?..

10. Некорректно использован термин «отказ»: «Любой простой центра подсистемы (исключая простой из-за

отсутствия груза, автомобилей и вагонов) считается ее отказом» (стр. 45).

В классическом представлении под отказом организационно-технологической системы, ее подсистем и элементов понимается неспособность объекта выполнять основные функции в полном объеме и в заданные сроки или выполнение их с недостаточной эффективностью!

11. На стр. 58 утверждается, что «приведенные зависимости (2.25)–(2.36) позволяют рассчитать технико-экономический эффект от усовершенствования определенных элементов системы».

Зависимости (2.25)–(2.36) определяют надежность элементов, интенсивность отказов, среднее время безотказной работы, среднее время восстановления работоспособности. Автор не поясняет, каким образом будет рассчитываться технико-экономический эффект.

12. Стр. 64, 65: «Если ... за цикл выполняются операции только с одной единицей подвижного состава, то количество обработанных единиц подвижного состава будет равно количеству циклов центра системы».

Это справедливо в том случае, когда погрузка (выгрузка) подвижного состава происходит за один цикл.

13. Для описания одного и того же процесса используются разные термины: «грузопроводящая способность комплекса» (стр. 66), «товаропроводящая способность» (стр. 67).

14. В формуле (2.79) (стр. 67) не согласованы между собой переменные и их единицы измерения.

15. Стр. 68: «При вероятностном поступлении груза и подвижного состава в подсистемы, в сумму времени на подготовительные и заключительные операции включается и время ожидания этих операций, рассчитанное методами теории массового обслуживания или имитационного моделирования».

Какие конкретные методы теории массового обслуживания или имитационного моделирования применял автор для расчета указанного времени?

Замечания по третьей главе

1. На стр. 70 утверждается, что «технико-эксплуатационные параметры ИТТК и их подсистем ... позволяют координировать весь технологический процесс товародвижения от грузообразования до его доставки в переработку или потребление так, что обеспечивается его непрерывность. При этом совокупные затраты на формирование и эксплуатацию системы минимальны».

Из текста диссертации не ясно, каким образом обеспечиваются непрерывность товародвижения и минимальные затраты на формирование и эксплуатацию системы.

2. На стр. 70 отмечается, что на протяжении нескольких лет проводились «натурные исследования» на крупных промышленных предприятиях.

Однако не приводятся цели, предмет исследований. Указывается, что исследованы комплексы погрузки и выгрузки сыпучих материалов с различным оснащением. То есть объектами исследований являлись подсистемы погрузки и выгрузки. Проводились ли исследования подсистемы транспортирования?

3. На стр. 71 утверждается, что «для каждого элемента, подсистемы и системы в целом должны быть определены модели их технической работоспособности и технологической совместимости элементов с центром системы (подсистемы)».

Что понимает автор под «моделями технической работоспособности»?

4. На стр. 72 указано: «Среди модулей (подсистем) по погрузке груза на горнодобывающих предприятиях наибольшее распространение

получили подсистемы с бункерной погрузкой ...».

Почему рассматриваются только горнодобывающие предприятия?

5. На рис. 3.1 (стр. 72) конвейерные тракты К для подачи концентрата со склада готовой продукции к погрузочным бункерам, линия продвижения ЛН подвижного состава, склад готовой продукции СГ размещены последовательно.

Однако работа конвейерных трактов на практике происходит параллельно транспортным операциям (надвигу)!

6. На стр. 95 рассматриваются четыре варианта освоения заданных перевозок. Утверждается, что «по результатам расчета оптимальным признан четвертый вариант».

Однако сами расчеты не приводятся, не указаны критерии оптимизации.

7. На стр. 96–97 приводятся результаты расчета потребного количества автомобилей для освоения заданного грузопотока. Приняты автомобили грузоподъемностью 30 т.

Какие конкретные марки автомобилей (грузоподъемностью 30 т) предполагается использовать на перевозках? Если речь идет о карьерных самосвалах БелАЗ, то их применение по дорогам общего пользования недопустимо!

8. В диссертации рассматриваются и сравниваются четыре варианта перевозок (стр. 98). В автореферате — только три (стр. 16)?

9. В первом выводе по 3 главе (стр. 100) сказано, что «взаимодействие между элементами подсистем погрузки в терминах теории надежности определяется показателем надежности при условии, что вероятности безотказной работы и восстановления подчиняются экспоненциальному закону распределения».

Из вывода следует, что при других законах распределения пока-

затель надежности не применим?!

10. Выводы третий, четвертый и пятый по главе 3 (стр. 101) не полностью отражают положения, рассмотренные в третьей главе.

Замечания по четвертой главе

1. На стр. 104 указывается, что «ИТТК может быть представлен в двух вариантах: 1) юридически самостоятельное предприятие, обслуживающее двух внешних или нескольких логистических партнеров ...; 2) логистическое звено транспортного узла».

Из дальнейшего текста не ясно, какой из вариантов рассматривает автор, или оба варианта?

2. На стр. 106 указывается, что «обязательной составляющей целевой функции являются ограничения по каждой подсистеме, определяемые едиными технологическими процессами грузодвижения в комплексе».

Каким образом ограничения могут быть составляющими целевой функции?

3. На стр. 106 утверждается, что «входные параметры (прим.: под которыми автор подразумевает коэффициент надежности, производительность системы, перерабатывающая способность и т. д.) вводятся в решение как факторы ограничения или функции цели при оптимизации структуры системы».

Что понимается под функцией цели?

4. На стр. 110 целевая функция представлена коэффициентом надежности и имеет вид неравенства (формула (4.10)). При этом предполагается, что ограничением является количество элементов, которое должно стремиться к минимуму. На стр. 112 (формула (4.12)) эта же целевая функция принята в виде ограничения.

5. На стр. 117 допущена опечатка: ссылка на несуществующую формулу (5.21).

Общие замечания по работе

1. Объектом исследования в работе принят интегрирующий транспортно-технологический комплекс машин, механизмов и устройств, включающий фронт погрузки груза у отправителя, его транспортирование любым видом транспорта, фронт разгрузки у грузополучателя, объединенных единым технологическим процессом на основе логистических принципов грузодвижения (ИТТК).

К логистическим принципам относятся следующие: принцип системного подхода; принцип учета логистических издержек на протяжении всей логистической цепи; принцип адаптивности логистических систем; принцип постоянного повышения уровня сервиса; принцип специализации. В работе в явном виде логистические принципы применительно к ИТТК не рассмотрены.

2. Не определены границы ИТТК. Это транспортный узел, экономический район, регион?

3. Автор утверждает, что «рассматриваемый комплекс обладает всеми признаками сложной системы».

Сложная система имеет следующие признаки: сложность; иерархичность; эмерджентность; структурированность. Эмерджентность — свойство системы выполнять заданную целевую функцию только системой в целом, а не отдельными ее элементами или подсистемами. Вопрос эмерджентности системы ИТТК в диссертационной работе рассмотрен не в полном объеме.

4. В процессе погрузки-выгрузки подвижного состава происходит его повреждение, что приведет к его последующему отказу (в терминологии автора).

Как учитываются данные отказы в разработанных автором моделях?

5. Чем оправдано применение экспоненциальной модели теории на-

дежности (постоянными являются интенсивность отказов и средняя наработка до отказа, что является существенным упрощением рассматриваемой системы)? В большинстве случаев интенсивность отказов во времени изменяется немонотонно. Почему нельзя было применить другие модели, в частности модель, в основе которой заложено распределение Вейбулла?

6. В работе подробно рассматривается надежность подсистем погрузки и выгрузки. Надежность подсистемы транспортирования, в частности для открытой системы, в явном виде не представлена.

7. В общих затратах на формирование и функционирование ИТТК транспортная подсистема учитывается только через затраты на простой подвижного состава.

8. При расчете экономической эффективности ИТТК использовались суммарные приведенные затраты. Целесообразней было бы использовать дисконтированные затраты.

9. Для расчета объема выборки при определении показателей надежности элементов ИТТК применялась теорема Чебышева, расчеты по которой достаточно сложны и громоздки. Гораздо проще, с аналогичной погрешностью, было бы использовать критерий Стюдента.

10. Практическая реализация и оценка ее экономической эффективности выполнены только для процесса оптимизации транспортной подсистемы. В диссертации не приводятся сведения по практической реализации и оценке экономической эффективности результатов работы для ИТТК в целом.

11. Автор рассматривает в работе переработку только массовых навалочных грузов. Не приводятся рекомендации по использованию результатов исследования для других видов грузов.

Отмеченные недостатки мало влияют на значимость исследования в целом, на главные теоретические и практические результаты, полученные автором.

Заключение

Диссертация Воскресенского Игоря Владимировича «Формирование интегрирующих транспортно-технологических комплексов и оптимизация их структуры» является законченной научно-квалификационной работой, выполненной самостоятельно на высоком научном уровне, имеющей как научное, так и практическое значение, и отвечает требованиям ВАК, предъявляемым к кандидатским диссертациям.

Полученные автором результаты достоверны, выводы и заключения обоснованы.

Работа базируется на достаточном числе исходных данных, примеров и расчетов. Она написана доходчиво, грамотно и аккуратно оформлена.

Автореферат соответствует основному содержанию диссертации. Результаты исследования в достаточном объеме опубликованы в печати и апробированы на различных конференциях. Автор может решать научные задачи на современном уровне и показал себя сформировавшимся научным работником.

Воскресенский Игорь Владимирович заслуживает присуждения ученой степени кандидата технических наук по специальности 05.22.01 — Транспортные и транспортно-технологические системы страны, ее регионов и городов, организация производства на транспорте. ■

Официальный оппонент — доктор технических наук С. Н. Корнилов

ИНТЕЛЛЕКТУАЛЬНАЯ СОБСТВЕННОСТЬ

УДК 681.3

Государственная регистрация № 0120.0412940

Отчет о научно-исследовательской работе

«Разработка методик управления информационными рисками предприятия»

Отчет 74 с., 21 рис., 2 табл., 15 источников.

Защита информации, информационный риск, оценка рисков, система управления информационной безопасностью, управление информационными рисками

Объектом исследования являются системы защиты информации.

Цель работы — построение эффективной системы принятия решений относительно управления защитой информации.

Понятия «оценка рисков» и «управление рисками» в области информационных технологий стали использоваться относительно недавно, и в настоящий момент вызывают постоянный интерес специалистов как в области обеспечения непрерывности бизнеса, так и в области информационных технологий. В России вопросы управления рисками законодательно подкреплены лишь в сфере банковских и страховых услуг. Тем не менее законодательная пустота в инициативном порядке заполняется действиями руководителей, осознающих важность и практическую пользу, которую может принести освоение этой новой управленческой области.

На современном уровне развития информационных технологий, выдвигающем на передний план новые требования к построению систем защиты информации и обеспечению информационной безопасности, функции управления информационными рисками, как правило, возлагаются на подсистему системы управления информационной безопасностью (СУИБ), а анализ информацион-

ного риска становится основной предпосылкой создания СУИБ. Таким образом, методики управления информационными рисками должны разрабатываться в рамках построения модели СУИБ и составлять ее основополагающую часть.

СУИБ представляют собой сложные системы с высоким уровнем неопределенности, поэтому их моделирование должно основываться на комплексном подходе с применением целого ряда методов и технологий. Основные функции СУИБ должны состоять в оценке степени критичности ситуации, связанной с нарушением информационной безопасности предприятия, организации, оценке уровня риска нарушения информационной безопасности и в поддержке принятия решения относительно действий в данной ситуации. Принятие решений в такой системе затруднено по ряду причин: не всегда возможно сформировать полное множество угроз информационной безопасности, количественно оценить степень критичности возникшей ситуации, построить прогноз ее развития. Другими словами, основная проблема заключается в зачастую неполных и неопределенных исходных данных о состоянии системы защиты информации, возможных угрозах, дестабилизирующих факторах.

В результате представленного исследования разработана модель СУИБ, позволяющая обеспечить поддержку принятия решений относительно выбора вариантов реагирования при возникновении потенциальной опасности нарушения информационной безопасности и достижения уровня информационного риска, превышающего допустимый уровень. Разработан метод оценки уровней выполнения функций безопасности СУИБ и уровня обеспечения информационной безопасности, учитывающий наличие неопределенности при проектировании, разработке и функционировании информационных систем, связанной с неизвестными событиями в будущем. Метод отличается от известных тем, что при его применении учитывается случайный характер нега-

тивных воздействий на информацию, а степень устойчивости информационной системы к негативным воздействиям может быть оценена с помощью показателей вероятностно-временного характера. Разработан метод прогнозирования значений показателей негативных воздействий в будущем на основе их значений, зафиксированных в предыдущие интервалы времени. На основе проведенных исследований разработана методика оценки уровня информационного риска, существенное отличие которой от известных состоит в том, что она позволяет оценивать вклад уровней выполнения различных компонентов защиты информации в оценку суммарного риска нарушения ИБ, а результатом является количественная оценка уровня информационного риска. ■

УДК 658.01.56:656.212.5.001.18

Государственная регистрация № 0120.0501179

Отчет о научно-исследовательской работе «Автоматизированная система прогноза поездообразования на сортировочной станции»

Отчет 98 с., 29 рис., 53 табл., 23 источника

Автоматизированная система управления, имитационная модель, оптимизационная модель, прогноз поездообразования, сортировочная станция

Объектом исследования являются автоматизированные системы управления сортировочными станциями.

Цель работы — исследование взаимодействия автоматизированной и информационной систем управления сортировочными станциями.

В настоящее время прогноз состава поездообразования рассчитывается диспетчерским персоналом практически вручную. Информацию о поездном положении приходится запрашивать отдельно, по каждому примыкающему направлению. Интегрированная картина подвода строится на бумаге или существует в сознании станционного (маневрового) диспетчера. При этом прогнозирование моментов

прибытия делается диспетчером самостоятельно на основе его опыта. Далее необходимо построить картину работы станции на ближайшие 4–6 ч и, в конечном счете, определить, когда и на какие назначения будет закончено накопление составов. Достоверность результата при таком подходе не превышает тридцати процентов. Анализ сложности проблемы позволяет сделать вывод, что получение достаточно точного прогноза возможно только на основе его автоматизации.

В процессе научно-исследовательской работы рассмотрены и реализованы научно-методические принципы расчета поездообразования на сортировочных станциях.

В результате работы было создано программное средство «Расчет прогноза поездобразования». Степень внедрения: программное средство принято в эксплуатацию на станциях Свердловск-Сортировочный, Пермь-Сортировочная, Войновка и др.

Автоматизированная система прогноза поездобразования на сортировочной станции позволяет обеспечить оперативный персонал информацией о прогнозе поездобразования на станции глубиной 4–6 час; обеспечить рациональное использование маневровых и технических средств станции.

По экспертным оценкам, полученным на основании обследования одной из крупнейших сортировочных станций на сети дорог (ст. Свердловск-Сортировочный), эффект от внедрения системы может быть

достигнут за счет уменьшения на 50 % суммарного непроизводительного времени ожидания локомотивными бригадами готовности к отправлению сформированных поездов; организации оперативного вызова и переброски бригад из другой системы в условиях всплесков прибытия поездов в расформирование и, как следствие, снижения ущерба от сверхнормативного простоя сформированных составов поездов из-за отсутствия бригад на 70 %; автоматизации труда диспетчерского персонала станции. В настоящее время диспетчеры на сортировочной станции «вручную» вычисляют время прибытия, анализируют составы прибывающих поездов, составляют график приема и обработки, прогнозируют поездобразование. Автоматизация этих процессов позволит сократить простои на 5–6 составо-часов в смену. ■

УДК 621.865.8

Государственная регистрация № 0120.0412950

«Моделирование мехатронных систем методами искусственного интеллекта»

Отчет 32 с., 12 рис., 1 таблица, 18 источников

Искусственный интеллект, мехатроника, экспертная система, интеллектуальная система управления, автоматизированные кузнечно-прессовые комплексы, обработки металлов давлением, интеллектуальные технологии обработки знаний

Объектом исследования являются методы разработки интеллектуальных систем управления и экспертные системы для процессов изготовления конструктивных элементов транспортного и энергетического машиностроения методами прессования, штамповки и гидрораздачи крупногабаритных изделий из алюминиевых, титановых и стальных специальных сплавов.

Цель работы — разработка концептуальных основ построения автоматизированных интеллектуальных комплексов для прессования крупногабаритных изделий из алюминиевых сплавов, штамповки крупногабаритных изделий из титановых сплавов и гидрорастяжения кольцевых заготовок большого диаметра из специальных сплавов.

Рассмотрены интеллектуальные технологии управления сложными мехатронными системами для их работы в условиях неполноты и нечеткости исходной информации, неопределенности внешних возмущений и среды функционирования с использованием методов искусственного интеллекта. Данные технологии предназначены, в частности, для интеллектуализации процессов обработки металлов давлением применительно к кузнечно-штамповочному производству.

Интеллектуализация процессов обработки металлов давлением предполагает разработку экспертных систем проектирования технологических процессов пластического деформирования изделий сложной конфигурации и создание интел-

лектуальных систем управления технологическими машинами и комплексами.

Приведен аналитический обзор существующих автоматизированных комплексов и линий прессования изделий из алюминиевых сплавов и кузнечно-штамповочных комплексов для штамповки изделий из титановых сплавов. Предложены интеллектуальные системы управления процессом изотермического прессования и штамповки изделий из легких сплавов.

Показана возможность применения автоматизированных комплексов для производства конструктивных элементов транспортных систем.

В процессе работы была практически опробована система бесконтактного замера кольцевых заготовок на прессе усилием 300 МН.

В результате были разработаны структурные схемы интеллектуальных систем управления мощных гидравлических прессов усилием до 300 МН.

Основной результат работы выражается в разработке принципиальных схем построения интеллектуальных систем управления мощных кузнечнопрессовых технологических комплексов.

Степень внедрения — частичное промышленное опробование автоматизированной системы управления процессом гидрораздачи кольцевых заготовок.

Эффективность работы состоит в разработке принципиально нового подхода к интеллектуализации кузнечно-прессового производства для различных отраслей машиностроения. ■

УДК 629.46: 656.071.8

Государственная регистрация № 0120.0412943

Отчет о научно-исследовательской работе «Совершенствование методов теплового контроля буксовых узлов»

Отчет 57 с., 30 рис., 4 табл., 8 источников

Температурный режим буксового узла, тепловой поток, математическая модель, диагностическая модель бесконтактного теплового контроля, кассетный подшипник

Объектом исследования является тепловое состояние буксовых узлов в контексте бесконтактного теплового контроля.

Цель работы — разработать методологию теоретических и экспериментальных исследований температурных режимов буксовых узлов с подшипниками разных типов, провести сравнительные исследования буксовых узлов с коническими и цилиндрическими подшипниками и дать рекомендации для теплового контроля.

В настоящее время тепловой контроль буксовых узлов проходящих поездов ведется напольными средствами теплового контроля бесконтактным путем без учета:

— особенностей распределения тепловых потоков от подшипников к потенци-

ально контролепригодным зонам корпусов буксов, так как возможности использованных расчетных моделей сводились к оценке средних по объему и поверхности корпуса буксы температур;

— особенностей температурного режима буксов разнородного (грузовой, тяговый, пассажирский) подвижного состава с различными конструкциями тележек и буксов, в том числе с коническими подшипниками кассетного типа;

— влияния аэродинамических свойств рамы тележки, которые у отдельных типов тележек существенно определяют разный нагрев подшипников и корпусов буксов на первой и второй осях;

— изучения влияния на процессы теплового контроля в совокупности таких

факторов, как скорость движения поезда, колебания колесных пар во время движения, диаметр (износ) колес.

В процессе научно-исследовательской работы рассмотрены и реализованы научно-методические принципы моделирования и экспериментального исследования температурных режимов буксовых узлов с подшипниками различных типов.

В результате исследований:

- разработана расчетная методика оценки температурных полей буксового узла с подшипниками цилиндрического и конического типов, достоверность методики подтверждена проведенными в рамках работы экспериментальными исследованиями;

- на основе расчетной методики оценки температурных полей разработана диагностическая модель теплового бесконтактного контроля, позволяющая оценивать уровень сигнала в инте-

гральных температурах на приемнике инфракрасного излучения средства теплового контроля;

- получены конкретные данные о распределении температур в буксах с коническими подшипниками, а также сведения об информативности зон теплового контроля на поверхностях букс четных и нечетных осей высокоскоростного пассажирского подвижного состава;

- на основании теоретических и экспериментальных исследований буксовых узлов с цилиндрическими и коническими подшипниками предложены рекомендации по созданию алгоритма идентификации и контроля разнотипных букс вагонов существующими средствами теплового контроля на железных дорогах России, что позволило снизить число задержек по причине нагрева букс пассажирских и грузовых поездов с вагонами на кассетных подшипниках. ■

Патент № 2281873

Патентообладатель: Уральский государственный университет путей сообщения

Авторы: Салтыков Д. Н., Павлюков А. Э., Миронов А. А., Балабанов Е. В.

Устройство для автоматического торможения подвижного состава при сходе с рельсов

Изобретение относится к области железнодорожного транспорта, в частности, к системам контроля скорости или ускорения транспортных средств.

Цель изобретения — повышение надежности работы устройства путем введения дополнительного признака схода: увеличение частоты смещения инерционной массы в начальный момент схода вагона.

Практическая актуальность

При сходе подвижного состава с рельсов возникает аварийная ситуация, на последствие которой в значительной мере влияет время остановки поезда. В поездах, не оснащенных устройствами для автоматического торможения

подвижного состава при сходе с рельсов, машинисту зачастую сложно заметить сход вагонов, поэтому длительное время поезд может двигаться в аварийном режиме, разрушая при этом рельсошпальную решетку. Использование предлагаемого устройства позволит исключить движение поезда с сошедшими вагонами.

Устройство приводит в действие тормоз вагона только в том случае, когда имеются одновременно два признака, указывающих на сход подвижного состава: наличие смещений инерционной массы относительно внутренней камеры и превышение пороговой частоты этих смещений.



Рис. 1. Эскиз устройства регистрации схода

Ожидаемый результат

Использование устройства для автоматического торможения подвижного состава при сходе с рельсов позволит повысить уровень безопасности движения

поездов, а также значительно сократить затраты на восстановление подвижного состава и рельсоопальной решетки при сходе вагонов. ■

Патент № 2288126

Патентообладатель: Уральский государственный университет путей сообщения

Авторы: Тильк И. Г., Ляной В. В., Кривда М. А., Сергеев Б. С.

Способ управления движением поездов и система для его осуществления

Изобретение относится к управлению движением поездов и предназначено для управления подвижным составом.

Цель изобретения — увеличение пропускной способности для различных длин поездов, следующих по перегону.

Практическая актуальность

Управление движением поездов реализуется тем, что введены операции счета

осей отправляющегося поезда и включения или выключения сигнальных точек. По системе управления движение поездов указанная цель достигается тем, что на станции отправления устанавливается прибор счета осей колесных пар отправляющегося поезда, а аппаратуру сигнальных точек оборудуют ключами. При выходе поезда со станции на перегон выполняют

счет числа осей колесных пар поезда, затем, в зависимости от полученного результата, изменяют количество и длины блок-участков перегона таким образом, что чем больше количество подсчитанных осей колесных пар, тем меньше число блок-участков и больше их длина и наоборот.

Использование

Наиболее оптимальной областью применения предлагаемого изобретения является автоблокировка, в которой вместо рельсовых цепей используется принцип контроля наличия поезда на блок-участке при помощи счета осей колесных пар.

Система ЭССО предназначена для:

- контроля свободы (занятости) участка пути любой сложности и конфигурации методом счета осей;
- замены рельсовых цепей на станциях при пониженном сопротивлении изоляции или применении металлических шпал (совместно с электрической централизацией);
- контроля свободы перегона при полуавтоматической блокировке;
- контроля свободы (занятости) блок-участков при автоматической блокировке любой системы (кроме кодовой);
- контроля свободы стрелочных и бесстрелочных участков в системах горочных автоматических централизаций;

— фиксации факта прохождения осей подвижных единиц в системах ПОНАБ и ДИСК.

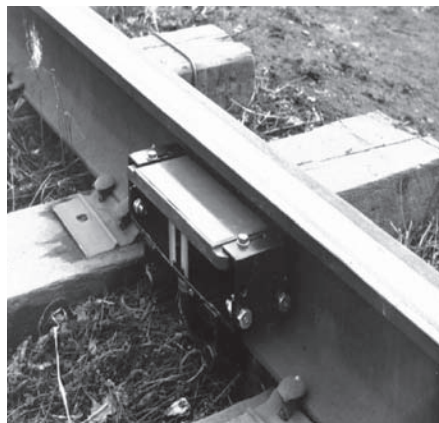


Рис. 1. ЭССО

Ожидаемый результат

Предлагаемый способ управления движением поездов и применение системы для его осуществления позволяет определить функциональную зависимость длин блок-участков и их числа от длины отправляющегося поезда и использовать ее для увеличения пропускной способности перегонов при движении по перегону поездов разной длины. ■

АННОТАЦИИ

УДК 656.073

И. П. Владимирская

Метод оптимизации подвода грузов потребителю при наличии случайных факторов

Аннотация

Рассмотрены в стохастической постановке варианты взаимодействия отправителя и получателя при формировании задачи оптимизации подвода грузов.

При рациональной организации взаимодействия производителей и получателей и случайном во времени разбросе доставки и потребления возникают дополнительные затраты двух типов: затраты на дополнительное хранение грузов при раннем прибытии и ущерба от недопоставки при позднем.

Динамическая транспортная задача с задержками в стохастической постановке позволяет рассчитать такие ритмы отправления поставок, при которых ущерб при наличии случайных колебаний по времени доставки и ритмах потребления будет минимальным.

Ключевые слова: взаимодействие отправителя и получателя; стохастическая задача; затраты на хранение; ущерб от недопоставки; динамическая структура потоков.

UDC 656.073

I. P. Vladimirskaia

Optimization method of cargo admission for the customer in the presense of random factors

Annotation

The article considers the variants of sender-receiver interaction when forming the task of cargo admission optimization in stochastic production.

Under rational organization of producer-receiver interaction and random time scatter of delivery and consumption there are two kinds of additional costs, namely costs for the extension cargo storage un-

der early delivery and loss because of the short delivery.

Dynamic transportation task with delays in stochastic production allows to calculate the delivery dispatching rhythms, under which the loss in the presence of random variation of delivery time and consumption rhythms will be minimum.

Key words: sender-receiver interaction; stochastic task; costs for storage; short delivery loss; dynamic structure of streams.

УДК 658.014

С. В. Сизый, В. К. Фомин

Оценки экономической привлекательности предприятий с использованием линейных форм

Аннотация

Приведены разработка и анализ методики формирования абсолютной и относительной оценок экономической привлекательности предприятий с использованием линейных оценочных форм от группы выделенных экономических показателей. В статье решается проблема обоснованного определения и назначения весовых нормировочных коэффициентов в оценочных линейных формах для их использования при оценке и ранжировании предприятий.

Ключевые слова: оценка предприятия, линейная форма, экономические показатели, весовые коэффициенты, ранжирование предприятий.

UDC 658.014

S. V. Sizy, V. K. Fomin

The assessments of enterprises economic attractiveness with the use of linear forms

Annotation

There is given the development and analysis of absolute and relative assessments forming method of enterprises economic attractiveness with the use of linear assessed forms

from a group of selected economic indicators. In the article there is solved the problem of a justified definition and weighting normalization coefficients assignment in assessed linear forms for their use during the assessment and ranking of enterprises.

Key words: assessment of enterprises, linear form, economic indicators, weighting coefficients, ranking of enterprises.

УДК 629.421.1

А. П. Буйнов

Влияние шероховатости посадочных поверхностей на надежность соединения «бандаж-обод» и ресурс колесных пар тягового подвижного состава

Аннотация

В статье показано, что оценка шероховатости посадочных поверхностей с помощью предлагаемого способа дает более точные и объективные результаты, что позволяет существенно повысить надежность и ресурс бандажей колесных пар, уменьшить количество случаев ослабления, сократить эксплуатационные расходы.

Ключевые слова: локомотив, колесная пара, бандаж, шероховатость, ресурс.

UDC 629.421.1

A. P. Bujnosov

Influence of landing surface roughness on reliability of 'band-rim' joint and durability of rolling-stock wheel pairs

Annotation

It's shown in the article that estimation of landing surface roughness using the suggested method provides more accurate and objective results, which in its turn allows to increase the reliability and durability of wheel pairs bands and to minimize the quantity of decaying cases and operating costs.

Key words: locomotive; wheel pair; band; roughness, durability.

УДК 656.2.222.4

С. А. Плахотич

Пропускная способность двухпутных участков в условиях обращения грузовых поездов различной массы и длины

Аннотация

Рассмотрена технология обращения параллельно с пассажирскими поездами грузовых поездов различной массы и длины (блок-поездов, длинносоставных, тяжеловесных, соединенных, легковесных). Предложена методика расчета размеров движения поездов различной весовой категории с использованием долей таких поездов в исходном поездопотоке.

Определены размеры увеличения пропускной способности на двухпутном участке в зависимости от количества вводимых в обращение двойных грузовых поездов (блок-поездов).

Ключевые слова: блок-поезд, двухпутный участок, интервал движения, пропускная способность.

UDC 656.2.222.4

S. A. Plakhotich

Traffic capacity of double-track districts under conditions of carrying the freight trains of various mass and length

Annotation

The article considers the technology of carrying freight trains of various mass and length (i. e. block-trains, long trains, heavy-tonnage, coupled and lightweight trains) simultaneously with passenger trains. The author offers the volume estimation method of various tonnage trains carrying with use of parts of such trains in the given trains stream.

The size of traffic capacity increase at the double-track district is defined depending on the quantity of put into use double freight trains (block-trains).

Key words: block-train, double-track district, traffic interval, traffic capacity.

УДК 531:518

С. А. Румянцев, Д. Ю. Тарасов

Условия разрешимости системы дифференциальных уравнений движения одномассной вибротранспортирующей машины относительно старших производных

Аннотация

В статье сформулированы условия, при выполнении которых система обыкновенных дифференциальных уравнений движения одномассной вибротранспортирующей машины (ВТМ) с произвольным количеством вибровозбудителей может быть разрешена относительно старших производных на каждом шаге интегрирования по времени. Полученная модификация математической модели дает возможность исследовать динамику машины не только с момента пуска, но и с произвольного момента времени, а также позволяет уменьшить количество вычислений при численном интегрировании системы.

Ключевые слова: вибрация, вибротранспортирующие машины, нелинейная динамика, дифференциальные уравнения движения, математическая модель.

UDC 531:518

S. A. Rumyantsev, D. Y. Tarasov

Conditions of solvability of differential equations of one-mass vibro-transportation machine with regard to major derivation

Annotation

The article states the conditions, under which the system of ordinary differential equations of one-mass vibro-transportation machine motion with the random number of vibroexciters may be solved with regard to major derivation on each step of integration by time. The obtained modification of mathematical model gives the opportunity of machine dynamics investigation not only from a start up, but from a random time moment and also lets to re-

duce the number of calculations with the system numerical integration.

Key words: vibration, vibro-transportation machines, non-linear dynamics, differential equation of motion, mathematical model.

УДК 658.014

С. В. Сизый, Н. А. Афанасьева

Равновесные состояния в организационных сетях. Критерий стабилизации взаимодействия

Аннотация

В работе предлагаются математические формулировки вариантов экономического взаимодействия для выделенной группы взаимодействующих узлов организационной сети и формулируются общие критерии стабилизации экономического взаимодействия в группах выделенных предприятий в терминах теории игр — оптимальности паритетных ситуаций взаимодействия.

Ключевые слова: экономическое взаимодействие, состоятельность предприятий, стабильность взаимодействия, оптимальная стратегия.

UDC 658.014

S. V. Sizy, N. A. Afanasieva

Equilibrium in organizational networks. The criteria of interaction stability

Annotation

In the work there are offered mathematical variant statements of economic interaction for a selected group of interacting organizational network junctions and there are formulated the general criteria of economic interaction stabilization in selected groups of enterprises in terms of game theory — optimality of parity interaction situations.

Key words: economic interaction, enterprises stability, interaction stability, optimal strategy

УДК 656.025.2:629.046

О. А. Пытелева

Определение оптимального числа транспортных средств городского пассажирского транспорта

Аннотация

Оптимальное число транспортных средств городского пассажирского транспорта определяется с помощью математического моделирования. Целевая функция модели минимизирует число транспортных средств разной вместимости с обязательным условием перевозки существующего пассажиропотока и не превышения пропускной способности улично-дорожной сети.

Ключевые слова: математическая модель, оптимизация, пассажирские транспортные средства, маршрутная сеть, организация движения.

UDC 656.025.2:629.046

O. A. Pyteleva

Optimal number detection of city passenger transport facilities

Annotation

Optimal number of city passenger transport facilities is detected with the help of mathematical modeling. The model objective function minimizes the number of transport facilities with different carrying capacities under the obligatory condition of the existent passenger traffic transportation which does not exceed the carrying capacity of street network.

Key words: mathematical model, optimization, passenger transport facilities, traffic road network, traffic regulation.

УДК 330.4

А. В. Вохмянина

Математическая модель экономического обоснования уровня сервиса логистических центров

Аннотация

Дано определение логистического сервиса. Выявлены закономерности изме-

нения финансовых показателей работы логистических компаний (расходов, денежных поступлений от реализации, прибыли) в зависимости от уровня логистического сервиса. Предложена модель анализа и оптимизации уровня логистического транспортного сервиса по критерию прибыли. Выделены и охарактеризованы уровни логистического сервиса.

Ключевые слова: логистический сервис; уровень сервиса; поступления от реализации; максимальная прибыль.

UDC 330.4

A. V. Vokhmyanina

Mathematical model of economic substantiation of logistic centers service level

Annotation

There is given the definition of logistic service. There are detected finance indicators change regularities of logistic companies work (expenses, money receipts from selling, profits) depending on logistic service level. There are offered the analysis and optimization models of logistic transport service level by profits criteria. There are marked out and characterized logistic service levels.

Key words: logistic service, service level, receipts from selling, maximal profit.

УДК 656.113

А. А. Цариков

Развитие методов расчета регулируемых узлов на улично-дорожной сети

Аннотация

Рассмотрены методы расчета регулируемых узлов, применявшиеся в отечественной и зарубежной практике последние пятьдесят лет. Выбрана методика определения потока насыщения, учитывающая все автомобили в очереди. На основе экспериментальных исследований с помощью регрессионной модели получены зависимости потока насыщения от радиуса поворота и длительности разрешающего такта.

Ключевые слова: регулируемые узлы; организация движения; поток насыщения; безопасность движения.

UDC 656.113

A. A. Tsarikov

The development of calculation methods of regulated junctions on the street network

Annotation

There are investigated calculation methods of regulated junctions used in domestic and foreign practice for the last 50 years. There is chosen the method of saturation flux detection, taking into consideration all the cars in queue. On the basis of experimental researches with the help of regressive model was obtained saturation flux dependence on the radius turn and resolving time duration.

Key words: regulated junctions, traffic regulation, saturation flux, traffic safety.

УДК 338.2:338.124.4

М. Б. Петров

Приоритеты развития в условиях кризиса и после него

Аннотация

Рассмотрен комплекс антикризисных мер стратегического характера, направленный на развитие больших систем энергетики и транспорта. Для его осуществления необходимо проведение соответствующей государственной политики в сфере управления развитием важнейших инфраструктур на федеральном и на региональном уровнях. Показано, что в период конъюнктурного кризиса актуальность этих мер не снижается, а возникают дополнительные возможности для выбора в пользу большей системности политики развития и эффективной подготовки инфраструктур к посткризисному росту потребности в их услугах.

Ключевые слова: кризис; посткризисное развитие; регионы Урала; инфраструктура; управление развитием.

UDC 338.2:338.124.4

M. B. Petrov

Priorities of development during the crisis and after it

Annotation

There is investigated the complex of anti-crisis measures of strategic character directed to energetics and transport big systems development. For its realization it is necessary to lead proper national policy in the sphere of management development of important infrastructures on the federal and regional levels. It is shown that during the market crisis period the currency of these measures remains, and there appear new additional choice possibilities in favor of better systemic policy development and effective infrastructures preparation for post crisis increase of the needs in their services.

Key words: crisis, post crisis development, Ural regions, infrastructure, development management.

УДК 656:614.8

В. Л. Нестеров, В. И. Радченко

Методика оценки рисков чрезвычайных происшествий на транспорте

Аннотация

Изложенная методика позволяет определить риски чрезвычайных происшествий (ЧП) с учетом различных последовательностей событий, ведущих к ЧП, классифицировать причины ЧП по важности вероятных экономических последствий, а также оптимизировать распределение денежных средств на финансирование мероприятий по снижению рисков ЧП. Методика может быть использована в информационных технологиях для расчета рисков, вероятного экономического ущерба, формирования управленческих решений.

Ключевые слова: риск, чрезвычайное происшествие, факторы риска, человеческий фактор, квалификация, теория надежности, функция риска.

UDC 656:614.8

V. L. Nesterov, V. I. Radchenko

The method of risks assessment of emergency situations at transport

Annotation

The presented method lets to define risks of emergency situations (ES) with the regard to different situations sequence leading to ES; classify the causes of ES by importance of probable economic consequences and also lets to optimize money distribution for financing activities of ES risks reduction. The method may be used in IT for risks assessment, probable economic loss, formation of managerial decisions.

Key words: risk, emergency situation, risk factor, human factor, qualification, reliability theory, risk function.

УДК 656.259

С. С. Титов, И. Г. Тильк, А. Ю. Рожнёв

Исследование точечного канала связи с локомотивом (ТКС-Л)

Аннотация

В статье показана возможность использования помехоустойчивого кодирования сообщений автоматической локомотивной сигнализации, изучены некоторые кодеры, предложено применение кодов Гоппы и функций хэширования для противодействия не только техническим сбоям, но и целенаправленным действиям возможного злоумышленника в целях повышения защищённости передаваемой информации.

Ключевые слова: точечный канал связи; БЧХ-коды; коды Гоппы; биты CRC; хэш-функция.

UDC 656.259

S. S. Titov, I. G. Tilk, A. Y. Rozhnev

The investigation of point communication link with the locomotive (PCL-L)

Annotation

In the article there is shown the possibility of anti-interference encoding message usage of automatic locomotive signal-

ing, there are investigated some encoders, there is offered the application of Goppa codes and hash-functions for counteraction not only against technical failures, but also deliberate actions of a possible criminal for security improvement of transmitted information

Key words: point communicational link, BCH codes, Goppa codes, CRC bites, hash-function.

УДК 656.25, 621.391.82

А. В. Волынская

Результаты математического моделирования процесса поиска кодовых последовательностей с заданными корреляционными свойствами

Аннотация

Приведены новые, найденные автором путем математического моделирования псевдослучайные кодовые последовательности с квазиидеальной автокорреляционной функцией, длина которых значительно больше тринадцати. Сигналы систем автоматики, телемеханики и связи, сформированные в соответствии с найденными последовательностями, могут быть надежно выделены из помех, во много раз более мощных, чем сами сигналы.

Ключевые слова: надежность, помехоустойчивость, широкополосные сигналы, коды Баркера.

UDC 656.25, 621.391.82

A. V. Volynskaya

Results of mathematical modelling of code chain search process with adjusted correlated behaviour

Annotation

The article cites the new pseudo-random code chains with quasi-ideal autocorrelation function, which length is much more than thirteen. These code chains were investigated by the author using the methods of mathematical modeling. Signals of automation, telemechanics and communications systems, formed in accordance with found consistency, can be distinguished

from noises, which are much more intensive than the very signals.

Key words: reliability, noise immunity, broadband signals, Barker codes.

УДК 531:518

С. А. Румянцев, Г. В. Васильева,
О. Н. Алексеева

**Численное моделирование
динамики двухмассных
вибротранспортирующих машин
с расположением вибровозбудителей на нижней массе**

Аннотация

Статья посвящена исследованиям динамики вибротранспортирующих машин (ВТМ) с расположением вибровозбудителей на нижней массе. Исследование проводится методом численного интегрирования системы нелинейных дифференциальных уравнений движения машины при заданных начальных условиях.

Основное внимание уделено переходным динамическим процессам, сопровождающим пуск машины, и ударам, вызванным падением на рабочий орган крупных монолитов, соизмеримых по массе с самим рабочим органом. Результаты численного моделирования представлены в удобном для восприятия графическом виде.

Ключевые слова: вибрация, вибротранспортирующие машины (ВТМ), нелинейная динамика, дифференциальные уравнения движения, математическая модель.

UDC 531:518

S. A. Rumyantsev, G. V. Vasilyeva,
O. N. Alekseeva

**Numerical simulation
of two-mass vibro-transportation
machines dynamics with the
vibration exciters on the low mass**

Annotation

The article is devoted to investigation of vibro-transportation machines dynamics with the vibration exciters on the low mass. The investigation is led by numerical inte-

gration method of non-linear differential equations of machine motion under given initial conditions.

The main attention is paid to transition dynamic processes, accompanying the machine startup, and strokes caused by the fall of big monoliths on the movable operating tool comparable by mass with the movable operating tool itself. The results of numerical simulation are presented in a graphic form comfortable for perception.

Key words: vibration, vibro-transportation machine, non-linear dynamics, differential equations of motion, mathematical model.

УДК 658.014

В. М. Сай

**Организация сотрудничества
вузов железнодорожного
транспорта и компании «РЖД»**

Аннотация

Предложен вариант включения вузов железнодорожного транспорта как государственных бюджетных учреждений в формируемую холдинговую компанию. Определены цели создания имущественно-договорного холдинга. Определены условия возникновения холдинговых отношений между вузами и коммерческими структурами. Приведены некоторые характеристики организационной структуры научно-исследовательского комплекса холдинговой компании «РЖД».

Ключевые слова: холдинговые компании; холдинговые отношения; холдинги и вузы; организационные сети; планово-контрактные взаимоотношения.

UDC 658.014

V. M. Sai

**Organization of railway transport
universities and the company
russian railways collaboration**

Annotation

There is offered the variant of railway transport universities inclusion as state budget institutions in a forming holding company. There are defined the objectives of cre-

ating estate-contractual holding. There are defined the conditions of holding relations appearance between universities and business corporations. There are given some organizational structure characteristics of research scientific complex of the holding company Russian Railways.

Key words: holding companies, holding relations, holdings and universities, organizational network, planned-contractual relations.

УДК 621.332.32

А. В. Ефимов, А. Г. Галкин, А. В. Бунзя

**О сокращении времени
удаления гололеда с двойных
контактных проводов импульсно-
резонансным методом**

Аннотация

Представлены результаты исследований способа удаления гололеда с двойных контактных проводов путем пропуска по ним импульсов постоянного тока прямоугольной формы с частотой механического резонанса. Исследования выполнены с использованием численной модели соударения проводов, построенной на базе метода конечных элементов. Приведен расчет границ диапазона и скорости изменения частоты импульсов, обеспечивающих соударения контактных проводов в петле, содержа-

щей множество пролетов различной длины. Приводится описание алгоритма изменения частоты для сокращения времени удаления гололеда.

Ключевые слова: контактная сеть; удаление гололеда; импульсно-резонансный метод; метод конечных элементов; частота свободных колебаний.

UDC 621.332.32

A. V. Efimov, A. G. Galkin, A. V. Bunzya

**Ice removal time saving
from duplex contact -wire lines
by impulse-resonance method**

Annotation

There are given the research results of ice removal from duplex contact-wire lines by impulse transmission of square shaped direct current with mechanical resonance frequency. The investigations are made with the use of numerical model of wires collision built on the base of finite elements method. There is made the range limits and speed of impulses frequency change calculation providing contact wires collision in a loop containing a lot of passages with different length. There is given the description of frequency change algorithm for ice removal time saving.

Key words: contact network; ice removal; impulse-resonance method; method of finite elements; frequency of free motion. ■

Перевод А. В. Бочкаревой

НАУЧНЫЕ ИЗДАНИЯ УрГУПС

С. М. Скоробогатов.

Катастрофы и живучесть железобетонных сооружений (классификация и элементы теории). — Екатеринбург : УрГУПС, 2008. — 512 с.

ISBN 978-5-94614-114-7

Обобщены результаты исследований по картине трещинообразования поврежденных и разрушенных бетонных и железобетонных массивных конструкций и горных пластов. В стадии предразрушения массивные твердые тела превращаются в иерархическую систему блоков, вложенных друг в друга и разделенных сквозными или прерывистыми трещинами. Раскрытие неопределенности в трещинообразовании от начала до конца нагружения впервые описывается с помощью информационной энтропии при независимом ступенчатом поступлении сигналов о разрыве связей между блоками.

Новая концепция определения состояния конструкции при любой степени нагружения заключается в применении полученного автором параметра резерва живучести конструкции, совпадающего по характеру изменения с информационной энтропией, что позволяет ввести в расчеты масштабный коэффициент. Введение в проектную практику нового критерия живучести означает расчет на продольную трещиностойкость сжатых зон изгибаемых конструкций, то есть новый этап расчета в нормативной методике предельных состо-

яний, повышающий долговечность конструкций. Новый параметр резерва живучести с учетом масштабного коэффициента способствует при обследовании установлению состояния конструкции, поврежденной нагрузкой неизветной величины, и определении целесообразности и способов устления.

В работе сделана попытка составления схемы расчета по определению предельного состояния горного пласта в сечении, совпадающем с разломом, независимо от перспективы действия тектонических сил, для предсказания сейсмоопасных регионов для строительства и проживания.

Теория и методика расчета предназначены для крупноразмерных и массивных конструкций, в том числе и мостов.

Книга адресована научно-техническим работникам при проектировании в целях сохранения окружающей среды от техногенных и природных катастроф, при определении сейсмоопасных для проживания и строительства регионов, а также при обследовании, усилении, восстановлении и реконструкции зданий и сооружений в условиях ликвидации последствий от катастроф и аварий.

Н. В. Буланов

**Взрывное вскипание диспергированных жидкостей.
Екатеринбург: Изд-во УрГУПС, 2009. — 232 с.**

ISBN 978–5–94614–147–5

Приведены результаты последних экспериментальных исследований по взрывному вскипанию (паровому взрыву) жидкости на низкотемпературных центрах кипения. До настоящего времени основное внимание уделялось его предельному случаю — вскипанию при температурах, близких к температурам предельного перегрева.

Приведены результаты по изменению вязкости и теплопроводности перегретых жидкостей. На их примере показано, что температурные и барические зависимости теплофизических свойств в перегретой области состояний подчиняются тем же закономерностям, что и в стабильной области.

Экспериментально изучен теплообмен эмульсий с трубками и тонкими проволоками, предложена модель кипения низкокипящей дисперсной

фазы эмульсии (по сравнению с температурой кипения ее дисперсионной среды).

Рассмотрен новый тип высокоэффективного теплоносителя — эмульсии с низкокипящей дисперсной фазой. Получены расчетные формулы для определения плотности теплового потока от охлаждаемой поверхности к эмульсии и условия возникновения цепной активации центров кипения и взрывного вскипания эмульсии.

Приведены экспериментальные данные по коэффициентам теплоотдачи к эмульсиям.

Предложены новые области использования явления перегрева жидкости. Это интенсификация теплообмена, измерение динамического поверхностного натяжения, микродозирование жидкостей в автоматическом режиме, дисперсионный анализ эмульсий.

Уважаемые коллеги!

Информирую вас о требованиях, предъявляемых к оформлению статей.

При наборе используйте Word-2003 и Word-2007; шрифт (по всему тексту, в том числе в рисунках и таблицах) — тип Times, размер шрифта — 14, межстрочное расстояние — 1,5, абзацный отступ — 1,25 (1,27) см, поля — 2 см; расстановка переносов по всему тексту — автоматическая.

Набор формул: простые формулы и сочетания символов ($x^2 < y^2$; $E = mc^2$; $a^2 + b^2 = c^2$; Q_{i-1} ; ψ_j) — только в текстовом режиме, сложные

$$\left(s^2 = \frac{1}{n-1} \left[\sum_{j=1}^n x_j^2 n_j - \frac{1}{n} \left(\sum_{j=1}^n x_j n_j \right)^2 \right] \right); \left(\frac{\sigma_a}{[n]} \right)$$

или S_i^m) — только в редакторе формул (встроен в Word).

Написание букв: русские (а, б, в, А, Б, В), греческие (Θ, Σ, Ω, Ψ, α, β, δ, ε, λ, π), а также цифры и функции (1, 2, 3; I, II, III; max, lg, sin и т.п.) пишутся только прямо; латинские (a, b, n, A, B, N и т.д.) — только курсивом. Исключение — курсив во вспомогательном тексте (слова «Таблица» и «Рис.», примечания в рисунках и ссылки в тексте на эти примечания).

Оформление текста: левый верхний край — инициалы, фамилия; заголовок — все буквы ПРОПИСНЫЕ, жирные, расположение — по центру набора; таблиц и рисунков: в таблицах размер шрифта — на полтора-два размера меньше, чем в основном тексте (11,5–12), расположение текста в «шапке» таблицы — по центру, в столбцах — по ширине; межстрочное расстояние — 1; слово «Таблица» — курсивное начертание, в правый край таблицы; название таблицы — начертание нормальное (прямое), расположение — по центру таблицы. В рисунках (графиках, диаграммах): размер подрисуночной подписи — 14, расположе-

ние — по центру набора, слово «Рис.» — курсив, название рисунка — нормальное начертание, описание рисунка (экспликация) — нормальное начертание, условные обозначения — курсивное начертание, их расшифровка — нормальное. Расположение таблиц и рисунков — строго после ссылки на них.

Кроме того, рисунки обязательно прилагаются к материалу (один рисунок — один файл; формат — *.jpg).

Ссылки на литературу в тексте пишутся в квадратных скобках ([1], [1, 2] или [3–5]); нумерация сквозная. Список литературы/источников оформляется по ГОСТ 7.0.5–2008.

В конце статьи обязательно ставится дата отсылки материала в редакцию.

Объем статьи — не более 14-ти страниц.

Название файла: Фамилия. Первое слово заголовка. Многоточие. Последнее слово заголовка (Сидоров. Синтез... электроприводом).

К материалу (статье) обязательно прилагаются (отдельным файлом): УДК, сведения об авторе, аннотация, ключевые слова (название файла: УДК 000. Сидоров. Синтез... электроприводом).

Материалы для очередного номера журнала «Вестник УрГУПС» принимаются до 30 числа первого месяца квартала (до 30-го января, 30-го апреля, до 30-го июля, до 30-го октября). Материалы, поступившие в редакцию после 30-го числа, будут опубликованы только в следующем номере.

Успешной работы!

*Л. Барышникова,
литературный и выпускающий редактор
журнала «Вестник УрГУПС»*



ИЗДАТЕЛЬСТВО УрГУПС

Предоставляет весь спектр
редакционно-издательских услуг

ДОПЕЧАТНАЯ ПОДГОТОВКА

- Редактирование текстов любой сложности
- Рецензирование
(с привлечением опытных рецензентов,
имеющих научную степень в соответствующей области науки)
- Корректурa
- Дизайн и верстка
- Препресс
(подготовка работы для сдачи в типографию)
- Сдача файлов и контроль прохождения
работы в типографии

ПЕЧАТНЫЕ, ПЕРЕПЛЕТНЫЕ РАБОТЫ

- Оперативная полноцветная, одноцветная
и многоцветная печать на цифровом оборудовании
- Широкоформатная печать на плоттере
- Несколько видов переплета
- Ламинирование

ВСЕГДА В ПРОДАЖЕ

- Научная и учебно-методическая литература,
выпущенная в издательстве УрГУПС.
Каталог литературы можно найти
на сайте университета (www.usurt.ru)
в разделе «Издательская деятельность»

По вопросам приобретения книг
и возможного сотрудничества обращаться:

620034, г. Екатеринбург, ул. Колмогорова, 66, главный учебный корпус, к. 193.

Телефон: (343) 245-43-90.

E-mail: AKoltyshev@rio.usurt.ru.

Сайт: www.usurt.ru.